

**YÜKSEK HIZLI VERİ İLETİŞİM
AĞLARINDA AKIŞ KONTROLÜ**

ENİS BİBEROVIÇ

**Yüksek Lisans Tezi
Elektrik-Elektronik Mühendisliği
Anabilim Dalı
Mart 2001**

JÜRİ VE ENSTİTÜ ONAYI

Enis BİBEROVIÇ'in "Yüksek Hızlı Veri İletişim Ağlarında Akış Kontrolü" başlıklı Elektrik-Elektronik Mühendisliği Anabilim Dalındaki, Yüksek Lisans tezi 02/3/2001 tarihinde, aşağıdaki jüri tarafından Anadolu Üniversitesi Lisansüstü Eğitim-Öğretim ve Sınav Yönetmeliğinin ilgili maddeleri uyarınca değerlendirilerek kabul edilmiştir.

Adı-Soyadı

İmza

Üye (Tez Danışmanı): Prof. Dr. Altuğ İFTAR

Üye: Doç. Dr. Abdurrahman KARAMANCIOĞLU

Üye: Doç. Dr. Hüseyin AKÇAY

Anadolu Üniversitesi Fen Bilimleri Enstitüsü Yönetim Kurulu'nun 14.03.2001. tarih ve 9/12 sayılı kararıyla onaylanmıştır.

ÖZET

Yüksek Lisans Tezi

YÜKSEK HIZLI VERİ İLETİŞİM AĞLARINDA AKIŞ KONTROLÜ

ENİS BİBEROVIÇ

Anadolu Üniversitesi
Fen Bilimleri Enstitüsü
Elektrik-Elektronik Mühendisliği Anabilim Dalı

Danışman: Prof. Dr. Altuğ İFTAR
2001

Bu tezin konusu veri iletişim ağlarındaki trafiğin modellenmesi ve denetlenmesidir. Yüksek hızlı veri iletişim ağlarında kaynak-hedef çifti arasında mevcut olan gecikmeler zamanın bilinmeyen bir fonksiyonu olarak kabul edilmiş ve hem tek tıklı geçit hem de birden fazla tıklı geçit olduğu durumlar için model çıkarılmıştır. Bu modeller göz önünde bulundurularak, gürbüz denetim araçları kullanılarak denetleyicinin formülü bulunmuştur. Tek tıklı düğüme sahip ağlar için çeşitli senaryolar altında MATLAB paket programı kullanılarak simülasyonlar yapılmıştır.

Anahtar Kelimeler: Veri İletişim Ağları, Gürbüz Denetim,
Gecikmeli Sistemler, J -spektral Ayrıştırma

ABSTRACT**Master of Science Thesis****FLOW CONTROL IN HIGH-SPEED DATA COMMUNICATION
NETWORKS****ENIS BIBEROVIĆ****Anadolu University
Graduate School of Natural and Applied Sciences
Electrical and Electronics Engineering Program****Supervisor: Prof. Dr. Altuğ İFTAR
2001**

The subject of this thesis is modelling and control of the traffic in data communication networks. The delay existing between the source and destination in high-speed networks is assumed to be an unknown function of time and the network model is formed both for the single and for multiple bottleneck cases. Under consideration of these models, the formulae for the controller is obtained by using robust control tools. Using MATLAB, several scenarios for networks consisting of a single bottleneck node are simulated.

**Keywords: Data Communication Networks, Robust Control,
Systems With Delays, J -spectral Factorization**

TEŞEKKÜR

Çalışmalarında beni yönlendiren ve benden yardımlarını esirgemeyen sayın hocam Prof. Dr. Altuğ İFTAR'a ve Doç. Dr. Hitay ÖZBAY'a teşekkür ederim. Ayrıca çalışmalarında yardımlarını esirgemeyen Banu ATAŞLAR, Özen YELBAŞI, İnci MUNYAS, Yavuz DOĞAN, Selçuk AKÇAM ve Hakkı Ulaş ÜNAL'a teşekkür ederim.

Bu çalışma TÜBİTAK ve A.B.D. Ulusal Bilim Vakfı (National Science Foundation - NSF) tarafından ortaklaşa desteklenen "Routing and flow control for high-speed communication networks" başlıklı araştırma projesi çerçevesinde gerçekleştirilmiştir.

İÇİNDEKİLER

ÖZET	i
ABSTRACT	ii
TEŞEKKÜR	iii
İÇİNDEKİLER	iv
ŞEKİLLER DİZİNİ	vi
ÇİZELGELER DİZİNİ	ix
1. GİRİŞ	1
1.1. Veri İletişim Ağları	1
1.2. Tıkanlık Önleme Yöntemleri	5
2. GÜRBÜZ DENETİM	7
2.1. Norm	7
2.2. Göreceli Asal Ayrıştırma	9
2.3. \mathcal{H}_∞ 'da Kararlılık ve Belirsizlikler	10
2.4. İki Blok Probleminin Çözümü	13
2.4.1. Adi Spektral Ayrıştırma	15
2.4.2. J -spektral Ayrıştırma	17
2.4.3. Denetleyicinin Bulunması	19
2.5. Gecikmeli Sistemlerde \mathcal{H}_∞ Denetimi	22
3. TEK TIKALI GEÇİT DURUMUNDA VERİ İLETİŞİM AĞININ MODELLENMESİ VE GÜRBÜZ DENETLEYİCİNİN TASARIMI	34
3.1. Veri İletişim Ağının Modeli, Tek Tıkali Geçit Durumu	34
3.2. Optimizasyon Problemi: Tek Tıkali Geçit Durumu	40
3.2.1. SISO Gecikmeli Sistem İçin Denetleyici Tasarlanması	40
3.2.2. MISO Gecikmeli Sistem İçin Denetleyici Tasarlanması ...	57
3.3. Simulasyon Örnekleri	69
4. ÇOK TIKALI GEÇİT DURUMUNDA VERİ İLETİŞİM AĞININ MODELLENMESİ VE GÜRBÜZ DENETLEYİCİNİN TASARIMI	85
4.1. Modelleme	85

4.2. \mathcal{H}_∞ Optimizasyon Problemi	99
5. SONUÇ	105
KAYNAKLAR	107
EKLER	111
Ek-1: SISO ve Durum 1-11 İçin Denetleyici Parametrelerini Hesaplayan Makro	112
Ek-2: Optimal γ 'yı Hesaplayan Makro	118
Ek-3: Hamiltonian Matrisini Hesaplayan Macro	120
Ek-4: Verilen Frekansta Transfer Fonksiyonunun Değerini Hesaplayan Makro	121
Ek-5: LTI Sistemin Gerçeklenmesini Bulan Makro	122

ŞEKİLLER DİZİNİ

1.1.	Farklı tıkanma süreleri için tıkanıklık önleme teknikleri	5
1.2.	ATM Hücrelerin başlık formatı	5
2.1.	Geri besleme sistemi	10
2.2.	Pertürbasyonla kararlılık	11
2.3.	Geri besleme döngüde pay-payda pertürbasyon modeli	12
2.4.	Karma duyarlılık problemi	12
2.5.	Standart \mathcal{H}_∞ problemi	13
2.6.	Genelleştirilmiş sistem: (a) LFT form, (b) RMM form	14
2.7.	Gecikmeli sistemler için karma duyarlılık problemi	23
2.8.	(a) Denetleyicinin LFT formu, (b) merkezi denetleyici	33
3.1.	Geri besleme kontrol sistemi	35
3.2.	Sistemin belirsizlikler modeli	37
3.3.	(3.7)'deki ifadesinin grafiksel yorumu	39
3.4.	Suni sistem	39
3.5.	İki blok optimizasyon problemi, standart yapısı	41
3.6.	Denetleyicinin Bode çizimi	47
3.7.	Denetleyicinin daha geniş frekans aralığı için Bode çizimi	48
3.8.	$c = 60$ paket/s için kuyruk uzunluğunun ve iletim oranının zamana göre değişimi	48
3.9.	$c = 60$ paket/s için kuyruk uzunluğunun ve iletim oranının zamana göre değişimi, gecikme sabit	49
3.10.	$c = 25$ paket/s için kuyruk uzunluğunun ve iletim oranının zamana göre değişimi	49

3.11.	$c = 5$ paket/s için kuyruk uzunluğunun ve iletim oranının zamana göre değişimi	50
3.12.	F_s 'nin birim darbe yanıtı	50
3.13.	X_1 'nin en küçük tekil değerinin değişimi	51
3.14.	Daha küçük aralığı için X_1 'nin en küçük tekil değerinin değişimi	51
3.15.	$\epsilon = 0.5$ için F_s 'nin birim darbe yanıtı	52
3.16.	$\epsilon = 0.5$ için kuyruk uzunluğunun ve iletim oranının zamana göre değişimi	53
3.17.	$\epsilon = 2.5$ için F_s 'nin birim darbe yanıtı	53
3.18.	$\epsilon = 2.5$ için kuyruk uzunluğunun ve iletim oranının zamana göre değişimi	54
3.19.	$\epsilon = 5$ için X_1 'nin en küçük tekil değerinin değişimi	54
3.20.	$\epsilon = 0.5$ için denetleyicinin Bode çizimi	55
3.21.	$\epsilon = 10^{-4}$ için denetleyicinin Bode çizimi	55
3.22.	$\epsilon = 10^{-9}$ için denetleyicinin Bode çizimi	56
3.23.	$\epsilon = 10^{-9}$ için F_s 'nin birim darbe yanıtı	56
3.24.	İki blok optimizasyon problemi, standart yapısı	57
3.25.	İki blok optimizasyon problemi	59
3.26.	Değiştirilmiş iki blok optimizasyon problemi	60
3.27.	Denetleyicinin gerçekleştirilmesi	69
3.28.	Durum 1 için denetleyici Bode çizimi	71
3.29.	Durum 1 için gecikme sabit iken kuyruk uzunluğunun ve iletim oranının zamana göre değişimi	71
3.30.	Durum 1 için gecikme sabit olmadığında kuyruk uzunluğunun ve iletim oranının zamana göre değişimi	72
3.31.	Durum 2 için denetleyici Bode çizimi	72
3.32.	Durum 2 için gecikme sabit iken kuyruk uzunluğunun ve iletim oranının zamana göre değişimi	73
3.33.	Durum 2 için gecikme sabit olmadığında kuyruk uzunluğunun ve iletim oranının zamana göre değişimi	73
3.34.	Durum 3 için denetleyici Bode çizimi	74

3.35.	Durum 3 için gecikme sabit iken kuyruk uzunluğunun ve iletim oranının zamana göre değişimi	75
3.36.	Durum 3 için gecikme sabit olmadığında kuyruk uzunluğunun ve iletim oranının zamana göre değişimi	75
3.37.	Durum 4 için kuyruk uzunluğunun ve iletim oranının zamana göre değişimi	76
3.38.	Durum 4 için denetleyicinin Bode çizimi	77
3.39.	Durum 5 için kuyruk uzunluğunun ve iletim oranının zamana göre değişimi	77
3.40.	Durum 5 için Simulink'te kurulan model	78
3.41.	Durum 6 için kuyruk uzunluğunun ve iletim oranının zamana göre değişimi	79
3.42.	Durum 7 için kuyruk uzunluğunun ve iletim oranının zamana göre değişimi	80
3.43.	Durum 8 için kuyruk uzunluğunun ve iletim oranının zamana göre değişimi	80
3.44.	Durum 9 için $c(t)$ 'nin zamana göre değişimi	81
3.45.	Durum 9 için kuyruk uzunluğunun ve iletim oranının zamana göre değişimi	81
3.46.	Durum 10 için kuyruk uzunluğunun ve iletim oranının zamana göre değişimi	82
3.47.	Durum 10 için denetleyici Bode çizimi	83
3.48.	Durum 11 için kuyruk uzunluğunun ve iletim oranının zamana göre değişimi	83
3.49.	Simulink'te kurulan blok diyagram modeli	84
4.1.	İki tıklı düğüm ağı için denetim modeli	86
4.2.	Sistemde belirsizlikler, $\bar{\delta}_{q_i}^j(t)$	92
4.3.	Sistemde belirsizlikler, $\hat{\delta}_{q_i}^j(t)$	92
4.4.	Sistemde belirsizlikler, $\tilde{\delta}_{q_i}^j(t)$	93
4.5.	Ağ: suni model	96

ÇİZELGELER DİZİNİ

3.1. Durum 1 – 3 için simulasyon parametreleri	70
3.2. Durum 4 için simulasyon parametreleri	76
3.3. Durum 6 için simulasyon parametreleri	78
3.4. Durum 7 için simulasyon parametreleri	79
3.5. Durum 10 için simulasyon parametreleri	81
3.6. Durum 11 için simulasyon parametreleri	82

1 GİRİŞ

Çağdaş teknolojinin gelişimiyle veri iletişim teknolojileri önem kazanmaktadır. Bilindiği gibi bugün bilgisayar teknolojisi oldukça ileri bir düzey yakaladığından, kitlenin önemli bir kısmının bu teknolojiye faydalanması olanaklı kılınmıştır. Bilgisayar teknolojisine paralel olarak gelişen internet teknolojisi dünyayı sanal olarak küçültmektedir. İnternet teknolojisi giderek insan hayatındaki her alana girmektedir, yani alış-veriş, haberleşme, uzaktan kontrol v.b. aktiviteleri görülmektedir. Kullanıcı sayısı hızlı bir şekilde arttığından mevcut olan kapasiteler giderek zorlanmaktadır. Bundan dolayı mevcut olan iletim hatlarının en verimli şekilde nasıl kullanılabilceği problemi çözümü önem taşımaktadır.

Bilgisayar ağlarında veri iletim kontrolü hem donanım hem de yazılım ile sağlanmaktadır. Yazılım kurulan donanımın dilidir, dolayısıyla donanımsal olarak ne kadar güçlü bir sistem kurulursa o kadar yazılımla daha fazla müdahale edilebilir. Fakat burada bir sorun meydana gelmektedir: yüksek hızlı veri iletişim ağlarında ağ içindeki mevcut olan belirsizliklere rağmen sistem en iyi şekilde nasıl kontrol edilebilir? Yani denetim mekanizması hangi matematiksel işlevlerle ve optimizasyon teknikleriyle en iyi sonucu verecektir?

1.1 Veri İletişim Ağları

Veri iletişim ağı bir servistir ve bu servisin amacı ağa bağlı olan tüm kullanıcılara kendi istekleri doğrultusunda ağa gönderilen verileri kayıpsız bir şekilde istenilen yere ulaştırılması ve bu verinin transferinin en kısa zaman içerisinde gerçekleştirilmesidir.

Kullanıcıların verileri transfer edebilmeleri için bir yola ihtiyaçları vardır. Bu yola *link* denilmektedir. Linklerin birim zamanda en fazla iletilebileceği veri miktarına *link kapasitesi* denir. Diğer yandan birim zaman içinde kullanılan link kapasitesine *iletim oranı* denmektedir. Kapasitesi sonlu olduğundan dolayı her an her bir kullanıcının maksimum iletim oranıyla linkten faydalanması genelde mümkün değildir. Bu yüzden veri iletişim ağı, fazladan gönderilen bilgileri depolama özelliğine sahiptir. Bellek fiziksel bir büyüklük olduğundan dolayı sınırlıdır, dolayısıyla kullanıcılara ne kadar veri gönderebileceğinin bildirilmesinin zorunluluğu vardır. Linkler ve kullanıcılar arasındaki haberleşmeyi sağlayan birime *anahtarlama düğümü* veya kısaca *anahtar* veya *geçit* denir. Link kapasitesi aşıldığında anahtar tarafından gelen bilgiler bellekte bekletilmektedir. Kullanılan bellek boyutuna *kuyruk uzunluğu* denir. Girilen veri miktarı link kapasitesinden daha fazla olan düğüme *tıkanmış* veya *boğazlanmış düğüm* veya *tıkalı geçit* denir. Tıkanmış düğümlerde

veri kaybı meydana gelebilir, böylece veri iletişim ağı temel görevini yerine getirmemiş olur. Bu tür olaylar meydana geldikleri zaman, veri kaybı olmaksızın ve iletişim ağının düzgün çalışması için, veri iletişim ağı düğümlerinde denetim yapılması gerekir. Dahası düğümler arasında veri akışını denetleyen modüle de gereksinim vardır.

Her düğüme hem ağın içinden hem de ağın dışından veri iletilebilir. Ağın içine veri gönderen düğüm, *kaynak* olarak isimlendirilir. Verinin ulaşılacağı düğüm ise *hedef* düğüm olarak isimlendirilir. Ağa gönderilen veri *mesaj* olarak tanımlanır. Mesaj kaynaktan gönderilip hedefe ulaşmalı. Ulaşabilmek için ağda kuyruğa girer. Mesaj gönderildiğinden kuyruğa girene kadar geçen zaman *işleme gecikmesi* olarak tanımlanır. Öte yandan, mesaj gönderilmek üzere kuyrukta da bekletilir. Bu durumda *kuyruklama gecikmesi* söz konusudur. Sonunda link boyunca mesajın iletilmesi için belli bir zaman gecikmesi söz konusudur. Bu gecikmeye *iletim gecikmesi* denir. Tüm gecikmelerin toplamı bir mesajın *ulaşım gecikmesi* olarak tanımlanabilir. Öte yandan iki düğüm arasında kontrol işaretlerin gönderilmesi ve alınması için de belli bir zamana ihtiyacı vardır. Bu ise *geri besleme gecikmesidir*. Şimdi, bütün bu gecikmelerin kesin bir değeri olmazsa da, gecikmelerin bir üst sınırı tanımlanabilir. Ağ içinde verilerin akışı *ağ trafiği* olarak tanımlanır. Maksimum iletim oranı *bandgenişiği* olarak tanımlanır.

Veri akışı çeşitli protokollerle düzenlenmektedir. Farklı protokoller, farklı yapıda denetleyicilerin tasarlanmasını olanaklı kılar. Akış kontrolü ağ tarafından (asenكرون iletim modu (Asynchronous Transfer Mode, ATM) ağlarında olduğu gibi) veya kullanıcı tarafından (internette olduğu gibi, TCP/IP protokolü) denetlenebilir [4]. Servis kalitesini yükseltmek amacı ile kullanıcıların veri akışı denetlenir. Çeşitli maliyet fonksiyonları düzenlenerek oluşabilecek veri kaybı ortadan kaldırılmak üzere denetleyiciler tasarlanır. Bir başka dikkat edilen husus, ağ kullanıcılarına olabildiği kadar en yüksek iletim oranıyla servis yapmaktır. Akış kontrolü genel olarak dinamik bir değişkendir. Tıkanıklık durumu ve ileri-geri gecikmesi (toplam gecikmesi) hakkında geri besleme yoluyla bilgiler tazelenir. Örnek vermek gerekirse, TCP/IP'nin Tahoe versiyonda tıkanıklık, verilerin kaybıyla veya zaman aşımı mekanizmalarıyla tespit edilir. TCP/IP Vegas versiyonda ise geçerli bandgenişiği geribesleme verisi olarak gönderilir ve olabilecek gecikmenin tahmini için kullanılır [2]. Diğer yanda ATM ağlarında geçerli bit oranı (Available Bit Rate, ABR) protokolü ile hem iletim kapasitesi hem de kuyruk uzunluğu bilgileri kaynak yönetici (Resource Management, RM) hücreleri kullanılarak denetleyiciye gönderilir. Denetleyici ise bu bilgilerin ışığında, kaynakların iletim oranlarını düzenler. İletişim ağlarında veri akış kontrolü çoğu zaman dışmerkezli olarak yapılır, yani her kullanıcı tarafından kendi iletim oranı kontrol edilir. Bu duruma, tipik olarak internette ve bazı ATM trafik tiplerinde (belirsiz bit oranı iletim kapasitesi) rastlanır. Dışmerkezli kontrolün bir avantajı ise, olabilecek bozulmalardan dolayı yalnızca ilgilenilen düğümün etkilenmesidir.

Akış kontrolünde kullanılan geri besleme algoritmaları iki gruba ayrılır: *oran-tabanlı* ve *pencere- veya kredi-tabanlı* denetim. Oran-tabanlı denetimde, kaynaklar, geribesleme yoluyla denetleyiciye oran bilgileri gönderir. Diğer yandan pencere-tabanlı denetimde kaynaklardan denetleyiciye pencere boyutu

bilgi olarak gönderilir. Pencere-tabanlı algoritmalar yaygın olarak internette kullanılır. Oran-tabanlı algoritmalar ise ATM ağlarında uygulama yeri bulur.

İlk oran algoritmaları, ARPANET ve TYMNET'te uygulandığı gibi, kaynak hedef arasında "en kısa" yolu tahmin eder. Burada yolun uzunluğunu veri akış oranı belirlemektedir [20]. Diğer algoritmalar belli bir maliyet fonksiyonunu minimize edecek şekilde tasarlanmıştır.

TCP protokollerinde kullanıcılar kendi iletim oranlarını yavaş yavaş artırır. Veri kaybı başladığı andan itibaren bu oran azaltılmaktadır [1]. ATM ABR servisi ışığında düğümler kaynaklara iletim oranını bildirmektedir.

Veri iletim ağlarında tıkanlık denetimi şu ana kadar pek çok kişi tarafından ele alınmıştır [33, 9, 8, 2, 4, 3, 1, 6, 7]. Bu çalışmalarda birbirinden farklı yöntemler ele alınmıştır. Sistemi çözmede hem kesikli zaman bölgesinde hem de sürekli zaman bölgesinde çalışmalar yapılmıştır. Klasik PID denetimi, adaptif denetim ve filtreleme teknikleri uygulayanlar kesikli zaman bölgesinde çözüm aramışlar [33, 9, 8, 2, 3], gürbüz, operatör kontrol mekanizmaları ve Smith belirleyici uygulayanlar ise sürekli zaman bölgesinde çözüm arayışlarını benimsemiştir [6, 7, 13]. Diğer yandan bu çalışmalar zaman bölgesinde [9, 8, 2, 3, 1, 7] ve frekans bölgesinde [33, 6, 13] görülmektedir. En basit olarak sisteme klasik PID denetimi uygulayanlardan [33] başlayarak sistem cevabı, belirsizliklere karşın daha iyi bir çözüm elde etmek için oldukça iyi adaptif teknikler kullanılarak çözümler elde edilmiştir [8, 2]. Fakat [8, 2]'de elde edilen denetleyici oldukça karmaşık gerçekleşmesine sahip olduğundan dolayı bunun basitleştirmek amacıyla [13]'de [8, 2]'de verilen mantıkla Smith belirleyicisi tasarlanmıştır. [24] makalesinde PI artı Smith belirleyici denetimi uygulanmıştır. Bunun dışında sistemdeki belirsizlikler ve sistemdeki gecikmeler beyaz gürültü ile süren bir AR (ARMA) prosesi olarak kabul edilirse sistemi kararlılaştıran denetleyici tasarlanabilir [2, 4, 3]. Ayrıca şu ana kadar yapılan çalışmalarda denetleyici mertebesini düşürmek amacıyla ve gerçekleştirilmesinin daha kolay sağlanması amacıyla denetleyici yapısında gecikme operatörleri yer almaktadır. İnternet veya bazı ATM trafik tiplerinde denetleyici dışmerkezli olarak tasarlanmaktadır, ve bu denetleyiciler büyük ölçüde örneğin TCP/IP altında tecrübe esaslı buluşsal (heuristic) tekniklerle gerçekleşmektedir, dolayısıyla çoğu kez optimize olmayabilirler [1].

Yüksek hızlı ağlarda ATM protokolleri kullanılmaktadır. ATM protokolü gereğince verileri kısa sabit boyutlu hücrelerle (esas bilgi (payload) taşıyan 48 byte ve 5 byte başlık (header) olarak) kaynak-hedef çifti arasında gönderilmektedir [21]. Bu hücrelerin sabit oluşu ses, video veya veri iletimdeki oluşan gecikmeleri en aza indirmek amacıyla düşünülmüştür. [21] makalesinde geniş bir şekilde ATM ağları ve kullanılan protokolleri hakkında bilgi verilmiştir. Benzer olarak [12] makalesinde Unicast SP-EPRCA algoritmasına ([13] çalışmada yer alan) yer verilmiştir.

Temel olarak ATM ağlarının ne şekilde gelişmekte olduğunu ve mevcut algoritmaların daha iyi bir şekilde oluşturabilmesi için gelişim kriterilerini gözden geçirelim [21]:

1. Ölçeklenebilirlik (scalability): Kullanılan algoritma uzaklığa, anahtar sayısına, kaynakların sayısına, her bir kaynak hızına bağlı olmamalıdır.

2. En iyilik (optimality): mevcut olan band genişliği en uygun şekilde paylaşılmalıdır. Linklerdeki paylaşım linklerin kapasitesinin en uygun şekilde kullanılması için “şanslı” ve “şanssız” kullanıcılar tespit edilmeli ve şanslı kullanıcılar arasında paylaştırılmalıdır. Şanssız kullanıcılar kuyrukta bekletilmelidir.
3. Eşitlik indisi (fairness index): Her verilen en iyilik kriterine göre kullanıcılar arasında en iyi yol paylaşılması yapılabilir. Eğer mevcut yol paylaşılması optimal yol paylaşılmasından farklı ise eşitsizlik söz konusudur. Numerik olarak, mevcut ayırma $\{\bar{x}_1, \bar{x}_2, \dots, \bar{x}_n\}$ ve optimal ayırma $\{\hat{x}_1, \hat{x}_2, \dots, \hat{x}_n\}$ olsun. Bu durumda $x_i := \bar{x}_i/\hat{x}_i$ olarak tanımlanırsa eşitlik indisi

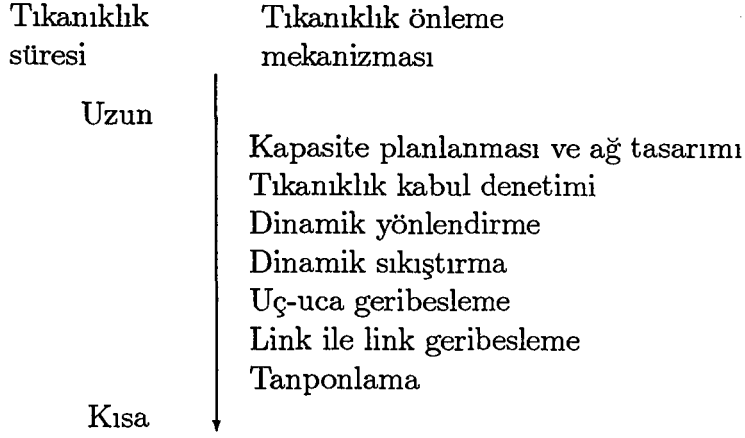
$$\text{Eşitlik indisi} = \frac{(\sum_i x_i)^2}{n \sum_i x_i^2}$$

ifadesi ile verilmektedir. Eşitlik indisi genelde zamanın fonksiyonu olup zamana göre değişimi çizilebilir.

4. Gürbüzlük (robustness): Kullanılan algoritma belirsizliklere karşın duyarsız olmalıdır.
5. Gerçekleştirilebilirlik (implementability): Kullanılan algoritma özel anahtar mimarısı istememelidir.

Verilen algoritmanın geçerliğini incelenmek için aşağıdaki senaryolar genelde kullanılmaktadır:

1. Simulasyon yapısı (simulation configuration): Çeşitli durumları simule etmek için değişik senaryolar kullanılmaktadır. Genel olarak anahtarlar seri bağlanmış kabul edilir ve eşitliği test etmek için “parking lot” diye isimlendiren bir yapı incelenir [21].
2. Trafik örüntüleri (traffic patterns): Çeşitli senaryoların simulasyonu yapmak amacıyla çeşitli trafik örüntüleri kullanılmaktadır:
 - (a) Sürekli kaynaklar (persistent sources): Bu kaynaklar her zaman gönderilecek verilere sahiptir. Böylece ağ sürekli tıkalıdır.
 - (b) Sekmeli kaynaklar (staggered sources): Bu kaynaklar farklı zaman dilimlerinde bilgi göndermektedir. Ramp-up (ramp-down) zaman incelemelerine uygundur.
 - (c) Patlamalı kaynaklar (bursty sources): Bu kaynaklar aktif durum (active state) ile boş durum (idle state) arasında osilasyon yapar. Aktif durum boyunca hücrelerde patlama vardır. Bu durum sürekli kaynaklardan daha gerçekçidir. Eğer patlamalar sabit oranla kabul ediliyorsa bu durum “açık çevrim” aksine “kapalı çevrim” trafik modeli elde edilir [21].



Şekil 1.1: Farklı tıkanma süreleri için tıkanıklık önleme teknikleri

Genelleştirilmiş akış denetimi	Gerçek Yol ID'si	Gerçek Devre ID'si	Esas bilgi Tipi	Kayıp hücre Önceliği	Başlık Hata Denetimi
4	8	16	3	1	8 ←
Boyut (Bit)					

Şekil 1.2: ATM hücrelerin başlık formatı

1.2 Tıkanlık Önleme Yöntemleri

Link kapasiteleri aşıldığında tıkanlık meydana gelir. Tıkanlığı önlemek amacıyla Şekil 1.1'de gösterilen teknikler kullanılmaktadır.

Şekilden de görüldüğü gibi, kullanılacak teknikler, genel olarak tıkanıklık süresine bağlıdır. Bu yüzden tıkanıklık süresini azaltmak ve mevcut olan kapasiteyi en iyi şekilde kullanmak önem kazanmaktadır.

Şekil 1.2'de ATM hücrelerde genel olarak bir başlık formatı gösterilmiştir. Şekilden görüldüğü gibi başlık içerisinde ağ durumunu belirleyen bilgileri taşımaktadır. Tabii ki bu bilgiler kullanılan algoritmaya bağlı olarak değişebilir. ATM ağları bağlantı yönlendirilmiş ağlardır. ATM ağlarında iki lider yaklaşımı söz konusudur: Pencere (kredi) tabanlı yaklaşım (window (credit) based approach) ve oran tabanlı yaklaşım (rate based approach). Kredi tabanlı yaklaşımda kaynağın ne kadar hücre transfer edilebileceği denetleyici tarafından belirlenir. Transfer edilebilecek hücre sayısına kredi (credit) denilmektedir. Oran tabanlı yaklaşımda ise, kaynağın hangi oranla hücreleri transfer edilebileceği denetleyici tarafından tespit edilir. Kredi tabanlı yaklaşımda iki önemli problem vardır: Birincisi, kredi sayısı kayıp ise kaynak ne yapacağını bilmez, ikinci ise her kaynak tamponlarda gidiş-geliş değeri rezerve edilmelidir. Bu problemleri aşmak için kredi algoritmaları, eşzamanlama algoritmaları ve adaptif versiyonları olarak yeniden tasarlanmıştır.

ATM ağlarında oran tabanlı yaklaşım ile kredi tabanlı yaklaşım kıyaslanması aşağıda verilmiştir.

1. Kredi tabanlı yaklaşımda anahtarlarda her bir kaynak için ayrı ayrı kuyruk oluşması gerekmektedir, oran tabanlı yaklaşım bunu gerektirmez. Büyük ölçekli anahtarlar kredi tabanlı yaklaşım kullanıldığında oran tabanlı yaklaşım kullanıldığından daha karmaşıktır.
2. Kredi tabanlı yaklaşım hücre kaybını önleyebilir, oran tabanlı yaklaşımda ise hücre kaybı olabilir.
3. Statik kredi tabanlı yaklaşımda ramp-up zamanı çok kısadır, yani herhangi bir boş kapasite hemen kullanılabilir. Buna karşın bazı oran tabanlı yaklaşımlarda ve adaptif kredi tabanlı yaklaşımda gidiş-geliş gecikmeler meydana gelmektedir.
4. Statik kredi tabanlı algoritmalarda terbiyesiz (misbehaving) kullanıcılar iyi kullanıcıların işlemlerini bölmezler. Fakat adaptif kredi tabanlı algoritmalarda terbiyesiz kullanıcılar kendi oranını arttırarak terbiyeli kullanıcılar etkileyebilirler. Her iki yaklaşım (kredi ve oran tabanlı) kullanıcıları izole edebilirler.
5. Kredi (özellikle adaptif) tabanlı algoritmalarda tampon gereksinimleri düşüktür ve linklerdeki gecikmelerle orantılıdır. Oran tabanlı algoritmalarda tampon gereksinimi uç-uca gecikme ile orantılıdır.
6. Kredi tabanlı algoritmalarda gecikme tahmini link uzunluğunun ve hızlarının bilinmesi gerekmektedir, öte yandan oran tabanlı algoritmalarda bu tür bilgilere ihtiyaç yoktur.
7. Oran tabanlı algoritmalarda anahtar tasarımında serbestlik vardır, yani bazı anahtarlar kuyruk uzunluğu bazı anahtarlar ise optimal yolları bulunacak şekilde tasarlanmıştır. Kredi tabanlı algoritmalara uyarlanan anahtarlar talep üzerinde çalışmaktadır.
8. Kredi tabanlı yaklaşımli anahtarlar oldukça karmaşıktır, fakat kullanımı açısından son derecede rahattır. Diğer yandan oran tabanlı yaklaşımlarda kullanılan anahtarların yapısı kredi tabanlı yaklaşımlarda kullanılan anahtarlar yapısına nazaran hayli basittir.

Bir olayın denetiminin yapabilmesi için, olayın tanımlanması gerekir; yani müdahale edilebilecek parametrelerin tespit edilmesi gerekir. Bunların yapılabilmesi için olayın bir modeli olması lazımdır. Modelin olaya etkili olan değişimleri (parametreleri) içermesi gerekir. ATM ağında kullanılan anahtarlar ATM standartlarla tanımlı değildir, bu yüzden çeşitli maliyet fonksiyonları minimize edilecek şekilde imal edilmektedir.

2 GÜRBÜZ DENETİM

Bu bölümde gürbüz denetim araçları ele alınacaktır. Bölümde verilecek sonuçlar daha sonraki bölümlerde veri iletişim ağlarında tıkanlık denetimine uygulanacaktır.

Gürbüz denetimin temelleri Zames tarafından 1979'da ortaya atılmıştır. Gürbüz denetimde büyük gelişme 80'li yıllarda meydana gelmiştir [23]. \mathcal{H}_∞ teorisi terimi, \mathcal{H}_∞ uzayının Hardy uzayların bir üyesi olduğundan dolayı ortaya çıkmıştır. Zames SISO sistemlerde duyarlılık fonksiyonunu minimize etmeye çalışmıştır. Aynı zamanda Doyle \mathcal{H}_∞ norm ile gürbüzlük arasındaki ilişkiyi incelemiştir.

\mathcal{H}_∞ uzayı kompleks düzlemin kapalı sağ yarısında analitik olan fonksiyonlardan gerilen uzaydır. Başka bir deyişle \mathcal{H}_∞ uzayı kompleks düzlemin sağ yarısında tekil noktaları olmayan ve kararlı (Lebesgue integral alınabilen) fonksiyonlardan oluşmaktadır. \mathcal{H}_∞ minimizasyon kararlı olmayan fakat kararlılaştırılabilir bir sistemi, kendine en yakın kararlı sisteme taşıyacak dönüşümün bulunmasından ibarettir. \mathcal{H}_∞ minimizasyon hem zaman hem de frekans bölgesinde yapılmaktadır. Zaman bölgesindeki teknikler belirli Riccati denklemlerinin çözülmesine dayalıdır. Diğer yandan frekans bölgesindeki çözümler spektral ayrıştırma teknikleri üzerine kurulmuştur.

2.1 Norm

Bu alt bölümde daha sonraki bölümlerde kullanılacak olan norm ve diğer tanımlar verilecektir.

$$\begin{aligned}\mathbb{R} & : \text{ gerçek sayılar kümesi,} \\ \mathbb{C} & : \text{ karmaşık sayılar kümesi,} \\ \mathbb{C}_+ & = \{s \in \mathbb{C} \mid \text{Re } s > 0\}, \quad \mathbb{C}_- = \{s \in \mathbb{C} \mid \text{Re } s < 0\}, \\ \mathbb{C}_0 & = \{s \in \mathbb{C} \mid \text{Re } s = 0\}, \quad \mathbb{C}_+^0 = \mathbb{C}_0 \cup \mathbb{C}_+\end{aligned}$$

olsun. Ayrıca,

$$\begin{aligned}\mathcal{L}_2 & = \left\{ F : \mathbb{C} \rightarrow \mathbb{C}^{m \times n} \mid \int_{-\infty}^{\infty} \text{trace} [F^*(j\omega) F(j\omega)] d\omega < \infty \right\}, \\ \mathcal{L}_\infty & = \left\{ F : \mathbb{C} \rightarrow \mathbb{C}^{m \times n} \mid \text{esssup}_{\omega \in \mathbb{R}} \sigma_{\max} [F(j\omega)] < \infty \right. \\ & \quad \left. \text{ve } F \text{ sanal eksen üzerinde analitik } \right\},\end{aligned}$$

$$\begin{aligned} \mathcal{H}_2 &= \left\{ F : \mathbb{C} \rightarrow \mathbb{C}^{m \times n} \mid \sup_{\sigma > 0} \left\{ \int_{-\infty}^{\infty} \text{trace} [F^*(\sigma + j\omega) F(\sigma + j\omega)] d\omega < \infty \right\} \right. \\ &\quad \left. \text{ve } F \text{ } \mathbb{C}_+ \text{'de analitik} \right\}, (\mathcal{H}_2 \subset \mathcal{L}_2), \\ \mathcal{H}_2^\perp &= \left\{ F : \mathbb{C} \rightarrow \mathbb{C}^{m \times n} \mid \sup_{\sigma < 0} \left\{ \int_{-\infty}^{\infty} \text{trace} [F^*(\sigma + j\omega) F(\sigma + j\omega)] d\omega < \infty \right\} \right. \\ &\quad \left. \text{ve } F \text{ } \mathbb{C}_- \text{'de analitik} \right\}, (\mathcal{H}_2^\perp \subset \mathcal{L}_2) \\ \mathcal{H}_\infty &= \left\{ F : \mathbb{C} \rightarrow \mathbb{C}^{m \times n} \mid \sup_{\text{Re } s > 0} \sigma_{\max} [F(s)] = \sup_{\omega \in \mathbb{R}} \sigma_{\max} [F(j\omega)] < \infty \right. \\ &\quad \left. \text{ve } F \text{ } \mathbb{C}_+^0 \text{'de analitik} \right\} \end{aligned}$$

olarak tanımlansın. Yukarıdaki tanımlar frekans bölgesinde olup Parseval ilişkileri kullanılarak zaman bölgesindeki eşdeğer ifadeleri elde edilebilir. Yukarıda $\mathbb{C}^{m \times n}$ ile $m \times n$ boyutlu karmaşık değerli matris fonksiyonları, $\sigma_{\max}(\cdot)$ ile (\cdot) 'nın en büyük tekil değeri simgelenmektedir.

Bilindiği gibi X vektör uzayı üzerinde aşağıdaki özellikleri sağlayan gerçek değerli $\|\cdot\|$ fonksiyona (operatöre) *norm* denilmektedir:

- (1) $\|x\| \geq 0 \quad \forall x \in X,$
- (2) $\|x\| = 0$ eğer ve yalnızca eğer $x = 0,$
- (3) $\|\alpha x\| = |\alpha| \|x\|$ her α skaler ve $x \in X$ için,
- (4) $\|x + y\| \leq \|x\| + \|y\|,$ her x ve $y \in X$ için.

Görüldüğü gibi yukarıdaki 4 özelliği sağlayan her operatör normdur. Bu yüzden \mathcal{H}_∞ normu veya ∞ -normu denildiğinde hangi normdan bahsedildiğinin bilinmesi gerekmektedir. ∞ -normuna 2-normu yardımıyla ile tanımlanıyorsa *endüklenmiş* (induced) ∞ -normu denmektedir.

$x \in \mathbb{C}^n$ n -boyutlu vektör olsun. Bu durumda x 'in p -normu

$$\begin{aligned} \|x\|_p &= \left(\sum_{i=1}^n |x_i|^p \right)^{1/p} \quad 1 \leq p < \infty \\ \|x\|_\infty &= \max_{1 \leq i \leq n} |x_i| \end{aligned}$$

olarak tanımlanır. Matris normları vektör normları yardımıyla tanımlanabilir:

$$\|A\|_p = \sup_{x \neq 0} \frac{\|Ax\|_p}{\|x\|_p}.$$

Bu şekilde tanımlanan matris normlara *endüklenmiş* (induced) *norm* denir. $U^*U = I$ eşitliği sağlayan tüm U matrisleri için $\|x\|_2 = \|Ux\|_2$ eşitliği geçerlidir. Dahası endüklenmiş normlar için şayet $\|\Delta\|_p \leq 1$ ise $\|\Delta x\|_p \leq \|x\|_p$ eşitsizliği de yazılabilir. A matrisinin endüklenmiş 2-normunun

$$\|A\|_2 = \sigma_{\max}(A)$$

A 'nın en büyük tekil değerine eşit olduğu gösterilebilir. Kimi zaman aşağıda tanımlanan Frobenius normu kullanılır:

$$\|A\|_F = \sqrt{\text{trace}(A^*A)} = \sqrt{\sum_{i=1}^m \sum_{j=1}^n |a_{i,j}|^2}.$$

Diğer yandan \mathcal{L}_2 norm diye adlandırılan norm

$$\|A\|_{\mathcal{L}_2} = \sqrt{\frac{1}{2\pi} \int_{-\infty}^{\infty} \text{trace} [A^*(j\omega) A(j\omega)] d\omega}$$

olarak tanımlanır.

G 'nin \mathcal{H}_∞ -normu

$$\|G\|_\infty = \sup_{\text{Re } s > 0} \sigma_{\max} [G(s)] = \sup_{\omega \in \mathbb{R}} \sigma_{\max} [G(j\omega)]$$

olarak tanımlanır. Bu normun endüklenmiş \mathcal{L}_2 -normuna eşit olduğu gösterilebilir:

$$\|G\|_\infty = \sup_{u \in \mathcal{L}_2, u \neq 0} \frac{\|Gu\|_{\mathcal{L}_2}}{\|u\|_{\mathcal{L}_2}}.$$

Bunun dışında kimi zaman \mathcal{H}_∞ -normu ile minimize edilmiş sistem \mathcal{L}_2 -normuna göre minimize edilmiş değildir [19]. \mathcal{H}_∞ normu endüklenmiş \mathcal{L}_2 normu olduğundan $U^*U = I$ eşitliğini sağlayan ve boyutu uygun olan her U matrisi için $\|UG\|_\infty = \|G\|_\infty$ eşitliği ve $\|\Delta\|_\infty \leq 1$ ise $\|\Delta G\|_\infty \leq \|G\|_\infty$ eşitsizliği geçerlidir. $\|G\|_\infty \leq \gamma$ ifadesine $G^*G \leq \gamma^2 I$ ifadesi denktir. Burada G^\sim ile G 'nin eşlenik transpozunu göstermektedir ve

$$G^\sim(s) = G^*(-\bar{s})$$

olarak tanımlanır. Eğer $G(s)$ dönüşümünün tüm katsayılar gerçek ise

$$G^\sim(s) = G^T(-s)$$

olarak ifade edilebilir.

2.2 Göreceli Asal Ayrıştırma

Bu kısımda \mathcal{H}_∞ üzerinde bir dönüşümün göreceli asal ayrıştırması ele alınacaktır.

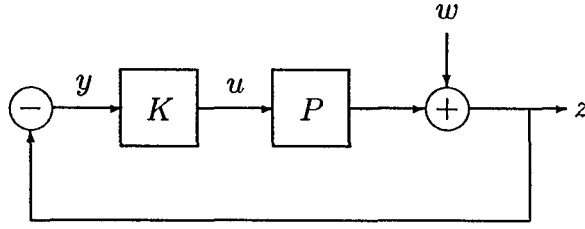
$$G = NM^{-1} = \bar{M}^{-1}\bar{N}, \quad N, M, \bar{N}, \bar{M} \in \mathcal{H}_\infty$$

ve N ile M sağdan göreceli asal, \bar{N} ile \bar{M} soldan göreceli asal olacak şekilde G 'nin ayrıştırmasına, G 'nin \mathcal{H}_∞ 'da *göreceli asal ayrıştırması* denir.

$$G(s) \stackrel{s}{=} \left[\begin{array}{c|c} A & B \\ \hline C & D \end{array} \right] \doteq C(sI - A)^{-1}B + D$$

gerçeklenmesine sahip olsun. Eğer (A, B) ikili denetlenebilir ve (C, A) ikili gözlenebilir ise sözkonusu gerçekleşme $G(s)$ dönüşümünün minimal gerçekleşmesidir. Yukarıdaki gerçekleşme minimal olsun. Bu durumda aşağıdaki Bezout eşitliği sağlanıyorsa G 'nin \mathcal{H}_∞ 'da göreceli asal ayrıştırması vardır,

$$NY + MX = I, \quad \bar{Y}\bar{N} + \bar{X}\bar{M} = I, \quad N, Y, M, X, \bar{Y}, \bar{N}, \bar{X}, \bar{M} \in \mathcal{H}_\infty.$$



Şekil 2.1: Geri besleme sistemi

$A + BF$ kararlı olacak şekilde F matrisi ve $A + LC$ kararlı olacak şekilde L matrisi seçilir ise, aranan göreceli asal ayrıştırma aşağıda gösterildiği gibi hesaplanabilir [38, Theorem 5.6],

$$\begin{bmatrix} M & -\bar{Y} \\ N & \bar{X} \end{bmatrix} \stackrel{s}{=} \left[\begin{array}{c|cc} A + BF & B & -L \\ \hline F & I & 0 \\ C + DF & D & I \end{array} \right],$$

$$\begin{bmatrix} X & Y \\ -\bar{N} & \bar{M} \end{bmatrix} \stackrel{s}{=} \left[\begin{array}{c|cc} A + LC & -(B + LD) & L \\ \hline F & I & 0 \\ C & -D & I \end{array} \right].$$

2.3 \mathcal{H}_∞ 'da Kararlılık ve Belirsizlikler

Şekil 2.1'deki sistem verilmiş olsun. Şekilde, P planti, K denetleyiciyi, w dışsal (referans sinyalleri, ölçme gürültüsü, bozukluk profil filtrelerinin sürme sinyalleri) sonlu enerjiye sahip işaretleri, z denetim hatasını, u denetlenebilir işaretleri ve y geri besleme için ölçülebilen çıkış işaretleri temsil etmektedir [23]. Şekilde w 'dan z 'ye olan transfer matrisine *duyarlılık fonksiyonu* denir ve $z = (I + PK)^{-1} w$ eşitliğinden

$$S = (I + PK)^{-1}$$

ifadesi duyarlılık fonksiyonunu temsil etmektedir. Örnek bir $L = PK$ kazancının Şekil 2.2'de (SISO durum için) Nyquist çizimi verilmiştir. L_o (nominal olarak adlandırılacak) kararlı olan bir açık çevrim kazancı olsun. Bu durumda L_o ile L arasındaki ilişkiyi kararlılık açısından inceleyelim. Nyquist kararlılık kriterine göre L 'nin Nyquist çiziminde $-1 + i0$ noktası çevrilmemelidir. Bu durumda şekilden de görüldüğü gibi bu koşul sağlanabilmesi için gerek ve yeter şart

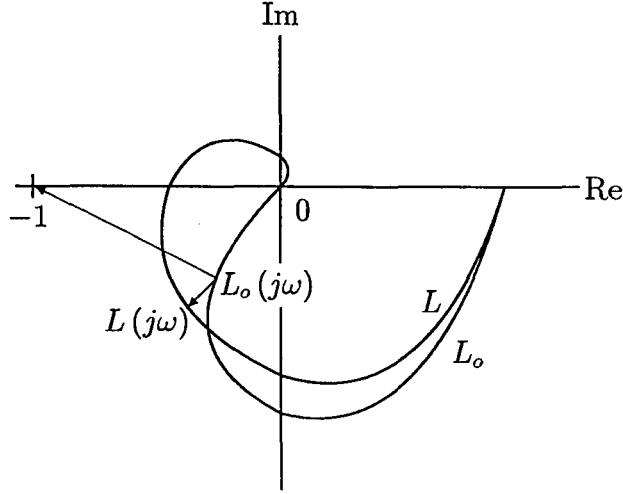
$$|L(j\omega) - L_o(j\omega)| < |L_o(j\omega) + 1|, \quad \forall \omega \in \mathbb{R}$$

eşitsizliğinin sağlanmasıdır. Bu eşitsizlik düzenlenirse

$$\frac{|L(j\omega) - L_o(j\omega)|}{|L_o(j\omega)|} \frac{|L_o(j\omega)|}{|L_o(j\omega) + 1|} < 1, \quad \forall \omega \in \mathbb{R}$$

eşitsizliği elde edilir.

$$T_o = 1 - \frac{1}{L_o + 1} = \frac{L_o}{L_o + 1}$$



Şekil 2.2: Pertürbasyonla kararlılık

olarak tanımlanan ifadeye *tamamlayıcı duyarlılık fonksiyonu* denilmektedir. Diğer yandan, dikkat edilirse

$$\frac{|L(j\omega) - L_o(j\omega)|}{|L_o(j\omega)|} \leq |W(j\omega)|, \quad \forall \omega \in \mathbb{R}$$

frekansa bağlı belli bir W ağırlık fonksiyonundan yazılabileceğinden

$$\frac{|L(j\omega) - L_o(j\omega)|}{|L_o(j\omega)|} \frac{|L_o(j\omega)|}{|L_o(j\omega) + 1|} \leq |W(j\omega) T_o(j\omega)|, \quad \forall \omega \in \mathbb{R}$$

olduğundan

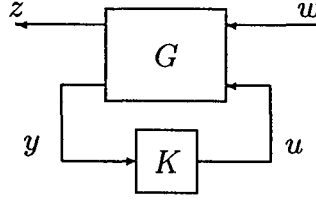
$$|W(j\omega) T_o(j\omega)| < 1, \quad \forall \omega \in \mathbb{R}$$

sağlanıyorsa L de kararlıdır. Son yazılan eşitsizlik aslında

$$\|WT_o\|_{\infty} < 1$$

ifadesine denktir. Plantteki çeşitli nedenlerden değişiklikler meydana gelebilmektedir. Nominal plant P_o olsun. P_o planti kararlılaştırabilir ve sezinlenebilir olmalı ki K_o gibi bir denetleyiciyle kararlı kılınsın. Bundan sonra bu koşulların sağlandığı kabul edilecektir. Eğer $L_o = P_o K_o$ kararlı ise ve sanal eksenin kararlılık sınırı olduğu kabul edilirse, ve $L = PK$ 'nin kutup sayısı sabit olursa (McMillan derecesi sabit ise) bütün kutupların değişimi sürekli fonksiyon olduğundan kararlı L_o 'in kutuplarından yola çıkarak L 'ye ait tüm kutupların sanal eksenini kesip kesmediği kontrol edilebilir. Çeşitli nedenlerden dolayı (sistem modellenmesinden, fiziksel yapımından v.b. kaynaklanan) bozukluklar sistemde mevcuttur. Nominal plante bozukluklar (pertürbasyonları, perturbation) toplamsal (additive), çarpımsal (multiplicative) ve göreceli asal (co-prime) matematiksel olarak ihtiva edilir:

$P = P_o + \Delta_a W_a$	toplamsal,
$P = P_o (I + \Delta_m W_m)$	çarpımsal,
$P_o = ND^{-1}, P = (N + M\Delta_N W_1)(D + M\Delta_D W_2)^{-1}$	sağdan göreceli asal,
$P_o = \bar{D}^{-1}\bar{N}, P = (\bar{D} + \bar{M}\Delta_{\bar{D}}\bar{W}_2)^{-1}(\bar{N} + \bar{M}\Delta_{\bar{N}}\bar{W}_1)$	soldan göreceli asal

Şekil 2.5: Standart \mathcal{H}_∞ problemi

$\begin{bmatrix} z \\ y \end{bmatrix}$ 'ye olan transfer matrisidir:

$$G = \left[\begin{array}{c|c} G_{11} & G_{12} \\ \hline G_{21} & G_{22} \end{array} \right] = \left[\begin{array}{c|c} W_1 V & W_1 P \\ \hline 0 & W_2 \\ \hline -V & -P \end{array} \right].$$

Birçok kontrol problemi standart iki blok probleminin özel hali olarak düşünülebilir.

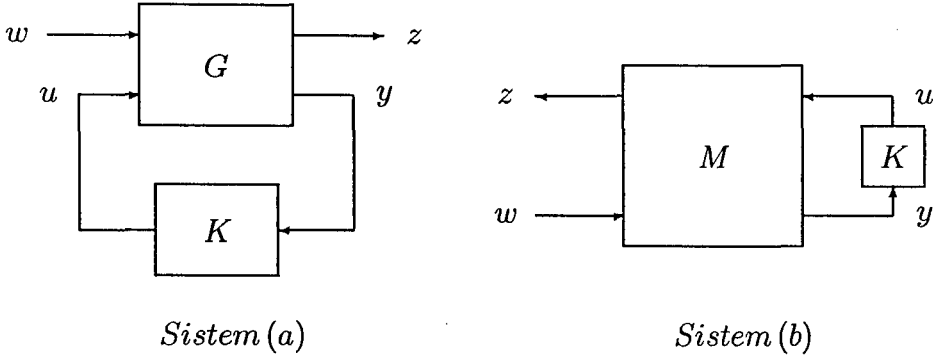
2.4 İki Blok Probleminin Çözümü

Bu kısımda bir önceki kısımda tanımlanmış olan iki blok probleminin çözümü verilecektir. İlk olarak kullanılacak olan bazı terimler hakkında bilgi sunulacaktır.

$G(s)$ verilen bir sistemi temsil eden transfer matrisi olsun. Bu durumda eğer $G^{\sim}(s)G(s) = I$ ise $G(s)$ 'ye iç (inner) matris denilmektedir. Başka bir deyişle eğer $G(s) \in \mathcal{H}_\infty$ ve eğer $\|G(s)u\| = \|u\|$ her $u \in \mathcal{H}_2$ için sağlanıyorsa $G(s)$ 'ye iç matris denir. Diğer yandan eğer $G(s) \in \mathcal{H}_\infty$ ise ve kararlı sağ tersine sahip ise $G(s)$ 'ye dış (outer) matris denir. Verilen J matrisine eğer $J = J^* = J^{-1}$ eşitliğini sağlıyorsa işaret (signature) matrisi denilir. Verilen J işaret matrisi ve $G(s)$ matrisi için eğer $G^{\sim}JG = J$ ise G matrisine J -iç (veya J -üniter (J -inner or J -unitary)) matris denilir. Eğer $s \in \mathbf{C}_+$ için J -iç G matrisi $G^*JG \leq J$ sağlanıyorsa G matrisine J -kayıpsız denilmektedir [37]. $\mathcal{H}_\infty^{m \times m}$ 'de matrisler kararlı matrisleri simgelemektedir. $\mathcal{GH}_\infty^{m \times m}$, $\mathcal{H}_\infty^{m \times m}$ 'de tersi alınabilir matrislerin kümesini simgeler; ($G \in \mathcal{GH}_\infty^{m \times m} \iff G, G^{-1} \in \mathcal{H}_\infty^{m \times m}$). $G \in \mathcal{H}_\infty^{g \times m}$ (veya $\in \mathcal{L}_\infty^{g \times m}$) matrisi için eğer $\|G\|_\infty \leq 1$ ise, G matrisi büzülmedir, eğer $\|G\|_\infty < 1$ ise kesin büzülmedir. Dikkat edilirse \mathbf{C}_+ 'da eğer ve yalnızca eğer $G^*G - I \leq 0$ ise $G \in \mathcal{H}_\infty^{g \times m}$ büzülmedir. Burada $G^*(s) = [G(s)]^*$ olarak tanımlanmıştır.

$\mathcal{RH}_\infty^{g \times m}$ ile $\mathcal{H}_\infty^{g \times m}$ 'de gerçek rasyonel matrisler kümesi, $\mathcal{RL}_\infty^{g \times m}$ ile $\mathcal{L}_\infty^{g \times m}$ 'deki gerçek rasyonel matrisleri, $\mathcal{GRH}_\infty^{m \times m}$ ile de $\mathcal{GH}_\infty^{m \times m}$ 'deki gerçek rasyonel matrisler kümesi belirtilmektedir.

Sav 2.1 [25, Lemma A.0.15] (**Redheffer savı**): Kapalı çevrim w girdili ve z çıktılı bindirim sistemleri Şekil 2.6'daki gibi verilmiş olsun. Bu durumda



Şekil 2.6: Genelleştirilmiş sistem: (a) LFT form, (b) RMM form

genelleştirilmiş sistemin transfer matrisleri

$$(a) : \begin{cases} \begin{bmatrix} z \\ y \end{bmatrix} = \begin{bmatrix} G_{11} & G_{12} \\ G_{21} & G_{22} \end{bmatrix} \begin{bmatrix} w \\ u \end{bmatrix}, \\ u = Ky \end{cases}$$

$$(b) : \begin{cases} \begin{bmatrix} z \\ w \end{bmatrix} = \begin{bmatrix} M_{11} & M_{12} \\ M_{21} & M_{22} \end{bmatrix} \begin{bmatrix} u \\ y \end{bmatrix}, \\ u = Ky \end{cases}$$

şekilde gösterildiği gibi sırasıyla (a) ve (b) sistemleri için verilsin. M ve G sinyallere uygun olarak bölünmüş olsun, yani

$$M = \begin{bmatrix} M_{11} & M_{12} \\ M_{21} & M_{22} \end{bmatrix} \in \mathcal{RH}_{\infty}^{(r+p) \times (q+p)} \text{ ve } G = \begin{bmatrix} G_{11} & G_{12} \\ G_{21} & G_{22} \end{bmatrix} \in \mathcal{RH}_{\infty}^{(r+p) \times (p+q)}$$

Bu durumda

1. Eğer gerçek rasyonel G matrisi iç matris ise ve $p \times p$ sol alt G_{21} bloğu $\mathcal{GRH}_{\infty}^{p \times p}$ 'de bulunuyorsa (a) sisteminde ω 'dan z 'ye olan

$$H := G_{11} + G_{12}K(I - G_{22}K)^{-1}G_{21}$$

kapalı çevrim transfer matrisi büzülmedir ve \mathcal{L}_2 -kararlı olabilmesi için gerek ve yeter şart K rasyonel transfer matrisinin büzülme olmasıdır ($K \in \mathcal{RH}_{\infty}^{q \times p}$ ve $\|K\|_{\infty} \leq 1$). Ayrıca eğer ve yalnızca eğer $\|K\|_{\infty} < 1$ ise $\|H\|_{\infty} < 1$.

2. Eğer gerçek rasyonel M matrisi $J_{q,p} = \begin{bmatrix} I_q & 0 \\ 0 & -I_p \end{bmatrix}$ -kayıpsız ise (b) sisteminde ω 'dan z 'ye olan

$$H := (M_{11}K + M_{12})(M_{21}K + M_{22})^{-1}$$

kapalı çevrim transfer matrisi büzülmedir ve \mathcal{L}_2 -kararlı olabilmesi için gerek ve yeter şart K rasyonel transfer matrisinin büzülme olmasıdır ($K \in \mathcal{RH}_{\infty}^{q \times p}$ ve $\|K\|_{\infty} \leq 1$). Ayrıca eğer ve yalnızca eğer $\|K\|_{\infty} < 1$ ise $\|H\|_{\infty} < 1$.

w 'dan z 'ye transfer fonksiyonu olan H 'nin

$$H = G_{11} + G_{12}K(I - G_{22}K)^{-1}G_{21}$$

G genelleştirilmiş plant cinsinden ifade edilen dönüşümü *doğrusal kesirli dönüşüm* (linear fractional transformation, LFT),

$$H = (M_{11}K + M_{12})(M_{21}K + M_{22})^{-1}$$

M genelleştirilmiş plant cinsinden ifade edilen dönüşümü de *sağ Möbius dönüşüm* (right Möbius map, RMM) olarak adlandırılır. Yukarıdaki savdan genelleştirilmiş sistem ya LFT formunda ya da RMM formunda kabul edip $\inf \|H\|_\infty$ minimizasyon problemi çözülebilir. Transfer matrisler rasyonel olduğu takdirde her iki durumda çözümün ne olduğu iyi bilinmektedir [18, 38, 39, 27, 25, 26, 23]. Burada kısaca RMM teknikleri kullanılan J -spektral ayrıştırma tekniğine dayalı yöntemle değinilecektir. J -spektral ayrıştırma teknikleri [26, 37, 18] çalışmalarında detaylı bir şekilde ele alınmıştır. Adi spektral ayrıştırma problemi [18]'de detaylı bir biçimde ele alınmıştır. [37] çalışmasında ise J -spektral ayrıştırma üzerinde çeşitli teknikler ele alınmıştır.

2.4.1 Adi Spektral Ayrıştırma

Adi spektral ayrıştırma problemi verilen G transfer matrisi için

$$G = Q^{\sim}Q, \quad Q \in \mathcal{H}_\infty, \quad Q^{-1} \in \mathcal{H}_\infty$$

koşullarını sağlayan Q matrisinin bulunması problemdir. G transfer matrisinin spektral ayrıştırmaya sahip olabilmesi için hangi koşulların sağlanması gerektiğini araştıralım.

$$G \stackrel{s}{=} \left[\begin{array}{c|c} A & B \\ \hline C & D \end{array} \right] \doteq C(sI - A)^{-1}B + D$$

gerçeklenmesine sahip olsun. Diğer yandan

$$Q \stackrel{s}{=} \left[\begin{array}{c|c} A_q & B_q \\ \hline C_q & D_q \end{array} \right]$$

gerçeklenmesine sahip olsun. Bu durumda

$$Q^{\sim}Q = \left[\begin{array}{c|c} -A_q^* & -C_q^* \\ \hline B_q^* & D_q^* \end{array} \right] \left[\begin{array}{c|c} A_q & B_q \\ \hline C_q & D_q \end{array} \right] = \left[\begin{array}{cc|c} A_q & 0 & B_q \\ -C_q^*C_q & -A_q^* & -C_q^*D_q \\ \hline D_q^*C_q & B_q^* & D_q^*D_q \end{array} \right]$$

olarak yazılabileceğinden dolayı $D_q^*D_q = D$ olmalıdır. Bu durum ise G transfer matrisinin kare olması gerektiğini göstermektedir. Dahası $D_q^*D_q = D$ eşitliğinin sağlanabilmesi için $D > 0$ olmalıdır (D tersi alınabilir bir matris olmalıdır zira $Q^{-1} \in \mathcal{H}_\infty$). Ayrıca

$$Q^{-1} \stackrel{s}{=} \left[\begin{array}{c|c} A_q - B_qD_q^{-1}C_q & -B_qD_q^{-1} \\ \hline D_q^{-1}C_q & D_q^{-1} \end{array} \right]$$

kararlı olabilmesi için $A_q - B_q D_q^{-1} C_q$ 'nin tüm özdeğerleri kompleks düzleminin sol yarısında bulunmalıdır. D^{-1} var olabilmesi için G 'nin çift düzgün¹ (biproper) olması şartı getirilmektedir. Diğer yandan $G \sim = Q \sim Q$ olacağından $G = G \sim$ şartı da ortaya çıkmaktadır (bu koşulla G 'nin kare olduğu garantilenir). Dikkat edilirse A_q kararlı olduğu için sanal eksen üzerinde özdeğerlere sahip değildir bu yüzden A 'nın sanal eksen üzerinde özdeğerleri olmamalıdır. Öyleyse G sanal eksen üzerinde tam ranklı olmalıdır. Özetlemek gerekirse, G sanal eksen üzerinde tam ranklı ise, kompleks eşleniğine eşit ise ve çift kesin ise G 'nin adi spektral ayrıştırması vardır. Dikkat edilirse $Q \sim Q$ çarpımında hem kararlı hem de kararsız modlar vardır, bu yüzden G 'nin gerçekleşmesinde A dinamik matrisinin modlarının ayrıştırması gereklidir. O halde uygun bir T benzerlik dönüşümü uygulandığında

$$A = \begin{bmatrix} A_1 & 0 \\ 0 & A_2 \end{bmatrix}, B = \begin{bmatrix} B_1 \\ B_2 \end{bmatrix}, C = [C_1 \ C_2],$$

A_1 kararlı ve A_2 karşı kararlı² (antistable) olarak yazılabilir. Bu durumda

$$\begin{aligned} G &\stackrel{s}{=} \left[\begin{array}{c|c} A & B \\ \hline C & D \end{array} \right] = \left[\begin{array}{cc|c} A_1 & 0 & B_1 \\ 0 & A_2 & B_2 \\ \hline C_1 & C_2 & D \end{array} \right] \\ &= \left[\begin{array}{c|c} A_1 & B_1 \\ \hline C_1 & 0 \end{array} \right] + \left[\begin{array}{c|c} A_2 & B_2 \\ \hline C_2 & 0 \end{array} \right] + D = G_1 + G_2 + D \end{aligned}$$

olarak yazılabilir ve $D_q = D^{\frac{1}{2}}$ olarak seçilebilir. $G \sim = G$ olduğundan

$$G_1 \sim + G_2 \sim = G_1 + G_2$$

eşitliği yazılabileceğinden

$$G_1 \sim - G_2 \sim = G_1 - G_2$$

eşitliği yazılabilir. Dikkat edilirse G_1 ve $G_2 \sim$ kararlı, $G_1 \sim$ ve G_2 karşı kararlı (analitik bölgeleri farklı) oldukları için yukarıdaki eşitliğin sağlanabilmesi için Liouville teoremine göre her iki taraf sifıra eşit olmalıdır, dolayısıyla $G_1 = G_2 \sim$ eşitliği elde edilir. Bu durumda

$$\begin{aligned} G &= G_1 + G_1 \sim + D = \left[\begin{array}{c|c} A_1 & B_1 \\ \hline C_1 & 0 \end{array} \right] + \left[\begin{array}{c|c} -A_1^* & -C_1^* \\ \hline B_1^* & 0 \end{array} \right] + D \\ &= \left[\begin{array}{cc|c} A_1 & 0 & B_1 \\ 0 & -A_1^* & -C_1^* \\ \hline C_1 & B_1^* & D \end{array} \right] \end{aligned}$$

olarak yazılabilir. O halde

$$\left[\begin{array}{cc|c} A_1 & 0 & B_1 \\ 0 & -A_1^* & -C_1^* \\ \hline C_1 & B_1^* & D \end{array} \right] = \left[\begin{array}{cc|c} A_q & 0 & B_q \\ -C_q^* C_q & -A_q^* & -C_q^* D_q \\ \hline D_q^* C_q & B_q^* & D_q^* D_q \end{array} \right]$$

¹Eğer $\det D \neq 0$ ise $G = C(sI - A)^{-1} B + D$ 'ye çift düzgün denilir.

² $-A$ matrisi kararlı ise A matrisine karşı kararlı denir.

eşitliğinin sağlanması için, $D_q = D^{1/2}$ ve

$$T = \begin{bmatrix} I & 0 \\ X & I \end{bmatrix}, \quad T^{-1} = \begin{bmatrix} I & 0 \\ -X & I \end{bmatrix}$$

seçildiğinde ve bu durumda

$$T^{-1}AT = \begin{bmatrix} I & 0 \\ -X & I \end{bmatrix} \begin{bmatrix} A_1 & 0 \\ 0 & -A_1^* \end{bmatrix} \begin{bmatrix} I & 0 \\ X & I \end{bmatrix} = \begin{bmatrix} A_1 & 0 \\ -XA_1 - A_1^*X & -A_1^* \end{bmatrix}$$

olduğundan

$$XA_1 + A_1^*X = C_q^*C_q \quad (2.1)$$

eşitliği sağlanmalıdır. Diğer yandan

$$T^{-1}B = \begin{bmatrix} I & 0 \\ -X & I \end{bmatrix} \begin{bmatrix} B_1 \\ -C_1^* \end{bmatrix} = \begin{bmatrix} B_1 \\ -XB_1 - C_1^* \end{bmatrix},$$

$$CT = \begin{bmatrix} C_1 & B_1^* \end{bmatrix} \begin{bmatrix} I & 0 \\ X & I \end{bmatrix} = \begin{bmatrix} C_1 + B_1^*X & B_1^* \end{bmatrix}$$

eşitlikleri kullanıldığında

$$C_q = D^{-\frac{1}{2}}(C_1 + B_1^*X), \quad B_q = B_1$$

eşitliği elde edilir. O halde

$$\begin{aligned} C_q^*C_q &= (C_1^* + XB_1)D^{-\frac{1}{2}}D^{-\frac{1}{2}}(C_1 + B_1^*X) \\ &= C_1^*D^{-1}C_1 + XB_1D^{-1}C_1 + C_1^*D^{-1}B_1^*X + XB_1D^{-1}B_1^*X \end{aligned}$$

eşitliği kullanılarak ve (2.1) Lyapunov denkleminde

$$X(A_1 - B_1D^{-1}C_1) - (A_1 - B_1D^{-1}C_1)^*X - XB_1D^{-1}B_1^*X - C_1^*D^{-1}C_1 = 0 \quad (2.2)$$

Riccati denklemi elde edilir. Bu durumda yukarıdaki denklemden

$A_1 - B_1D^{-1}B_1^*X$ matrisini kararlı kılan X 'i çözüp Q 'nun gerçekleşmesi

$$Q \stackrel{s}{=} \left[\begin{array}{c|c} A_1 & B_1 \\ \hline D^{-\frac{1}{2}}(C_1 + B_1^*X) & D^{\frac{1}{2}} \end{array} \right]$$

olarak elde edilir.

2.4.2 J -spektral Ayrıştırma

G transfer matrisinin J -spektral ayrıştırma problemi

$$G = Q^{\sim}JQ, \quad Q \in \mathcal{H}_{\infty}, \quad Q^{-1} \in \mathcal{H}_{\infty}, \quad J = \begin{bmatrix} I & 0 \\ 0 & -I \end{bmatrix}$$

verilen J işaret (signature) matrisi için çift kararlı³ (bistable) Q 'nun bulunmasıdır. Dikkat edilirse burada

$$Q^{\sim}JQ = \left[\begin{array}{c|c} -A_q^* & -C_q^* \\ \hline B_q^* & D_q^* \end{array} \right] \left[\begin{array}{c|c} A_q & B_q \\ \hline JC_q & JD_q \end{array} \right] = \left[\begin{array}{c|c} A_q & 0 \\ \hline -C_q^*JC_q & -A_q^* \end{array} \middle| \begin{array}{c} B_q \\ -C_q^*JD_q \end{array} \right]$$

³ $Q \in \mathcal{H}_{\infty}$ ve $Q^{-1} \in \mathcal{H}_{\infty}$ (kendi ve tersi kararlı) ise Q 'ye çift kararlı denir.

eşitliğinden yukarıdaki işlemlerin benzerini izleyerek J -spektral ayrıştırması bulunabilir.

$$\begin{aligned} D &= D_q^* J D_q, \quad \det D_q \neq 0, \\ D &= \begin{bmatrix} D_{11} & D_{12} \\ D_{21} & D_{22} \end{bmatrix}, \quad \exists D_{22}^{-1} \text{ olsun,} \\ D_q &= \begin{bmatrix} \Phi_{11} & 0 \\ \Phi_{21} & \Phi_{22} \end{bmatrix} \end{aligned}$$

yapısında olsun. Bu durumda

$$\begin{aligned} D_q^* J D_q &= \begin{bmatrix} \Phi_{11}^* & \Phi_{21}^* \\ 0 & \Phi_{22}^* \end{bmatrix} \begin{bmatrix} I & 0 \\ 0 & -I \end{bmatrix} \begin{bmatrix} \Phi_{11} & 0 \\ \Phi_{21} & \Phi_{22} \end{bmatrix} \\ &= \begin{bmatrix} \Phi_{11}^* & \Phi_{21}^* \\ 0 & \tilde{\Phi}_{22} \end{bmatrix} \begin{bmatrix} \Phi_{11} & 0 \\ -\Phi_{21} & -\Phi_{22} \end{bmatrix} \\ &= \begin{bmatrix} \Phi_{11}^* \Phi_{11} - \Phi_{21}^* \Phi_{21} & -\Phi_{21}^* \Phi_{22} \\ -\tilde{\Phi}_{22}^* \Phi_{21} & -\tilde{\Phi}_{22}^* \Phi_{22} \end{bmatrix} = \begin{bmatrix} D_{11} & D_{12} \\ D_{21} & D_{22} \end{bmatrix} \end{aligned}$$

eşitliğinden ve $D_{12}^* = D_{21}$ göz önünde bulundurularak

$$\begin{aligned} D_{22} &= -\tilde{\Phi}_{22}^* \Phi_{22} \Rightarrow \tilde{\Phi}_{22} = (-D_{22})^{\frac{1}{2}}, \\ D_{21} &= -\tilde{\Phi}_{22}^* \Phi_{21} \Rightarrow \Phi_{21} = (-D_{22})^{-\frac{1}{2}} D_{21}, \\ D_{11} &= \Phi_{11}^* \Phi_{11} - \Phi_{21}^* \Phi_{21} \Rightarrow \Phi_{11}^* \Phi_{11} = D_{11} + D_{12} (-D_{22})^{-1} D_{21} \\ \Phi_{11} &= (D_{11} + D_{12} (-D_{22})^{-1} D_{21})^{\frac{1}{2}} \end{aligned}$$

eşitlikleri yazılabilir. O halde

$$D_q = \begin{bmatrix} (D_{11} + D_{12} (-D_{22})^{-1} D_{21})^{\frac{1}{2}} & 0 \\ (-D_{22})^{-\frac{1}{2}} D_{21} & (-D_{22})^{\frac{1}{2}} \end{bmatrix}$$

olarak yazılabilir. Burada D 'nin parçalanması J işaret matrisinin parçalanması gibidir. Daha önce yazılan eşitlikten

$$C_q = J D_q^{-1} (C_1 + B_1^* X)$$

olarak seçildiğinden (2.2) Riccati eşitliği

$$X (A_1 - B_1 D_q^{-2} C_1) + (A_1 - B_1 D_q^{-2} C_1)^* X - X B_1 D_q^{-2} B_1^* X - C_1^* D_q^{-2} C_1 = 0$$

olarak yazılabilir. Bu durumda $A_1 - B_1 D_q^{-2} B_1^* X$ matrisini kararlı kılan ve yukarıdaki Riccati denklemini sağlayan X bulunduğunda Q 'nun gerçekleşmesi

$$Q \stackrel{s}{=} \left[\begin{array}{c|c} A_1 & B_1 \\ \hline J D_q^{-*} (C_1 + B_1^* X) & D_q \end{array} \right]$$

olarak ifade edilebilir. Not olarak yukarıdaki işlemleri sorunsuz yapabilmek için G transfer matrisi sanal eksenini üzerinde tam ranklı olmalı, diğer yandan $D_{22} < 0$ olmalıdır. Tabii ki $G = G^\sim$ de sağlanmalıdır ve G çift düzgün olmalıdır. Bu dört koşul sağlandığı taktirde G J -spektral ayrıştırmaya sahiptir.

2.4.3 Denetleyicinin Bulunması

Bu durumda kapalı çevrim sistemini kararlılaştıran K denetleyicisinin ne olması gerektiğini araştıralım. İki blok problemi verilsin:

$$\inf_K \|H\|_\infty = \inf_K \left\| \begin{array}{c|c} W_1(I+PK)^{-1} & \\ \hline W_2K(I+PK)^{-1} & \end{array} \right\|_\infty =: \gamma^{opt}, \quad \gamma > \gamma^{opt}.$$

Bu durumda

$$H \sim H < \gamma^2 I, \quad \text{sanal eksen üzerinde}$$

eşitsizliğinden yolla çıkararak ve varsayalım ki H RMM formunda, yani

$$H = (G_{11}K + G_{12})(G_{21}K + G_{22})^{-1} =: RMM(G, K)$$

şekindedir. Burada G kolayca Şekil 2.4'ten elde edilebilir:

$$G = \left[\begin{array}{c|c} G_{11} & G_{12} \\ \hline G_{21} & G_{22} \end{array} \right] = \left[\begin{array}{c|c} 0 & -W_1 \\ \hline W_2 & 0 \\ \hline -V^{-1}P & -V^{-1} \end{array} \right].$$

Bu durumda

$$\begin{aligned} H \sim H &= [(G_{11}K + G_{12})(G_{21}K + G_{22})^{-1}] \sim [(G_{11}K + G_{12})(G_{21}K + G_{22})^{-1}] \\ &= (G_{21}K + G_{22}) \sim (K \sim G_{11} + G_{12})(G_{11}K + G_{12})(G_{21}K + G_{22})^{-1} \end{aligned}$$

olarak ifade edilebilir. O halde eğer

$$K := YX^{-1}, \quad Y \in \mathcal{H}_\infty, X \in \mathcal{H}_\infty$$

olarak yazılabileceği kabul edilirse ve

$$\begin{aligned} (G_{21}K + G_{22})^{-1} &= (G_{21}YX^{-1} + G_{22})^{-1} = X(G_{21}Y + G_{22}X)^{-1} \\ &= X \left(\begin{bmatrix} G_{21} & G_{22} \end{bmatrix} \begin{bmatrix} Y \\ X \end{bmatrix} \right)^{-1} \\ G_{11}K + G_{12} &= G_{11}YX^{-1} + G_{12} = \begin{bmatrix} G_{11} & G_{12} \end{bmatrix} \begin{bmatrix} Y \\ X \end{bmatrix} X^{-1} \end{aligned}$$

yazılabileceğinden

$$\begin{aligned} H &= \begin{bmatrix} G_{11} & G_{12} \end{bmatrix} \begin{bmatrix} Y \\ X \end{bmatrix} X^{-1} X \left(\begin{bmatrix} G_{21} & G_{22} \end{bmatrix} \begin{bmatrix} Y \\ X \end{bmatrix} \right)^{-1} \\ &= \begin{bmatrix} G_{11} & G_{12} \end{bmatrix} \begin{bmatrix} Y \\ X \end{bmatrix} \left(\begin{bmatrix} G_{21} & G_{22} \end{bmatrix} \begin{bmatrix} Y \\ X \end{bmatrix} \right)^{-1} \end{aligned}$$

olarak yazılabilir. Bu durumda

$$\begin{aligned} H \sim H &= \left(\begin{bmatrix} G_{21} & G_{22} \end{bmatrix} \begin{bmatrix} Y \\ X \end{bmatrix} \right)^{-1} \begin{bmatrix} Y \sim & X \sim \end{bmatrix} \begin{bmatrix} G_{11} \sim \\ G_{12} \sim \end{bmatrix} \\ &\quad \cdot \begin{bmatrix} G_{11} & G_{12} \end{bmatrix} \begin{bmatrix} Y \\ X \end{bmatrix} \left(\begin{bmatrix} G_{21} & G_{22} \end{bmatrix} \begin{bmatrix} Y \\ X \end{bmatrix} \right)^{-1} < \gamma^2 I \end{aligned}$$

olarak yazılabilir. Son eşitsizlikten

$$\begin{aligned} [Y^\sim \quad X^\sim] \begin{bmatrix} G_{11}^\sim G_{11} & G_{11}^\sim G_{12} \\ G_{12}^\sim G_{11} & G_{12}^\sim G_{12} \end{bmatrix} \begin{bmatrix} Y \\ X \end{bmatrix} \\ < \gamma^2 I [Y^\sim \quad X^\sim] \begin{bmatrix} G_{21}^\sim G_{21} & G_{21}^\sim G_{22} \\ G_{22}^\sim G_{21} & G_{22}^\sim G_{22} \end{bmatrix} \begin{bmatrix} Y \\ X \end{bmatrix} \end{aligned}$$

eşitsizliği yazılabilir. O halde bu eşitsizlik düzenlenirse

$$[Y^\sim \quad X^\sim] \begin{bmatrix} G_{11}^\sim G_{11} - \gamma^2 G_{21}^\sim G_{21} & G_{11}^\sim G_{12} - \gamma^2 G_{21}^\sim G_{22} \\ G_{12}^\sim G_{11} - \gamma^2 G_{22}^\sim G_{21} & G_{12}^\sim G_{12} - \gamma^2 G_{22}^\sim G_{22} \end{bmatrix} \begin{bmatrix} Y \\ X \end{bmatrix} < 0$$

olarak yazılabilir. Dikkat edilirse

$$\begin{bmatrix} G_{11}^\sim G_{11} - \gamma^2 G_{21}^\sim G_{21} & G_{11}^\sim G_{12} - \gamma^2 G_{21}^\sim G_{22} \\ G_{12}^\sim G_{11} - \gamma^2 G_{22}^\sim G_{21} & G_{12}^\sim G_{12} - \gamma^2 G_{22}^\sim G_{22} \end{bmatrix} = G^\sim J_\gamma G$$

olarak yazılabilir. Burada

$$J_\gamma = \begin{bmatrix} I & 0 \\ 0 & -\gamma^2 I \end{bmatrix}, \quad G = \begin{bmatrix} G_{11} & G_{12} \\ G_{21} & G_{22} \end{bmatrix}$$

olarak tanımlanmıştır ve J_γ 'ya işaret (signature) matrisi denilmektedir. O halde

$$H^\sim H < \gamma^2 I \quad \text{sanal eksen üzerinde}$$

koşuluna denk olan

$$[Y^\sim \quad X^\sim] G^\sim J_\gamma G \begin{bmatrix} Y \\ X \end{bmatrix} < 0 \quad \text{sanal eksen üzerinde}$$

koşulu yazılabilir. Şimdi eğer $Z = G^\sim J_\gamma G$ sanal eksen üzerinde tam ranklı ise ve $D^* J_\gamma D$ matrisinin tersi alınabilir ise Z J -spektral ayrıştırmaya sahiptir ve $Z = Q^\sim J Q$, $Q \in \mathcal{H}_\infty$, $Q^{-1} \in \mathcal{H}_\infty$ olacak şekilde Q daha önce bahsedildiği gibi bulunabilir. Burada J işaret matrisidir, $J := \begin{bmatrix} I & 0 \\ 0 & -I \end{bmatrix}$ ve $G := \begin{array}{c|c} A & B \\ \hline C & D \end{array}$ gerçekleşmesine sahip olduğu kabul edilmiştir. O halde yukarıdaki eşitliklikten

$$[Y^\sim \quad X^\sim] Q^\sim J Q \begin{bmatrix} Y \\ X \end{bmatrix} < 0 \quad \text{sanal eksen üzerinde}$$

yazılabileceğinden ve

$$\begin{bmatrix} U_1 \\ U_2 \end{bmatrix} = Q \begin{bmatrix} Y \\ X \end{bmatrix}, \quad U_1 \in \mathcal{H}_\infty, U_2 \in \mathcal{H}_\infty$$

olarak tanımlanırsa ve Q tersi alınabilir bir matris olduğu için

$$\begin{bmatrix} Y \\ X \end{bmatrix} = Q^{-1} \begin{bmatrix} U_1 \\ U_2 \end{bmatrix}, \quad K = YX^{-1}$$

olarak bulunur. Burada U_1 ve U_2 üzerinde kısıtlama

$$\begin{bmatrix} U_1 \\ U_2 \end{bmatrix} \sim \begin{bmatrix} I & 0 \\ 0 & -I \end{bmatrix} \begin{bmatrix} U_1 \\ U_2 \end{bmatrix} = [U_1^\sim \quad U_2^\sim] \begin{bmatrix} U_1 \\ -U_2 \end{bmatrix} < 0 \\ U_1^\sim U_1 < U_2^\sim U_2$$

olarak ifade edilebilir. Eğer $U_1 = 0$ ve $U_2 = I$ olarak seçilirse elde edilen çözüme *merkezi çözüm* denilir [23]. Diğer yandan eğer $U_2 = I$ ve $U_1 = U$ öyle ki $\|U\|_\infty < 1$ sağlanıyor ise K denetleyicisi U matrisi ile parametrize edilmiş olur. Böyle bir parametrizasyona Youla parametrizasyonu denilmektedir.

$$Q^{-1} = \begin{bmatrix} Z_{11} & Z_{12} \\ Z_{21} & Z_{22} \end{bmatrix}, \quad \begin{bmatrix} U_1 \\ U_2 \end{bmatrix} = \begin{bmatrix} U \\ I \end{bmatrix}, \quad \|U\|_\infty < 1, \\ \begin{bmatrix} Y \\ X \end{bmatrix} = \begin{bmatrix} Z_{11} & Z_{12} \\ Z_{21} & Z_{22} \end{bmatrix} \begin{bmatrix} U \\ I \end{bmatrix} = \begin{bmatrix} Z_{11}U + Z_{12} \\ Z_{21}U + Z_{22} \end{bmatrix}, \\ K = YX^{-1} = (Z_{11}U + Z_{12})(Z_{21}U + Z_{22})^{-1} =: RMM(Q^{-1}, U)$$

olarak yazılabilir.

Eğer genelleştirilmiş plant kararsız ve düzgün değilse [27] makalesindeki sonuç kullanılabilir:

Teorem 2.1 [27, Theorem 3.1]: G $(r+p) \times (q+p)$ boyutlu rasyonel bir matris olsun (kararsız ve düzgün olmayabilir) ve N_G ve D_G düzgün rasyonel matrisler olmak üzere $G = N_G D_G^{-1}$ olsun. N_G ve D_G 'nin ortak geçeklenmesi

$$\begin{bmatrix} N_G \\ D_G \end{bmatrix} \stackrel{s}{=} \left[\begin{array}{c|c} A & B \\ \hline C & D \\ E & F \end{array} \right]$$

kararlılaştırılabilir olsun ve \mathbb{C}_0^+ 'da sıfırlara sahip olmasın. $N_G \stackrel{s}{=} \left[\begin{array}{c|c} A & B \\ \hline C & D \end{array} \right]$ 'nin geçeklenmesi sanal eksen üzerinde sıfırlara sahip olmasın ve $N_G(\infty) = D$ tam sütun ranklı olsun.

$$J_{r,p}(\gamma) = \begin{bmatrix} I_r & 0 \\ 0 & -\gamma^2 I_p \end{bmatrix}, \quad J_{q,p} = \begin{bmatrix} I_q & 0 \\ 0 & -I_p \end{bmatrix}$$

olarak tanımlansın. Bu durumda eğer ve yalnızca eğer $D^* J_{r,p}(\gamma) D = W_\infty^* J_{q,p} W_\infty$ singüler olmayan W_∞ çözümüne sahip ise ve

$$XA + A^*X - (XB + C^* J_{r,p}(\gamma) D)(D^* J_{r,p}(\gamma) D)^{-1}(D^* J_{r,p}(\gamma) C + B^*X) \\ + C^* J_{r,p}(\gamma) C = 0$$

kararlılaştırılan $X \geq 0$ çözümüne sahip ise $(q \times p)$ boyutlu $\|H\|_\infty < \gamma$ eşitsizliğini sağlayan K denetleyicisi vardır. Dahası, eğer ve yalnızca eğer,

$$K = RMM(D_G W^{-1}, U)$$

şeklinde ise $\|H\|_\infty < \gamma$ eşitsizliği sağlanmaktadır. Burada U boyutu K 'nin boyutuna eşit olan ve $\|U\|_\infty < 1$ sağlayan keyfi kararlı matristir ve

$$W \stackrel{s}{=} \left[\begin{array}{c|c} A & B \\ \hline J_{q,p}W_\infty^{-*} (D^*J_{r,p}(\gamma)C + B^*P) & W_\infty \end{array} \right]$$

ile tanımlanmıştır. Dahası D_GW^{-1} 'nin gerçekleşmesinin boyutu $\begin{bmatrix} N_G \\ D_G \end{bmatrix}$ matrisinin gerçekleşmesinin boyutuna eşittir ve

$$\begin{aligned} D_GW^{-1} &\stackrel{s}{=} \left[\begin{array}{c|c} A & B \\ \hline E & F \end{array} \right] \left[\begin{array}{c|c} I & 0 \\ \hline J_{q,p}W_\infty^{-*} (D^*J_{r,p}(\gamma)C + B^*P) & W_\infty \end{array} \right]^{-1} \\ &= \left[\begin{array}{c|c} A - BW_\infty^{-1}J_{q,p}W_\infty^{-*} (D^*J_{r,p}(\gamma)C + B^*P) & BW_\infty^{-1} \\ \hline E - FW_\infty^{-1}J_{q,p}W_\infty^{-*} (D^*J_{r,p}(\gamma)C + B^*P) & FW_\infty^{-1} \end{array} \right]. \end{aligned}$$

2.5 Gecikmeli Sistemlerde \mathcal{H}_∞ Denetimi

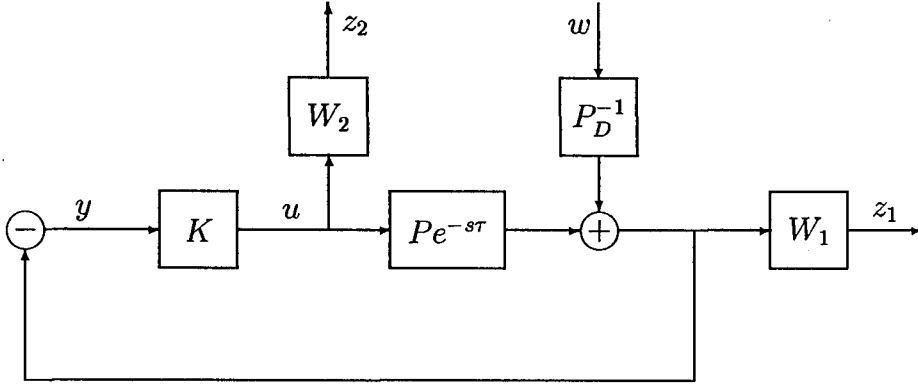
\mathcal{H}_∞ kontrolün uygulandığı alanlarından biri de gecikmeli sistemlerin denetimidir. Gecikmeli sistemler sonsuz boyutlu sistemlerdir (örneğin $e^{-s\tau}$ 'nin Taylor açılımı alınırsa $e^{-s\tau}$ 'nin sonsuz sayıda sıfırı olduğu kolayca görülmektedir). Bu bakımdan gecikmeli sistemlerin analizi oldukça zordur. Çeşitli yöntemler izlenebilir, bunlardan biri $e^{-s\tau}$ irrasyonel ifadesini belli bir rasyonel ifade ile yakınlaştırarak rasyonel fonksiyonlar için bilinen yöntemlerle denetleyici tasarlamaktır. Fakat böyle bir yaklaşım ile tasarlanan denetleyicinin boyutu yüksektir. Bu yüzden bellekli denetleyicileri tasarlamak denetleyicinin maliyetini düşürmektedir.

Bu konuda, $P_r(s) e^{-s\tau}$ şeklindeki transfer fonksiyonları için ve denetleyici tasarımı için literatürde birden fazla çözüm yöntemi vardır [17, 28, 15, 14, 16, 35, 36, 22, 34, 32, 31, 30, 29, ve içindeki referanslar]. Gecikmeli sistemlerde kararlılığın incelenmesi için [10] makalesi referans olarak gösterilebilir. [15] makalesinde SISO gecikmeli sistemler için gap-metric teknikleri kullanılarak gürbüz denetleyici tasarlanmıştır. [34] makalesinde ise operatör teorisi yardımı ile zaman bölgesinde tek gecikme ile gecikmeli sistemler için denetleyici tasarlanmıştır. Diğer yandan [36] makalesinde, frekans bölgesinde iç-dış ayrıştırma teknikleri ve Hankel artı Toeplitz operatörleri yardımıyla Nehari probleminden esinlenerek SISO gecikmeli sistemler için denetleyici tasarlanmıştır. [28] makalesinde oldukça şık ve kolay bir şekilde J -spektral ayrıştırma teknikleri yardımıyla tek gecikme içeren sistemler için denetleyici tasarlanmıştır.

Gecikmeli sistemlerde bellekli sistemlerin kullanılmasına Smith belirleyisi (Smith predictor) ile başlanmıştır. Doğal olarak denetleyicinin gecikmesiz durumda plantı kararlılaştırması koşulu öne sürülmektedir. Şekil 2.7'deki iki blok optimizasyon problemi verilsin. Burada

$$P = P_D^{-1}P_N, \quad P_D \in \mathcal{H}_\infty, \quad P_N \in \mathcal{H}_\infty$$

verilen rasyonel transfer matrisidir, τ ise gecikmedir. w 'dan $z = \begin{bmatrix} z_1 \\ z_2 \end{bmatrix}$ 'ye



Şekil 2.7: Gecikmeli sistemler için karma duyarlılık problemi

olan transfer matrisi

$$H = \begin{bmatrix} W_1 (I + e^{-s\tau} PK)^{-1} P_D^{-1} \\ W_2 K (I + e^{-s\tau} PK)^{-1} P_D^{-1} \end{bmatrix}$$

olarak yazılabilir. İki blok optimizasyon problemi

$$\inf_{K, P e^{-s\tau} \text{'yu kararlılaştırıyor}} \left\| \begin{bmatrix} W_1 (I + e^{-s\tau} PK)^{-1} P_D^{-1} \\ W_2 K (I + e^{-s\tau} PK)^{-1} P_D^{-1} \end{bmatrix} \right\|_{\infty}$$

olarak tanımlanır. Bu durumda genelleştirilmiş plant RMM formunda kabul edilirse

$$\begin{bmatrix} z_1 \\ z_2 \\ w \end{bmatrix} = \begin{bmatrix} 0 & -W_1 \\ W_2 & 0 \\ -e^{-s\tau} P_N & -P_D \end{bmatrix} \begin{bmatrix} u \\ y \end{bmatrix}, \quad G := \begin{bmatrix} 0 & -W_1 \\ W_2 & 0 \\ -e^{-s\tau} P_N & -P_D \end{bmatrix}$$

daha önce bahsedilen J -spektral ayrıştırma teknikleri kullanılarak

$$G \sim J_{\gamma} G = Q \sim J Q, \quad Q \in \mathcal{H}_{\infty}, \quad Q^{-1} \in \mathcal{H}_{\infty}$$

eşitliğini sağlayan Q matrisinin bulunması gerekir. Burada

$$J_{\gamma} := \begin{bmatrix} I & 0 & 0 \\ 0 & I & 0 \\ 0 & 0 & -\gamma^2 I \end{bmatrix}, \quad J := \begin{bmatrix} I & 0 \\ 0 & -I \end{bmatrix}$$

boyutları girdi ve çıktı vektörlerine uygun olacak şekilde seçilmiş işaret matrisleridir. G genelleştirilmiş plantı J -spektral ayrıştırmaya sahip olsun. Bu durumda

$$G \sim J_{\gamma} G = \begin{bmatrix} 0 & W_2 \sim & -e^{s\tau} P_N \sim \\ -W_1 \sim & 0 & -P_D \sim \end{bmatrix} \begin{bmatrix} I & 0 & 0 \\ 0 & I & 0 \\ 0 & 0 & -\gamma^2 I \end{bmatrix} \begin{bmatrix} 0 & -W_1 \\ W_2 & 0 \\ -e^{-s\tau} P_N & -P_D \end{bmatrix}$$

$$\begin{aligned}
G^\sim J_\gamma G &= \begin{bmatrix} 0 & W_2^\sim & -e^{s\tau} P_N^\sim \\ -W_1^\sim & 0 & -P_D^\sim \end{bmatrix} \begin{bmatrix} 0 & -W_1 \\ W_2 & 0 \\ e^{-s\tau} \gamma^2 P_N & \gamma^2 P_D \end{bmatrix} \\
&= \begin{bmatrix} W_2^\sim W_2 - \gamma^2 P_N^\sim P_N & -e^{s\tau} \gamma^2 P_N^\sim P_D \\ -e^{-s\tau} \gamma^2 P_D^\sim P_N & W_1^\sim W_1 - \gamma^2 P_D^\sim P_D \end{bmatrix}
\end{aligned}$$

olarak yazılabilir.

$$\Pi = G^\sim J_\gamma G = \begin{bmatrix} \Pi_{11} & e^{s\tau} \Pi_{12} \\ e^{-s\tau} \Pi_{21} & \Pi_{22} \end{bmatrix}$$

olarak tanımlansın. O halde

$$\Pi = Q^\sim J Q, \quad Q \in \mathcal{H}_\infty, \quad Q^{-1} \in \mathcal{H}_\infty$$

sağlanacak şekilde rasyonel olmayan bir Q bulunmalıdır, ancak bu oldukça zordur. Genel olarak gecikmeli sistemlerde J -spektral ayrıştırma problemi nasıl çözülebileceği belirli bir algoritma olmamasına rağmen, [11] makalesinde sistemin özel bir hali ele alınmıştır. Fakat, yukarıdaki problem uygun bir dönüşümle rasyonel probleme dönüştürülebilir [28]. O halde,

$$\begin{aligned}
\Theta &= \begin{bmatrix} I & -F_s^\sim \\ 0 & I \end{bmatrix} \Pi \begin{bmatrix} I & 0 \\ -F_s & I \end{bmatrix} \\
&= \begin{bmatrix} I & -F_s^\sim \\ 0 & I \end{bmatrix} \begin{bmatrix} \Pi_{11} & e^{s\tau} \Pi_{12} \\ e^{-s\tau} \Pi_{21} & \Pi_{22} \end{bmatrix} \begin{bmatrix} I & 0 \\ -F_s & I \end{bmatrix} \\
&= \begin{bmatrix} I & -F_s^\sim \\ 0 & I \end{bmatrix} \begin{bmatrix} \Pi_{11} - e^{s\tau} \Pi_{12} F_s & e^{s\tau} \Pi_{12} \\ e^{-s\tau} \Pi_{21} - \Pi_{22} F_s & \Pi_{22} \end{bmatrix} \\
&= \begin{bmatrix} \Pi_{11} - e^{s\tau} \Pi_{12} F_s - F_s^\sim e^{-s\tau} \Pi_{21} + F_s^\sim \Pi_{22} F_s & e^{s\tau} \Pi_{12} - F_s^\sim \Pi_{22} \\ e^{-s\tau} \Pi_{21} - \Pi_{22} F_s & \Pi_{22} \end{bmatrix}
\end{aligned}$$

olarak elde edilir. Şekil 2.7'den w 'dan z_1 'e olan açık çevrim transfer matrisi $W_1 P_D^{-1}$ olmakta ve her nedensel denetleyici için tüm $0 \leq \varepsilon < \tau$ zaman dilimi için geribesleme çevrim kazancından etkilenmemektedir. Dolayısıyla, $H(\infty) = W_1(\infty) P_D^{-1}(\infty)$ ve $\gamma > \|H(s)\|_\infty \geq \sigma_{\max}(H(\infty))$ eşitsizliğinden

$$P_D^{-\sim}(\infty) W_1^\sim(\infty) W_1(\infty) P_D^{-1}(\infty) < \gamma^2 I$$

eşitsizliği yazılabilir. Bu eşitsizlik düzenlenirse

$$W_1^\sim(\infty) W_1(\infty) - \gamma^2 P_D^\sim(\infty) P_D(\infty) < 0$$

eşitsizliği elde edilir.

Diğer yandan $\Pi_{22}^\sim = \Pi_{22}$, $\Pi_{12}^\sim = \Pi_{21}$ ve $\Pi_{22} = W_1^\sim W_1 - \gamma^2 P_D^\sim P_D$ olduğundan

$$\Pi_{22}(\infty) = W_1^\sim(\infty) W_1(\infty) - \gamma^2 P_D^\sim(\infty) P_D(\infty) < 0$$

eşitsizliği yazılabilir, dolayısıyla Π_{22} 'nin tersi vardır.

$$F_s + R := e^{-s\tau} \Pi_{22}^{-1} \Pi_{21}, \quad F_s \in \mathcal{H}_\infty, \quad R : \text{rasyonel}$$

olarak tanımlansın. Böylece $F_s = e^{-s\tau}\Pi_{22}^{-1}\Pi_{21} - R$ eşitliği kullanılarak

$$\Theta = \begin{bmatrix} \Pi_{11} - \Pi_{12}\Pi_{22}^{-1}\Pi_{21} + R\tilde{\Pi}_{22}R & R\tilde{\Pi}_{22} \\ \Pi_{22}R & \Pi_{22} \end{bmatrix} \quad (2.3)$$

ifadesi elde edilir. O halde

$$\Theta = Q_r \tilde{J} Q_r, \quad Q_r \in \mathcal{H}_\infty, \quad Q_r^{-1} \in \mathcal{H}_\infty$$

J -spektral ayrıştırmaya sahiptir. Bu durumda

$$Q = Q_r \begin{bmatrix} I & 0 \\ F_s & I \end{bmatrix}$$

olarak hesaplanır. Şimdi, F_s ve R 'nin gerçekleşmesinin ne olması gerektiğini araştıralım. G_r , G 'nin rasyonel kısmını simgelesin. Ayrıca G_r 'nin gerçekleşmesi

$$G_r \stackrel{s}{=} \left[\begin{array}{c|c} A & B \\ \hline C & D \end{array} \right]$$

ile verilsin. Bu durumda

$$\begin{aligned} G_r \tilde{J}_\gamma G_r &= \left[\begin{array}{c|c} -A^* & -C^* \\ \hline B^* & D^* \end{array} \right] \left[\begin{array}{c|c} A & B \\ \hline J_\gamma C & J_\gamma D \end{array} \right] \\ &= \left[\begin{array}{cc|c} A & 0 & B \\ -C^* J_\gamma C & -A^* & -C^* J_\gamma D \\ \hline D^* J_\gamma C & B^* & D^* J_\gamma D \end{array} \right] = \left[\begin{array}{c|cc} \hat{A} & \hat{B}_1 & \hat{B}_2 \\ \hline \hat{C}_1 & \hat{D}_{11} & \hat{D}_{12} \\ \hat{C}_2 & \hat{D}_{21} & \hat{D}_{22} \end{array} \right] \\ &= \begin{bmatrix} \Pi_{11} & \Pi_{12} \\ \Pi_{21} & \Pi_{22} \end{bmatrix} = \Pi \end{aligned}$$

olarak yazılabilir.

$$\begin{bmatrix} y_1 \\ y_2 \end{bmatrix} = \begin{bmatrix} \Pi_{11} & \Pi_{12} \\ \Pi_{21} & \Pi_{22} \end{bmatrix} \begin{bmatrix} u_1 \\ u_2 \end{bmatrix}$$

olsun, o halde

$$\begin{aligned} y_2 &= \Pi_{21}u_1 + \Pi_{22}u_2 \Rightarrow -u_2 = \Pi_{22}^{-1}\Pi_{21}u_1 - \Pi_{22}^{-1}y_2 \\ y_1 &= \Pi_{11}u_1 + \Pi_{12}u_2 = \Pi_{11}u_1 + \Pi_{12}(-\Pi_{22}^{-1}\Pi_{21}u_1 + \Pi_{22}^{-1}y_2) \\ &= (\Pi_{11} - \Pi_{12}\Pi_{22}^{-1}\Pi_{21})u_1 + \Pi_{12}\Pi_{22}^{-1}y_2 \end{aligned}$$

eşitliklerinden

$$\begin{bmatrix} y_1 \\ -u_2 \end{bmatrix} = \begin{bmatrix} \Pi_{11} - \Pi_{12}\Pi_{22}^{-1}\Pi_{21} & \Pi_{12}\Pi_{22}^{-1} \\ \Pi_{22}^{-1}\Pi_{21} & -\Pi_{22}^{-1} \end{bmatrix} \begin{bmatrix} u_1 \\ y_2 \end{bmatrix}$$

eşitliği yazılabilir. Gerçekleşmesi ise,

$$\begin{aligned} \dot{x} &= \hat{A}x + \hat{B}_1u_1 + \hat{B}_2u_2, \\ y_1 &= \hat{C}_1x + \hat{D}_{11}u_1 + \hat{D}_{12}u_2, \\ y_2 &= \hat{C}_2x + \hat{D}_{21}u_1 + \hat{D}_{22}u_2 \Rightarrow \end{aligned}$$

$$\begin{aligned}
-u_2 &= \hat{D}_{22}^{-1} \hat{C}_2 x + \hat{D}_{22}^{-1} \hat{D}_{21} u_1 - \hat{D}_{22}^{-1} y_2, \\
y_1 &= \hat{C}_1 x + \hat{D}_{11} u_1 + \hat{D}_{12} \left(-\hat{D}_{22}^{-1} \hat{C}_2 x - \hat{D}_{22}^{-1} \hat{D}_{21} u_1 + \hat{D}_{22}^{-1} y_2 \right) \\
&= \left(\hat{C}_1 - \hat{D}_{12} \hat{D}_{22}^{-1} \hat{C}_2 \right) x + \left(\hat{D}_{11} - \hat{D}_{12} \hat{D}_{22}^{-1} \hat{D}_{21} \right) u_1 + \hat{D}_{12} \hat{D}_{22}^{-1} y_2, \\
\dot{x} &= \hat{A} x + \hat{B}_1 u_1 + \hat{B}_2 \left(-\hat{D}_{22}^{-1} \hat{C}_2 x - \hat{D}_{22}^{-1} \hat{D}_{21} u_1 + \hat{D}_{22}^{-1} y_2 \right) \\
&= \left(\hat{A} - \hat{B}_2 \hat{D}_{22}^{-1} \hat{C}_2 \right) x + \left(\hat{B}_1 - \hat{B}_2 \hat{D}_{22}^{-1} \hat{D}_{21} \right) u_1 + \hat{B}_2 \hat{D}_{22}^{-1} y_2
\end{aligned}$$

eşitlikleri kullanılarak

$$= \left[\begin{array}{cc|cc} \Pi_{11} - \Pi_{12} \Pi_{22}^{-1} \Pi_{21} & \Pi_{12} \Pi_{22}^{-1} & & \\ \Pi_{22}^{-1} \Pi_{21} & -\Pi_{22}^{-1} & & \\ \hline \hat{A} - \hat{B}_2 \hat{D}_{22}^{-1} \hat{C}_2 & \hat{B}_1 - \hat{B}_2 \hat{D}_{22}^{-1} \hat{D}_{21} & \hat{B}_2 \hat{D}_{22}^{-1} & \\ \hat{C}_1 - \hat{D}_{12} \hat{D}_{22}^{-1} \hat{C}_2 & \hat{D}_{11} - \hat{D}_{12} \hat{D}_{22}^{-1} \hat{D}_{21} & \hat{D}_{12} \hat{D}_{22}^{-1} & \\ \hat{D}_{22}^{-1} \hat{C}_2 & \hat{D}_{22}^{-1} \hat{D}_{21} & & -\hat{D}_{22}^{-1} \end{array} \right]$$

şeklinde yazılabilir.

$$A_H = \hat{A} - \hat{B}_2 \hat{D}_{22}^{-1} \hat{C}_2 \quad (2.4)$$

olarak tanımlansın. Diğer yandan

$$G = \begin{bmatrix} 0 & W_1 \\ W_2 & 0 \\ e^{-\tau s} P_n & P_d \end{bmatrix}, \quad G_r = \begin{bmatrix} 0 & W_1 \\ W_2 & 0 \\ P_n & P_d \end{bmatrix}$$

eşitliği kullanılarak

$$\begin{aligned}
G_r^\sim J_\gamma G_r &= \begin{bmatrix} 0 & W_2^\sim & P_n^\sim \\ W_1^\sim & 0 & P_d^\sim \end{bmatrix} \begin{bmatrix} 0 & W_1 \\ W_2 & 0 \\ -\gamma^2 P_n & -\gamma^2 P_d \end{bmatrix} \\
&= \begin{bmatrix} W_2^\sim W_2 - \gamma^2 P_n^\sim P_n & -\gamma^2 P_n^\sim P_d \\ -\gamma^2 P_d^\sim P_n & W_1^\sim W_1 - \gamma^2 P_d^\sim P_d \end{bmatrix} = \begin{bmatrix} \Pi_{11} & \Pi_{12} \\ \Pi_{21} & \Pi_{22} \end{bmatrix}
\end{aligned}$$

eşitliği yazılabilir, dolayısıyla

$$G^\sim J_\gamma G = \begin{bmatrix} \Pi_{11} & e^{\tau s} \Pi_{12} \\ e^{-\tau s} \Pi_{21} & \Pi_{22} \end{bmatrix}$$

sistemin “gerçeklenmesi”

$$G^\sim J_\gamma G \stackrel{s}{=} \left[\begin{array}{c|cc} \hat{A} & e^{-\tau s} \hat{B}_1 & \hat{B}_2 \\ \hline e^{\tau s} \hat{C}_1 & \hat{D}_{11} & e^{hs} \hat{D}_{12} \\ \hat{C}_2 & e^{-hs} \hat{D}_{21} & \hat{D}_{22} \end{array} \right]$$

olarak yazılabilir. Bu durumda

$$\begin{bmatrix} y_1 \\ y_2 \end{bmatrix} = \begin{bmatrix} \Pi_{11} & e^{\tau s} \Pi_{12} \\ e^{-\tau s} \Pi_{21} & \Pi_{22} \end{bmatrix} \begin{bmatrix} u_1 \\ u_2 \end{bmatrix}$$

eşitliğinden

$$\begin{bmatrix} y_1 \\ -u_2 \end{bmatrix} = \begin{bmatrix} \Pi_{11} - \Pi_{12}\Pi_{22}^{-1}\Pi_{21} & e^{\tau s}\Pi_{12}\Pi_{22}^{-1} \\ e^{-\tau s}\Pi_{22}^{-1}\Pi_{21} & -\Pi_{22}^{-1} \end{bmatrix} \begin{bmatrix} u_1 \\ y_2 \end{bmatrix}$$

eşitliği yazılabilir ve “gerçeklenmesi”

$$\begin{aligned} & \begin{bmatrix} \Pi_{11} - \Pi_{12}\Pi_{22}^{-1}\Pi_{21} & e^{\tau s}\Pi_{12}\Pi_{22}^{-1} \\ e^{-\tau s}\Pi_{22}^{-1}\Pi_{21} & -\Pi_{22}^{-1} \end{bmatrix} \\ & \stackrel{s}{=} \left[\begin{array}{c|cc} \hat{A} - \hat{B}_2\hat{D}_{22}^{-1}\hat{C}_2 & e^{-\tau s}(\hat{B}_1 - \hat{B}_2\hat{D}_{22}^{-1}\hat{D}_{21}) & \hat{B}_2\hat{D}_{22}^{-1} \\ \hline e^{\tau s}(\hat{C}_1 - \hat{D}_{12}\hat{D}_{22}^{-1}\hat{C}_2) & \hat{D}_{11} - \hat{D}_{12}\hat{D}_{22}^{-1}\hat{D}_{21} & e^{\tau s}\hat{D}_{12}\hat{D}_{22}^{-1} \\ \hat{D}_{22}^{-1}\hat{C}_2 & e^{-\tau s}\hat{D}_{22}^{-1}\hat{D}_{21} & -\hat{D}_{22}^{-1} \end{array} \right] \end{aligned}$$

olarak yazılabilir. Daha önce seçilen $(F_s + R)$ 'nin gerçekleşmesi ise

$$F_s + R = e^{-\tau s}\Pi_{22}^{-1}\Pi_{21} \stackrel{s}{=} \left[\begin{array}{c|c} A_H & e^{-\tau s}(\hat{B}_1 - \hat{B}_2\hat{D}_{22}^{-1}\hat{D}_{21}) \\ \hline \hat{D}_{22}^{-1}\hat{C}_2 & e^{-\tau s}\hat{D}_{22}^{-1}\hat{D}_{21} \end{array} \right]$$

olarak ifade edilir, bu yüzden

$$\begin{aligned} F_s & \stackrel{s}{=} \left[\begin{array}{c|c} A_H & (e^{-\tau s}I - e^{-\tau A_H})(\hat{B}_1 - \hat{B}_2\hat{D}_{22}^{-1}\hat{D}_{21}) \\ \hline \hat{D}_{22}^{-1}\hat{C}_2 & (e^{-\tau s} - 1)\hat{D}_{22}^{-1}\hat{D}_{21} \end{array} \right], \quad (2.5) \\ R & \stackrel{s}{=} \left[\begin{array}{c|c} A_H & e^{-\tau A_H}(\hat{B}_1 - \hat{B}_2\hat{D}_{22}^{-1}\hat{D}_{21}) \\ \hline \hat{D}_{22}^{-1}\hat{C}_2 & \hat{D}_{22}^{-1}\hat{D}_{21} \end{array} \right] \end{aligned}$$

şeklinde seçilebilir, ([28] makalesindeki gibi). Benzer olarak

$$F_s^\sim + R^\sim = e^{\tau s}\Pi_{12}\Pi_{22}^{-1} \stackrel{s}{=} \left[\begin{array}{c|c} A_H & \hat{B}_2\hat{D}_{22}^{-1} \\ \hline e^{\tau s}(\hat{C}_1 - \hat{D}_{12}\hat{D}_{22}^{-1}\hat{C}_2) & e^{\tau s}\hat{D}_{12}\hat{D}_{22}^{-1} \end{array} \right]$$

eşitliğinden

$$\begin{aligned} F_s^\sim & \stackrel{s}{=} \left[\begin{array}{c|c} A_H & \hat{B}_2\hat{D}_{22}^{-1} \\ \hline (\hat{C}_1 - \hat{D}_{12}\hat{D}_{22}^{-1}\hat{C}_2)(e^{\tau s}I - e^{\tau A_H}) & \hat{D}_{12}\hat{D}_{22}^{-1}(e^{\tau s} - 1) \end{array} \right], \\ R^\sim & \stackrel{s}{=} \left[\begin{array}{c|c} A_H & \hat{B}_2\hat{D}_{22}^{-1} \\ \hline (\hat{C}_1 - \hat{D}_{12}\hat{D}_{22}^{-1}\hat{C}_2)e^{\tau A_H} & \hat{D}_{12}\hat{D}_{22}^{-1} \end{array} \right] \end{aligned}$$

şeklinde seçilebilir. Bu durumda

$$\Theta = \begin{bmatrix} I & -F_s^\sim \\ 0 & I \end{bmatrix} G^\sim J_\gamma G \begin{bmatrix} I & 0 \\ -F_s & I \end{bmatrix}$$

yukarıdaki F_s 'nin seçimi için

$$\Theta = \begin{bmatrix} \Pi_{11} - \Pi_{12}\Pi_{22}^{-1}\Pi_{21} + R^\sim\Pi_{22}R & R^\sim\Pi_{22} \\ \Pi_{22}R & \Pi_{22} \end{bmatrix}$$

olarak yazılabileceğini daha önce gördük. O halde Θ 'nın gerçekleşmesinin ne olduğunu araştıralım:

$$\begin{bmatrix} y_1 \\ y_2 \end{bmatrix} = \begin{bmatrix} \Pi_{11} - \Pi_{12}\Pi_{22}^{-1}\Pi_{21} & R^\sim \\ R & -\Pi_{22}^{-1} \end{bmatrix} \begin{bmatrix} u_1 \\ u_2 \end{bmatrix}$$

sistemi verilsin. Yukarıdaki eşitlikten yararlanılarak

$$\begin{aligned} y_2 &= Ru_1 - \Pi_{22}^{-1}u_2 \Rightarrow u_2 = \Pi_{22}Ru_1 - \Pi_{22}y_2, \\ y_1 &= (\Pi_{11} - \Pi_{12}\Pi_{22}^{-1}\Pi_{21})u_1 + R^\sim u_2 \\ &= (\Pi_{11} - \Pi_{12}\Pi_{22}^{-1}\Pi_{21})u_1 + R^\sim (\Pi_{22}Ru_1 - \Pi_{22}y_2) \\ &= (\Pi_{11} - \Pi_{12}\Pi_{22}^{-1}\Pi_{21} + R^\sim\Pi_{22}R)u_1 - R^\sim\Pi_{22}y_2 \end{aligned}$$

veya matris formülasyonunda

$$\begin{aligned} \begin{bmatrix} y_1 \\ u_2 \end{bmatrix} &= \begin{bmatrix} \Pi_{11} - \Pi_{12}\Pi_{22}^{-1}\Pi_{21} + R^\sim\Pi_{22}R & R^\sim\Pi_{22} \\ \Pi_{22}R & \Pi_{22} \end{bmatrix} \begin{bmatrix} u_1 \\ -y_2 \end{bmatrix} \\ &= \Theta \begin{bmatrix} u_1 \\ -y_2 \end{bmatrix} \end{aligned}$$

yazılabilir. O halde Θ 'nın gerçekleşmesini bulmak için

$$\begin{aligned} &\begin{bmatrix} \Pi_{11} - \Pi_{12}\Pi_{22}^{-1}\Pi_{21} & R^\sim \\ R & -\Pi_{22}^{-1} \end{bmatrix} \\ \stackrel{s}{=} &\left[\begin{array}{c|cc} A_H & e^{-\tau A_H} (\hat{B}_1 - \hat{B}_2\hat{D}_{22}^{-1}\hat{D}_{21}) & \hat{B}_2\hat{D}_{22}^{-1} \\ \hline (\hat{C}_1 - \hat{D}_{12}\hat{D}_{22}^{-1}\hat{C}_2) e^{\tau A_H} & \hat{D}_{11} - \hat{D}_{12}\hat{D}_{22}^{-1}\hat{D}_{21} & \hat{D}_{12}\hat{D}_{22}^{-1} \\ \hat{D}_{22}^{-1}\hat{C}_2 & \hat{D}_{22}^{-1}\hat{D}_{21} & -\hat{D}_{22}^{-1} \end{array} \right] \end{aligned}$$

gerçekleşmesinden yararlanılarak

$$\begin{aligned} \dot{x} &= A_Hx + e^{-\tau A_H} (\hat{B}_1 - \hat{B}_2\hat{D}_{22}^{-1}\hat{D}_{21})u_1 + \hat{B}_2\hat{D}_{22}^{-1}u_2, \\ y_1 &= (\hat{C}_1 - \hat{D}_{12}\hat{D}_{22}^{-1}\hat{C}_2) e^{\tau A_H}x + (\hat{D}_{11} - \hat{D}_{12}\hat{D}_{22}^{-1}\hat{D}_{21})u_1 + \hat{D}_{12}\hat{D}_{22}^{-1}u_2, \\ y_2 &= \hat{D}_{22}^{-1}\hat{C}_2x + \hat{D}_{22}^{-1}\hat{D}_{21}u_1 - \hat{D}_{22}^{-1}u_2 \Rightarrow \\ u_2 &= \hat{C}_2x + \hat{D}_{21}u_1 - \hat{D}_{22}y_2, \\ y_1 &= (\hat{C}_1 - \hat{D}_{12}\hat{D}_{22}^{-1}\hat{C}_2) e^{\tau A_H}x + (\hat{D}_{11} - \hat{D}_{12}\hat{D}_{22}^{-1}\hat{D}_{21})u_1 \\ &\quad + \hat{D}_{12}\hat{D}_{22}^{-1}(\hat{C}_2x + \hat{D}_{21}u_1 - \hat{D}_{22}y_2) \\ &= [\hat{C}_1e^{\tau A_H} + \hat{D}_{12}\hat{D}_{22}^{-1}\hat{C}_2(I - e^{\tau A_H})]x + \hat{D}_{11}u_1 - \hat{D}_{12}y_2, \\ \dot{x} &= A_Hx + e^{-\tau A_H} (\hat{B}_1 - \hat{B}_2\hat{D}_{22}^{-1}\hat{D}_{21})u_1 + \hat{B}_2\hat{D}_{22}^{-1}(\hat{C}_2x + \hat{D}_{21}u_1 - \hat{D}_{22}y_2) \\ &= \hat{A}x + [e^{-\tau A_H}\hat{B}_1 + (I - e^{-\tau A_H})\hat{B}_2\hat{D}_{22}^{-1}\hat{D}_{21}]u_1 - \hat{B}_2y_2 \end{aligned}$$

ifadeleri yazılabilir ve Θ 'nın gerçekleşmesi

$$\begin{aligned}\Theta &\stackrel{s}{=} \left[\begin{array}{c|c} A_\Theta & B_\Theta \\ \hline C_\Theta & D_\Theta \end{array} \right], \\ A_\Theta &= \hat{A} = \left[\begin{array}{cc} A & 0 \\ -C^*JC & -A^* \end{array} \right], \\ B_\Theta &= \left[e^{-\tau A_H} \hat{B}_1 + (I - e^{-\tau A_H}) \hat{B}_2 \hat{D}_{22}^{-1} \hat{D}_{21} \quad \hat{B}_2 \right], \\ C_\Theta &= \left[\begin{array}{c} \hat{C}_1 e^{\tau A_H} + \hat{D}_{12} \hat{D}_{22}^{-1} \hat{C}_2 (I - e^{\tau A_H}) \\ \hat{C}_2 \end{array} \right], \\ D_\Theta &= D^*JD = \left[\begin{array}{cc} \hat{D}_{11} & \hat{D}_{12} \\ \hat{D}_{21} & \hat{D}_{22} \end{array} \right]\end{aligned}$$

ifadesi ile verilebilir. Hamiltonian matrisi transfer matrisi Θ^{-1} olan sistemin dinamik matrisidir, yani

$$H_\gamma = A_\Theta - B_\Theta D_\Theta^{-1} C_\Theta. \quad (2.6)$$

olarak ifade edilir.

$$\Theta = Q_r^* J Q_r, \quad Q_r : \text{çift kararlı},$$

J -spektral ayrıştırma probleminin çözümünü araştıralım: Q_r 'nin gerçekleşmesi

$$Q_r \stackrel{s}{=} \left[\begin{array}{c|c} A_q & B_q \\ \hline C_q & D_q \end{array} \right]$$

olsun. Bu durumda

$$\begin{aligned}Q_r^* J Q_r &= \left[\begin{array}{c|c} -A_q^* & -C_q^* \\ \hline B_q^* & D_q^* \end{array} \right] \left[\begin{array}{c|c} A_q & B_q \\ \hline C_q & D_q \end{array} \right] \\ &= \left[\begin{array}{cc|c} A_q & 0 & B_q \\ -C_q^* J C_q & -A_q^* & -C_q^* J D_q \\ \hline D_q^* J C_q & B_q^* & D_q^* J D_q \end{array} \right]\end{aligned}$$

eşitliği kullanılarak,

$$D_q^* J D_q = D_\Theta = D^* J_\gamma D$$

sağlayan D_q nasıl bulunacağı bir önceki kısımda gösterildi,

$$D_q = \left[\begin{array}{cc} \left(\hat{D}_{11} + \hat{D}_{12} (-\hat{D}_{22})^{-1} \hat{D}_{21} \right)^{\frac{1}{2}} & 0 \\ (-\hat{D}_{22})^{-\frac{1}{2}} \hat{D}_{21} & (-\hat{D}_{22})^{\frac{1}{2}} \end{array} \right].$$

$$X = \text{Ric } H_\gamma$$

kararlılaştırılan çözüm olsun, yani (2.6) ifadesiyle tanımlanan Hamiltonian matrisine denk gelen Riccati denkleminin kararlılaştırıcı çözüm olsun. Burada

$$A^* X + X A + X R X + Q = 0 \quad (2.7)$$

Riccati denkleminin ait Hamiltonian matrisi

$$\begin{bmatrix} A & R \\ -Q & -A^* \end{bmatrix} \quad (2.8)$$

ifadesi ile tanımlanır ve tersine: (2.8) ile tanımlanan Hamiltonian matrisine karşılık (2.7) ile tanımlanan Riccati denklemdir. Ayrıca (2.7) Riccati denkleminin kararlılaştırıcı X çözümünün bulunması, $A + RX$ matrisini kararlı kılan ve (2.7) denklemini sağlayan X matrisinin bulunmasıdır. Burada Ric H_γ ile Hamiltonian matrisine karşılık tanımlanan Riccati denklemin kararlılaştırıcı çözümü göstermektedir.

Bu durumda

$$\begin{aligned} B_\Theta &= \begin{bmatrix} B_{\Theta,1} \\ B_{\Theta,2} \end{bmatrix}, & B_{\Theta,2} &= -C_{\Theta,1}^*, \\ C_\Theta &= [C_{\Theta,1} \quad C_{\Theta,2}], & C_{\Theta,2} &= B_{\Theta,1}^* \end{aligned}$$

eşitliklerinin Θ 'nın hesaplanmasından geçerli olduğu bilinir (bir önceki kısımda bu özellik açık bir şekilde gösterilmiştir).

$$T = \begin{bmatrix} I & 0 \\ X & I \end{bmatrix} \quad T^{-1} = \begin{bmatrix} I & 0 \\ -X & I \end{bmatrix}$$

ile tanımlanan matrisi ile benzerlik dönüşümleri altında

$$\begin{aligned} T^{-1}\hat{A}T &= \begin{bmatrix} A & 0 \\ -A^*X - XA - C^*JC & -A^* \end{bmatrix}, \\ C_\Theta T &= [C_{\Theta,1} \quad B_{\Theta,1}^*] \begin{bmatrix} I & 0 \\ X & I \end{bmatrix} = [C_{\Theta,1} + B_{\Theta,1}^*X \quad B_{\Theta,1}^*], \\ T^{-1}B_\Theta &= \begin{bmatrix} I & 0 \\ -X & I \end{bmatrix} \begin{bmatrix} B_{\Theta,1} \\ -C_{\Theta,1}^* \end{bmatrix} = \begin{bmatrix} B_{\Theta,1} \\ -(XB_{\Theta,1} + C_{\Theta,1}^*) \end{bmatrix} \end{aligned}$$

eşitlikleri geçerli olduğundan

$$\begin{aligned} D_q^* \hat{J} C_q &= C_{\Theta,1} + B_{\Theta,1}^* X = C_\Theta \begin{bmatrix} I \\ X \end{bmatrix} \Rightarrow \\ C_q &= \hat{J} D_q^{-*} C_\Theta \begin{bmatrix} I \\ X \end{bmatrix}, \\ B_q &= B_{\Theta,1} = [I \quad 0] B_\Theta \end{aligned}$$

olarak hesaplanabilir. O halde Q_r 'nin gerçekleşmesi

$$Q_r \stackrel{s}{=} \left[\begin{array}{c|c} A & [I \quad 0] B_\Theta \\ \hline \hat{J} D_q^{-*} C_\Theta \begin{bmatrix} I \\ X \end{bmatrix} & D_q \end{array} \right] \quad (2.9)$$

olarak yazılabilir. Eğer (A, B) çifti kararlılaştırılabilir ise Q_r 'nin çift kararlı olduğu gösterilebilir [39].

Yukarıda ifade edilen işlemler [28] makalesindeki teorem ile özetlenebilir:

Teorem 2.2 [28, Theorem 5.3]: P_r düzgün, rasyonel ve $P_r = P_{r,d}^{-1} P_{r,n}$ \mathcal{H}_∞ üzerinde göreceli asal ayrıştırma, ayrıca W_1 ve W_2 kararlı rasyonel ağırlıklar olsun. $\tau = 0$ durumu için sanal eksen üzerinde (sonsuz dahil) G tam sütun ranklı sistem olsun.

$$\mathbb{F}_\infty^{n \times m} := \{H^{-1}G : G \in \mathcal{H}_\infty^{n \times m}, H \in \mathcal{H}_\infty^{n \times n}, \det H \neq 0\}.$$

transfer matrisleri kümesini temsil etsin.

$$G_r = \begin{bmatrix} 0 & W_1 \\ W_2 & 0 \\ P_{r,n} & P_{r,d} \end{bmatrix} \stackrel{s}{=} \left[\begin{array}{c|cc} A & B_1 & B_2 \\ \hline C & D_1 & D_2 \end{array} \right]$$

gerçeklenmesine sahip olsun. Burada $B = [B_1 \ B_2]$ ve $D = [D_1 \ D_2]$ bölünmeleri G_r 'nin bölünmesine denktir. Bu durumda eğer ve yalnızca eğer aşağıdaki koşullar sağlanıyorsa $\|H\|_\infty < \gamma$ sağlayan $K \in \mathbb{F}_\infty$ 'da denetleyici vardır.

1. $D^T J_\gamma D$ singüler olmayan matristir ve pozitif ve negatif özdeğerlerinin sayısı sırasıyla \hat{J} matrisinin pozitif ve negatif özdeğerlerinin sayısına eşittir. Bu durumda

$$H_\gamma := \begin{bmatrix} A & 0 \\ -C^T J_\gamma C & -A^T \end{bmatrix} - \begin{bmatrix} L_1 \\ L_2 \end{bmatrix} (D^T J_\gamma D)^{-1} \begin{bmatrix} -L_2^T & L_1^T \end{bmatrix}$$

ile tanımlanan Hamiltonian matrisi pür imajiner özdeğerlere sahip değildir. Burada

$$\begin{bmatrix} L_1 \\ L_2 \end{bmatrix} = \begin{bmatrix} B \\ -C^T J_\gamma D \end{bmatrix} + (e^{-\tau A_H} - I) \begin{bmatrix} B_1 - B_2 \hat{D}_{22}^{-1} \hat{D}_{21} & 0_{n \times n_y} \\ -C^T J_\gamma (D_1 - D_2 \hat{D}_{22}^{-1} \hat{D}_{21}) & 0_{n \times n_y} \end{bmatrix}$$

$$A_H := \begin{bmatrix} A & 0 \\ -C^T J_\gamma C & -A^T \end{bmatrix} - \begin{bmatrix} B_2 \\ -C^T J_\gamma D_2 \end{bmatrix} \hat{D}_{22}^{-1} \begin{bmatrix} D_2^T J_\gamma C & B_2^T \end{bmatrix}$$

$$\begin{bmatrix} \hat{D}_{11} & \hat{D}_{12} \\ \hat{D}_{21} & \hat{D}_{22} \end{bmatrix} := D^T J_\gamma D$$

2. 1. maddede tanımlanan $H_\gamma \in \mathbb{R}^{2n \times 2n}$ Hamiltonian matrisinde γ yerine λ konularak elde edilen H_λ n boyutlu kararlı özuzayına sahiptir, $\mathcal{X}_-(H_\lambda) = \text{Im} \begin{bmatrix} X_1(\lambda) \\ X_2(\lambda) \end{bmatrix}$, (burada $X_i(\lambda) \in \mathbb{R}^{n \times n}$, $i = 1, 2$, $\mathcal{X}_-(H_\lambda)$ ise H_λ 'nın \mathbb{C}_- 'da olan özdeğerlerine karşın özvektörlerinin gerdiği uzaydır) ve $X_1(\lambda) \in \mathbb{R}^{n \times n}$ bütün $\lambda \geq \gamma$ için singüler olmayan matristir.

3. $\hat{D}_{22} < 0$.

Eğer yukarıdaki koşullar sağlanıyorsa, öyle Y ve S singüler olmayan matrisleri vardır ki $\hat{D}_{22} = -Y^T Y$ ve $\hat{D}_{11} - \hat{D}_{12} \hat{D}_{22}^{-1} \hat{D}_{21} = S^T S$. O zaman

$$Q_{r,\infty} := \begin{bmatrix} S & 0 \\ -Y^{-T} \hat{D}_{21} & Y \end{bmatrix}$$

ile tanımlanan $Q_{r,\infty}$ için $D^T J_\gamma D = Q_{r,\infty}^T J Q_{r,\infty}$ koşulu sağlanır. Bu durumda Q_r ve F_s

$$Q_r \stackrel{s}{=} \left[\begin{array}{c|c} A & L_1 \\ \hline JQ_\infty^{-T} (D^T J_\gamma C + B^T X_2(\gamma) X_1^{-1}(\gamma)) & Q_{r,\infty} \end{array} \right]$$

$$F_s = \hat{D}_{22}^{-1} \begin{bmatrix} D_2^T J_\gamma C & B_2^T \\ B_1 - B_2 \hat{D}_{22}^{-1} \hat{D}_{21} \\ -C^T J_\gamma (D_1 - D_2 \hat{D}_{22}^{-1} \hat{D}_{21}) \end{bmatrix} (e^{-s\tau} I - e^{-\tau A_H}) + (e^{-s\tau} - 1) \hat{D}_{22}^{-1} \hat{D}_{21}$$

olarak tanımlanırsa Q_r 'nin sağ-üst bloğu $Q_{r,12}$ şu koşulu sağlar: $Q_{r,12}(\infty) = 0$, ve eğer

$$Z = \begin{bmatrix} I & 0 \\ -F_s & I \end{bmatrix} Q_r^{-1} = \begin{bmatrix} Z_{11} & Z_{12} \\ Z_{21} & Z_{22} \end{bmatrix} \in \mathcal{H}_\infty^{(n_u+n_y) \times (n_u+n_y)}$$

olarak tanımlanırsa K denetleyicisi

$$K = (Z_{11}U + Z_{12})(Z_{21}U + Z_{22})^{-1}$$

olarak parametrize edilebilir. Eğer U kesin düzgün ise K denetleyicisi nedenseldir. Dahası, eğer ve yalnızca eğer $\|U\|_\infty < 1$ ise $\|H\|_\infty < \gamma$.

Yukarıdaki teoremden, H_λ 'nin kararlılaştırıcı çözümü

$$X(\lambda) = X_2(\lambda) X_1^{-1}(\lambda) \\ \begin{bmatrix} X(\lambda) & -I \end{bmatrix} H_\lambda \begin{bmatrix} I \\ X(\lambda) \end{bmatrix} = 0$$

Riccati denkleminin çözümü $\lambda \geq \gamma$ değerler için vardır. Eğer gecikme yoksa ($e^{-\tau A_H} - I$) terimi sıfır olur, böylece Riccati denklemi standart Riccati denklemine dönüştürülür.

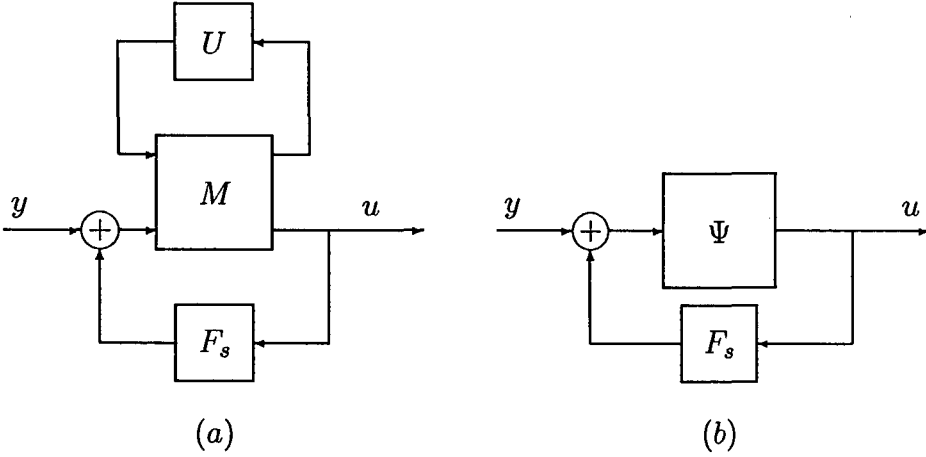
$$\gamma > \|W_1(\infty) P_{r,d}^{-1}(\infty)\|$$

koşulu gecikmesiz sistemlerde denetleyici hesaplamalarda gerekmiyor, fakat gecikmeli sistemlerde gerekmektedir. Bu koşul belirli Hankel artı Toeplitz operatörün özül spektral yarıçapı ile ilişkilidir.

Denetleyici parametrizasyonu ifadesinde $U = 0$ olarak seçildiğinde

$$K = Z_{12} Z_{22}^{-1}$$

şeklinde ifade edilebilir. Bu şekilde tanımlanan denetleyici çoğu kez *merkezi denetleyici* olarak isimlendirilir. Verilen Q_r ve F_s için denetleyicinin nasıl gerçekleştirilebileceği ilgi odağı olmaktadır:



Şekil 2.8: (a) Denetleyicinin LFT formu, (b) merkezi denetleyici

$$K = (Z_{11}U + Z_{12})(Z_{21}U + Z_{22})^{-1}$$

tanımı ile verilen denetleyici Şekil 2.8.a'da gösterildiği gibi ifade edilebilir. Şekilde

$$M = \begin{bmatrix} -Z_{r,22}^{-1}Z_{r,21} & Z_{r,22}^{-1} \\ Z_{r,11} - Z_{r,12}Z_{r,22}^{-1}Z_{r,21} & Z_{r,12}Z_{r,22}^{-1} \end{bmatrix}$$

$$\begin{bmatrix} Z_{r,11} & Z_{r,12} \\ Z_{r,21} & Z_{r,22} \end{bmatrix} = Q_r^{-1} \in \mathcal{H}_{\infty}^{(n_u+n_y) \times (n_u+n_y)}$$

olarak tanımlanmıştır. Eğer $U = 0$ olarak seçilirse

$$K = (I - \Psi F_s)^{-1} \Psi, \quad \Psi = Z_{r,12}Z_{r,22}^{-1}$$

olarak ifade edilebilir. Bu durum Şekil 2.8.b'de gösterilmiştir. Burada sonsuz boyutlu yalnızca F_s 'dir. Yukarıdaki teoremden tasarlanan F_s

$$F_s(s) = \tilde{C}(sI - A_H)^{-1}(e^{-s\tau}I - e^{-\tau A_H})\tilde{B} + (e^{-s\tau} - 1)\tilde{D}$$

şekindedir. F_s 'nin ters Laplace dönüşümü

$$f(t) := \begin{cases} -\tilde{C}e^{(t-\tau)A_H}\tilde{B} + (\delta(t-\tau) - \delta(t))\tilde{D} & , t \in [0, \tau) \\ 0 & , t \notin [0, \tau) \end{cases}$$

olarak yazılır. Dolayısıyla transfer matrisi F_s olan sistem bir sonlu darbe yanıtı (finite impulse response - FIR) filtresidir.

3 TEK TIKALI GEÇİT DURUMUNDA VERİ İLETİŞİM AĞININ MODELLENMESİ VE GÜRBÜZ DENETLEYİCİNİN TASARIMI

Bu bölümde ağ modelinde zamanla değişen gecikmelere karşın gürbüz kontrol araçları kullanılarak nasıl denetleyici tasarlanabileceği incelenecektir [6]. Ağ trafiği dinamiği deterministik akışkanlar teorisi ile ifade edilebilir [8].

3.1 Veri İletişim Ağının Modeli, Tek Tıkali Geçit Durumu

Şekil 3.1'deki sistem verilsin. Sistemde denetlenecek değişken kuyruk uzunluğudur. Kuyruk uzunluğunun dinamiği

$$\dot{q}(t) = \sum_{i=1}^n r_i^b(t) - c(t)$$

denklemi ile verilir. Burada $q(t)$, t anındaki kuyruk uzunluğu, $r_i^b(t)$ ise i . kaynaktan tıkalı düğüme t anında ulaşan veri iletim oranıdır. $c(t)$, tıkalı geçitin link kapasitesi veya *çıkış akış oranı*dır. Şekil 3.1'de gidiş-geliş gecikmesi $\tau_i(t)$

$$\tau_i(t) = \tau_i^b(t) + \tau_i^f(t)$$

denklemi ile tanımlanır. Burada

$\tau_i^b(t) := h_i^b + \delta_i^b(t)$ ile tanımlanan geri zaman gecikmesidir: denetleyici ile i . kaynak arasındaki veri iletimindeki gecikmedir. h_i^b bilinen nominal zamanla değişmeyen geri gecikmesidir, $\delta_i^b(t)$ ise geri gecikmenin zamanla değişen fakat bilinmeyen kısmıdır. Başka bir deyişle $\delta_i^b(t)$ $\tau_i^b(t)$ 'nin değişimindeki belirsizliği temsil eder.

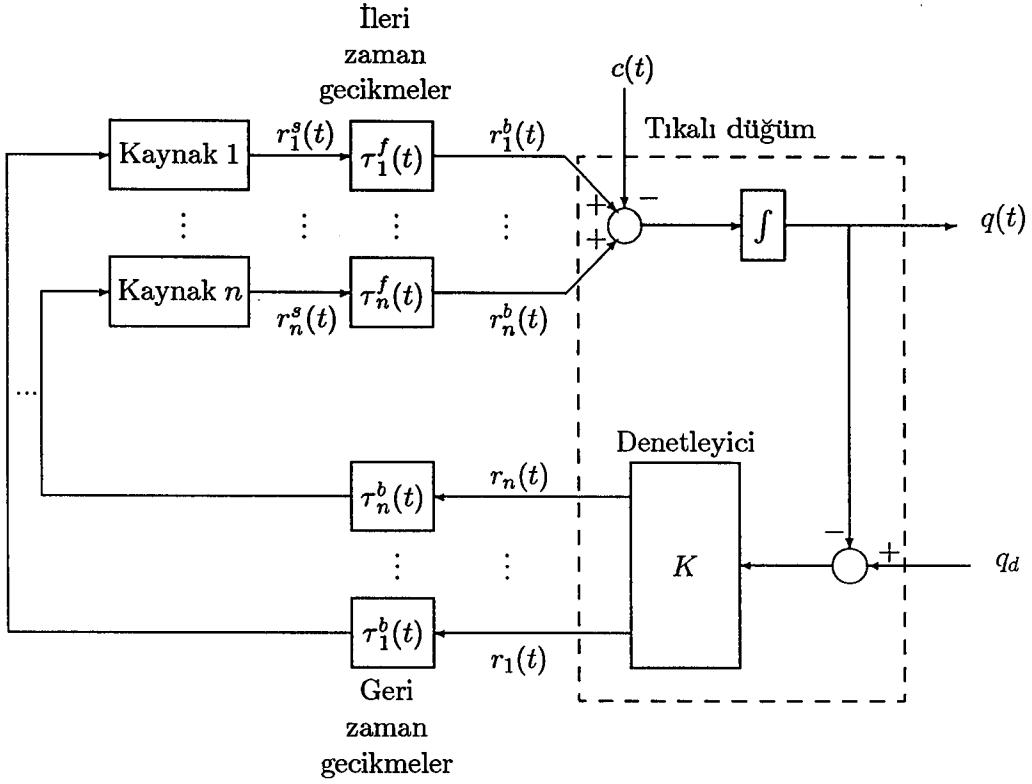
$\tau_i^f(t) := h_i^f + \delta_i^f(t)$ ile tanımlanan ileri zaman gecikmesidir: i . kaynak ile tıkalı düğüm arasındaki veri akışındaki gecikmedir. h_i^f bilinen nominal zamanla değişmeyen ileri gecikmesidir. $\delta_i^f(t)$ ise ileri gecikmenin bilinmeyen zamanla değişen kısmıdır.

Gidiş-geliş gecikmesi tanımında $h_i := h_i^b + h_i^f$ ile nominal bilinen gecikmeyi tanımlamak mümkündür; $\delta_i(t) := \delta_i^b(t) + \delta_i^f(t)$ ise gecikmedeki belirsizliği temsil etmektedir.

Bu tanımlar altında

$$\int_0^t r_i^b(\varphi) d\varphi = \begin{cases} \int_0^{t-\tau_i^f(t)} r_i^s(\varphi) d\varphi, & t - \tau_i^f(t) \geq 0 \\ 0, & t - \tau_i^f(t) < 0 \end{cases} \quad (3.1)$$

olarak yazılabilir. Burada



Şekil 3.1: Geri besleme kontrol sistemi

$r_i^s(t) := r_i(t - \tau_i^b(t))$ i . kaynaktan t anındaki iletim oranıdır
 $r_i(t)$ t anındaki denetleyici tarafından öngörülen iletim oranı
 komutudur.

Denklem (3.1)'deki ifadenin her iki yanının türevinin alınmasıyla

$$r_i^b(t) = \begin{cases} (1 - \dot{\delta}_i^f(t)) r_i(t - \tau_i(t)), & t - \tau_i^f(t) \geq 0 \\ 0, & t - \tau_i^f(t) < 0 \end{cases}$$

eşitliği elde edilir. Bu eşitlikte $r_i^s(t - \tau_i^f(t)) = r_i(t - \tau_i(t))$ ve $\dot{\tau}_i^f(t) = \dot{\delta}_i^f(t)$ için özdeş ifadeler kullanılmıştır.

$\frac{d}{dt}(t - \tau_i^f(t)) > 0$ varsayımı altında $\dot{\tau}_i^f(t) < 1$ veya eşdeğer olarak $\dot{\delta}_i^f(t) < 1$ eşitsizlikleri geçerlidir. Böyle bir eşitsizlik yoksa veri akışında kopukluklar olacaktır. Ayrıca, negatif gecikmeyi önlemek amacı ile

$$|\delta_i(t)| < \delta_i^+ \leq h_i$$

eşitsizliğinin geçerli olduğu varsayılır. Bunun dışında kuyruk uzunluğunun mevcut olan bellek kapasitesinden daha küçük olduğu ve negatif olmadığı varsayılacaktır. Bu varsayımlar zaten sistemin dinamiğinin yazılmasında da yer almıştır; zira saturasyonu temsil eden ifadeler denklemde yer almamıştır.

Bu durumda, yazılan eşitlikleri göz önünde bulundurarak kuyruk uzunluğu

$$q(t) = \int_0^t \left[\sum_{i=1}^n \left(1 - \delta_i^f(\nu)\right) r_i(\nu - \tau_i(\nu)) - c(\nu) \right] d\nu + q(0)$$

şeklinde ifade edilebilir.

$$q_0(t) := \int_0^t \left[\sum_{i=1}^n r_i(\nu - h_i) - c(\nu) \right] d\nu + q(0),$$

$$\delta_q(t) := q(t) - q_0(t) = \sum_{i=1}^n \int_0^t \left[\left(1 - \delta_i^f(\nu)\right) r_i(\nu - \tau_i(\nu)) - r_i(\nu - h_i) \right] d\nu \quad (3.2)$$

ve

$$\lambda_i := \nu - \tau_i(\nu) = \nu - h_i - \delta_i(\nu) =: f_i(\nu)$$

olarak tanımlansın. Bu durumda

$$\frac{d\lambda_i}{d\nu} = 1 - \frac{d\delta_i}{d\nu} = 1 - g_i(\lambda) \quad (3.3)$$

olarak yazılabilir. Burada $g_i(\lambda) := \left. \frac{d\delta_i}{d\nu} \right|_{\nu=f_i^{-1}(\lambda)}$ olarak ifade edilir. Negatif gecikmeleri sözkonusu olamayacağından $\nu = f_i^{-1}(\lambda)$ vardır. Bu eşitliklerden $\frac{d\lambda_i}{d\nu} > 0$ veya $g_i(\lambda) < 1$ ifadeleri meydana gelmektedir. $g_i(\lambda)$ alttan ve üstten sınırlı olsun, yani

$$|g_i(\lambda)| < \beta_i \quad \forall \lambda \geq -h_i$$

geçerli olsun. Ayrıca $g_i(\lambda) < 1$ eşitsizliğini göz önünde bulundurarak β_i 'nin bir ile sınırlı olduğunu kabul etmek doğaldır, yani $0 < \beta_i < 1$. Benzer olarak

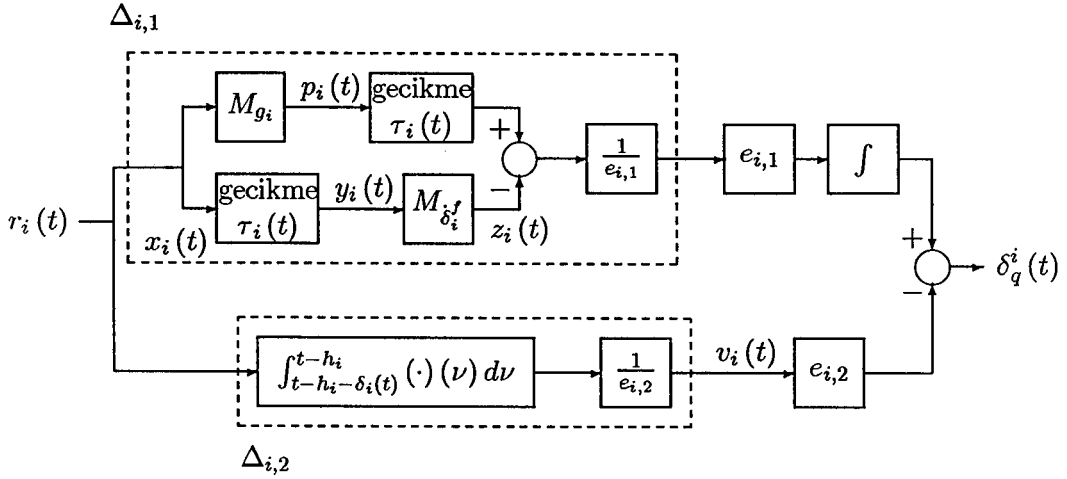
$$\left| \delta_i^f \right| < \beta_i^f < \beta_i < 1$$

eşitsizliği de varsayılacaktır. (3.3) denkleminde

$$d\nu = \frac{d\lambda_i}{1 - g_i(\lambda_i)}$$

olarak yazılabilir. $\delta_i(0) = 0$ kabul edilerek (3.2) denklemi

$$\begin{aligned} \delta_q(t) &= \sum_{i=1}^n \left[\int_0^t \left(1 - \delta_i^f(\nu)\right) r_i(\nu - \tau_i(\nu)) d\nu - \int_{-h_i}^{t-h_i} r_i(\sigma) d\sigma \right] \\ &= \sum_{i=1}^n \left[\int_0^t \left(1 - \delta_i^f(\nu)\right) r_i(\nu - \tau_i(\nu)) d\nu - \int_{-h_i}^{t-h_i} r_i(\sigma) d\sigma \right. \\ &\quad \left. + \int_{-h_i}^{t-h_i-\delta_i(t)} r_i(\sigma) d\sigma - \int_{-h_i}^{t-h_i-\delta_i(t)} r_i(\lambda_i) d\lambda_i \right] \end{aligned}$$



Şekil 3.2: Sistemin belirsizlikler modeli

$$\delta_q(t) = \sum_{i=1}^n \left[\int_0^t (1 - \delta_i^f(\nu)) r_i(\nu - \tau_i(\nu)) d\nu - \int_{t-h_i-\delta_i(t)}^{t-h_i} r_i(\nu) d\nu - \int_0^t r_i(\nu - \tau_i(\nu)) [1 - g_i(\nu - \tau_i(\nu))] d\nu \right]$$

$$\delta_q(t) = \sum_{i=1}^n \left[\int_0^t [g_i(\nu - \tau_i(\nu)) - \delta_i^f(\nu)] r_i(\nu - \tau_i(\nu)) d\nu - \int_{t-h_i-\delta_i(t)}^{t-h_i} r_i(\nu) d\nu \right] \quad (3.4)$$

şeklinde yazılabilir. Bu durumda $\delta_q(t) = \sum_{i=1}^n \delta_q^i(t)$ olarak yazılabilir. Burada $\delta_q^i(t)$ Şekil 3.2'de gösterilmiş olan sistemin çıkışıdır. Sistemde $\Delta_{i,1}$ ve $\Delta_{i,2}$ doğrusal zamanla değişen sistemlerdir. M_{g_i} ve $M_{\delta_i^f}$ sistemler ise $p_i(t) = g_i(t) r_i(t)$ ve $z_i(t) = \delta_i^f(t) y_i(t)$ sırasıyla tanımlanan zamanla değişen doğrusal sistemlerdir. $e_{i,j}$ ise daha sonra belirlenecek sabitlerdir. Eğer $t < 0$ için $r_i(t) = 0$ olarak kabul edilirse

$$\begin{aligned} \int_0^\infty |y_i(t)|^2 dt &= \int_0^\infty |x_i(t - \tau_i(t))|^2 dt = \int_{-\tau_i(t)}^\infty |x_i(\lambda_i)|^2 \frac{d\lambda_i}{1 - g_i(\lambda_i)} \\ &= \int_0^\infty |x_i(\lambda_i)|^2 \frac{d\lambda_i}{1 - g_i(\lambda_i)} < \frac{1}{1 - \beta_i} \int_0^\infty |x_i(\lambda_i)|^2 d\lambda_i \end{aligned}$$

eşitsizliği yazılabilir. Bu eşitsizlikten gecikme bloklarının ($\Delta_{i,1}$ 'de bulunan) \mathcal{L}_2 endüklenmiş normu $\frac{1}{\sqrt{1-\beta_i}}$ 'den daha küçüktür. Bundan dolayı $\Delta_{i,1}$ 'nin \mathcal{L}_2 endüklenmiş normu $\left(\frac{\beta_i + \beta_i^f}{\sqrt{1-\beta_i}}\right) \frac{1}{e_{i,1}}$ 'den daha küçüktür. Bu durumda eğer $e_{i,1} = \frac{\beta_i + \beta_i^f}{\sqrt{1-\beta_i}}$ olarak seçilirse $\Delta_{i,1}$ 'nin \mathcal{L}_2 endüklenmiş normu 1'den daha küçük

olacaktır. Benzer olarak $r_i(t) \geq 0$ ve $|\delta_i(t)| < \delta_i^+$ eşitsizlikleri kullanılarak

$$\left\| \frac{1}{2\delta_i^+} \int_{t-h_i-\delta_i(t)}^{t-h_i} r_i(\nu) d\nu \right\|_2 \leq \left\| \frac{1}{2\delta_i^+} \int_{t-h_i-\delta_i^+}^{t-h_i+\delta_i^+} r_i(\nu) d\nu \right\|_2 \quad (3.5)$$

ifadesi elde edilebilir. Bu durumda

$$\hat{v}_i(s) = \frac{1}{2\delta_i^+} \left(\frac{e^{-(h_i-\delta_i^+)s} - e^{-(h_i+\delta_i^+)s}}{s} \right) r_i(s)$$

şeklinde tanımlanırsa

$$\|\hat{v}_i\|_2 \leq \left\| \frac{1}{2\delta_i^+} \left(\frac{e^{-(h_i-\delta_i^+)s} - e^{-(h_i+\delta_i^+)s}}{s} \right) \right\|_\infty \|r_i\|_2 \quad (3.6)$$

ifadesi yazılabilir. Burada $\hat{v}_i(s)$ ve $r_i(s)$ ile $\hat{v}_i(t)$ ve $r_i(t)$ 'nin sırasıyla Laplace dönüşümleri gösterilmektedir. Yukarıdaki ifadede yer alan norm için

$$\begin{aligned} \left\| \frac{1}{2\delta_i^+} \left(\frac{e^{-(h_i-\delta_i^+)s} - e^{-(h_i+\delta_i^+)s}}{s} \right) \right\|_\infty &= \left\| \frac{1}{2\delta_i^+} \frac{1 - e^{-2\delta_i^+s}}{s} e^{-(h_i-\delta_i^+)s} \right\|_\infty \\ &\leq \left\| \frac{1}{2\delta_i^+} \frac{1 - e^{-2\delta_i^+s}}{s} \right\|_\infty \|e^{-(h_i-\delta_i^+)s}\|_\infty = \left\| \frac{1}{2\delta_i^+} \frac{1 - e^{-2\delta_i^+s}}{s} \right\|_\infty \\ &= \sup_{\omega \in \mathbb{R}} \sigma_{\max} \left(\frac{1}{2\delta_i^+} \frac{1 - e^{-2\delta_i^+j\omega}}{s} \right) = \sup_{\omega \in \mathbb{R}} \left| \frac{1}{2\delta_i^+} \frac{1 - e^{-2\delta_i^+j\omega}}{s} \right| < 1 \quad (3.7) \end{aligned}$$

Burada son eşitsizlik, Şekil 3.3'te gösterildiği gibi $|1 - e^{-2\delta_i^+j\omega}|$ 'nin uzunluğu $|2\delta_i^+\omega|$ olan yayın kirişi olmasından kaynaklanmaktadır. Buradan, (3.6) eşitsizliği $\|\hat{v}_i\|_2 < \|r_i\|_2$ şeklini almaktadır. Dolayısıyla, $e_{i,2} = 2\delta_i^+$ seçildiğinde (3.5) ve (3.6) eşitsizliklerinden

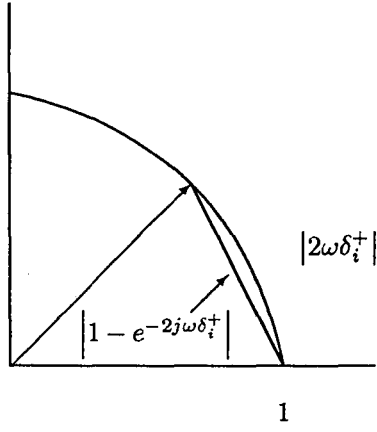
$$\|v_i\|_2 \leq \|\hat{v}_i\|_2 < \|r_i\|_2$$

bulunmaktadır. Böylece $\Delta_{i,2}$ 'nin \mathcal{L}_2 endüklenmiş normu 1'den küçük olacaktır.

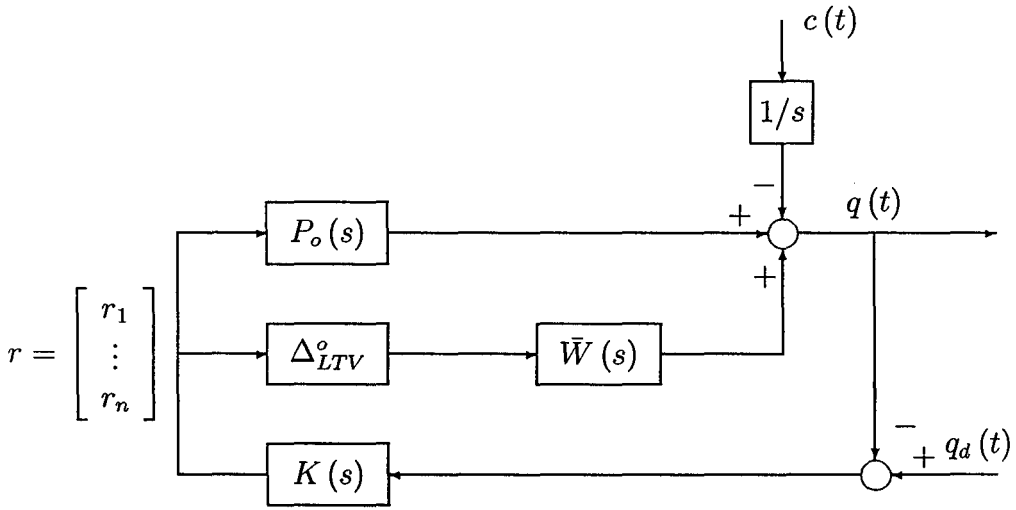
Bu durumda orijinal sistem Şekil 3.4'te gösterildiği gibi olacaktır. Şekilde

$$\Delta_{LTV}^o = \begin{bmatrix} \begin{bmatrix} \Delta_{1,1}^o \\ \Delta_{1,2}^o \end{bmatrix} & & & 0 \\ & \ddots & & \\ & & & \begin{bmatrix} \Delta_{n,1}^o \\ \Delta_{n,2}^o \end{bmatrix} \\ 0 & & & \end{bmatrix}$$

$$\begin{aligned} \bar{W} &= [\bar{W}_1(s) \ \dots \ \bar{W}_n(s)] \\ \bar{W}_i(s) &= \begin{bmatrix} \frac{e_{i,1}}{s} & e_{i,2} \end{bmatrix} \\ P_o(s) &= \frac{1}{s} [e^{-h_1s} \ \dots \ e^{-h_ns}] \end{aligned}$$



Şekil 3.3: (3.7)'deki ifadesinin grafiksel yorumu



Şekil 3.4: Suni sistem

olarak tanımlanmıştır. Bu durumda Δ_{LTV}^o 'nun \mathcal{L}_2 -endüklenmiş normu $\sqrt{2}$ 'den daha küçüktür. Küçük kazanç teoremi¹ kullanılarak Şekil 3.4'teki sistemde bütün $\|\Delta_{LTV}^o\| < \sqrt{2}$ olan değerler için, eğer K denetleyicisi P_o 'yu kararlılaştırıyor ve

$$\|K(1 + P_o K)^{-1} \bar{W}\|_{\infty} \leq \frac{1}{\sqrt{2}} \quad (3.8)$$

ifadesini sağlıyorsa K P_o 'yu gürbüz kararlı kılar.

[6] makalesinde gösterildiği gibi

$$\|W_2 K(1 + P_o K)^{-1}\|_{\infty} \leq 1$$

¹Eğer $H \in \mathcal{H}_{\infty}^{m \times m}$ ve $\|H\|_{\infty} < 1$ ise $(I - H)^{-1} \in \mathcal{H}_{\infty}^{m \times m}$, [25, Theorem A.0.7]

eşitsizliği sağlanıyorsa (3.8) eşitsizliği sağlanır.. Burada

$$W_2 := \sqrt{2} \left(\frac{1}{s} \sqrt{\sum_{i=1}^n e_{i,1}^2} + \sqrt{\sum_{i=1}^n e_{i,2}^2} \right) I_n =: \xi(s) I_n = \left(\frac{1}{s} \xi_1 + \xi_2 \right) I_n,$$

$$\xi_1 := \sqrt{2} \sqrt{\sum_{i=1}^n e_{i,1}^2}, \quad \xi_2 := \sqrt{2} \sqrt{\sum_{i=1}^n e_{i,2}^2}$$

ve I_n n -boyutlu birim matris olarak tanımlanmıştır. Dikkat edilirse

$$\|W_2\|_\infty = \max_{\omega \in \mathbb{R}} \left(\sqrt{2} \frac{1}{\omega} \sqrt{\sum_{i=1}^n e_{i,1}^2} + \sqrt{\sum_{i=1}^n e_{i,2}^2} \right)$$

$$> \|\bar{W}\|_\infty = \max_{\omega \in \mathbb{R}} \sqrt{\sum_{i=1}^n \left(\frac{1}{\omega^2} e_{i,1}^2 + e_{i,2}^2 \right)}$$

eşitlisizliği sağlanmaktadır.

3.2 Optimizasyon Problemi: Tek Tıkalı Geçit Durumu

Bu kısımda ilk olarak en basit durum ele alınacaktır. Daha sonra genelleştirme yapılacaktır.

3.2.1 SISO Gecikmeli Sistem İçin Denetleyici Tasarlanması

$$P = \frac{1}{s} e^{-hs}, \quad W_1 = \frac{1}{s^2}, \quad W_2 = \frac{\eta_1}{s} + \eta_2$$

verilsin. Burada η_1 ve η_2 'nin değeri $\sqrt{2e_1}$ ve $\sqrt{2e_2}$ olarak tanımlanmıştır. Optimizasyon problemi

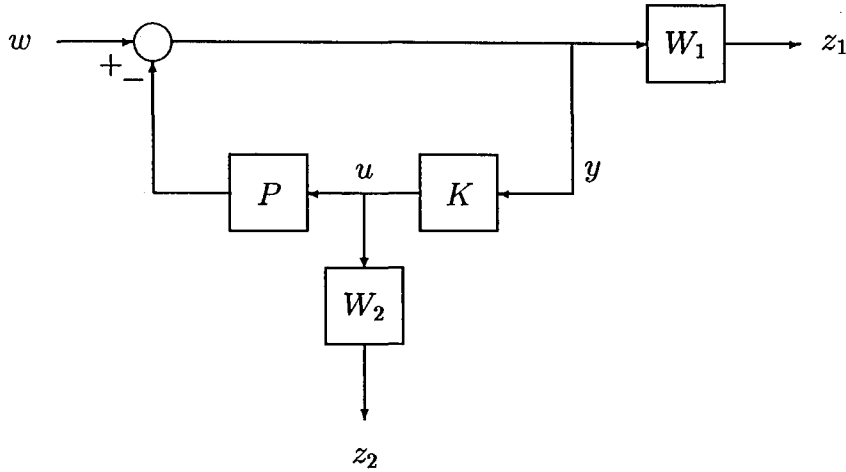
$$\inf_{K \text{ P'yi kararlılaştırıyor}} \left\| \begin{bmatrix} W_1 (1 + PK)^{-1} \\ W_2 K (1 + PK)^{-1} \end{bmatrix} \right\|_\infty =: \gamma^{opt}, \quad \gamma \geq \gamma^{opt} > 0$$

şeklinde tanımlanır. Bu durumda yukarıdaki optimizasyon probleminin minimizasyonu,

$$H = \begin{bmatrix} W_1 (1 + PK)^{-1} \\ W_2 K (1 + PK)^{-1} \end{bmatrix}, \quad \begin{bmatrix} z_1 \\ z_2 \end{bmatrix} = Hw$$

ile tanımlanan sistemin w 'dan $z = \begin{bmatrix} z_1 \\ z_2 \end{bmatrix}$ 'ye olan transfer fonksiyonunun minimizasyonu anlamına gelmektedir. H ile simgelenen transfer matrisinin blok diyagramının gösterimi Şekil 3.5'da verilmiştir. Şekil 3.5'deki gösteriminden yararlanılarak

$$\begin{aligned} z_1 &= W_1 y, & z_2 &= W_2 u, \\ y &= w - Pu \Rightarrow w &= Pu + y \end{aligned}$$



Şekil 3.5: İki blok optimizasyon problemi, standart yapısı

yazılabilir. Right Möbius map kullanıldığında genelleştirilmiş plant

$$G = \begin{bmatrix} 0 & W_1 \\ W_2 & 0 \\ P & 1 \end{bmatrix} = \begin{bmatrix} 0 & \frac{1}{s^2} \\ \frac{\eta_1}{s} & 0 \\ \eta_2 & 0 \\ \frac{1}{s}e^{-hs} & 1 \end{bmatrix}$$

olarak yazılabilir. Kolayca görüntür ki $\begin{bmatrix} u \\ y \end{bmatrix}$ 'den $\begin{bmatrix} z_1 \\ z_2 \\ w \end{bmatrix}$ 'ya olan transfer matrisi G 'dir. Bu durumda [28]'teki makalenin sonucunu uygulayabilmek için W_1 ve W_2 kararlı ağırlık fonksiyonları olması gerekir. Bu durumda birden fazla yöntem uygulanabilir, ancak probleme en uygun olan [27] makalesindeki sonuçlardır.

$$G = G_N G_D^{-1}, \quad G_N \in \mathcal{H}_\infty, \quad G_D \in \mathcal{H}_\infty$$

\mathcal{H}_∞ 'üzerindeki göreceli asal ayrıştırma olsun. Bu durumda aranan denetleyici

$$K = RMM(D_G, \bar{K})$$

olarak ifade edilebilir. Burada \bar{K} , G_N 'ye karşılık gelen denetleyicidir.

$$G_N = \begin{bmatrix} 0 & \left(\frac{1}{s+\varepsilon}\right)^2 \\ \eta_1 \frac{1}{s+\varepsilon} + \eta_2 \frac{s}{s+\varepsilon} & 0 \\ \frac{1}{s+\varepsilon} e^{-hs} & \left(\frac{s}{s+\varepsilon}\right)^2 \end{bmatrix} = \begin{bmatrix} 0 & \hat{W}_1 \\ \hat{W}_2 & 0 \\ \bar{P} e^{-hs} & V \end{bmatrix},$$

$$\bar{P} = \frac{1}{s+\varepsilon}, \quad V = \left(\frac{s}{s+\varepsilon}\right)^2, \quad \hat{W}_1 = \left(\frac{1}{s+\varepsilon}\right)^2, \quad \hat{W}_2 = \eta_1 \frac{1}{s+\varepsilon} + \eta_2 \frac{s}{s+\varepsilon}$$

$$G_D = \begin{bmatrix} \frac{s}{s+\varepsilon} & 0 \\ 0 & \left(\frac{s}{s+\varepsilon}\right)^2 \end{bmatrix} = \begin{bmatrix} G_{D1} & 0 \\ 0 & G_{D2} \end{bmatrix}$$

olarak yazılabilir. G_N 'ye ait optimizasyon problemi

$$\inf_{\bar{K} \bar{P} e^{-hs}; \text{ kararlılaştırıyor}} \left\| \begin{array}{c} \hat{W}_1 (1 + \bar{P} e^{-hs} \bar{K})^{-1} \\ \hat{W}_2 \bar{K} (1 + \bar{P} e^{-hs} \bar{K})^{-1} \end{array} \right\|_{\infty} =: \gamma^{opt} \quad (3.9)$$

ifadesi ile verilmektedir. Bu durumda [28] makalesindeki sonuç (3.9)'deki optimizasyon probleminin çözümüne uygulanabilir. $\gamma \geq \gamma^{opt}$ için

$$J_{\gamma} = \begin{bmatrix} 1 & 0 & 0 \\ 0 & 1 & 0 \\ 0 & 0 & -\gamma^2 \end{bmatrix}, \quad \hat{J} = \begin{bmatrix} 1 & 0 \\ 0 & -1 \end{bmatrix}$$

olarak tanımlandığında

$$G_N^{\sim} J_{\gamma} G_N = W^{\sim} \hat{J} W, \quad W : \text{çift kararlı}$$

J -spektral ayrıştırma probleminin çözülmesi gerekir. Bu problem 2.5 kısmında incelenen probleme denktir. O halde G_r G_N 'nin rasyonel kısmı olsun. G_r

$$G_r \stackrel{s}{=} \left[\begin{array}{c|c} A & B \\ \hline C & D \end{array} \right]$$

gerçeklenmesine sahip olsun. Bu durumda

$$A = \begin{bmatrix} -\varepsilon & 0 & 0 \\ 0 & 0 & 1 \\ 0 & -\varepsilon^2 & -2\varepsilon \end{bmatrix}, \quad B = \begin{bmatrix} 1 & 0 \\ 0 & 0 \\ 0 & 1 \end{bmatrix},$$

$$C = \begin{bmatrix} 0 & 1 & 0 \\ \eta_1 & 0 & 0 \\ -\eta_2 \varepsilon & 0 & 0 \\ 1 & -\varepsilon^2 & -2\varepsilon \end{bmatrix}, \quad D = \begin{bmatrix} 0 & 0 \\ 0 & 0 \\ \eta_2 & 0 \\ 0 & 1 \end{bmatrix}$$

olarak yazılabilir. Sistemler üzerinde standart işlemler yaparak [18, section 3.4]

$$G_r^{\sim} J_{\gamma} G_r \stackrel{s}{=} \left[\begin{array}{c|cc} A & 0 & B \\ \hline -C^* J_{\gamma} C & -A^* & -C^* J_{\gamma} D \\ \hline D^* J_{\gamma} C & B^* & D^* J_{\gamma} D \end{array} \right] = \left[\begin{array}{c|cc} \hat{A} & \hat{B}_1 & \hat{B}_2 \\ \hline \hat{C}_1 & \hat{D}_{11} & \hat{D}_{12} \\ \hline \hat{C}_2 & \hat{D}_{21} & \hat{D}_{22} \end{array} \right]$$

olarak yazılabilir. Diğer yandan (2.4) denklemi gereğince

$$A_H = \hat{A} - \hat{B}_2 \hat{D}_{22}^{-1} \hat{C}_2$$

olarak tanımlanır. F_s 'nin "gerçeklenmesi" (2.5) ifadesinden

$$F_s \stackrel{s}{=} \left[\begin{array}{c|c} A_H & (e^{-hs} I - e^{-hA_H}) (\hat{B}_1 - \hat{B}_2 \hat{D}_{22}^{-1} \hat{D}_{21}) \\ \hline \hat{D}_{22}^{-1} \hat{C}_2 & (e^{-hs} - 1) \hat{D}_{22}^{-1} \hat{D}_{21} \end{array} \right]$$

olarak yazılabilir. Bu durumda (2.3) denkleminde tanımlanan Θ 'nın gerçekleşmesi

$$\Theta \stackrel{s}{=} \left[\begin{array}{c|c} \hat{A} & B_{\Theta} \\ \hline C_{\Theta} & D_{\Theta} \end{array} \right],$$

$$B_{\Theta} = \left[e^{-hA_H} \hat{B}_1 + (I - e^{-hA_H}) \hat{B}_2 \hat{D}_{22}^{-1} \hat{D}_{21} \quad \hat{B}_2 \right],$$

$$C_{\Theta} = \left[\begin{array}{c} \hat{C}_1 e^{hA_H} + \hat{D}_{12} \hat{D}_{22}^{-1} \hat{C}_2 (I - e^{hA_H}) \\ \hat{C}_2 \end{array} \right],$$

$$D_{\Theta} = \left[\begin{array}{cc} \hat{D}_{11} & \hat{D}_{12} \\ \hat{D}_{21} & \hat{D}_{22} \end{array} \right]$$

olarak verilir. Hamiltonian matrisi transfer matrisi Θ^{-1} olan sistemin dinamik matrisidir, yani

$$H_{\gamma} = \hat{A} - B_{\Theta} D_{\Theta}^{-1} C_{\Theta}. \quad (3.10)$$

Verilen problemde

$$D = \left[\begin{array}{cc} 0 & 0 \\ \eta_2 & 0 \\ 0 & 1 \end{array} \right], \quad D^* J_{\gamma} D = \left[\begin{array}{cc} \eta_2^2 & 0 \\ 0 & -\gamma^2 \end{array} \right]$$

olduğundan

$$\begin{aligned} \left[\begin{array}{cc} \hat{D}_{11} & \hat{D}_{12} \\ \hat{D}_{21} & \hat{D}_{22} \end{array} \right]^{-1} &= \left[\begin{array}{cc} \eta_2^2 & 0 \\ 0 & -\gamma_i^2 \end{array} \right]^{-1} = \left[\begin{array}{cc} \frac{1}{\eta_2} & 0 \\ 0 & \frac{1}{-\gamma_i^2} \end{array} \right] \\ &= \left[\begin{array}{cc} \hat{D}_{11}^{-1} & 0 \\ 0 & \hat{D}_{22}^{-1} \end{array} \right] \end{aligned}$$

olarak yazılabilir.

$$\hat{D}_{12} = \hat{D}_{21} = 0$$

olduğundan

$$\Theta \stackrel{s}{=} \left[\begin{array}{c|cc} \hat{A} & e^{-hA_H} \hat{B}_1 & \hat{B}_2 \\ \hline \hat{C}_1 e^{hA_H} & \hat{D}_{11} & \hat{D}_{12} \\ \hat{C}_2 & \hat{D}_{21} & \hat{D}_{22} \end{array} \right],$$

$$\begin{aligned} H_{\gamma} &= \hat{A} - \left[e^{-hA_H} \hat{B}_1 \quad \hat{B}_2 \right] \left[\begin{array}{cc} \hat{D}_{11}^{-1} & 0 \\ 0 & \hat{D}_{22}^{-1} \end{array} \right] \left[\begin{array}{c} \hat{C}_1 e^{hA_H} \\ \hat{C}_2 \end{array} \right] \\ &= \hat{A} - \left[e^{-hA_H} \hat{B}_1 \hat{D}_{11}^{-1} \quad \hat{B}_2 \hat{D}_{22}^{-1} \right] \left[\begin{array}{c} \hat{C}_1 e^{hA_H} \\ \hat{C}_2 \end{array} \right] \\ &= \hat{A} - \left(e^{-hA_H} \hat{B}_1 \hat{D}_{11}^{-1} \hat{C}_1 e^{hA_H} + \hat{B}_2 \hat{D}_{22}^{-1} \hat{C}_2 \right) \end{aligned}$$

olarak hesaplanabilir.

$$\Theta = W_r \tilde{J} W_r, \quad W_r : \text{çift kararlı}, \quad \hat{J} = \left[\begin{array}{cc} 1 & 0 \\ 0 & -1 \end{array} \right]$$

J -spektral ayrıştırma probleminin çözümü (2.9) eşitliği göz önünde bulundularak ve

$$W_r \stackrel{s}{=} \left[\begin{array}{c|c} A_w & B_w \\ \hline C_w & D_w \end{array} \right]$$

notasyondan faydalanarak,

$$D_w^* \hat{J} D_w = D_\Theta = D^* J_\gamma D$$

sağlayan D_w ,

$$D_w = \left[\begin{array}{cc} \eta_2 & 0 \\ 0 & \gamma \end{array} \right]$$

olarak seçilebilir.

$$\hat{A} = \left[\begin{array}{cc} A & 0 \\ -C^* J C & -A^* \end{array} \right], \quad A : \text{kararlı}$$

eşitliği daha önce verilmiştir. (3.10) eşitliği ile tanımlanan H_γ Hamiltonian matrisine ait Riccati denklemin kararlılaştırılan çözümü

$$X = \text{Ric}(H_\gamma)$$

Bu durumda

$$\begin{aligned} B_\Theta &= \left[\begin{array}{c} B_{\Theta,1} \\ B_{\Theta,2} \end{array} \right], & B_{\Theta,2} &= -C_{\Theta,1}^*, \\ C_\Theta &= \left[\begin{array}{cc} C_{\Theta,1} & C_{\Theta,2} \end{array} \right], & C_{\Theta,2} &= B_{\Theta,1}^* \end{aligned}$$

eşitlikleri Θ 'nın hesaplanmasından dolayı geçerli olduğu bilinir. O halde W_r 'nin gerçekleşmesi

$$W_r \stackrel{s}{=} \left[\begin{array}{c|c} A & [I \ 0] B_\Theta \\ \hline \hat{J} D_w^{-*} C_\Theta \left[\begin{array}{c} I \\ X \end{array} \right] & D_w \end{array} \right]$$

olarak yazılabilir.

\bar{K} denetleyicisi J -spektral ayrıştırma teorisi sonucu olarak

$$\bar{K} = RMM(W^{-1}, U), \quad \|U\|_\infty < 1$$

olarak parametrize edilebilir. Burada

$$\begin{aligned} W^{-1} &: = \left[\begin{array}{cc} Z_{11} & Z_{12} \\ Z_{21} & Z_{22} \end{array} \right] \quad \text{ve} \\ RMM(W^{-1}, U) &= (Z_{11}U + Z_{12})(Z_{21}U + Z_{22})^{-1} \end{aligned}$$

olarak tanımlanmıştır. Merkezi denetleyici için $U \equiv 0$ olarak seçilir. Bu durumda

$$\bar{K} = Z_{12}Z_{22}^{-1}$$

olarak ifade edilir. Dikkat edilirse

$$W = W_r \left[\begin{array}{cc} 1 & 0 \\ F_s & 1 \end{array} \right]$$

ve

$$W^{-1} = \begin{bmatrix} 1 & 0 \\ -F_s & 1 \end{bmatrix} W_r^{-1}$$

eşitliği geçerlidir. O halde eğer

$$W_r^{-1} = \begin{bmatrix} \Psi_{11} & \Psi_{12} \\ \Psi_{21} & \Psi_{22} \end{bmatrix}$$

olarak tanımlanırsa

$$W^{-1} = \begin{bmatrix} I & 0 \\ -F_s & I \end{bmatrix} \begin{bmatrix} \Psi_{11} & \Psi_{12} \\ \Psi_{21} & \Psi_{22} \end{bmatrix} = \begin{bmatrix} \Psi_{11} & \Psi_{12} \\ \Psi_{21} - F_s \Psi_{11} & \Psi_{22} - F_s \Psi_{12} \end{bmatrix}$$

olarak yazılabilir, dolayısıyla merkezi denetleyici için

$$\bar{K} = \Psi_{12} (\Psi_{22} - F_s \Psi_{12})^{-1} = \Psi_{12} \Psi_{22}^{-1} (I - F_s \Psi_{12} \Psi_{22}^{-1})^{-1}$$

formülü elde edilir. Burada dikkat edilirse

$$\hat{K} = \Psi_{12} \Psi_{22}^{-1}$$

ile gösterilen denetleyici, gecikme olmadığı zaman ki denetleyicidir, yani $h = 0$ olduğunda ortaya çıkan denetleyicidir, zira $F_s \equiv 0$ olacaktır. Bu durumda

$$\bar{K} = \hat{K} (1 - F_s \hat{K})^{-1}$$

şeklinde yazılabilir. Diğer yandan

$$K = RMM(G_D, \bar{K}) = G_{D1} \bar{K} G_{D2}^{-1} = \frac{s + \varepsilon}{s} \bar{K}$$

ifadesi ile yazılabilir. Ayrıca

$$\begin{aligned} \bar{K} &= RMM(W^{-1}, U) = RMM(TW_r^{-1}, U) \\ &= RMM(T, RMM(W_r^{-1}, U)) \end{aligned}$$

eşitliğinden

$$\begin{aligned} K &= RMM(G_D, \bar{K}) = RMM(G_D, RMM(T, RMM(W_r^{-1}, U))) \\ &= RMM(G_D T, RMM(W_r^{-1}, U)) \end{aligned}$$

elde edilir.

$$T = \begin{bmatrix} 1 & 0 \\ -F_s & 1 \end{bmatrix}, \quad G_D = \begin{bmatrix} G_{D1} & 0 \\ 0 & G_{D2} \end{bmatrix},$$

G_{D2} : skaler rasyonel fonksiyon

eşitlikleri gözönüne alınarak

$$\begin{aligned} G_D T &= \begin{bmatrix} G_{D1} & 0 \\ 0 & G_{D2} \end{bmatrix} \begin{bmatrix} 1 & 0 \\ -F_s & 1 \end{bmatrix} = \begin{bmatrix} G_{D1} & 0 \\ -G_{D2} F_s & G_{D2} \end{bmatrix} \\ &= \begin{bmatrix} G_{D1} & 0 \\ -F_s G_{D2} & G_{D2} \end{bmatrix} = \begin{bmatrix} 1 & 0 \\ -F_s & 1 \end{bmatrix} \begin{bmatrix} G_{D1} & 0 \\ 0 & G_{D2} \end{bmatrix} = T G_D \end{aligned}$$

olarak yazılabilir. O halde

$$\begin{aligned}
K &= RMM(G_D T, RMM(W_r^{-1}, U)) \\
&= RMM(TG_D, RMM(W_r^{-1}, U)) \\
&= RMM(T, RMM(G_D W_r^{-1}, U)) \\
&= RMM(T, \tilde{K})
\end{aligned} \tag{3.11}$$

şeklinde ifade edilir. Dikkat edilirse

$$\tilde{K} = RMM(G_D W_r^{-1}, U)$$

ile tanımlanan denetleyici $h = 0$ olduğunda [27, Theorem 3.1]'de verilen denetleyiciye denktir, zira H_γ Hamiltonian matrisleri birbirine denktir. O halde denetleyici (3.11) eşitliğinden

$$K = \tilde{K} \left(1 - F_s \tilde{K}\right)^{-1} \tag{3.12}$$

olarak yazılabilir. (3.12) denkleminde $h = 0$ ise $F_s \equiv 0$ olacağından, gecikme olmadığında denetleyicinin plantı kararlılaştırması sağlanmış olur.

Örnek Çözüm:

Örnek vermek gerekirse, $h = 1.5$, $\eta_1 = \sqrt{2}\sqrt{0.166}$, $\eta_2 = 2$ ve $\varepsilon = 1.2$ için $\gamma = 4.872$ olarak bulunur. Gecikmenin zamana göre değişimi

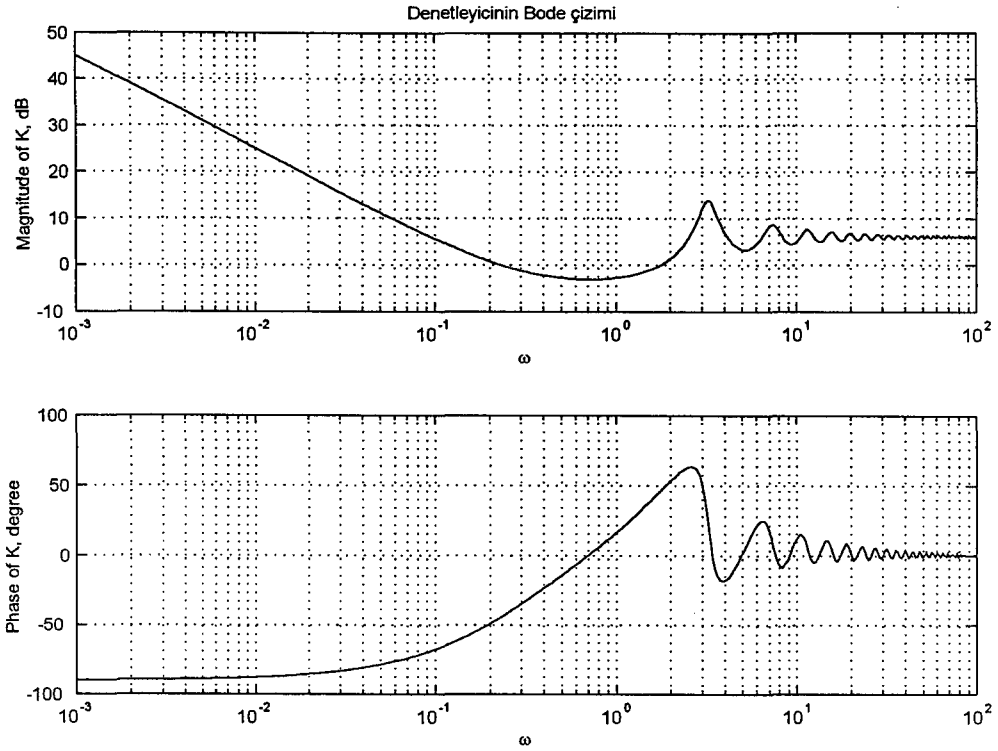
$$\begin{aligned}
h^b &= 0.9h, & h^f &= 0.1h, \\
\delta^b(t) &= 0.1 + 0.5 \sin \frac{2\pi}{50}t, & \delta^f(t) &= 0.1h \sin \frac{\pi}{50}t
\end{aligned}$$

olarak seçilmiştir. Denetleyicinin Bode çizimi Şekil 3.6'da verilmiştir. Daha geniş frekans aralığı için aynı denetleyicinin Bode çizimi Şekil 3.7'de verilmiştir.

Matlab Simulink programı kullanılarak bu durum için tasarlanan kuyruk uzunluğu, $q_d = 30$ paket ve $c(t) = 60$ paket/s, için kuyruk uzunluğunun ve iletim oranının zamana göre değişimi Şekil 3.8'de verilmiştir. Karşılaştırma maksadı ile gecikme sabit iken ($\delta(t) = 0$) kuyruk uzunluğunun ve iletim oranının zamana göre değişimi Şekil 3.9'da verilmiştir.

$c(t)$, link kapasitesinin etkisini incelemek için $c = 25$ ve $c = 5$ paket/s olduğunda simulasyon sonuçları Şekil 3.10 ve 3.11'de verilmiştir. Gecikmenin zamanla değiştiği kabul edilmiştir.

Şekillerden açıkça görülür ki $c(t)$ 'nin farklı değerler için, kapalı çevrim sistemin yatışkın duruma ulaşabilmesi için aynı zamana ihtiyacı vardır. Öte yandan, c 'nin daha küçük değerler daha büyük üst taşmasına neden olabilmektedir. Gecikme zamana göre sabit olduğu durumlarda sistem küçük üst taşmasına sahip olmakta ve daha hızlı yatışkın duruma ulaşılmaktadır.



Şekil 3.6: Denetleyicinin Bode çizimi

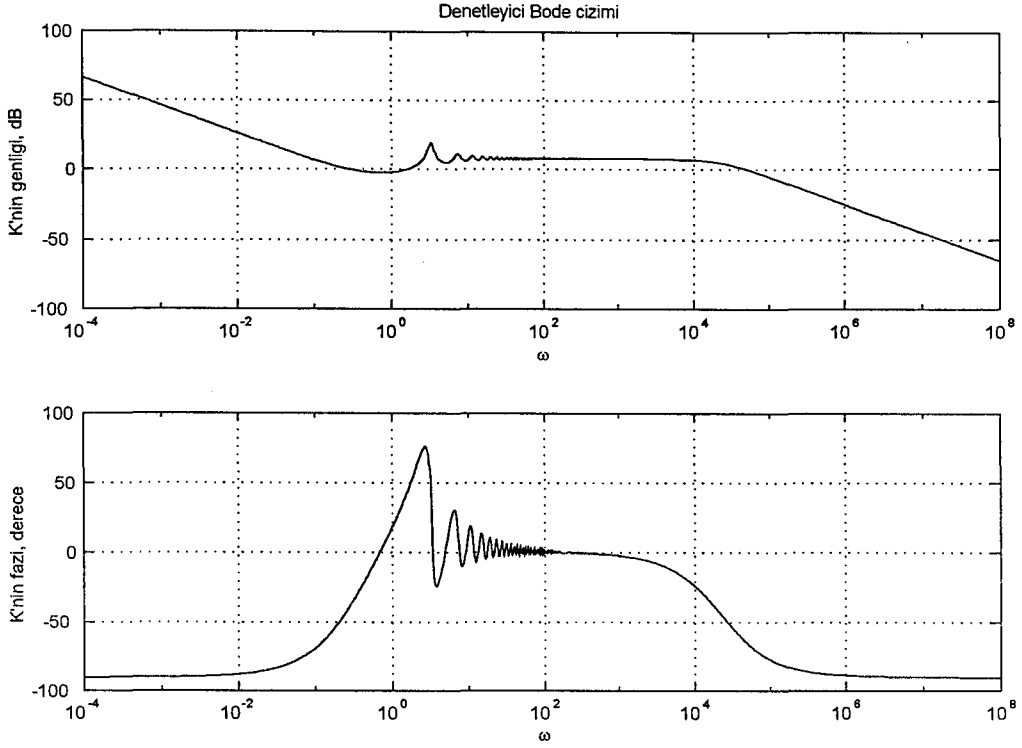
F_s 'nin birim darbe yanıtı Şekil 3.12'de, Teorem 2.2'de tanımlanan X_1 'nin en küçük tekil değerinin değişimi Şekil 3.13'te verilmiştir². Daha küçük aralıkta X_1 'nin en küçük tekil değerinin değişimi Şekil 3.14'te verilmiştir. γ 'nin ve denetleyicinin hesaplanması Ek-2'de ve Ek-1'de sırasıyla verilen makrolar yardımı ile yapılabilir. Optimal γ , γ^{opt} ,

$$\gamma^{opt} = \inf \{ \gamma^* \mid \text{bütün } \gamma \geq \gamma^* \text{ için } X_1 \text{ singüler değil} \}$$

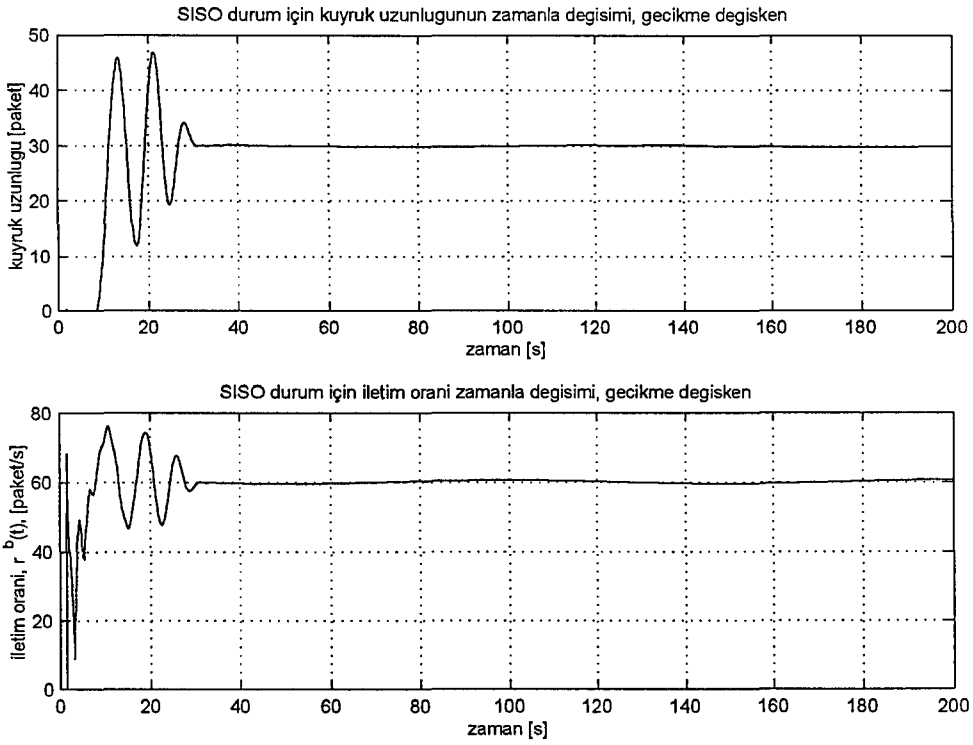
olarak hesaplanır.

ε 'un etkisini incelemek için $q_d = 30$ paket, $c = 60$ paket/s, ve $\varepsilon = 0.5$ için F_s 'nin birim darbe yanıtı, kuyruk uzunluğunun ve iletim oranının değişimi sırasıyla Şekil 3.15 ve 3.16'da verilmiştir.ve $q_d = 30$ paket, $c = 60$ paket/s, ve $\varepsilon = 2.5$ için F_s 'nin birim darbe yanıtı, kuyruk uzunluğunun ve iletim oranının değişimi sırasıyla Şekil 3.17 ve 3.18'de verilmiştir. Büyük ε değerleri için X_1 'in en küçük tekil değerinin hesaplanması zorlaşmaktadır. $\varepsilon = 5$ seçildiğinde X_1 'nin en küçük tekil değerinin değişimi Şekil 3.19'da gösterilmiştir. Bu örnekte, $\varepsilon > 3$ için X_1 'nin en küçük tekil değerinin hesaplanması güç olduğu için uygun bir γ değeri bulmak mümkün değildir. Ayrıca, bu örnekte $\varepsilon < 0.5$ için kapalı çevrim sisteminin simülasyonları problemlidir. Fakat,

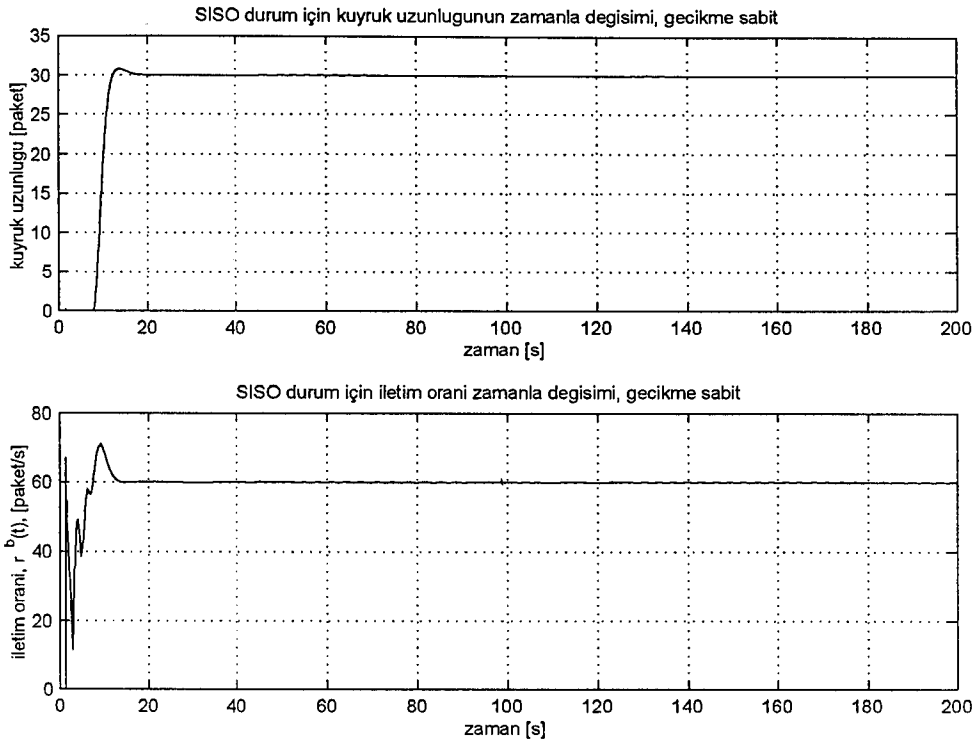
² $X_1, H_\gamma := L \begin{bmatrix} X_1 & \bar{T}_{12} \\ 0 & X_2 \end{bmatrix} L^*, L^*L = I$, Schur ayrıştırması yoluyla hesaplanabilir. Bu ayrıştırma için Matlab'ta `ric_schr` komutu kullanılabilir. Detaylı bilgi için [38, Section 12.1] ve [18, Section 7.2] bakınız.



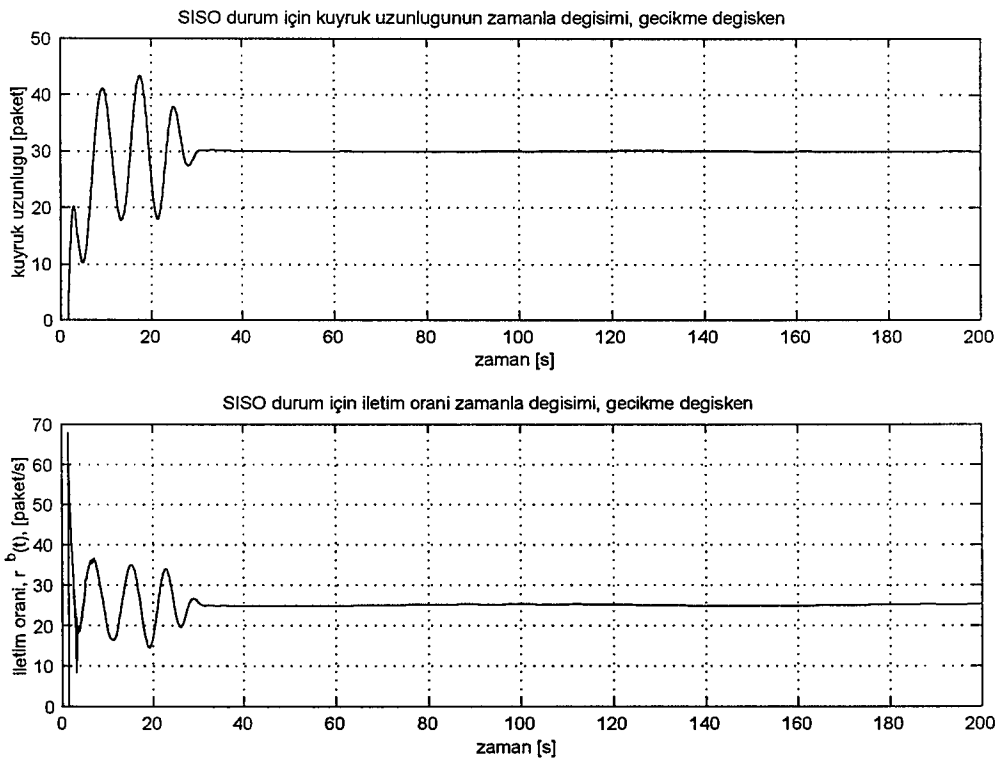
Şekil 3.7: Denetleyicinin daha geniş frekans aralığı için Bode çizimi



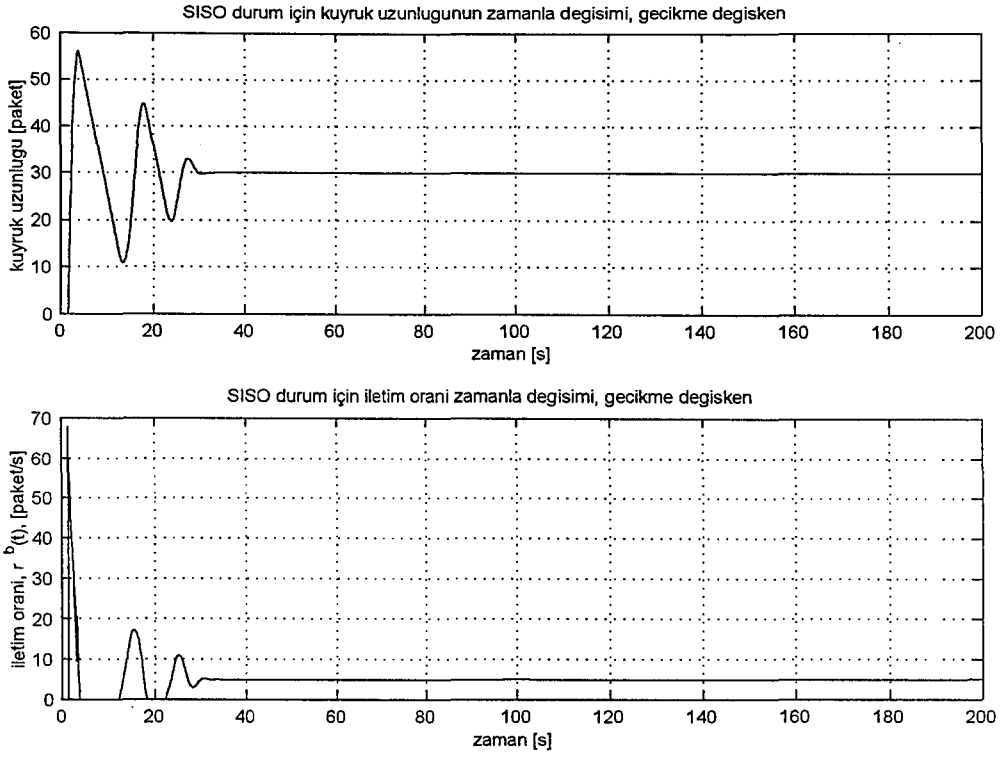
Şekil 3.8: $c = 60$ paket/s için kuyruk uzunluğunun ve iletim oranının zamana göre değişimi



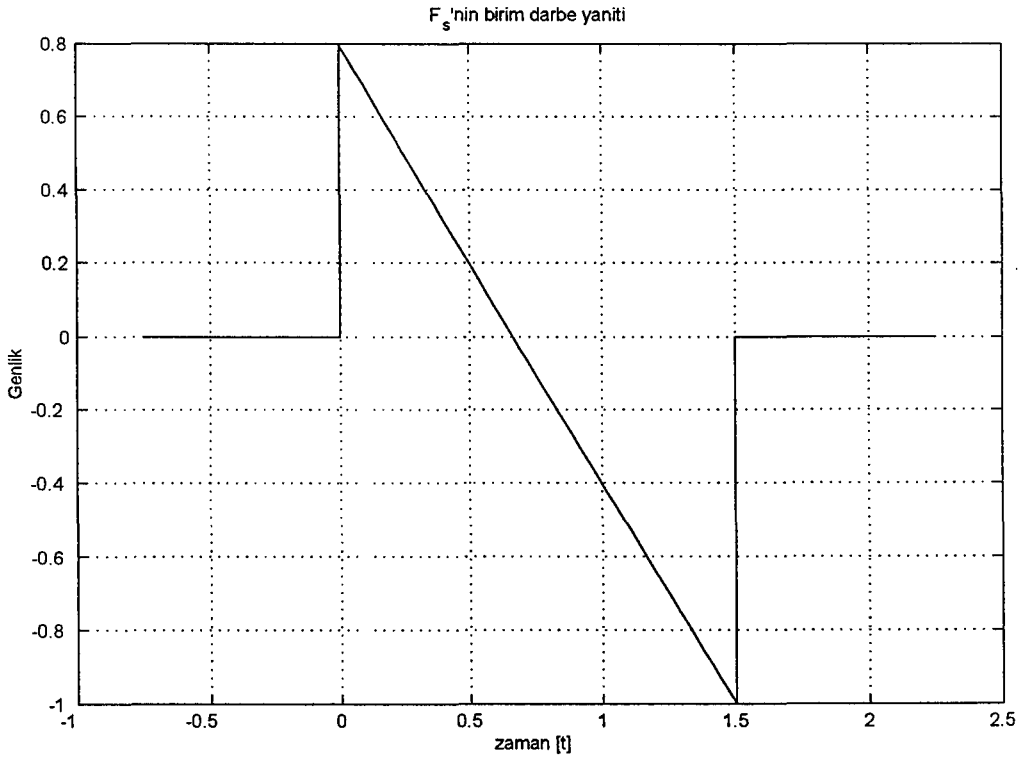
Şekil 3.9: $c = 60$ paket/s için kuyruk uzunluęunun ve iletim oranının zamana göre deęişimi, gecikme sabit



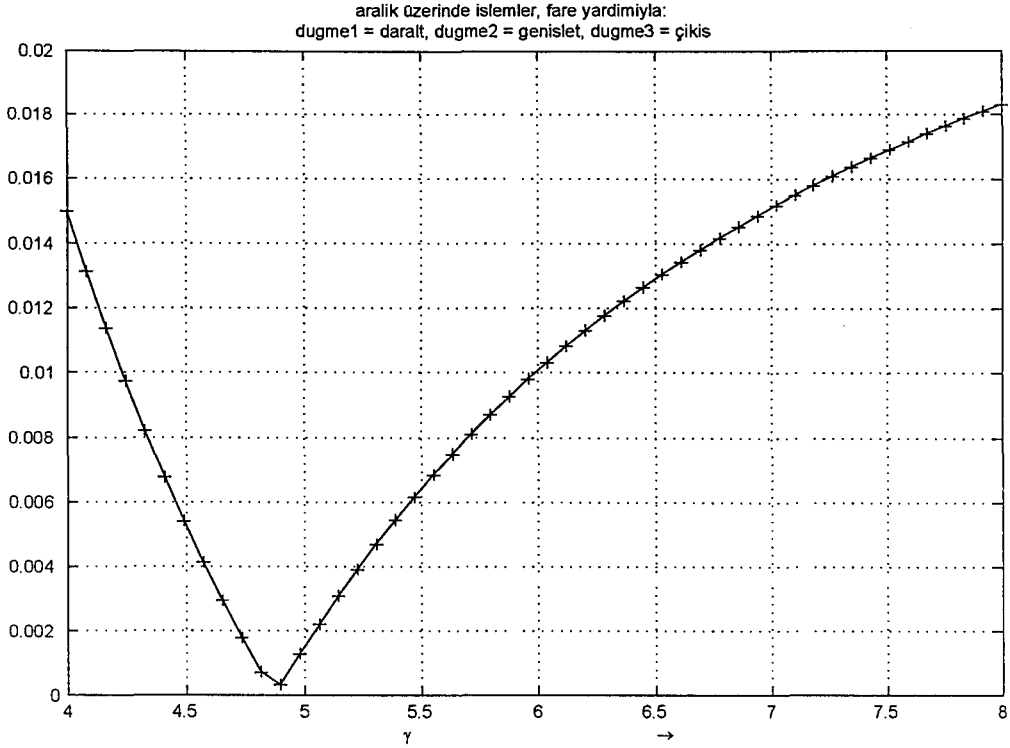
Şekil 3.10: $c = 25$ paket/s için kuyruk uzunluęunun ve iletim oranının zamana göre deęişimi



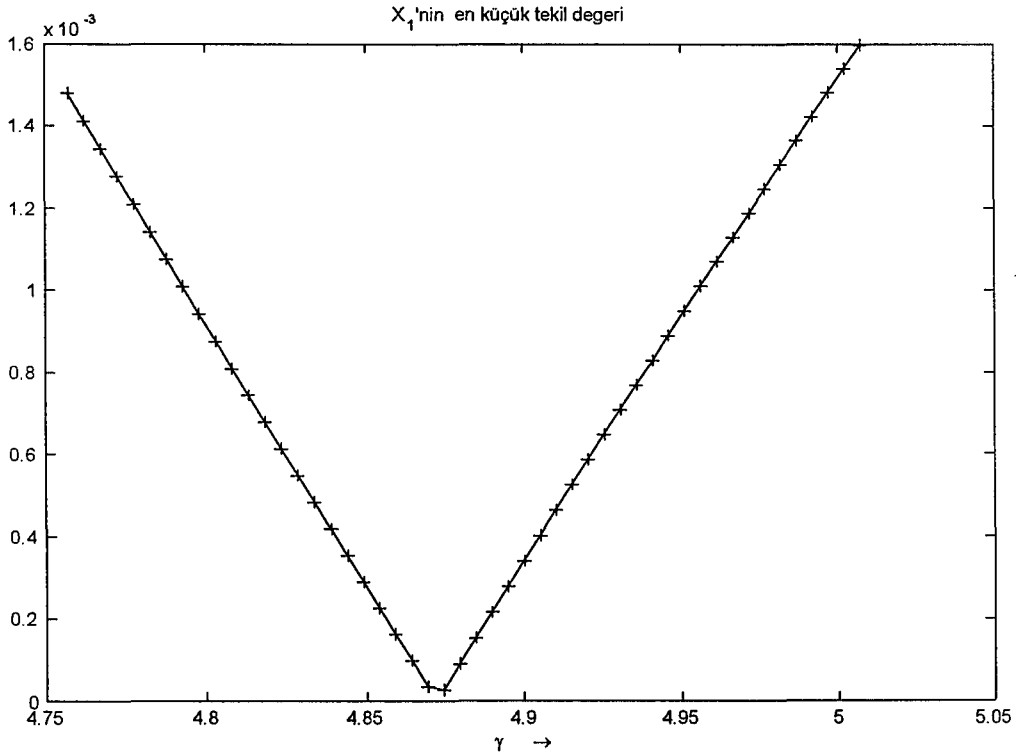
Şekil 3.11: $c = 5$ paket/s için kuyruk uzunluęunun ve iletim oranının zamana göre deęiřimi



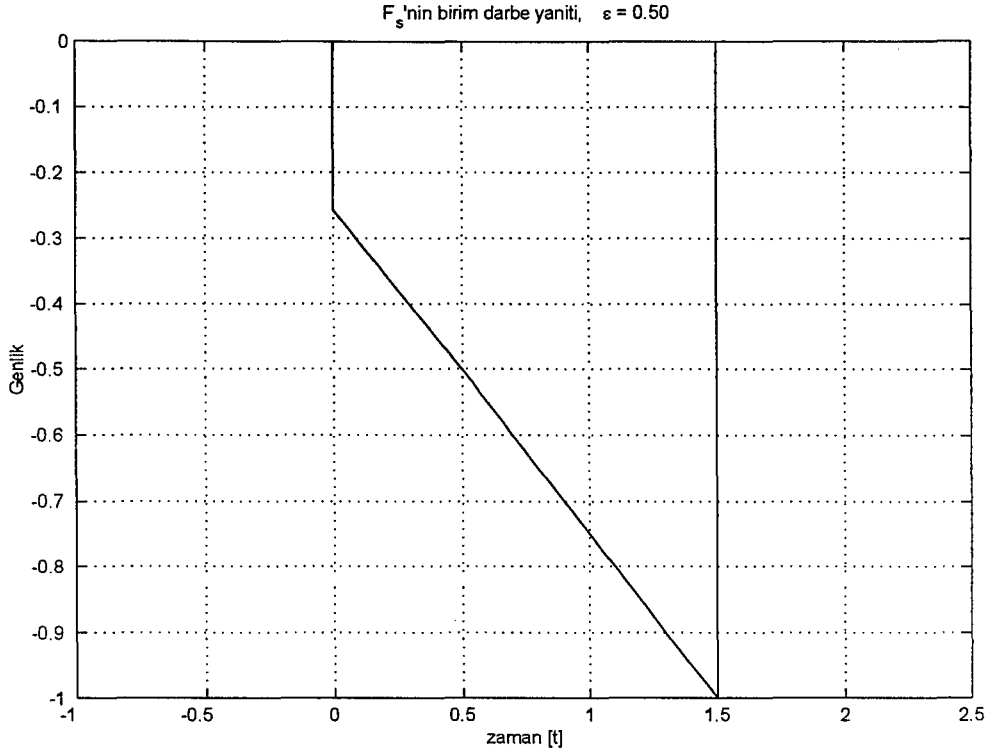
Şekil 3.12: F_s'nin birim darbe yaniti



Şekil 3.13: X_1 'nin en küçük tekil değerinin değişimi

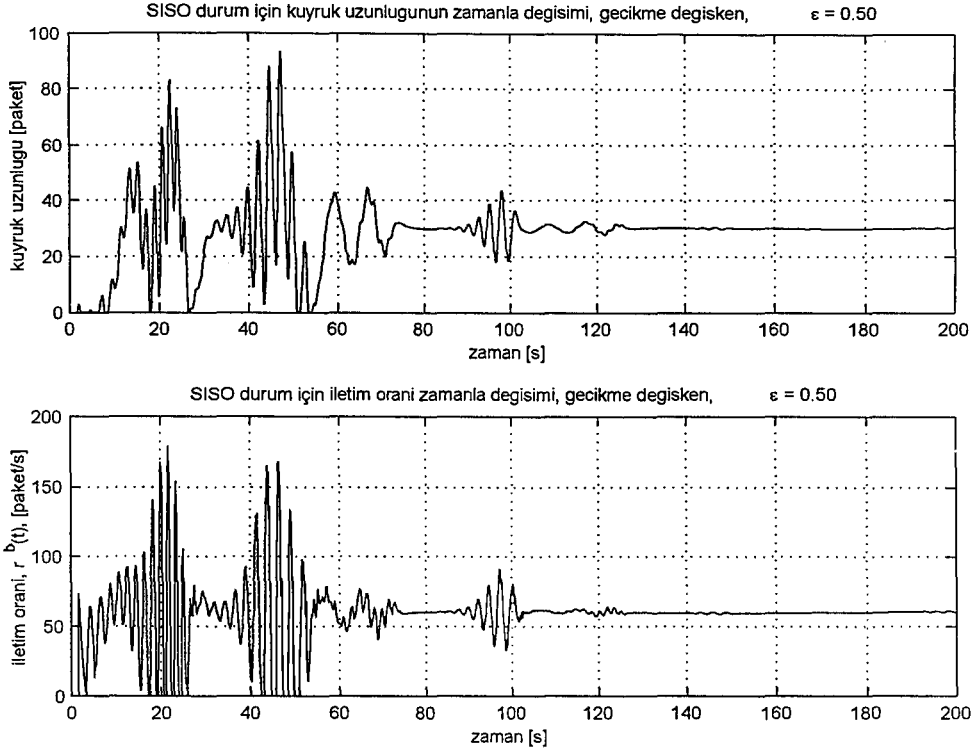


Şekil 3.14: Daha küçük aralıkta X_1 'nin en küçük tekil değerinin değişimi

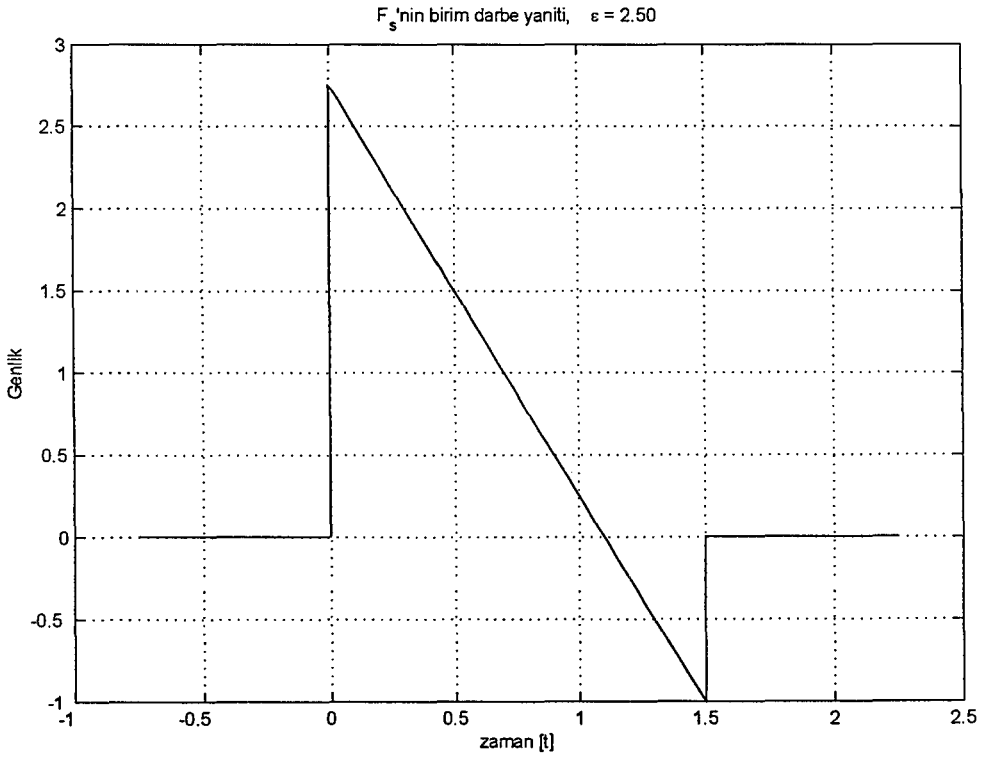


Şekil 3.15: $\epsilon = 0.5$ için F_s 'nin birim darbe yaniti

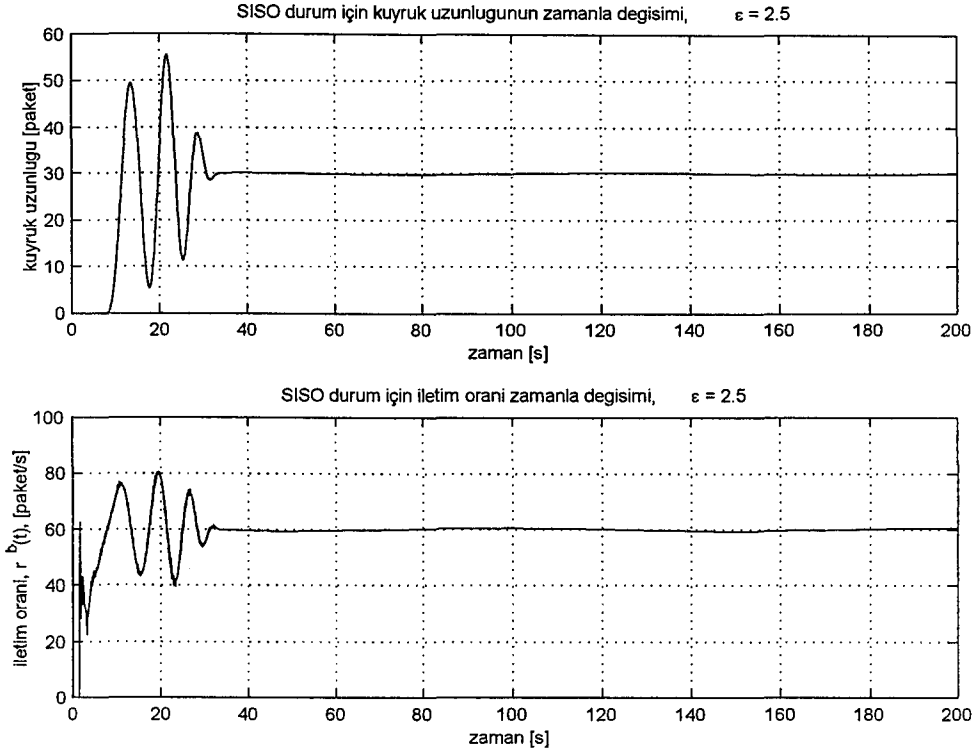
farklı ϵ 'lar için, denetleyicinin Bode çizimlerinde, $\omega \in (10^{-3}, 10^2)$ frekans aralığı için her hangi bir değişiklik olmadığı görülmektedir. Şekil 3.20, 3.21, ve 3.22'de $\epsilon = 0.5$, $\epsilon = 10^{-4}$ ve $\epsilon = 10^{-9}$ için sırasıyla denetleyicinin Bode çizimi verilmiştir. Şekil 3.23'te F_s 'nin $\epsilon = 10^{-9}$ için birim darbe yaniti verilmiştir.



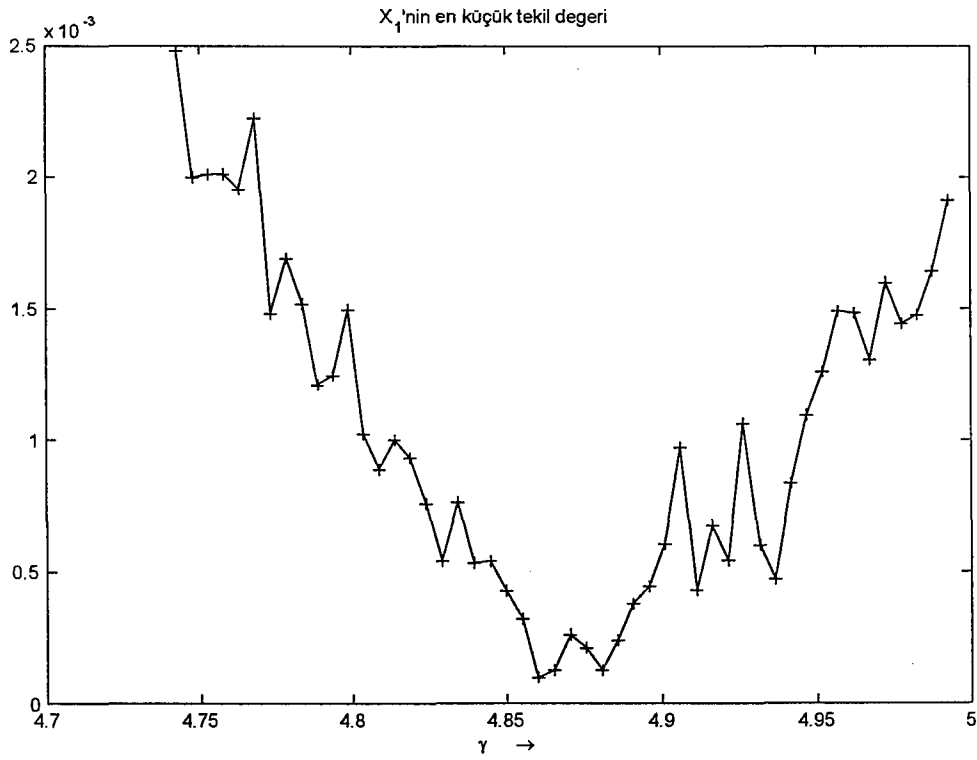
Şekil 3.16: $\epsilon = 0.5$ için kuyruk uzunluğunun ve iletim oranının zamana göre değişimi



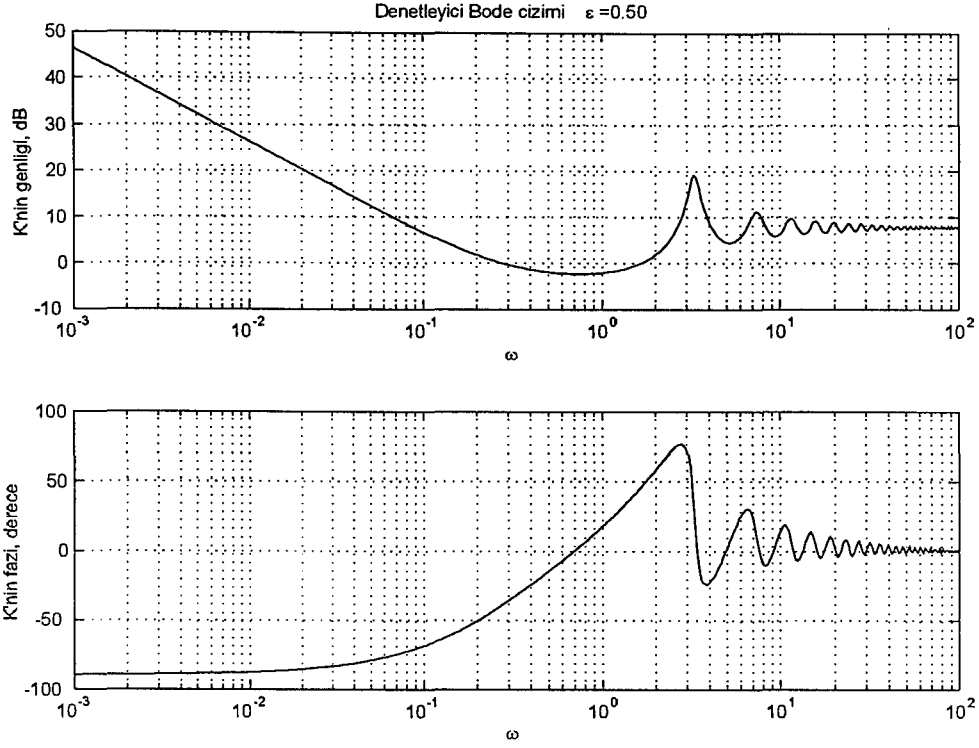
Şekil 3.17: $\epsilon = 2.5$ için F_s 'nin birim darbe yanıtı



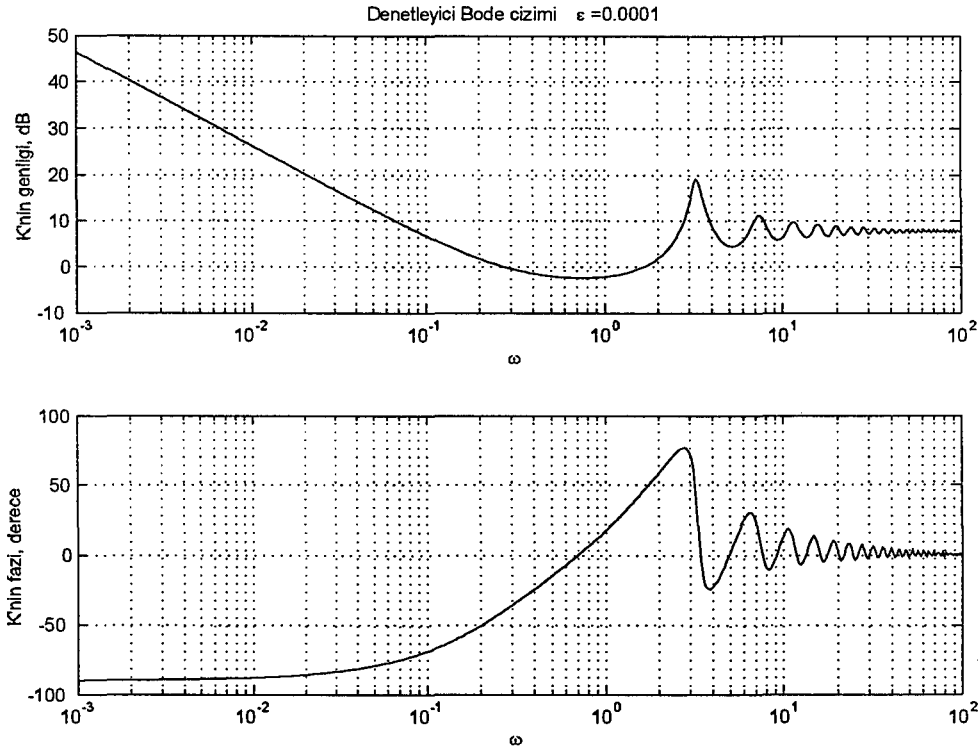
Şekil 3.18: $\epsilon = 2.5$ için kuyruk uzunluğunun ve iletim oranının zamana göre değişimi



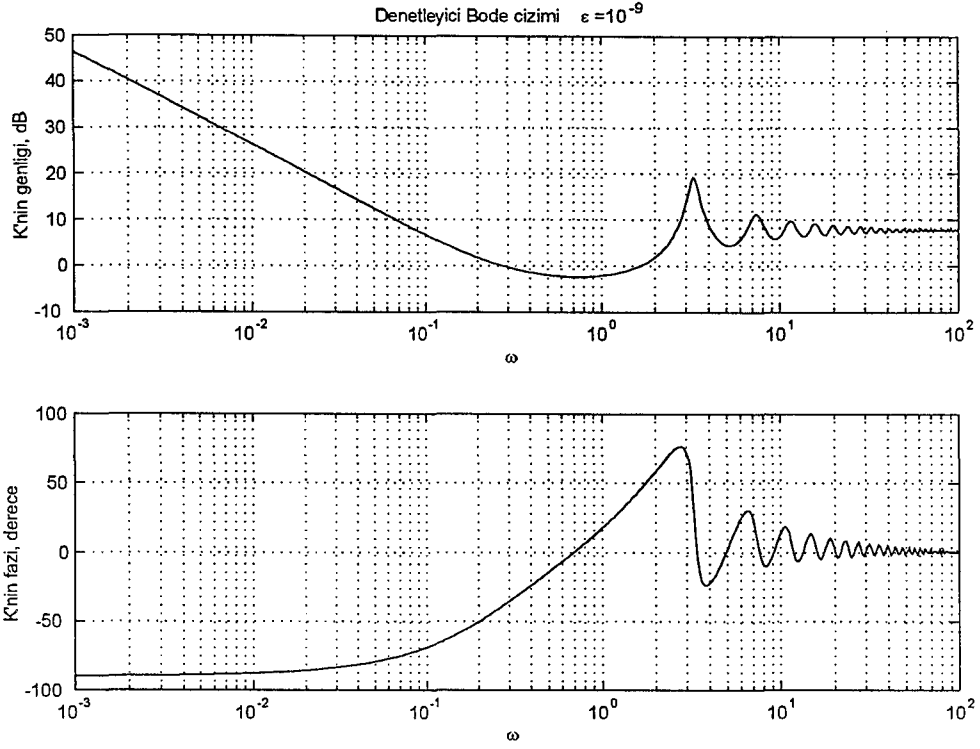
Şekil 3.19: $\epsilon = 5$ için X_1 'nin en küçük tekil değerinin değişimi



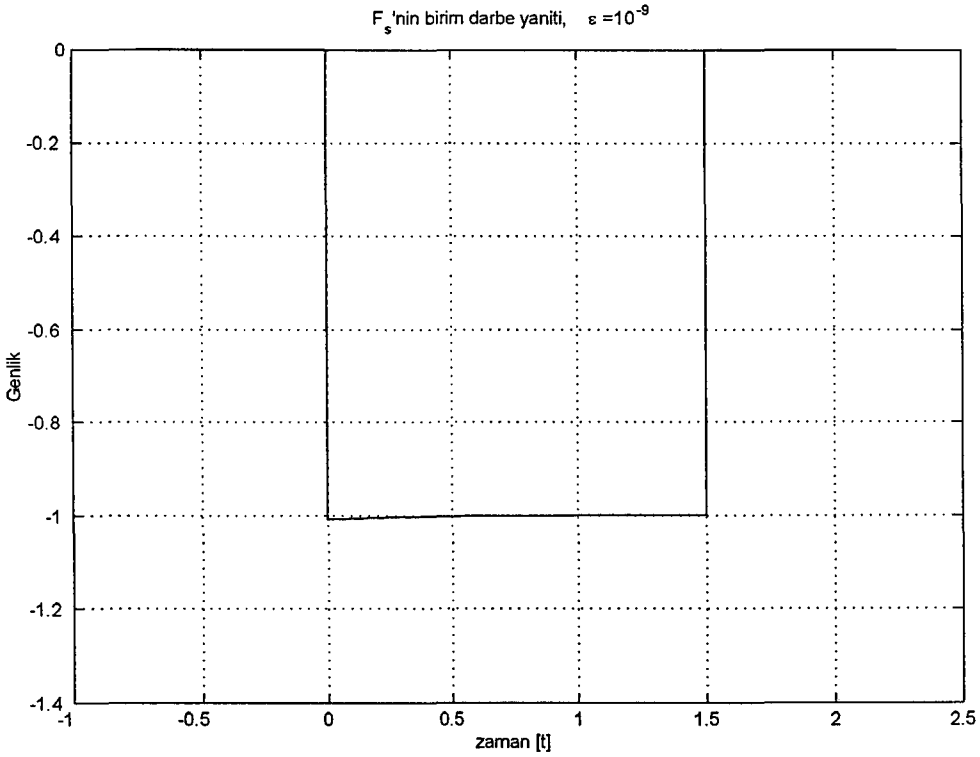
Şekil 3.20: $\epsilon = 0.5$ için denetleyicinin Bode çizimi



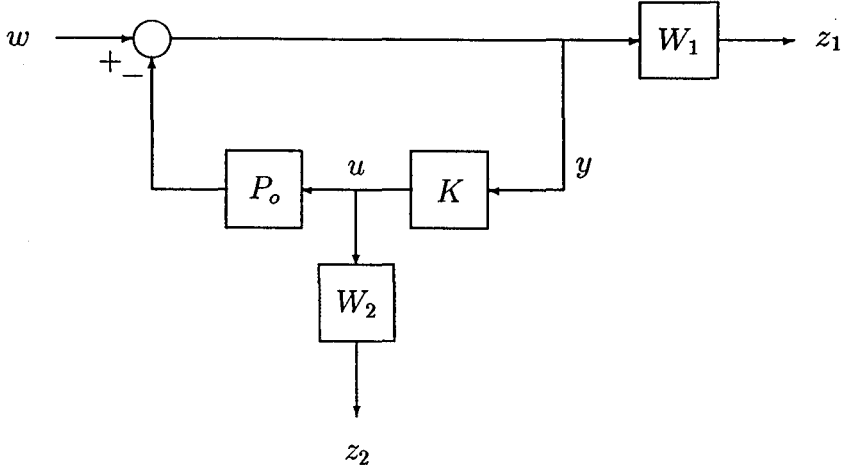
Şekil 3.21: $\epsilon = 10^{-4}$ için denetleyicinin Bode çizimi



Şekil 3.22: $\epsilon = 10^{-9}$ için denetleyicinin Bode çizimi



Şekil 3.23: $\epsilon = 10^{-9}$ için F_s 'nin birim darbe yanıtı



Şekil 3.24: İki blok optimizasyon problemi, standart yapısı

3.2.2 MISO Gecikmeli Sistem İçin Denetleyici Tasarlanması

Daha iyi yatışkın durum ve geçici durum performansları elde etmek için

$$\|W_1 (1 + P_o K)^{-1}\|_{\infty}$$

normu minimize edilmeye çalışılabilir [6]. Burada, [6] makalesinde olduğu gibi

$$W_1 := \frac{1}{s^2}$$

seçilebilir.

Bu durumda iki blok optimizasyon problemi

$$K \quad P_o \text{'yu kararlılaştırıyor} \quad \inf \left\| \begin{bmatrix} W_1 (1 + P_o K)^{-1} \\ W_2 K (1 + P_o K)^{-1} \end{bmatrix} \right\|_{\infty} =: \gamma^{opt}$$

olarak yazılabilir. Bu durumda yukarıdaki optimizasyon probleminin minimizasyonu,

$$H = \begin{bmatrix} W_1 (1 + P_o K)^{-1} \\ W_2 K (1 + P_o K)^{-1} \end{bmatrix}, \quad \begin{bmatrix} z_1 \\ z_2 \end{bmatrix} = Hw$$

ile tanımlanan sistemin w 'dan $z = \begin{bmatrix} z_1 \\ z_2 \end{bmatrix}$ 'ye olan transfer fonksiyonunun minimizasyonu anlamına gelmektedir. H ile simgelenen transfer matrisinin blok diyagramının gösterimi Şekil 3.24'te verilmiştir. Şekil 3.24'teki gösteriminden yararlanılarak

$$\begin{aligned} z_1 &= W_1 y, & z_2 &= W_2 u, \\ y &= w - P_o u \Rightarrow w &= P_o u + y \end{aligned}$$

yazılabilir. Sağ Möbius gösterimi kullanıldığında genelleştirilmiş plant

$$G = \begin{bmatrix} 0 & W_1 \\ W_2 & 0 \\ P_o & 1 \end{bmatrix} = \begin{bmatrix} 0 & \frac{1}{s^2} \\ (\frac{1}{s}\xi_1 + \xi_2) I_n & 0 \\ \frac{1}{s} \mathbf{1}_n e^{-Fs} & 1 \end{bmatrix}$$

olarak yazılabilir. Burada

$$F := \begin{bmatrix} h_1 & & 0 \\ & \ddots & \\ 0 & & h_n \end{bmatrix}, \quad \mathbf{1}_n := [1 \ \cdots \ 1]_{1 \times n}$$

olarak tanımlanmıştır. Kolayca görünür ki $\begin{bmatrix} u \\ y \end{bmatrix}$ 'den $\begin{bmatrix} z_1 \\ z_2 \\ w \end{bmatrix}$ 'ya olan transfer matrisi G 'dir. $P := \frac{1}{s} \mathbf{1}_n$ olsun.

$$Q = K (1 + Pe^{-Fs}K)^{-1}$$

olarak seçildiğinde,

$$\begin{aligned} K &= Q (1 - Pe^{-Fs}Q)^{-1}, \\ (1 + Pe^{-Fs}K)^{-1} &= 1 - Pe^{-Fs}Q \end{aligned}$$

olarak hesaplanabilir. Dolayısıyla optimizasyon problemi

$$\inf_{Q \in \mathcal{H}_\infty} \left\| \begin{array}{c} W_1 (1 - Pe^{-Fs}Q) \\ W_2 Q \end{array} \right\|_\infty = \gamma^{opt} \quad (3.13)$$

şeklinde ifade edilebilir. Şimdi

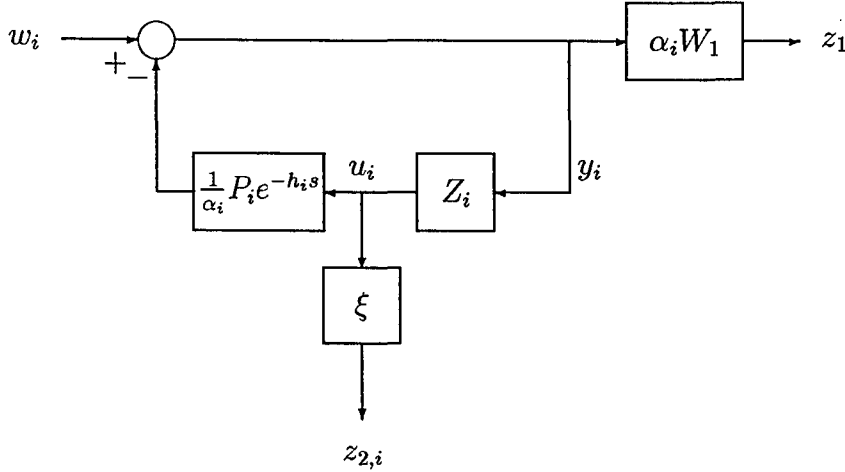
$$\begin{aligned} Pe^{-Fs} &= [P_1 e^{-h_1 s} \ \cdots \ P_n e^{-h_n s}], \\ W_2 &= [W_{2,1} \ \cdots \ W_{2,n}], \quad Q^T = [Q_1^T \ \cdots \ Q_n^T] \end{aligned}$$

olarak seçilirse yukarıda yazılan optimizasyon problemi

$$\inf_{Q \in \mathcal{H}_\infty} \left\| \begin{array}{c} W_1 (1 - \sum_{i=1}^n P_i e^{-h_i s} Q_i) \\ \sum_{i=1}^n W_{2,i} Q_i \end{array} \right\|_\infty = \gamma^{opt}$$

şeklinde yazılabilir. O halde

$$\begin{aligned} & \inf_{Q \in \mathcal{H}_\infty} \left\| \begin{array}{c} W_1 (1 - \sum_{i=1}^n P_i e^{-h_i s} Q_i) \\ \sum_{i=1}^n W_{2,i} Q_i \end{array} \right\|_\infty \\ &= \inf_{Q \in \mathcal{H}_\infty} \left\| \begin{array}{c} \sum_{i=1}^n W_1 (\alpha_i - P_i e^{-h_i s} Q_i) \\ \sum_{i=1}^n W_{2,i} Q_i \end{array} \right\|_\infty \\ &= \inf_{Q \in \mathcal{H}_\infty} \left\| \begin{array}{c} \sum_{i=1}^n \alpha_i W_1 \left(1 - \frac{1}{\alpha_i} P_i e^{-h_i s} Q_i\right) \\ \sum_{i=1}^n W_{2,i} Q_i \end{array} \right\|_\infty \\ &\leq \inf_{Q \in \mathcal{H}_\infty} \sum_{i=1}^n \left\| \begin{array}{c} \alpha_i W_1 \left(1 - \frac{1}{\alpha_i} P_i e^{-h_i s} Q_i\right) \\ \xi Q_i \end{array} \right\|_\infty \\ &= \sum_{i=1}^n \inf_{Q_i \in \mathcal{H}_\infty} \left\| \begin{array}{c} \alpha_i W_1 \left(1 - \frac{1}{\alpha_i} P_i e^{-h_i s} Q_i\right) \\ \xi Q_i \end{array} \right\|_\infty \\ &= \gamma_1^{opt} + \gamma_2^{opt} + \cdots + \gamma_n^{opt} =: \hat{\gamma} \geq \gamma^{opt} \end{aligned}$$



Şekil 3.25: İki blok optimizasyon problemi

eşitsizlikleri geçerlidir. Burada $\sum_{i=1}^n \alpha_i = 1$ ve her i için $\alpha_i > 0$ paylama (öncelik) katsayılarıdır.

$$Q_i = Z_i \left(1 + \frac{1}{\alpha_i} P_i e^{-h_i s} Z_i \right)^{-1}$$

olarak tanımlanır, i . optimizasyon problemi

$$Z_i, \frac{1}{\alpha_i} P_i e^{-h_i s} \text{'yi kararlılaştırıyor} \left\| \begin{array}{c} \alpha_i W_1 \left(1 + \frac{1}{\alpha_i} P_i e^{-h_i s} Z_i \right)^{-1} \\ \xi Z_i \left(1 + \frac{1}{\alpha_i} P_i e^{-h_i s} Z_i \right)^{-1} \end{array} \right\|_{\infty} =: \gamma_i^{opt} \quad (3.14)$$

şeklinde ifade edilebilir. Bu durumda (3.14) optimizasyon probleminin çözülmesinde [28] makalesindeki sonucun uygulanabilmesi için [27] makalesindeki sonucun uygulanması gerekmektedir. Şekil 3.25'te gösterilen sistemden

$$\begin{aligned} z_{1,i} &= \alpha_i W_1 y_i & z_{2,i} &= \xi u_i, \\ y_i &= w_i - \frac{1}{\alpha_i} P_i e^{-h_i s} u_i \Rightarrow w_i = y_i + \frac{1}{\alpha_i} P_i e^{-h_i s} u_i \end{aligned}$$

ifadeleri yazılabilir ve sistemin genelleştirilmiş plantı sağ Möbius gösterimde

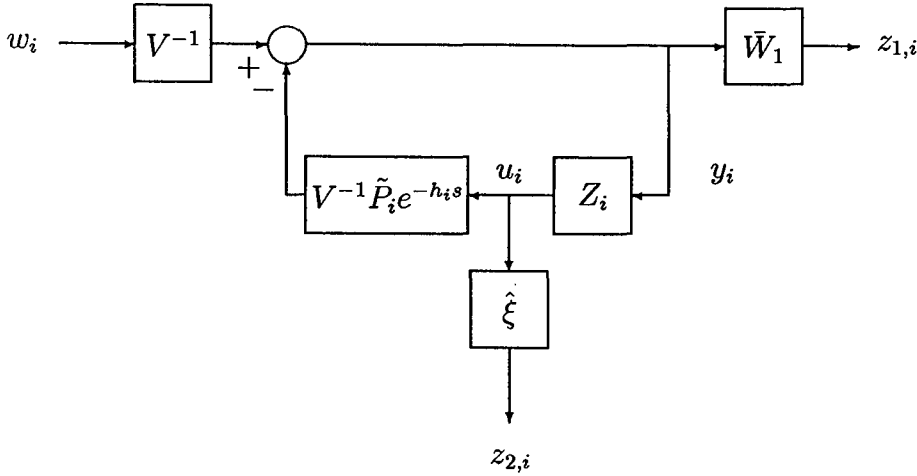
$$\begin{bmatrix} z_{1,i} \\ z_{2,i} \\ w_i \end{bmatrix} = \begin{bmatrix} 0 & \alpha_i W_1 \\ \xi & 0 \\ \frac{1}{\alpha_i} P_i e^{-h_i s} & 1 \end{bmatrix} \begin{bmatrix} u_i \\ y_i \end{bmatrix} = G_i \begin{bmatrix} u_i \\ y_i \end{bmatrix}$$

olarak ifade edilebilir.

$$G_i = G_{N,i} G_{D,i}^{-1}, \quad G_{N,i} \in \mathcal{H}_{\infty}, \quad G_{D,i} \in \mathcal{H}_{\infty}$$

\mathcal{H}_{∞} 'üzerindeki göreceli asal ayrıştırması olsun. Bu durumda aranan denetleyici

$$Z_i = RMM(G_{D,i}, \bar{Z}_i)$$



Şekil 3.26: Değiştirilmiş iki blok optimizasyon problemi

olarak ifade edilebilir. Burada \bar{Z}_i , $G_{N,i}$ 'ye karşılık tasarlanan denetleyicidir.

$$G_{N,i} = \begin{bmatrix} 0 & \bar{W}_i \\ \hat{\xi} & 0 \\ \tilde{P}_i e^{-h_i s} & V \end{bmatrix}$$

olarak verilir. Burada

$$\bar{W}_i = \frac{\alpha_i}{(s + \varepsilon)^2}, \quad \tilde{P}_i = \frac{1}{\alpha_i} \frac{1}{s + \varepsilon}, \quad V = \frac{s^2}{(s + \varepsilon)^2}, \quad \hat{\xi} = \frac{\xi_1 + s\xi_2}{s + \varepsilon}$$

$$G_{D,i} = \begin{bmatrix} \frac{s}{s + \varepsilon} & 0 \\ 0 & \left(\frac{s}{s + \varepsilon}\right)^2 \end{bmatrix} = \begin{bmatrix} G_{D1} & 0 \\ 0 & G_{D2} \end{bmatrix}$$

şeklinde yazılabilir. Bu durumda sistem Şekil 3.26'da blok diyagramlarla gösterilmiştir.

$$J_{\gamma_i} = \begin{bmatrix} I_2 & 0 \\ 0 & -\gamma_i^2 \end{bmatrix}, \quad \hat{J} = \begin{bmatrix} 1 & 0 \\ 0 & -1 \end{bmatrix}$$

olarak tanımlandığında denetleyici ifadesinin bulunması için

$$G_{N,i}^{\sim} J_{\gamma_i} G_{N,i} = W_i^{\sim} \hat{J} W_i, \quad W_i : \text{çift kararlı}$$

J -spektral ayrıştırması probleminin çözülmesi gerekir. Ancak, yukarıdaki J -spektral ayrıştırma probleminde yer alan G transfer matrisi irrasyonel ifadeleri içerdiğinden söz konusu problemin çözümü oldukça güçtür. [28] makalesinde gösterildiği gibi,

$$T_i = \begin{bmatrix} 1 & 0 \\ F_{s,i} & 1 \end{bmatrix}, \quad F_{s,i} : \text{irrasyonel ve kararlı}$$

olarak tanımlanırsa

$$G_{N,i}^{\sim} J_{\gamma_i} G_{N,i} = W_i^{\sim} \hat{J} W_i, \quad W_i : \text{çift kararlı}$$

J -spektral ayrıştırma probleminde

$$W_i = W_{r,i} T_i, \quad W_{r,i} : \text{çift kararlı}$$

olarak seçilebilir. Bu durumda $W_{r,i}$

$$\Theta_i := T_i^{-1} \tilde{G}_{N,i} J_{\gamma_i} G_{N,i} T_i^{-1} = W_{r,i} \hat{J} W_{r,i}, \quad W_{r,i} : \text{çift kararlı} \quad (3.15)$$

probleminin çözümüdür. Burada T_i 'deki $F_{s,i}$ kararlı ve Θ_i , gerçek rasyonel transfer matrisi olacak şekilde seçilmelidir. [28] makalesinde böyle bir $F_{s,i}$ 'nin nasıl seçilebileceği gösterilmiştir. $G_{r,i}$, $G_{N,i}$ 'nin rasyonel kısmı olsun.

$$G_{r,i} \tilde{J}_{\gamma_i} G_{r,i} =: \begin{bmatrix} \Pi_{11,i} & \Pi_{12,i} \\ \Pi_{21,i} & \Pi_{22,i} \end{bmatrix}$$

olarak tanımlanırsa, basit matris işlemleri sonucunda

$$G_{N,i} \tilde{J}_{\gamma_i} G_{N,i} = \begin{bmatrix} \Pi_{11,i} & e^{h_i s} \Pi_{12,i} \\ e^{-h_i s} \Pi_{21,i} & \Pi_{22,i} \end{bmatrix}$$

ifadesi yazılabilir. [28] makalesinde gösterilmiştir ki, eğer

$$F_{s,i} + R = e^{-h_i s} \Pi_{22,i}^{-1} \Pi_{21,i}, \quad R : \text{rasyonel}$$

olarak seçilirse Θ_i

$$\Theta_i = T_i^{-1} \tilde{G}_{N,i} J_{\gamma_i} G_{N,i} T_i^{-1} = \begin{bmatrix} \Pi_{11,i} - \Pi_{12,i} \Pi_{22,i}^{-1} \Pi_{21,i} + R \tilde{\Pi}_{22,i} R & R \tilde{\Pi}_{22,i} \\ \Pi_{22,i} R & \tilde{\Pi}_{22,i} \end{bmatrix}$$

eşitliği ile verilen rasyonel transfer matrisiyle ifade edilebilir.

Θ_i 'nin gerçekleşmesi yardımı ile $W_{r,i}$ 'nin gerçekleşmesi bulunabilir. $G_{r,i}$

$$G_{r,i} \stackrel{s}{=} \left[\begin{array}{c|c} A_i & B_i \\ \hline C_i & D_i \end{array} \right]$$

gerçekleşmesine sahip olsun. Bu durumda

$$G_{r,i} \tilde{J}_{\gamma_i} G_{r,i} \stackrel{s}{=} \left[\begin{array}{c|c} A_i & 0 \\ \hline -C_i^* J_{\gamma_i} C_i & -A_i^* \end{array} \middle| \begin{array}{c} B_i \\ -C_i^* J_{\gamma_i} D_i \end{array} \right] = \left[\begin{array}{c|c} \hat{A}_i & \hat{B}_{1,i} \\ \hline \hat{C}_{1,i} & \hat{D}_{11,i} \end{array} \middle| \begin{array}{c} \hat{B}_{2,i} \\ \hat{D}_{12,i} \end{array} \right]$$

olarak yazılabilir. Transfer matrisi $\Pi_{22,i}^{-1} \Pi_{21,i}$ olan sistemin dinamik matrisi

$$A_{H,i} = \hat{A}_i - \hat{B}_{2,i} \hat{D}_{22,i}^{-1} \hat{C}_{2,i}$$

ifadesi ile verilir. Bu durumda $F_{s,i}$ 'nin gerçekleşmesi

$$F_{s,i} \stackrel{s}{=} \left[\begin{array}{c|c} A_{H,i} & (e^{-h_i s} I - e^{-h_i A_{H,i}}) (\hat{B}_{1,i} - \hat{B}_{2,i} \hat{D}_{22,i}^{-1} \hat{D}_{21,i}) \\ \hline \hat{D}_{22,i}^{-1} \hat{C}_{2,i} & (e^{-h_i s} - 1) \hat{D}_{22,i}^{-1} \hat{D}_{21,i} \end{array} \right], \quad (3.16)$$

olarak seçilebilir ([28] makalesindeki gibi). O halde Θ_i 'nin gerçekleşmesi

$$\Theta_i \stackrel{s}{=} \left[\begin{array}{c|c} \hat{A}_i & B_{\Theta,i} \\ \hline C_{\Theta,i} & D_{\Theta,i} \end{array} \right],$$

$$B_{\Theta,i} = \left[e^{-h_i A_{H,i}} \hat{B}_{1,i} + (I - e^{-h_i A_{H,i}}) \hat{B}_{2,i} \hat{D}_{22,i}^{-1} \hat{D}_{21,i} \quad \hat{B}_{2,i} \right],$$

$$C_{\Theta,i} = \left[\begin{array}{c} \hat{C}_{1,i} e^{h_i A_{H,i}} + \hat{D}_{12,i} \hat{D}_{22,i}^{-1} \hat{C}_{2,i} (I - e^{h_i A_{H,i}}) \\ \hat{C}_{2,i} \end{array} \right],$$

$$D_{\Theta,i} = D_i^* J_{\gamma_i} D_i = \left[\begin{array}{cc} \hat{D}_{11,i} & \hat{D}_{12,i} \\ \hat{D}_{21,i} & \hat{D}_{22,i} \end{array} \right]$$

şeklinde yazılır. Hamiltonian matrisi transfer matrisi Θ_i^{-1} olan sistemin dinamik matrisidir, yani

$$H_{\gamma,i} = \hat{A}_i - B_{\Theta,i} D_{\Theta,i}^{-1} C_{\Theta,i}.$$

Verilen örnek problem için

$$D_i = \left[\begin{array}{cc} 0 & 0 \\ \xi_2 & 0 \\ 0 & 1 \end{array} \right], \quad D_i^* J_{\gamma_i} D_i = \left[\begin{array}{cc} \xi_2^2 & 0 \\ 0 & -\gamma_i^2 \end{array} \right]$$

eşitliğinden

$$\left[\begin{array}{cc} \hat{D}_{11,i} & \hat{D}_{12,i} \\ \hat{D}_{21,i} & \hat{D}_{22,i} \end{array} \right]^{-1} = \left[\begin{array}{cc} \xi_2^2 & 0 \\ 0 & -\gamma_i^2 \end{array} \right]^{-1}$$

$$\left[\begin{array}{cc} \hat{D}_{11,i} & \hat{D}_{12,i} \\ \hat{D}_{21,i} & \hat{D}_{22,i} \end{array} \right]^{-1} = \left[\begin{array}{cc} \frac{1}{\xi_2^2} & 0 \\ 0 & \frac{1}{-\gamma_i^2} \end{array} \right] = \left[\begin{array}{cc} \hat{D}_{11,i}^{-1} & 0 \\ 0 & \hat{D}_{22,i}^{-1} \end{array} \right],$$

$$\hat{D}_{11,i} = \xi_2^2, \quad \hat{D}_{22,i} = -\gamma_i^2$$

olduğunda ve

$$\hat{D}_{12,i} = \hat{D}_{21,i}^T = 0$$

eşitliği gözönünde bulundurularak

$$\Theta_i \stackrel{s}{=} \left[\begin{array}{c|cc} \hat{A}_i & e^{-h_i A_{H,i}} \hat{B}_{1,i} & \hat{B}_{2,i} \\ \hline \hat{C}_{1,i} e^{h_i A_{H,i}} & \hat{D}_{11,i} & 0 \\ \hat{C}_{2,i} & 0 & \hat{D}_{22,i} \end{array} \right],$$

$$H_{\gamma,i} = \hat{A}_i - \left[e^{-h_i A_{H,i}} \hat{B}_{1,i} \quad \hat{B}_{2,i} \right] \left[\begin{array}{cc} \hat{D}_{11,i}^{-1} & 0 \\ 0 & \hat{D}_{22,i}^{-1} \end{array} \right] \left[\begin{array}{c} \hat{C}_{1,i} e^{h_i A_{H,i}} \\ \hat{C}_{2,i} \end{array} \right]$$

$$= \hat{A}_i - \left[e^{-h_i A_{H,i}} \hat{B}_{1,i} \hat{D}_{11,i}^{-1} \quad \hat{B}_{2,i} \hat{D}_{22,i}^{-1} \right] \left[\begin{array}{c} \hat{C}_{1,i} e^{h_i A_{H,i}} \\ \hat{C}_{2,i} \end{array} \right]$$

$$= \hat{A}_i - e^{-h_i A_{H,i}} \hat{B}_{1,i} \hat{D}_{11,i}^{-1} \hat{C}_{1,i} e^{h_i A_{H,i}} - \hat{B}_{2,i} \hat{D}_{22,i}^{-1} \hat{C}_{2,i} \quad (3.17)$$

olarak elde edilir.

$W_{r,i}$ 'nin hesabı:

$$\Theta_i = W_{r,i} \hat{J} W_{r,i}, \quad W_{r,i} : \text{çift kararlı}, \quad \hat{J} = \begin{bmatrix} 1 & 0 \\ 0 & -1 \end{bmatrix}$$

Bu durumda,

$$W_{r,i} \stackrel{s}{=} \left[\begin{array}{c|c} A_{w,i} & B_{w,i} \\ \hline C_{w,i} & D_{w,i} \end{array} \right],$$

eşitliği kullanılarak,

$$D_{w,i}^* \hat{J} D_{w,i} = D_{\Theta,i} = D_i^* J_{\gamma_i} D_i$$

ifadesini sağlayan $D_{w,i}$,

$$D_{w,i} = \begin{bmatrix} \xi_2 & 0 \\ 0 & \gamma_i \end{bmatrix}$$

olarak seçilebilir. (3.17) ile verilen $H_{\gamma,i}$ Hamiltonian matrisine denk gelen Riccati denklemin kararlılaştırılan X_i çözümü

$$X_i := \text{Ric}(H_{\gamma,i})$$

olsun. Bu durumda

$$\begin{aligned} B_{\Theta,i} &= \begin{bmatrix} B_{\Theta,1,i} \\ B_{\Theta,2,i} \end{bmatrix}, & B_{\Theta,2,i} &= -C_{\Theta,1,i}^*, \\ C_{\Theta,i} &= [C_{\Theta,1,i} \quad C_{\Theta,2,i}], & C_{\Theta,2,i} &= B_{\Theta,1,i}^* \end{aligned}$$

eşitlikleri geçerli olduğundan

$$\begin{aligned} D_{w,i}^* \hat{J} C_{w,i} &= C_{\Theta,1,i} + B_{\Theta,1,i}^* X_i = C_{\Theta,i} \begin{bmatrix} I \\ X_i \end{bmatrix} \Rightarrow \\ C_{w,i} &= \hat{J} D_{w,i}^{-*} C_{\Theta,i} \begin{bmatrix} I \\ X_i \end{bmatrix}, \\ B_{w,i} &= B_{\Theta,1,i} = [I \quad 0] B_{\Theta,i} \end{aligned}$$

olarak hesaplanabilir. O halde $W_{r,i}$ 'nin gerçekleşmesi

$$W_{r,i} \stackrel{s}{=} \left[\begin{array}{c|c} A_i & [I \quad 0] B_{\Theta,i} \\ \hline \hat{J} D_{w,i}^{-*} C_{\Theta,i} \begin{bmatrix} I \\ X_i \end{bmatrix} & D_{w,i} \end{array} \right]$$

şeklinde yazılır.

Denetleyici tasarımı:

Bu durumda \bar{Z}_i denetleyicisi bulunabilir.

$$\bar{Z}_i = RMM(W_i^{-1}, U_i), \quad \|U_i\|_{\infty} < 1$$

olarak ifade edilebilir. Burada

$$W_i^{-1} = \begin{bmatrix} \Xi_{11,i} & \Xi_{12,i} \\ \Xi_{21,i} & \Xi_{22,i} \end{bmatrix}$$

$$RMM(W_i^{-1}, U_i) = (\Xi_{11,i}U_i + \Xi_{12,i})(\Xi_{21,i}U_i + \Xi_{22,i})^{-1}$$

olarak tanımlanmıştır. Merkezi denetleyici için $U_i \equiv 0$ olarak seçilir. Bu durumda

$$\bar{Z}_i = \Xi_{11,i}\Xi_{22,i}^{-1}$$

olarak ifade edilir.

$$W_i = W_{r,i} \begin{bmatrix} 1 & 0 \\ F_{s,i} & 1 \end{bmatrix}$$

eşitliğinden

$$W_i^{-1} = \begin{bmatrix} 1 & 0 \\ -F_{s,i} & 1 \end{bmatrix} W_{r,i}^{-1}$$

eşitliği yazılabilir. O halde

$$W_{r,i}^{-1} = \begin{bmatrix} \Psi_{11,i} & \Psi_{12,i} \\ \Psi_{21,i} & \Psi_{22,i} \end{bmatrix}$$

olarak tanımlanırsa

$$W_i^{-1} = \begin{bmatrix} 1 & 0 \\ -F_{s,i} & 1 \end{bmatrix} \begin{bmatrix} \Psi_{11,i} & \Psi_{12,i} \\ \Psi_{21,i} & \Psi_{22,i} \end{bmatrix} = \begin{bmatrix} \Psi_{11,i} & \Psi_{12,i} \\ \Psi_{21,i} - F_{s,i}\Psi_{11,i} & \Psi_{22,i} - F_{s,i}\Psi_{12,i} \end{bmatrix}$$

şeklinde yazılabilir, dolayısıyla merkezi denetleyici

$$\bar{Z}_i = \Psi_{12,i}(\Psi_{22,i} - F_{s,i}\Psi_{12,i})^{-1} = \Psi_{12,i}\Psi_{22,i}^{-1}(1 - F_{s,i}\Psi_{12,i}\Psi_{22,i}^{-1})^{-1}$$

olarak yazılabilir. Burada dikkat edilirse

$$\hat{Z}_i = \Psi_{12,i}\Psi_{22,i}^{-1}$$

ile gösteren denetleyici gecikme olmadığı zamandaki denetleyicidir, yani $h_i = 0$ olduğundaki denetleyicidir, zira $F_{s,i} \equiv 0$ olacaktır. Bu durumda

$$\bar{Z}_i = \hat{Z}_i(1 - F_{s,i}\hat{Z}_i)^{-1}$$

olarak yazılabilir. O halde

$$Z_i = RMM(G_{D,i}, \bar{Z}_i) = \frac{s+\varepsilon}{s}\bar{Z}_i = \frac{s+\varepsilon}{s}\hat{Z}_i(1 - F_{s,i}\hat{Z}_i)^{-1}$$

$$= L\hat{Z}_i(1 - F_{s,i}\hat{Z}_i)^{-1}, \quad L = \frac{s+\varepsilon}{s}$$

şeklinde yazılabilir. Bu durumda

$$Q_i = Z_i \left(1 + \frac{1}{\alpha_i} P_i e^{-h_i s} Z_i\right)^{-1}$$

$$= L\hat{Z}_i(1 - F_{s,i}\hat{Z}_i)^{-1} \left(1 + \frac{1}{\alpha_i} P_i e^{-h_i s} L\hat{Z}_i(1 - F_{s,i}\hat{Z}_i)^{-1}\right)^{-1}$$

$$L\hat{Z}_i \left[\left(1 + \frac{1}{\alpha_i} P_i e^{-h_i s} L\hat{Z}_i(1 - F_{s,i}\hat{Z}_i)^{-1}\right) (1 - F_{s,i}\hat{Z}_i) \right]^{-1}$$

$$= L\hat{Z}_i \left[1 + \left(\frac{1}{\alpha_i} P_i e^{-h_i s} L - F_{s,i}\right) \hat{Z}_i \right]^{-1}$$

olarak yazılabilir. Böylece

$$\begin{aligned}
 Q &= \begin{bmatrix} Q_1 \\ \vdots \\ Q_n \end{bmatrix} = \begin{bmatrix} L\hat{Z}_1 \left[1 + \left(\frac{1}{\alpha_1} P_1 e^{-h_1 s} L - F_{s,1} \right) \hat{Z}_1 \right]^{-1} \\ \vdots \\ L\hat{Z}_n \left[1 + \left(\frac{1}{\alpha_n} P_n e^{-h_n s} L - F_{s,n} \right) \hat{Z}_n \right]^{-1} \end{bmatrix} \\
 &= L\hat{Z} \left(I_n + (\bar{L}\Lambda_\alpha e^{-\Delta s} - F_s) \hat{Z} \right)^{-1} \mathbf{1}_n^* \\
 &= \left(I_n + \hat{Z} (\bar{L}\Lambda_\alpha e^{-\Delta s} - F_s) \right)^{-1} \hat{Z} \mathbf{1}_n^* L
 \end{aligned}$$

olarak yazılabilir. Burada

$$\begin{aligned}
 \hat{Z} &= \begin{bmatrix} \hat{Z}_1 & & 0 \\ & \ddots & \\ 0 & & \hat{Z}_n \end{bmatrix}, \quad \Lambda_\alpha = \begin{bmatrix} \frac{1}{\alpha_1} & & 0 \\ & \ddots & \\ 0 & & \frac{1}{\alpha_n} \end{bmatrix}, \\
 \bar{L} &= LP_i = \frac{s + \varepsilon}{s^2}, \quad F_s = \begin{bmatrix} F_{s,1} & & 0 \\ & \ddots & \\ 0 & & F_{s,n} \end{bmatrix}
 \end{aligned}$$

şeklinde tanımlanmıştır. Bu eşitlikler gözönünde bulundurulursa,

$$\begin{aligned}
 K &= Q (1 - Pe^{-\Delta s} Q)^{-1} = (I_n - QPe^{-\Delta s})^{-1} Q \\
 &= \left(I_n - \left(I_n + \hat{Z} (\bar{L}\Lambda_\alpha e^{-\Delta s} - F_s) \right)^{-1} \hat{Z} \mathbf{1}_n^* LPe^{-\Delta s} \right)^{-1} \\
 &\quad \cdot \left(I_n + \hat{Z} (\bar{L}\Lambda_\alpha e^{-\Delta s} - F_s) \right)^{-1} \hat{Z} \mathbf{1}_n^* L \\
 &= \left(\left(I_n + \hat{Z} (\bar{L}\Lambda_\alpha e^{-\Delta s} - F_s) \right) \left[I_n - \left(I_n + \hat{Z} (\bar{L}\Lambda_\alpha e^{-\Delta s} - F_s) \right)^{-1} \right. \right. \\
 &\quad \left. \left. \cdot \hat{Z} \mathbf{1}_n^* LPe^{-\Delta s} \right] \right)^{-1} \hat{Z} \mathbf{1}_n^* L \\
 &= \left(I_n + \hat{Z} (\bar{L}\Lambda_\alpha e^{-\Delta s} - \mathbf{1}_n^* LPe^{-\Delta s} - F_s) \right)^{-1} \hat{Z} \mathbf{1}_n^* L \\
 &= \left(I_n + \hat{Z} (\bar{L}(\Lambda_\alpha - \mathbf{1}_n^* \mathbf{1}_n) e^{-\Delta s} - F_s) \right)^{-1} \hat{Z} \mathbf{1}_n^* L = (I_k + \hat{Z}\Phi)^{-1} \hat{Z}\tilde{L}
 \end{aligned}$$

olarak yazılabilir. Burada

$$\Phi = \bar{L}(\Lambda_\alpha - \mathbf{1}_n^* \mathbf{1}_n) e^{-\Delta s} - F_s, \quad \tilde{L} = \mathbf{1}_n^* L$$

olarak tanımlanmıştır.

$G_{r,i}$ 'nin gerçekleşmesi:

$$G_{r,i} = \begin{bmatrix} 0 & \bar{W}_i \\ \hat{\xi} & 0 \\ \bar{P}_i & V \end{bmatrix}$$

olarak verilir. Burada

$$\bar{W}_i = \frac{\alpha_i}{(s + \varepsilon)^2}, \quad \tilde{P}_i = \frac{1}{\alpha_i} \frac{1}{s + \varepsilon}, \quad V = \frac{s^2}{(s + \varepsilon)^2}, \quad \hat{\xi} = \frac{\xi_1 + s\xi_2}{s + \varepsilon}$$

olarak verilir. $G_{r,i}$,

$$G_{r,i} \stackrel{s}{=} \left[\begin{array}{c|c} A_i & B_i \\ \hline C_i & D_i \end{array} \right]$$

gerçeklenmesine sahip olsun. Bu durumda

$$A_i = \begin{bmatrix} -\varepsilon & 0 & 0 \\ 0 & 0 & 1 \\ 0 & -\varepsilon^2 & -2\varepsilon \end{bmatrix}, \quad B_i = \begin{bmatrix} 1 & 0 \\ 0 & 0 \\ 0 & 1 \end{bmatrix},$$

$$C_i = \begin{bmatrix} 0 & \alpha_i & 0 \\ \xi_1 & -\xi_2\varepsilon & 0 \\ \frac{1}{\alpha_i} & -\varepsilon^2 & -2\varepsilon \end{bmatrix}, \quad D_i = \begin{bmatrix} 0 & 0 \\ \xi_2 & 0 \\ 0 & 1 \end{bmatrix}$$

olarak ifade edilebilir.

\hat{Z}_i 'nin gerçeklenmesi:

$W_{r,i}^{-1}$ 'nin gerçeklenmesini $W_{r,i}$ 'nin gerçeklenmesinden faydalanarak yazalım:

$$W_{r,i} \stackrel{s}{=} \left[\begin{array}{c|c} A_{w,i} & B_{w,i} \\ \hline C_{w,i} & D_{w,i} \end{array} \right] = \left[\begin{array}{c|c} A_i & [I \ 0] B_{\Theta,i} \\ \hline \hat{J}D_{w,i}^{-*}C_{\Theta,i} & D_{w,i} \\ \hline & X \end{array} \right]$$

eşitliğinden

$$W_{r,i}^{-1} \stackrel{s}{=} \left[\begin{array}{c|c} A_{w,i} - B_{w,i}D_{w,i}^{-1}C_{w,i} & -B_{w,i}D_{w,i}^{-1} \\ \hline D_{w,i}^{-1}C_{w,i} & D_{w,i}^{-1} \end{array} \right]$$

$$= \left[\begin{array}{c|c} \bar{A}_{w,i} & \bar{B}_{w,i} \\ \hline \bar{C}_{w,i} & \bar{D}_{w,i} \end{array} \right] = \left[\begin{array}{c|cc} \bar{A}_{w,i} & \bar{B}_{w,i,1} & \bar{B}_{w,i,2} \\ \hline \bar{C}_{w,i,1} & D_{w,i,1} & 0 \\ \bar{C}_{w,i,2} & 0 & \bar{D}_{w,i,2} \end{array} \right] \stackrel{s}{=} \begin{bmatrix} \Psi_{11,i} & \Psi_{12,i} \\ \Psi_{21,i} & \Psi_{22,i} \end{bmatrix}$$

olarak yazılabilir. Dikkat edilirse $D_{w,i}$ matrisi 2×2 boyutlu matristir. Bu yüzden $\bar{C}_{w,i}$ matrisi 2×3 , $\bar{B}_{w,i}$ ise 3×2 boyutlu matrislerdir, dolayısıyla $\bar{C}_{w,i}$ 'yi satır satır, $\bar{B}_{w,i}$ ise sütun sütun bölünüp yukarıdaki gerçeklenmesi yazılabilir.

O halde

$$\begin{bmatrix} y_1 \\ y_2 \end{bmatrix} = \begin{bmatrix} \Psi_{11,i} & \Psi_{12,i} \\ \Psi_{21,i} & \Psi_{22,i} \end{bmatrix} \begin{bmatrix} u_1 \\ u_2 \end{bmatrix}$$

ise

$$y_2 = \Psi_{21,i}u_1 + \Psi_{22,i}u_2 \Rightarrow -u_2 = \Psi_{22,i}^{-1}\Psi_{21,i}u_1 - \Psi_{22,i}^{-1}y_2,$$

$$y_1 = \Psi_{11,i}u_1 + \Psi_{12,i}u_2 = \Psi_{11,i}u_1 - \Psi_{12,i}(\Psi_{22,i}^{-1}\Psi_{21,i}u_1 - \Psi_{22,i}^{-1}y_2)$$

$$= (\Psi_{11,i} - \Psi_{12,i}\Psi_{22,i}^{-1}\Psi_{21,i})u_1 + \Psi_{12,i}\Psi_{22,i}^{-1}y_2$$

eşitliklerinden

$$\begin{bmatrix} y_1 \\ -u_2 \end{bmatrix} = \begin{bmatrix} \Psi_{11,i} - \Psi_{12,i}\Psi_{22,i}^{-1}\Psi_{21,i} & \Psi_{12,i}\Psi_{22,i}^{-1} \\ \Psi_{22,i}^{-1}\Psi_{21,i} & -\Psi_{22,i}^{-1} \end{bmatrix} \begin{bmatrix} u_1 \\ y_2 \end{bmatrix}$$

sisteminden yararlanarak $\Psi_{12,i}\Psi_{22,i}^{-1}$ 'nin gerçekleşmesi bulunabilir.

$$\begin{aligned} \dot{x} &= \bar{A}_{w,i}x + \bar{B}_{w,i,1}u_1 + \bar{B}_{w,i,2}u_2, \\ y_1 &= \bar{C}_{w,i,1}x + \bar{D}_{w,i,1}u_1, \\ y_2 &= \bar{C}_{w,i,2}x + \bar{D}_{w,i,2}u_2 \Rightarrow -u_2 = \bar{D}_{w,i,2}^{-1}\bar{C}_{w,i,2}x - \bar{D}_{w,i,2}^{-1}y_2, \\ \dot{x} &= \bar{A}_{w,i}x + \bar{B}_{w,i,1}u_1 - \bar{B}_{w,i,2}(\bar{D}_{w,i,2}^{-1}\bar{C}_{w,i,2}x - \bar{D}_{w,i,2}^{-1}y_2) \\ &= (\bar{A}_{w,i} - \bar{B}_{w,i,2}\bar{D}_{w,i,2}^{-1}\bar{C}_{w,i,2})x + \bar{B}_{w,i,1}u_1 + \bar{B}_{w,i,2}\bar{D}_{w,i,2}^{-1}y_2 \end{aligned}$$

olduğundan

$$\begin{aligned} &\begin{bmatrix} \Psi_{11,i} - \Psi_{12,i}\Psi_{22,i}^{-1}\Psi_{21,i} & \Psi_{12,i}\Psi_{22,i}^{-1} \\ \Psi_{22,i}^{-1}\Psi_{21,i} & -\Psi_{22,i}^{-1} \end{bmatrix} \\ &\stackrel{s}{=} \left[\begin{array}{c|cc} \bar{A}_{w,i} - \bar{B}_{w,i,2}\bar{D}_{w,i,2}^{-1}\bar{C}_{w,i,2} & \bar{B}_{w,i,1} & \bar{B}_{w,i,2}\bar{D}_{w,i,2}^{-1} \\ \hline \bar{C}_{w,i,1} & \bar{D}_{w,i,1} & 0 \\ \bar{D}_{w,i,2}^{-1}\bar{C}_{w,i,2} & 0 & -\bar{D}_{w,i,2}^{-1} \end{array} \right] \end{aligned}$$

yazılabilir, dolayısıyla \hat{Z}_i 'nin gerçekleşmesi

$$\hat{Z}_i = \Psi_{12,i}\Psi_{22,i}^{-1} \stackrel{s}{=} \left[\begin{array}{c|c} \bar{A}_{w,i} - \bar{B}_{w,i,2}\bar{D}_{w,i,2}^{-1}\bar{C}_{w,i,2} & \bar{B}_{w,i,2}\bar{D}_{w,i,2}^{-1} \\ \hline \bar{C}_{w,i,1} & 0 \end{array} \right] = \left[\begin{array}{c|c} A_{z,i} & B_{z,i} \\ \hline C_{z,i} & 0 \end{array} \right]$$

olarak hesaplanır.

F_s ve \hat{Z} 'nin gerçekleşmesi:

$$F_s = \begin{bmatrix} F_{s,1} & & 0 \\ & \ddots & \\ 0 & & F_{s,n} \end{bmatrix}$$

olarak tanımlanmıştır. Eğer

$$\begin{aligned} F_{s,i} &\stackrel{s}{=} \left[\begin{array}{c|c} A_{H,i} & (e^{-h_i s}I - e^{-h_i A_{H,i}})(\hat{B}_{1,i} - \hat{B}_{2,i}\hat{D}_{22,i}^{-1}\hat{D}_{21,i}) \\ \hline \hat{D}_{22,i}^{-1}\hat{C}_{2,i} & (e^{-h_i s} - 1)\hat{D}_{22,i}^{-1}\hat{D}_{21,i} \end{array} \right] \\ &= \left[\begin{array}{c|c} A_{H,i} & (e^{-h_i s}I - e^{-h_i A_{H,i}})\hat{B}_{1,i} \\ \hline \hat{D}_{22,i}^{-1}\hat{C}_{2,i} & 0 \end{array} \right] = \left[\begin{array}{c|c} A_{F,i} & B_{F,i} \\ \hline C_{F,i} & 0 \end{array} \right] \\ &= \left[\begin{array}{c|c} A_{H,i} & e^{-h_i s}\hat{B}_{1,i} \\ \hline \hat{D}_{22,i}^{-1}\hat{C}_{2,i} & 0 \end{array} \right] - \left[\begin{array}{c|c} A_{H,i} & e^{-h_i A_{H,i}}\hat{B}_{1,i} \\ \hline \hat{D}_{22,i}^{-1}\hat{C}_{2,i} & 0 \end{array} \right] \\ &= \left[\begin{array}{c|c} A_{F,i} & B_{F,i,1} \\ \hline C_{F,i} & 0 \end{array} \right] - \left[\begin{array}{c|c} A_{F,i} & B_{F,i,2} \\ \hline C_{F,i} & 0 \end{array} \right] =: F_{s,i,1} - F_{s,i,2} \end{aligned}$$

gerçeklenmesine sahip ise F_s 'nin gerçekleşmesi

$$F_s \stackrel{s}{=} \left[\begin{array}{c|c} A_F & B_F \\ \hline C_F & D_F \end{array} \right]$$

olur. Burada

$$A_F = \begin{bmatrix} A_{F,1} & & 0 \\ & \ddots & \\ 0 & & A_{F,n} \end{bmatrix}, \quad B_F = \begin{bmatrix} B_{F,1} & & 0 \\ & \ddots & \\ 0 & & B_{F,n} \end{bmatrix} \text{ ve}$$

$$C_F = \begin{bmatrix} C_{F,1} & & 0 \\ & \ddots & \\ 0 & & C_{F,n} \end{bmatrix}, \quad D_F = \begin{bmatrix} 0 & & 0 \\ & \ddots & \\ 0 & & 0 \end{bmatrix}$$

olarak tanımlanmıştır. Diğer yandan

$$B_{F,i} = (e^{-h_i s} I - e^{-h_i A_{H,i}}) \hat{B}_{1,i} = e^{-h_i s} \hat{B}_{1,i} - e^{-h_i A_{H,i}} \hat{B}_{1,i} = B_{F,i,1} - B_{F,i,2}$$

olarak yazılabileceğinden $B_F = B_{F,1} - B_{F,2}$ yazılabilir. Burada

$$B_{F,1} = \begin{bmatrix} e^{-h_1 s} B_{F,1,1} & & 0 \\ & \ddots & \\ 0 & & e^{-h_n s} B_{F,n,1} \end{bmatrix}, \quad B_{F,2} = \begin{bmatrix} B_{F,1,2} & & 0 \\ & \ddots & \\ 0 & & B_{F,n,2} \end{bmatrix}$$

olarak tanımlanır. O halde

$$F_s = \left[\begin{array}{c|c} A_F & B_{F,1} \\ \hline C_F & 0 \end{array} \right] - \left[\begin{array}{c|c} A_F & B_{F,2} \\ \hline C_F & 0 \end{array} \right] = F_{s,1} - F_{s,2}$$

olarak yazılabilir. Transfer matrisi F_s olan sistem FIR (finite impulse response) filtresidir, dolayısıyla F_s 'nin FIR filtresi olarak gerçekleşmesi de gerekmektedir. Simulasyonlarda F_s ayrık zamanlı sistem olarak seçilmiştir. Örneklenme zamanı seçilmesinde $F_{s,i}$ 'nin birim darbe yanıtında yalnızca $[0, h_i]$ zaman aralığında olduğundan

$$T_s = \frac{\min \{h_1, h_2, \dots, h_n\}}{10}$$

olarak seçilebilir. Matlab'ta F_s sıfır mertebeli tutucu (zero order hold) teknikleri kullanılarak F_s 'nin ayrık zamanlı sistemine dönüştürülmüştür.

Benzer olarak \hat{Z} 'nin gerçekleşmesi de yapılabilir:

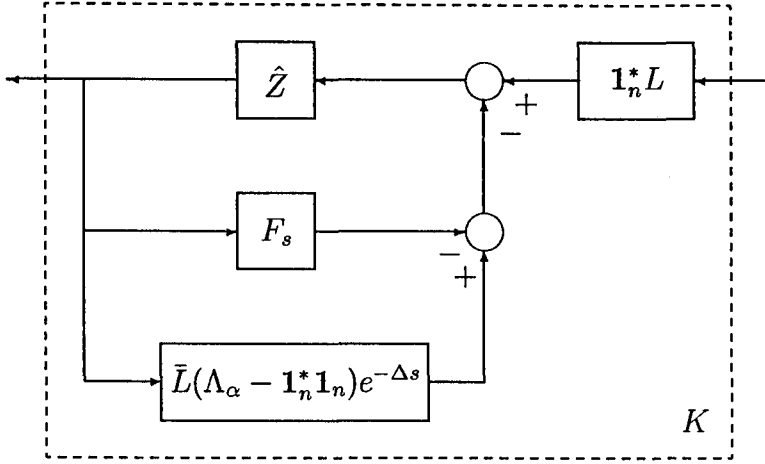
$$\hat{Z} = \left[\begin{array}{c|c} A_z & B_z \\ \hline C_z & D_z \end{array} \right]$$

öyle ki

$$A_z = \begin{bmatrix} A_{z,1} & & 0 \\ & \ddots & \\ 0 & & A_{z,n} \end{bmatrix}, \quad B_z = \begin{bmatrix} B_{z,1} & & 0 \\ & \ddots & \\ 0 & & B_{z,n} \end{bmatrix},$$

$$C_z = \begin{bmatrix} C_{z,1} & & 0 \\ & \ddots & \\ 0 & & C_{z,n} \end{bmatrix}, \quad D_z = \begin{bmatrix} 0 & & 0 \\ & \ddots & \\ 0 & & 0 \end{bmatrix}$$

olarak tanımlanmıştır.



Şekil 3.27: Denetleyicinin gerçekleştirilmesi

K 'nın gerçekleştirilmesi:

Yukarıda verilen bilgiler ışığında K denetleyicisinin kesin düzgün olduğu görülmektedir, yani $\lim_{s \rightarrow \infty} K(s) = 0$.

Daha önce K 'nın

$$K = \left(I_n + \hat{Z} (\bar{L} (\Lambda_\alpha - \mathbf{1}_n^* \mathbf{1}_n) e^{-\Delta s} - F_s) \right)^{-1} \hat{Z} \mathbf{1}_n^* L$$

olarak yazılabileceğini gösterilmiştir. Bu durumda K 'nın gerçekleştirilmesi Şekil 3.27'de gösterildiği gibi olacaktır. Dikkat edilirse K 'nın ifadesinde hem F_s hem de

$$\bar{L} (\Lambda_\alpha - \mathbf{1}_n^* \mathbf{1}_n) e^{-\Delta s}$$

ifadesinde gecikmeler vardır. F_s sonlu darbe yanıtı filtresi olduğundan, gerçekleştirilmesinde ayrık zamanlı sistem olarak yapılmasından fayda vardır.

3.3 Simulasyon Örnekleri

Yukarıda elde edilen denetleyici için bütün kaynaklar her zaman veri göndermeye hazır iken simulasyonu için MATLAB'ta makroları yazılmıştır. Burada hem [5] hem de [6] çalışmalarında örnek olarak alınan durumlar ele alınacaktır ve sonuçları tartışılacaktır. Bu durumlar Çizelge 3.1'de verilmiştir. Durum 1-3 için gecikmenin zamana göre değişimini şu şekilde kabul edilmiştir:

$$\begin{aligned} h_i^b &= \frac{9}{10} h_i, & h_i^f &= \frac{1}{10} h_i, \\ \delta_i^b &= \frac{1}{10} + \frac{1}{2} \sin\left(\frac{2\pi}{50} t\right), & \delta_i^f &= \frac{1}{10} \sin\left(\frac{\pi}{50} t\right), & i &= 1, 2. \end{aligned}$$

Çizelge 3.1: Durum 1 – 3 için simülasyon parametreleri

	h_1	h_2	δ_1^+	δ_2^+	α_1	α_2	η_1	η_2
Durum 1 :	1	3	1	1	1/2	1/2	0.116	0.116
Durum 2 :	2	2	4	1	1/3	2/3	0.116	0.116
Durum 3 :	2	2	1	1	1/2	1/2	0.116	2.906

Burada h_i Çizelge 3.1'deki değerleri almaktadır. Aşağıda verilen bütün Bode çizimlerinde frekans rad/s cinsindedir. c aksi belirtmediği takdirde 60 paket/s ve $q_d = 30$ paket olarak alınmıştır.

Durum 1. Şekil 3.28'de denetleyicinin Bode çizimi verilmiştir. Örnek alınan sistem iki kanallı olduğundan her kanala ait denetleyicinin Bode çizimi verilmiştir. Bu durumda her iki kanal için gecikme dışında, bütün parametreler aynıdır. [5] makalesinde yer alan denetleyici yapısı $\omega \in (10^{-3}$ ile $10^2)$ değerler için birbirine denktir.

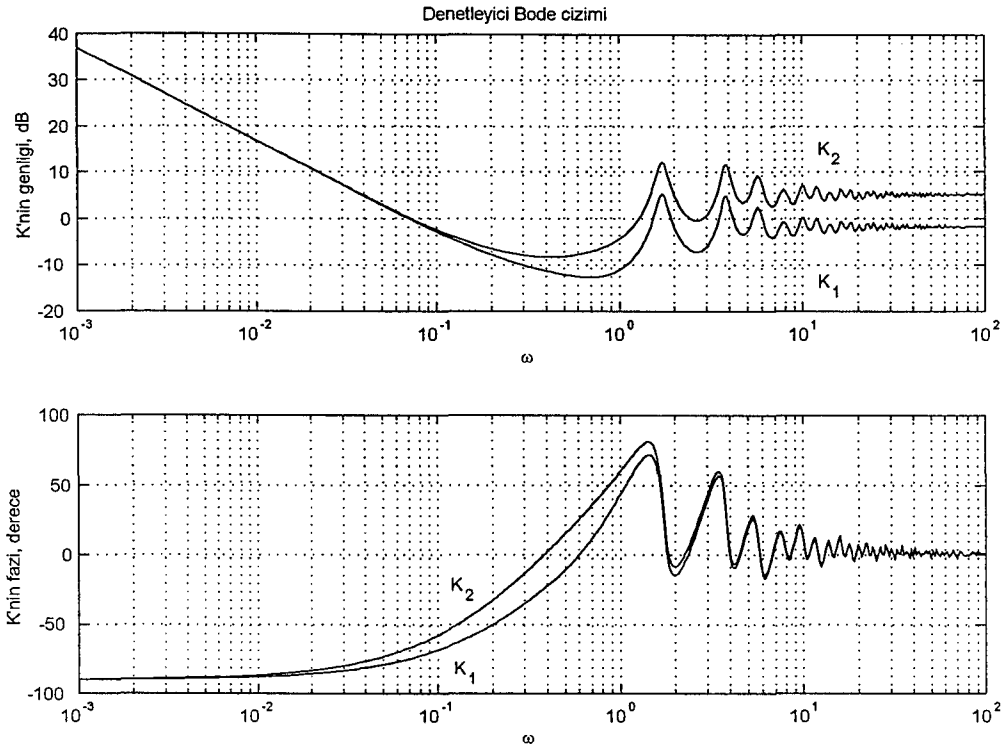
$$\gamma_1 = 2.29, \quad \gamma_2 = 5.50$$

olarak hesaplanmıştır. Gecikmesi daha yüksek olan kanala ait denetleyicinin genliği orta ve yüksek frekanslarda daha yüksektir. Bunun nedenlerinden biri, gürbüzlük ağırlıkları aynı seçildiğinden dolayı gecikmesi daha yüksek olan kanala ait denetleyicinin genliğinin daha yüksek olmasıdır. Bu durum aynı zamanda γ hesabında da yansıtılmıştır. Daha büyük gecikme olan kanalın γ değeri de daha büyüktür. Simulink'te gecikme sabit iken ($\delta_i = 0, i = 1, 2$) simülasyon sonuçları kuyruk uzunluğunun ve iletim oranının zamana göre değişimi Şekil 3.29'da verilmiştir. Gecikme zamanla değişken iken kuyruk uzunluğunun ve iletim oranının zamana göre değişimi Şekil 3.30'da verilmiştir. Kapalı çevrim sistemin tepkisinde gecikme sabit iken üst taşması, gecikme sabit olmadığı duruma göre daha azdır.

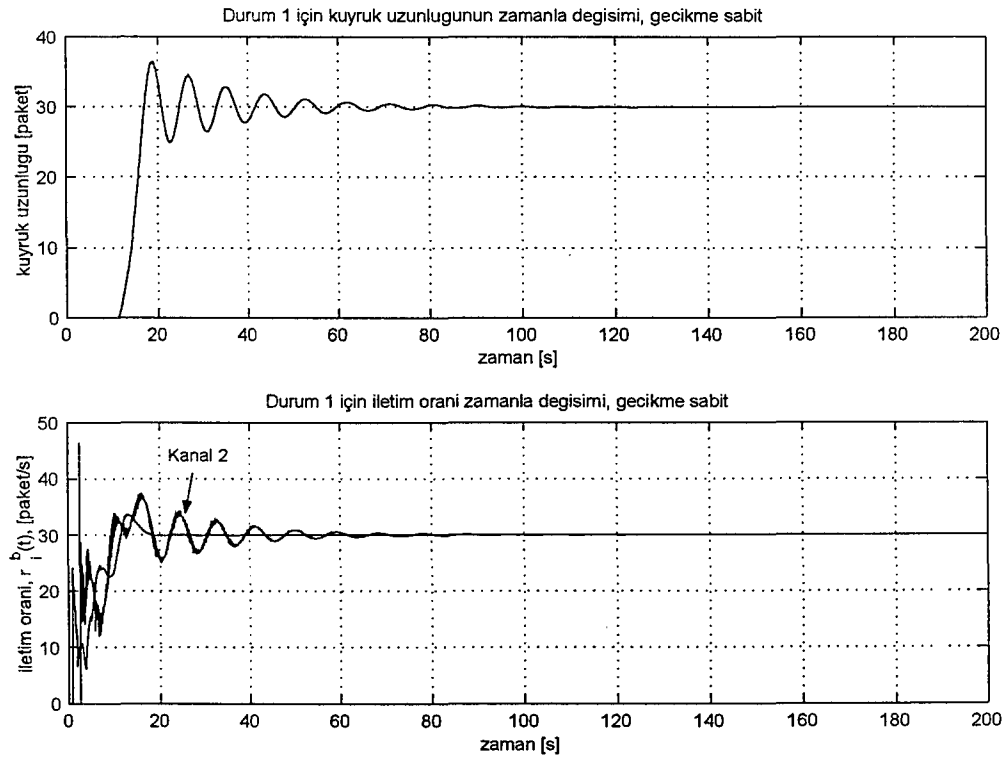
Durum 2. Denetleyicinin Bode çizimi Şekil 3.31'de verilmiştir. Sistemde gecikme sabit iken, ($\delta_i = 0, i = 1, 2$), kuyruk uzunluğunun ve iletim oranının zamana göre değişimi Şekil 3.32'de verilmiştir. Diğer yandan gecikme sabit olmadığında kuyruk uzunluğunun ve iletim oranının değişimi Şekil 3.33'te verilmiştir. [5] makalesindeki sonuçlarla karşılaştırıldığında 1. kanala ait (K_1 ile simgelenen) denetleyicinin daha yüksek genliğine sahip olmasıdır.

$$\gamma_1 = 2.80, \quad \gamma_2 = 5.60$$

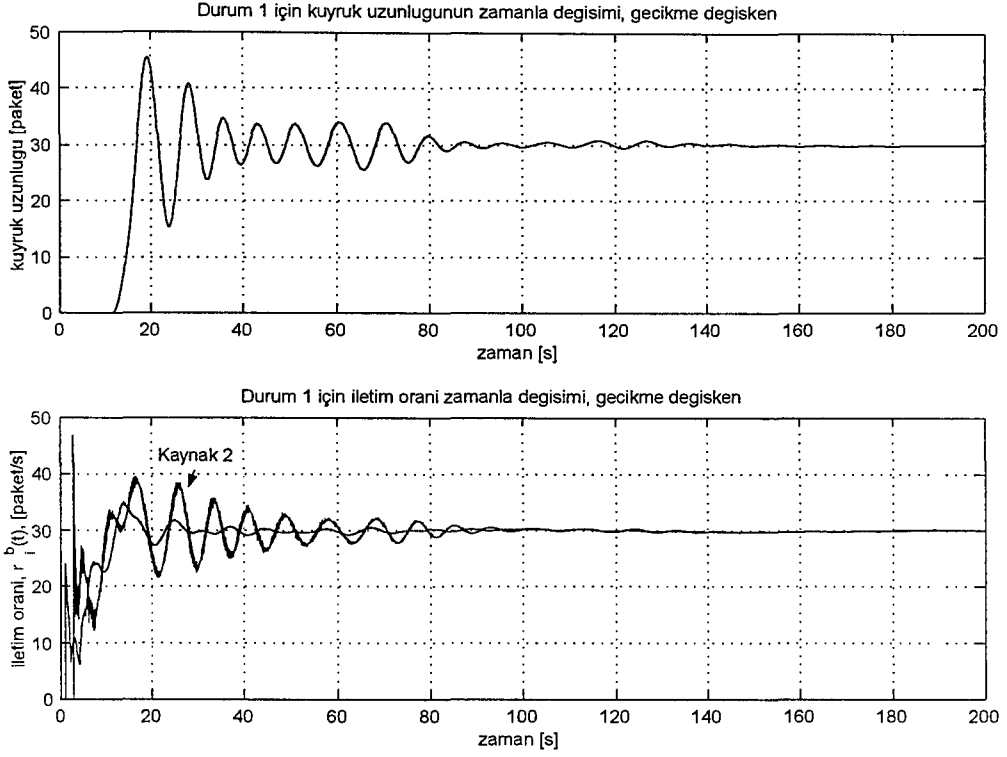
olarak hesaplanmıştır. Bu durumda kanallara ait ağırlıklar fonksiyonları (düşük frekanslarda) ve paylamalar farklı olduğu durumdur. Her iki kanalın gecikmesi eşittir. Paylamada daha yüksek olan 2. kanalın genliği birinci kanala nazaran daha yüksektir. Bu durum [5] makalesinde de kendini göstermiştir. Dikkat edilirse üst taşma



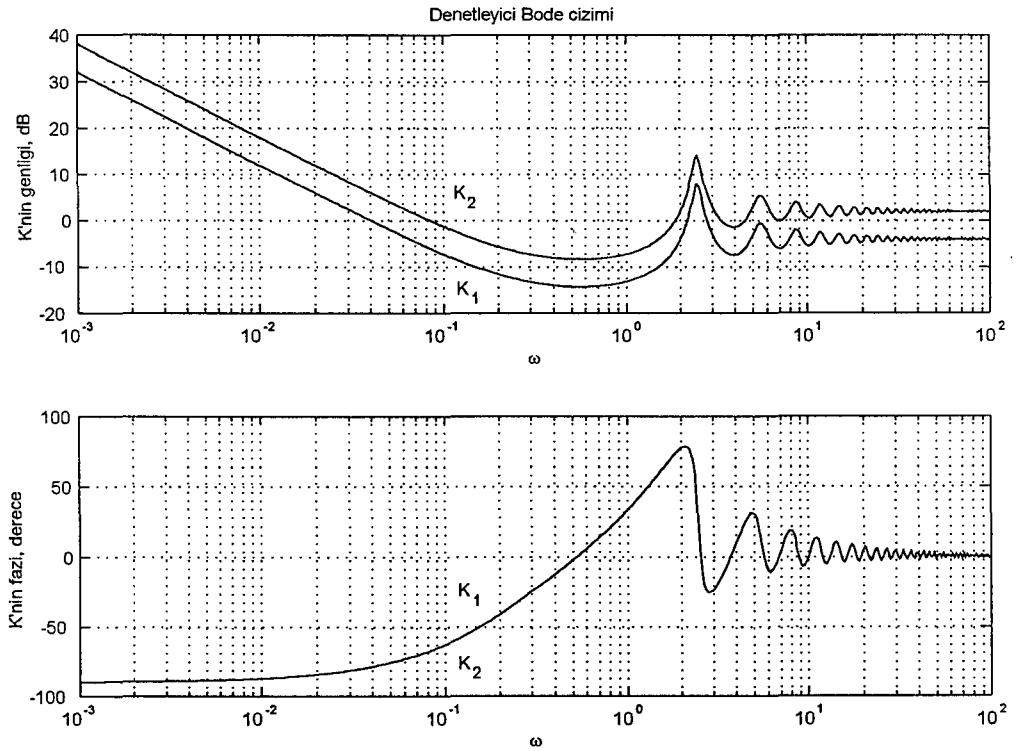
Şekil 3.28: Durum 1 için denetleyicinin Bode çizimi



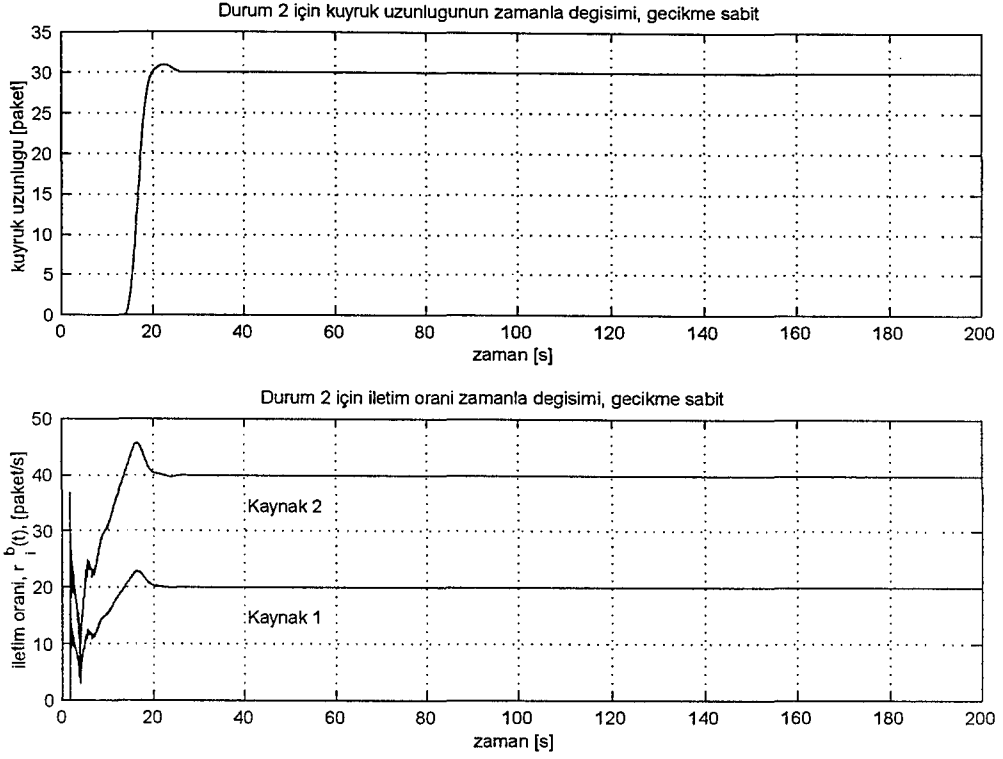
Şekil 3.29: Durum 1 için gecikme sabit iken kuyruk uzunluğunun ve iletim oranının zamana göre değişimi



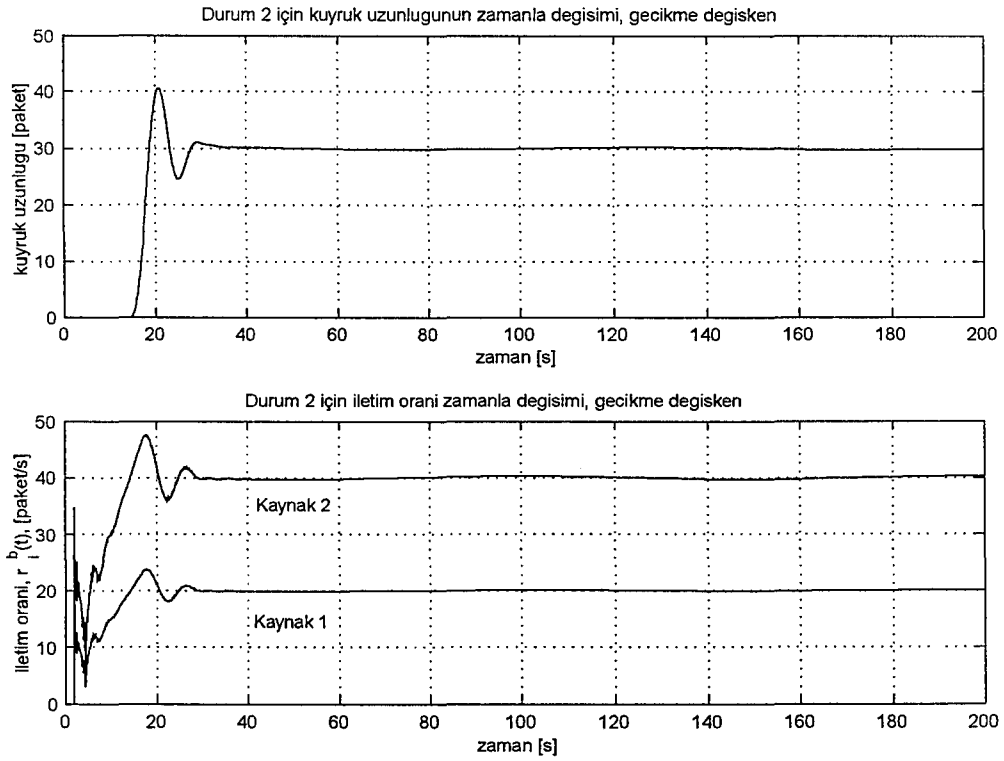
Şekil 3.30: Durum 1 için gecikme sabit olmadığında kuyruk uzunluğunun ve iletim oranının zamana göre değişimi



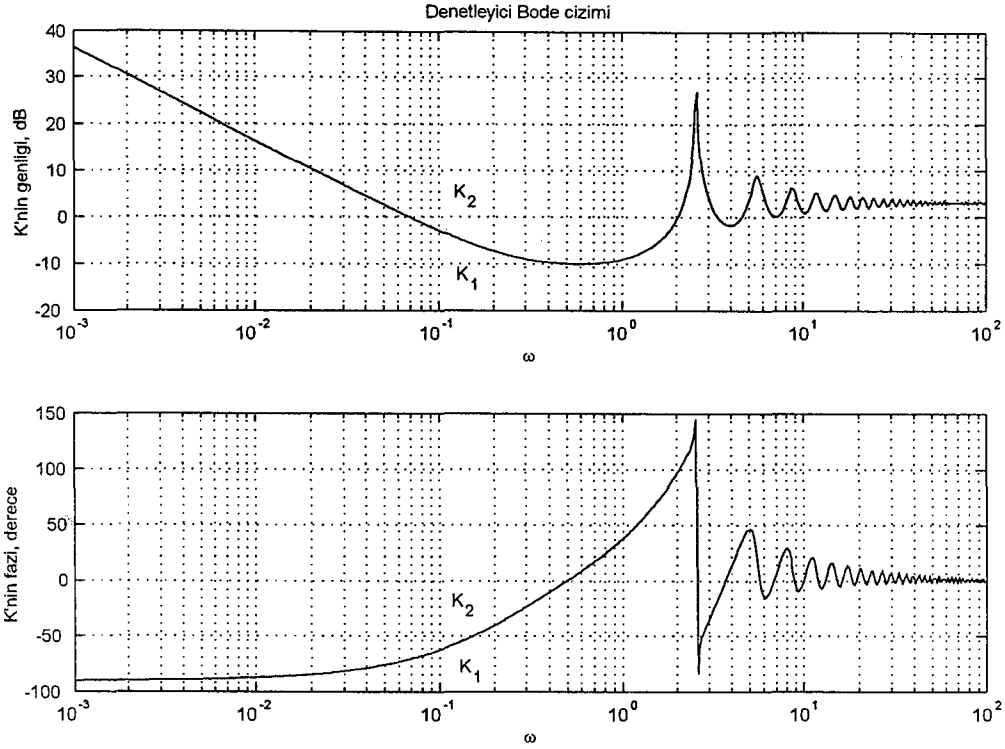
Şekil 3.31: Durum 2 için denetleyicinin Bode çizimi



Şekil 3.32: Durum 2 için gecikme sabit iken kuyruk uzunluğunun ve iletim oranının zamana göre değişimi



Şekil 3.33: Durum 2 için gecikme sabit olmadığında kuyruk uzunluğunun ve iletim oranının zamana göre değişimi



Şekil 3.34: Durum 3 için denetleyicinin Bode çizimi

sistemde gecikme zamanla değişken iken daha azdır. Dahası mevcut band genişliği kanallar arasında verilen oranla paylaşılmıştır.

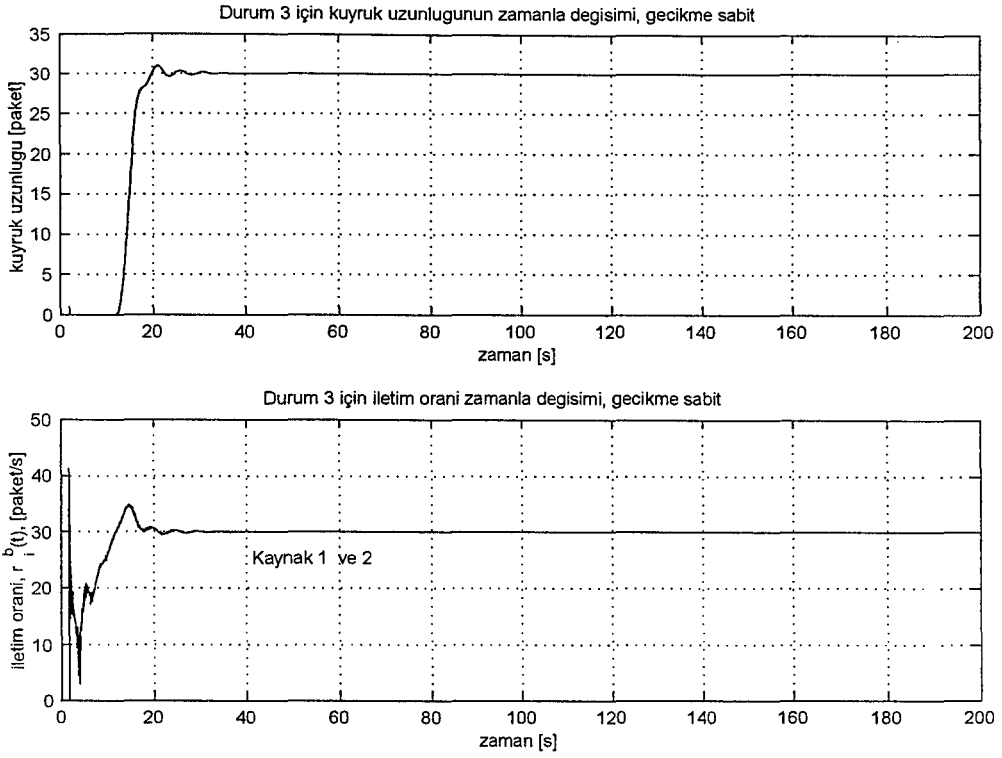
Durum 3. Denetleyicinin Bode çizimi Şekil 3.34'te verilmiştir. Gecikme sabit iken ($\delta_i = 0$, $i = 1, 2$) ve sabit olmadığında kuyruk uzunluğunun ve iletim oranının zamanla değişimi Şekil 3.35 ve 3.36'da sırasıyla verilmiştir. [5] makalesinde her kanalın eşit genliklere sahip olduğu gibi burada bu durum sözkonusudur.

$$\gamma_1 = 3.98, \quad \gamma_2 = 3.98$$

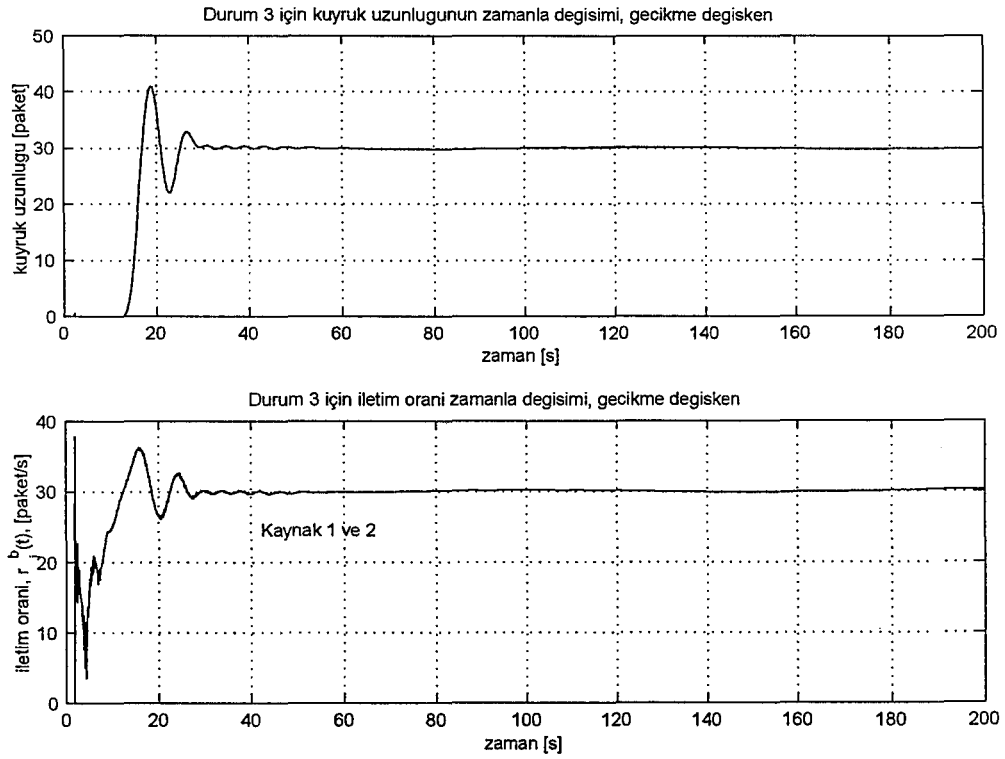
olarak hesaplanmıştır. Her kanala ait ağırlık fonksiyonunun skaler bir fonksiyona indirilmesinden dolayı her iki kaynağa ait denetleyiciler aynıdır, γ değerler de aynıdır.

Simulink'te diferansiyel denklemlerin çözümlenmesi için "ode23tb" yöntemi kullanılmıştır. Denetleyici hesaplanmak için kullanılan makro Ek-1'de verilmiştir. Bütün durumlar için $\varepsilon = 1$ olarak seçilmiştir. $P_r = \mathbf{1}_n$ olarak alınmıştır, zira ağ modelinde alınan integral sınırlı integral söz konusudur, iletim oranının ve kuyruk uzunluğunun negatif olmayışı kabul edilmiştir.

[6] makalesinde farklı yöntem uygulanarak denetleyici tasarlanmıştır. [6] makalesinde W_2 ağırlık matrisindeki ağırlık fonksiyonu bütün kanallar için aynı seçilmiştir. Bu çalışma [6] makalesindeki yaklaşıma alternatif bir yaklaşım sunmaktadır. Burada tasarlanan denetleyici ile



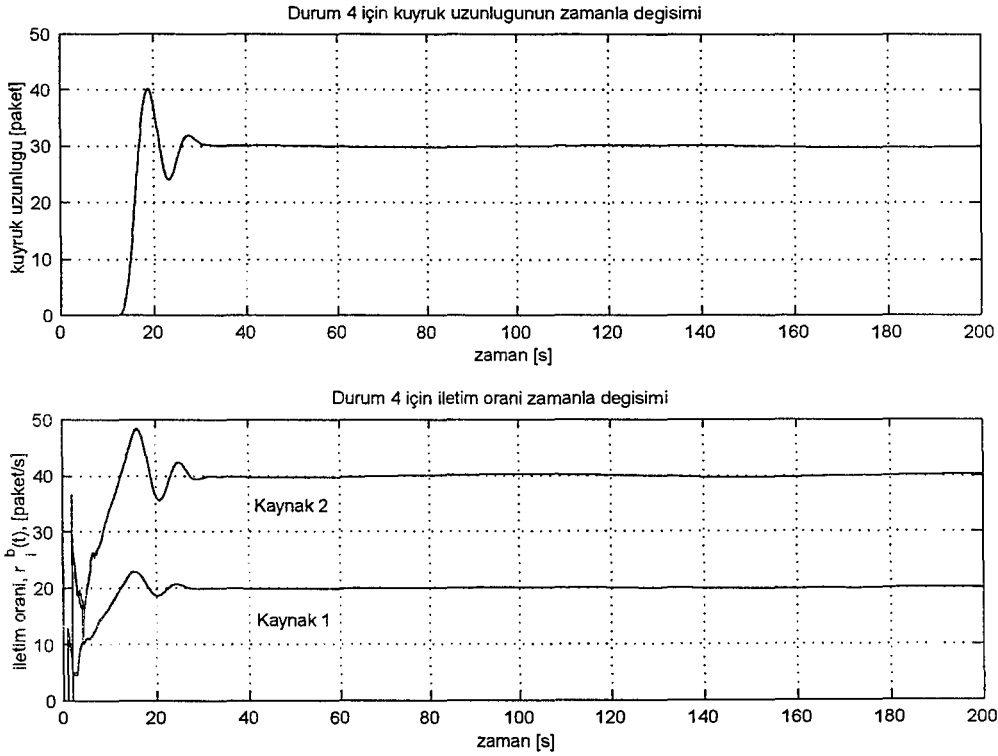
Şekil 3.35: Durum 3 için gecikme sabit iken kuyruk uzunluğunun ve iletim oranının zamana göre değişimi



Şekil 3.36: Durum 3 için gecikme sabit olmadığında kuyruk uzunluğunun ve iletim oranının zamana göre değişimi

Çizelge 3.2: Durum 4 için simulasyon parametreleri

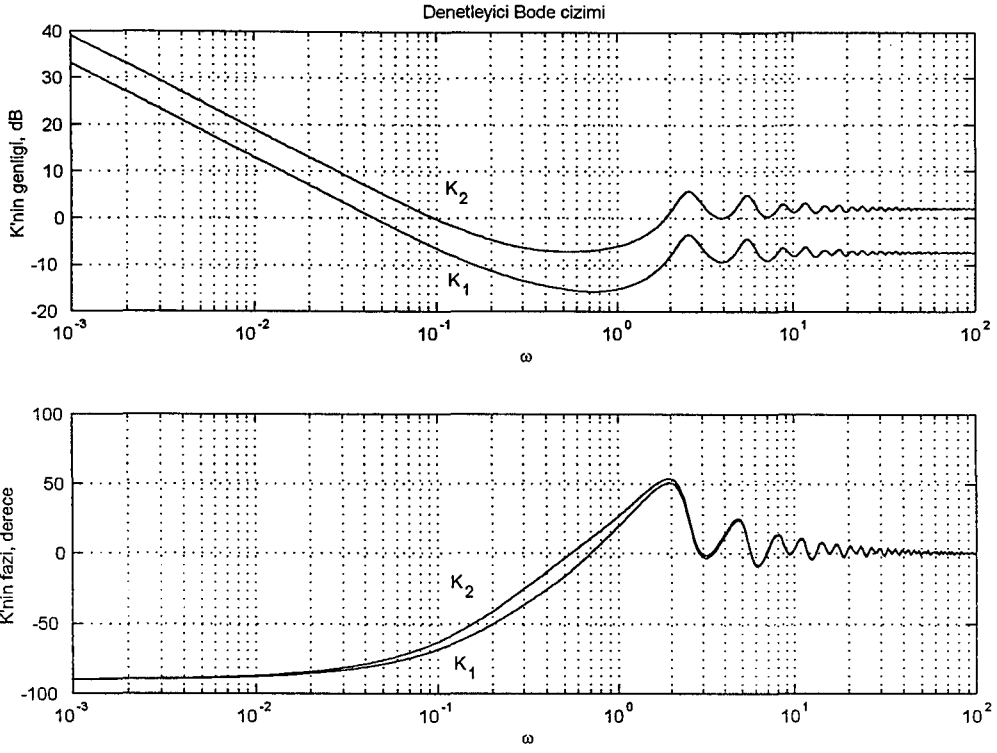
i	h_i^b	δ_i^b	h_i^f	δ_i^f	α_i	δ_i^+	β_i	β_i^f	γ_i
1	0.9	$0.1 + 0.5 \sin\left(\frac{2\pi}{50}t\right)$	0.1	$0.1 \sin\left(\frac{\pi}{50}t\right)$	$\frac{1}{3}$	2	0.1	0.01	1.91
2	1.9	$0.1 + 0.5 \sin\left(\frac{2\pi}{50}t\right)$	0.1	$0.1 \sin\left(\frac{\pi}{50}t\right)$	$\frac{2}{3}$	3	0.1	0.01	5.58



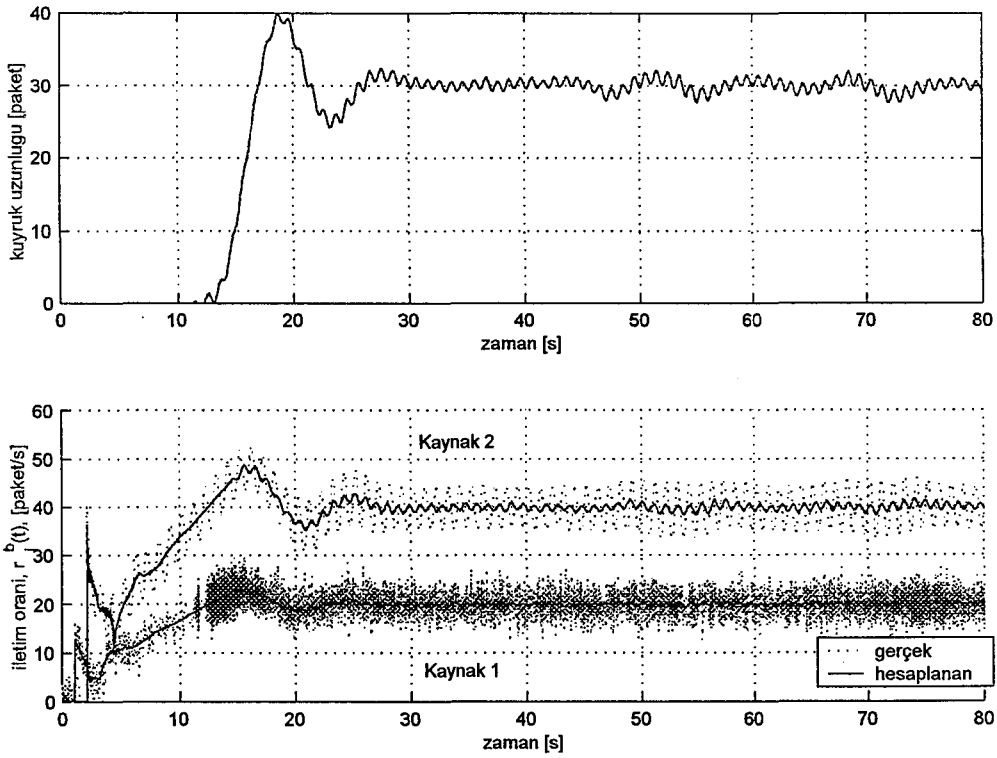
Şekil 3.37: Durum 4 için kuyruk uzunluğunun ve iletim oranının zamana göre değişimi

[6] makalesinde verilmiş yöntemle tasarlanan denetleyici karşılaştırılması amacıyla [6]'da verilmiş durumlar için simulasyon sonuçları aşağıda verilmiştir.

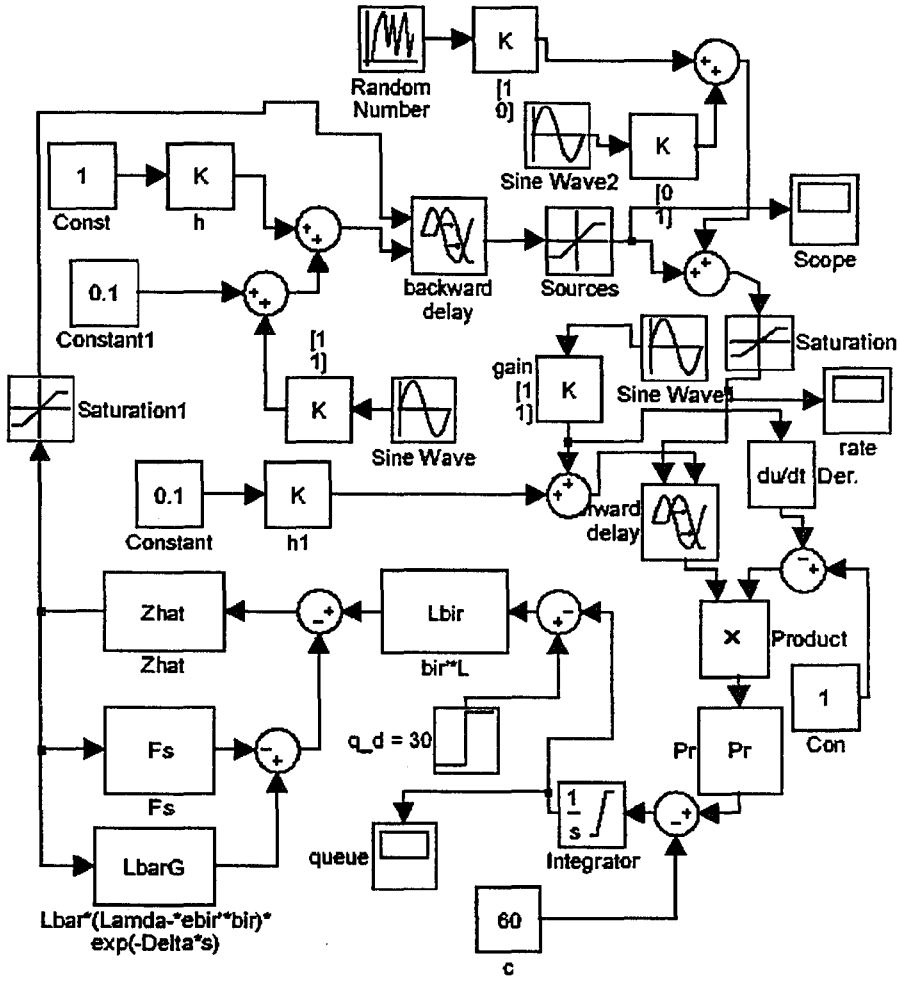
- Durum 4. Çizelge 3.2'de denetleyici parametreleri verilmiştir. Kuyruk uzunluğunun ve iletim oranının zamana göre değişimini Şekil 3.37'de verilmiştir. Denetleyicinin Bode çizimi Şekil 3.38'de verilmiştir.
- Durum 5. Denetleyici parametreleri Durum 4'te olduğu gibidir. Yalnızca kaynak 1'e rastgele ortalaması 0 ve varyansı 5 olan Gaussian sinyali, kaynak 2'ye genliği 5 ve sıklığı 1Hz olan sinüsoidal işaret ilave edilmiştir. Kuyruk uzunluğunun ve iletim oranının zamana göre değişimi Şekil 3.39'da verilmiştir. Bu sistemi simule etmek için Şekil 3.40'ta verilen sistem Simulink'te kurulmuştur.
- Durum 6. Gecikmeler Durum 4'te olduğu gibidir. Değiştirilmiş denetleyici parametreler Çizelge 3.3'de verilmiştir. Kuyruk uzunluğunun ve iletim oranının zamana göre değişimi Şekil 3.41'de verilmiştir.



Şekil 3.38: Durum 4 için denetleyicinin Bode çizimi



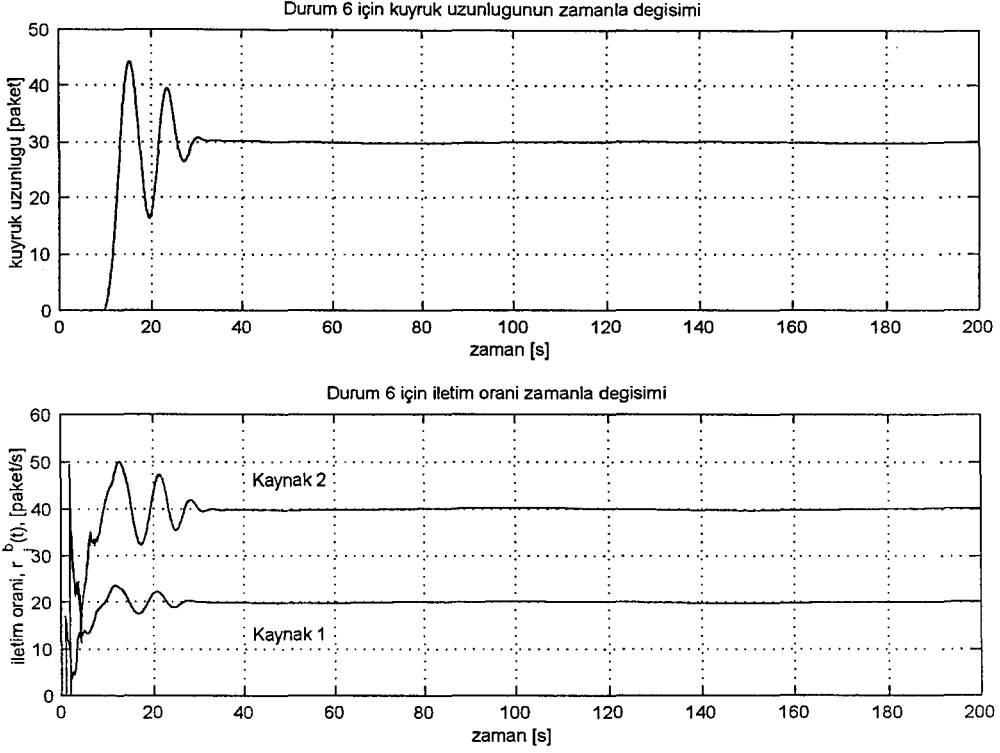
Şekil 3.39: Durum 5 için kuyruk uzunluğunun ve iletim oranının zamana göre değişimi



Şekil 3.40: Durum 5 için Simulink'te kurulan model

Çizelge 3.3: Durum 6 için simülasyon parametreleri

i	δ_i^+	β_i	β_i^f	γ_i
1	2	0.05	0.005	1.40
2	3	0.05	0.005	4.35



Şekil 3.41: Durum 6 için kuyruk uzunluğunun ve iletim oranının zamana göre değişimi

Çizelge 3.4: Durum 7 için simülasyon parametreleri

i	δ_i^+	β_i	β_i^f	γ_i
1	8	0.7	0.2	2.85
2	10	0.7	0.2	7.77

Durum 7. Gecikmeler Durum 4'teki gibidir. Değiştirilmiş denetleyici parametreleri Çizelge 3.4'te verilmiştir. Kuyruk uzunluğunun ve iletim oranının zamana göre değişimi Şekil 3.42'de verilmiştir.

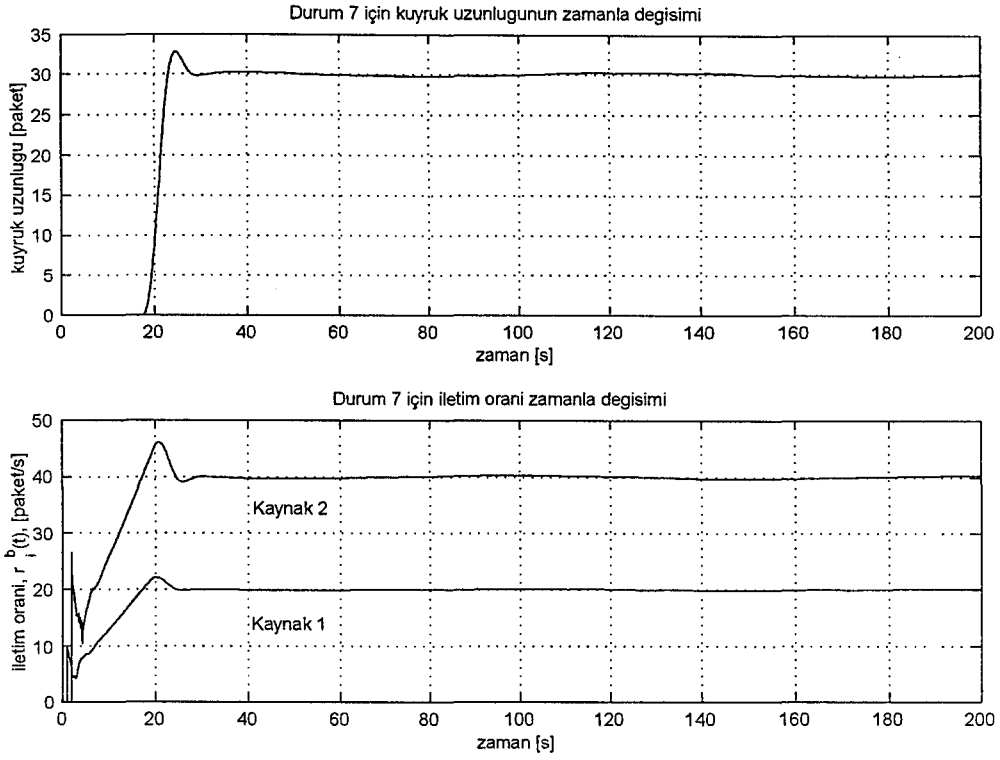
Durum 8. Durum 4'teki parametreler aynen seçilmiştir, yalnızca ileri yöndeki zaman gecikmesi

$$\tau_i^f(t) = 0.5 + 0.5 \sin\left(\frac{\pi}{50}t\right), \quad i = 1, 2$$

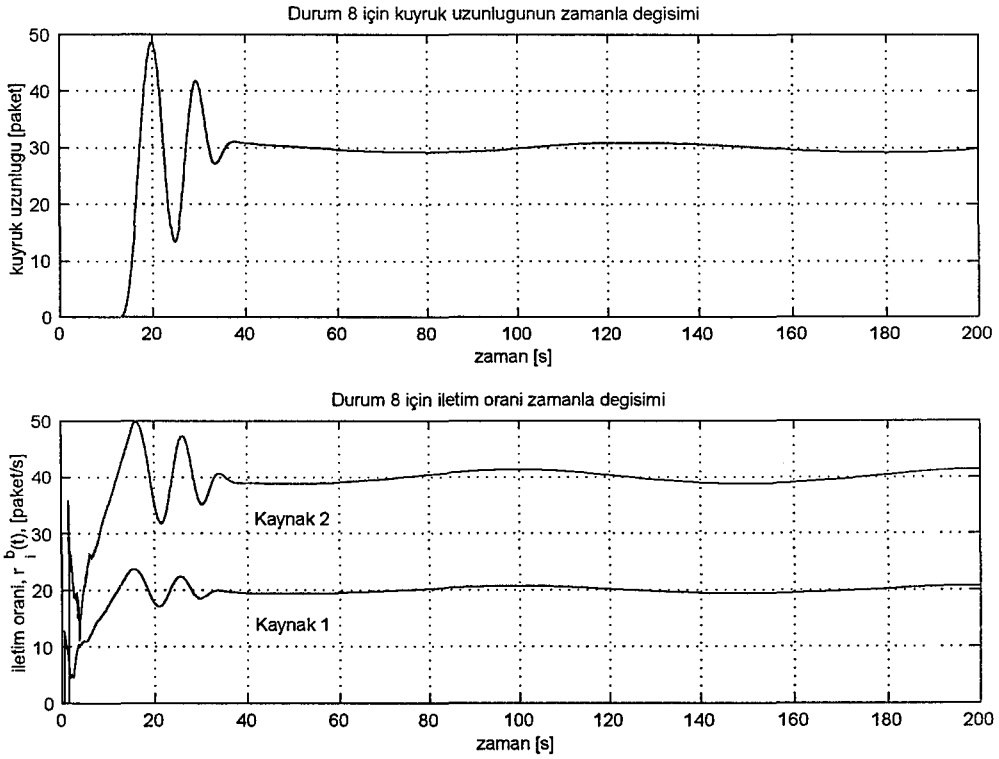
olarak seçilmiştir. Kuyruk uzunluğunun ve iletim oranının zamana göre değişimi Şekil 3.43'te verilmiştir.

Durum 9. Durum 4'teki parametreler aynen seçilmiştir, yalnızca $c(t)$ 60 ile 40 paket/s arasında Şekil 3.44'te gösterildiği gibi değişmektedir. Kuyruk uzunluğunun ve iletim oranının zamana göre değişimi Şekil 3.45'te verilmiştir.

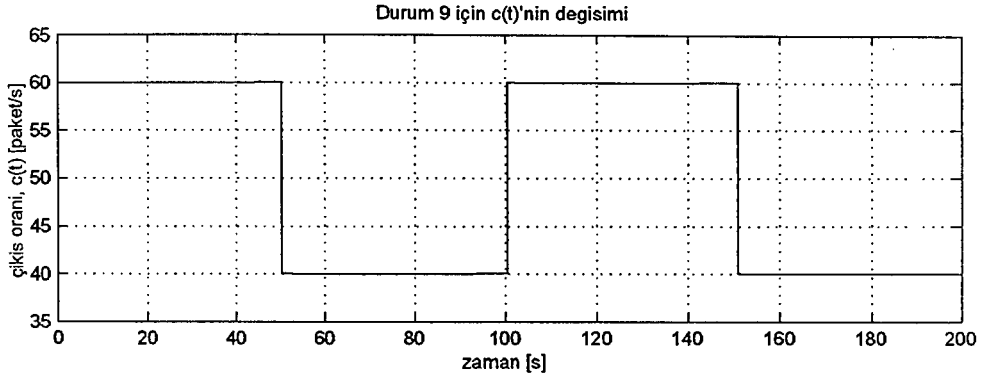
Durum 10. 5 kaynaklı sistem ele alınmıştır. Parametreler Çizelge 3.5'te verilmiştir. Kuyruk uzunluğunun ve iletim oranının zamana göre



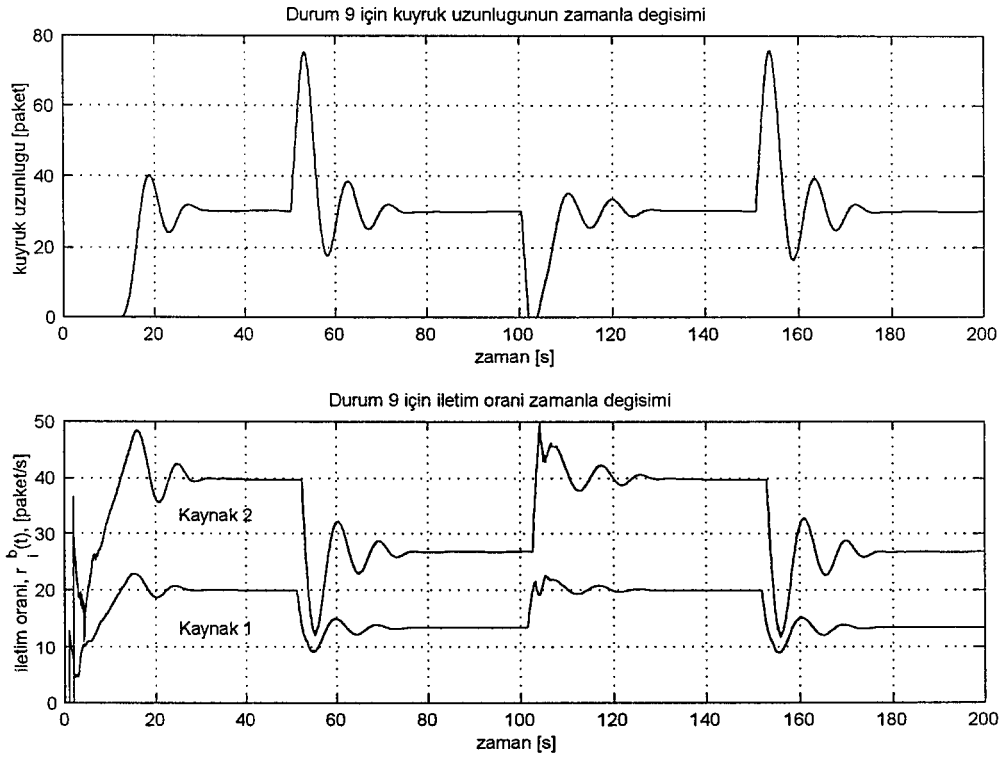
Şekil 3.42: Durum 7 için kuyruk uzunluğunun ve iletim oranının zamana göre deđişimi



Şekil 3.43: Durum 8 için kuyruk uzunluğunun ve iletim oranının zamana göre deđişimi



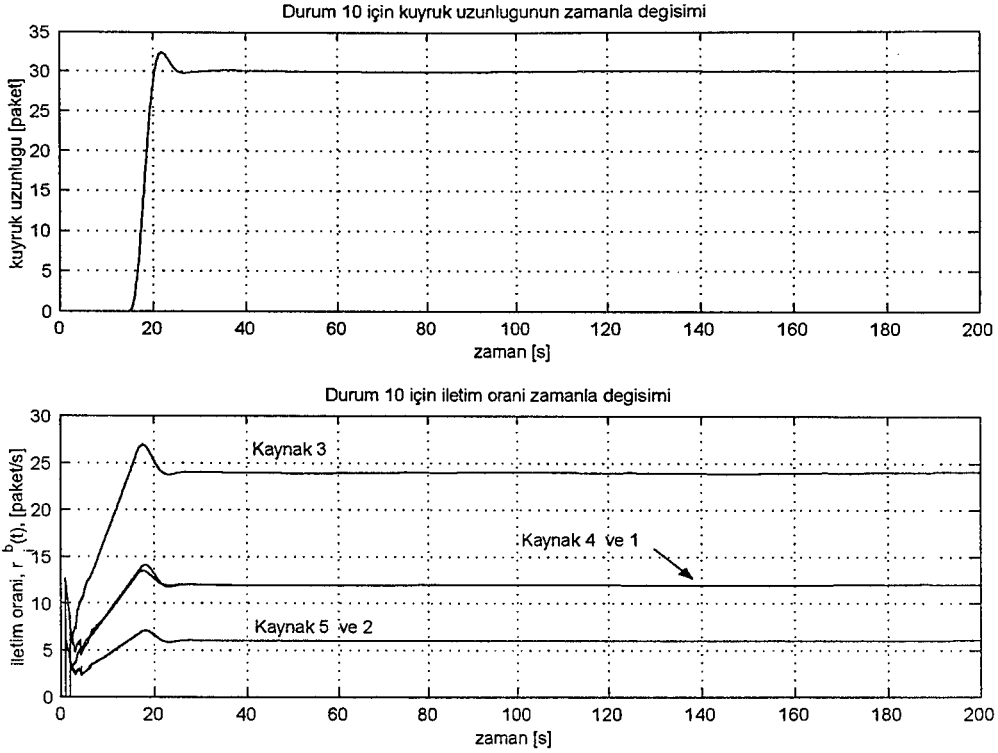
Şekil 3.44: Durum 9 için $c(t)$ 'nin zamana göre deęiřimi



Şekil 3.45: Durum 9 için kuyruk uzunluęunun ve iletim oranının zamana göre deęiřimi

Çizelge 3.5: Durum 10 için simulasyon parametreleri

i	h_i^b	δ_i^b	h_i^f	δ_i^f	α_i	δ_i^+	β_i	β_i^f	γ_i
1	1	$0.5 \sin\left(\frac{2\pi}{50}t\right)$	0.1	$0.1 \sin\left(\frac{\pi}{50}t\right)$	0.2	2	0.1	0.01	2.06
2	2	$0.2 \sin\left(\frac{2\pi}{50}t\right)$	0.15	$0.1 \sin\left(\frac{\pi}{50}t\right)$	0.1	3	0.2	0.02	1.69
3	1	$0.5 \sin\left(\frac{2\pi}{50}t\right)$	0.1	$0.05 \sin\left(\frac{\pi}{100}t\right)$	0.4	2	0.1	0.01	4.13
4	2	$0.3 \sin\left(\frac{2\pi}{50}t\right)$	0.12	$0.05 \sin\left(\frac{\pi}{100}t\right)$	0.2	3	0.2	0.02	3.62
5	2	$0.4 \sin\left(\frac{2\pi}{50}t\right)$	0.2	$0.05 \sin\left(\frac{\pi}{50}t\right)$	0.1	3	0.2	0.02	1.72



Şekil 3.46: Durum 10 için kuyruk uzunluğunun ve iletim oranının zamana göre değişimi

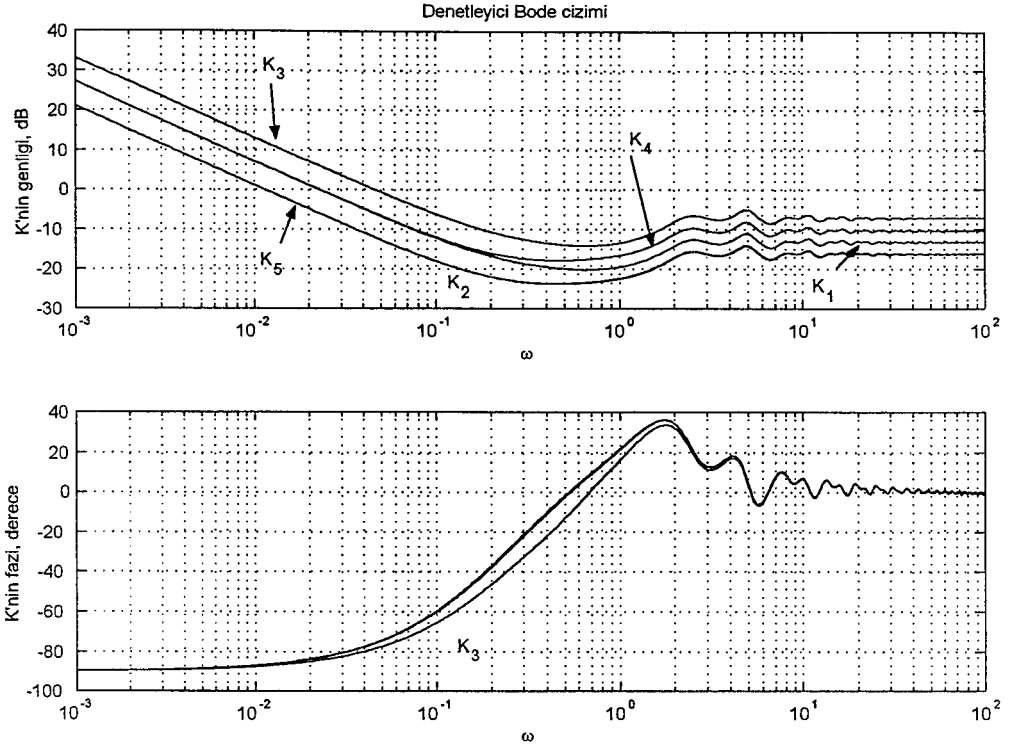
Çizelge 3.6: Durum 11 için simulasyon parametreleri

i	1	2	3	4	5
d_i [paket/s]	10	20	20	20	5

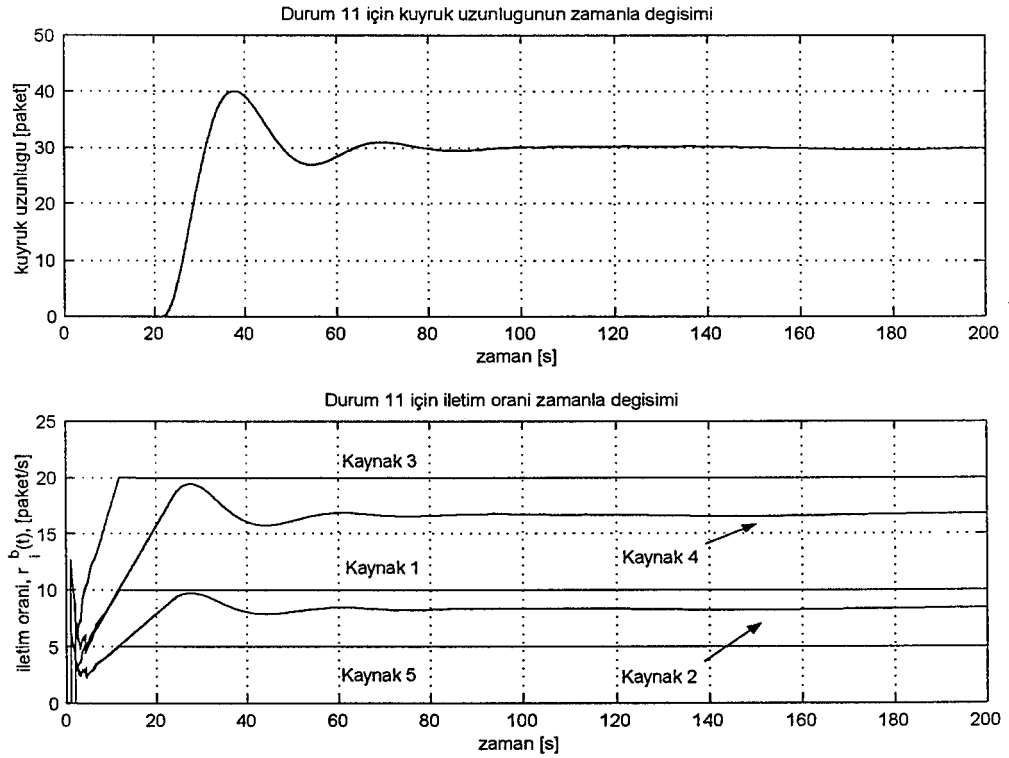
değişimi Şekil 3.46'da verilmiştir. Denetleyicinin Bode çizimi Şekil 3.47'de verilmiştir.

Durum 11. Durum 10'daki sistem ele alınmıştır, yalnızca kaynaklarda saturasyon var olduğu kabul edilmiştir. Kaynaklardaki saturasyon Çizelge 3.6'da verilmiştir. Kuyruk uzunluğunun ve iletim oranının zamana göre değişimi Şekil 3.48'de verilmiştir.

Not olarak Şekil 3.49'de verilen sistemde $c1 = 60$ paket/s olarak seçildiğinde ve "Signal Generator"un ürettiği kare dalga'nın genliği sıfır alındığında özel olarak gösterilmeyen durumlar için Simulink modeli elde edilmektedir. Denetleyici hesaplanmak için kullanılan makro Ek-1'de verilmiştir. Ek-1'deki makroda kullanılan diğer yardımcı makrolar Ek-2 - 5'te verilmiştir. [6] makalesindeki sonuçlarla karşılaştırıldığında tasarlanan denetleyici bütün durumlar için daha hızlı cevap vermektedir. Bunun dışında tüm γ 'lar farklı değerler almaktadır. Şekil 3.49'da verilmiş olan Simulink modeli farklı gecikme değerleri girerek simulasyonlar yapılmıştır. Aynı şekil bir önceki kısımda incelenmiş olan problemin simulasyonu için de kullanılmıştır.



Şekil 3.47: Durum 10 için denetleyicinin Bode çizimi



Şekil 3.48: Durum 11 için kuyruk uzunluğunun ve iletim oranının zamana göre değişimi

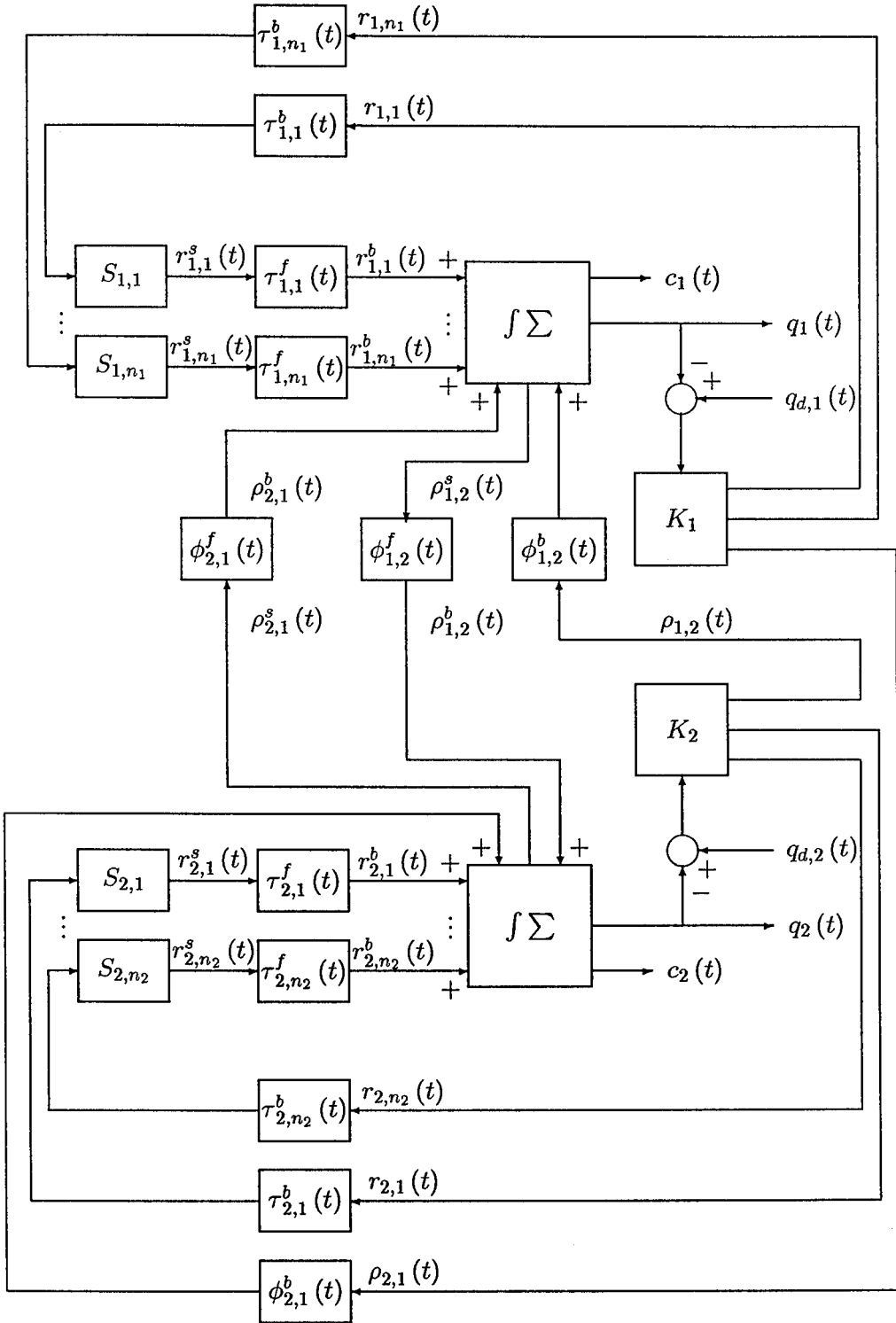
4 ÇOK TIKALI GEÇİT DURUMUNDA VERİ İLETİŞİM AĞININ MODELLENMESİ VE GÜRBÜZ DENETLEYİCİNİN TASARIMI

Bu alt bölümde bir önceki bölümde konu alınan tek tıklı geçit veri iletişim ağının modellenmesinden ve denetleyicinin tasarım yönteminden faydalanarak çok tıklı geçit için denetleyici tasarlanacaktır.

4.1 Modelleme

Şekil 4.1'de $n = 2$ tıklı geçit için ağ kontrol modeli verilmiştir. Şekilde ve bu bölüm boyunca

- $S_{i,j}$: i . geçide ait j . kaynak; ($i = 1, 2, \dots, n, j = 1, 2, \dots, n_i$)
- $r_{i,j}(t)$: i . geçidin j . kaynağının t anında denetleyici tarafından belirlenen iletim oranı; ($i = 1, 2, \dots, n, j = 1, 2, \dots, n_i$)
- $r_{i,j}^s(t)$: i . geçidin j . kaynağının t anında iletim oranı; ($i = 1, 2, \dots, n, j = 1, 2, \dots, n_i$)
- $r_{i,j}^b(t)$: i . geçitten gönderilen ve j . kaynakta t anında kabul edilen iletim oranı; ($i = 1, 2, \dots, n, j = 1, 2, \dots, n_i$)
- $\tau_{i,j}^f(t)$: i . geçidin j . kaynağının t anında ileri yönde zaman gecikmesi; ($i = 1, 2, \dots, n, j = 1, 2, \dots, n_i$)
- $\tau_{i,j}^b(t)$: i . geçidin j . kaynağının t anında geri yönde zaman gecikmesi; ($i = 1, 2, \dots, n, j = 1, 2, \dots, n_i$)
- $\rho_{i,j}(t)$: i . ile j . geçit arasında t anında denetleyici tarafından belirlenen iletim oranı; ($i = 1, 2, \dots, n, j = 1, 2, \dots, n$)
- $\rho_{i,j}^s(t)$: i . geçitten j . geçide t anında gönderilen iletim oranı; ($i = 1, 2, \dots, n, j = 1, 2, \dots, n$)
- $\rho_{i,j}^b(t)$: i . geçitten gönderilen ve j . geçitte t anında kabul edilen iletim oranı; ($i = 1, 2, \dots, n, j = 1, 2, \dots, n$)
- $\phi_{i,j}^f(t)$: i . geçitten j . geçide t anında ileri yöndeki zaman gecikmesi; ($i = 1, 2, \dots, n, j = 1, 2, \dots, n$)
- $\phi_{i,j}^b(t)$: i . geçitten j . geçide t anında geri yöndeki zaman gecikmesi; ($i = 1, 2, \dots, n, j = 1, 2, \dots, n$)
- $q_i(t)$: i . geçide ait t anında kuyruk uzunluğu; ($i = 1, 2, \dots, n$)



Şekil 4.1: İki tıklı düğüm ağı için denetim modeli

$q_{d,i}(t)$: i . geçide ait t anında kuyruk uzunluğunun tasarım değeri;
($i = 1, 2, \dots, n$)

$c_i(t)$: i . geçitten t anında çıkış akış oranı; ($i = 1, 2, \dots, n$)

anlamalarını taşıyan semboller kullanılacaktır. Geçitteki kuyruk uzunluğunun dinamiği deterministik akışkanlar kanununa göre ifade edilebilir:

$$\dot{q}_i(t) = \sum_{k=1}^{n_i} r_{i,k}^b(t) + \sum_{k=1, k \neq i}^n \rho_{k,i}^b(t) - c_i(t) - \sum_{k=1, k \neq i}^n \rho_{i,k}^s(t), \quad i = 1, 2, \dots, n. \quad (4.1)$$

Şekil 4.1'deki gösterimden yararlanılarak

$$\begin{aligned} r_{i,k}^s(t) &= r_{i,k}(t - \tau_{i,k}^b(t)), \\ \rho_{i,k}^s &= \rho_{i,k}(t - \phi_{i,k}^b(t)) \end{aligned}$$

olarak yazılabilir. Diğer yandan (4.1) denkleminde

$$q_i(t) = \int_0^t \left[\sum_{k=1}^{n_i} r_{i,k}^b(\nu) + \sum_{k=1, k \neq i}^n (\rho_{k,i}^b(\nu) - \rho_{i,k}^s(\nu)) - c_i(\nu) \right] d\nu + q_i(0)$$

$$\begin{aligned} q_i(t) &= \sum_{k=1}^{n_i} \int_0^t r_{i,k}^b(\nu) d\nu + \sum_{k=1, k \neq i}^n \int_0^t \rho_{k,i}^b(\nu) d\nu - \sum_{k=1, k \neq i}^n \int_0^t \rho_{i,k}^s(\nu) d\nu \\ &\quad - \int_0^t c_i(\nu) d\nu + q_i(0), \quad i = 1, 2, \dots, n \quad (4.2) \end{aligned}$$

ifadesi elde edilir.

Hem $\tau_{i,k}^b(t)$ hem de $\phi_{i,k}^b(t)$ 'nin zamanla değişen, fakat bilinmeyen değerler aldığı kabul edilir, ancak değişim aralığı bilindiğini varsayılır, yani

$$\begin{aligned} \tau_{i,k}^b(t) &= h_{i,k}^r + \delta_{i,k}^r(t), \quad i = 1, 2, \dots, n, \quad k = 1, 2, \dots, n_i, \\ \phi_{i,k}^b(t) &= h_{i,k}^\rho + \delta_{i,k}^\rho(t), \quad i = 1, 2, \dots, n, \quad k = 1, 2, \dots, n \end{aligned}$$

geçerli olduğu kabul edilir. Burada “ \cdot ” işareti ile b veya f temsil edilmiştir. Ayrıca

$h_{i,k}^r > 0$ ($h_{i,k}^\rho > 0$) ($i = 1, 2, \dots, n, \quad k = 1, 2, \dots, n_i$) bilinen zamanla değişmeyen kısım,

$\delta_{i,k}^r(t)$ ($\delta_{i,k}^\rho(t)$) ($i = 1, 2, \dots, n, \quad k = 1, 2, \dots, n_i$) zamanla değişen ve bilinmeyen kısım, negatif gecikmeleri önleyebilmek için (sistem nedensel olmalı) $\delta_{i,k}^r(t)$ ($\delta_{i,k}^\rho(t)$) üzerinde kısıtlanmalar getirilmesi gerek: $|\delta_{i,k}^r(t)| < \delta_{i,k}^{r,+} \leq h_{i,k}^r$ ($|\delta_{i,k}^\rho(t)| < \delta_{i,k}^{\rho,+} \leq h_{i,k}^\rho$) geçerli olduğu varsayılır,

olarak tanımlanmıştır.

Bu durumda

$$\begin{aligned} \int_0^t r_{i,j}^b(\nu) d\nu &= \begin{cases} \int_0^{t-\tau_{i,j}^f(t)} r_{i,j}^s(\varphi) d\varphi, & t - \tau_{i,j}^f(t) \geq 0 \\ 0, & t - \tau_{i,j}^f(t) < 0 \end{cases} \\ \int_0^t \rho_{i,j}^b(\nu) d\nu &= \begin{cases} \int_0^{t-\phi_{i,j}^f(t)} \rho_{i,j}^s(\varphi) d\varphi, & t - \phi_{i,j}^f(t) \geq 0 \\ 0, & t - \phi_{i,j}^f(t) < 0 \end{cases} \end{aligned} \quad (4.3)$$

olarak ifade edilebilir. Diğer yandan eğer (4.3) ifadelerinin türevi alınırsa

$$\begin{aligned} r_{i,j}^b(t) &= \begin{cases} \left(1 - \dot{\delta}_{i,j}^{rf}(t)\right) r_{i,j}(t - \tau_{i,j}(t)), & t - \tau_{i,j}^f(t) \geq 0 \\ 0, & t - \tau_{i,j}^f(t) < 0 \end{cases} \\ \rho_{i,j}^b(t) &= \begin{cases} \left(1 - \dot{\delta}_{i,j}^{\rho f}(t)\right) \rho_{i,j}(t - \phi_{i,j}(t)), & t - \phi_{i,j}^f(t) \geq 0 \\ 0, & t - \phi_{i,j}^f(t) < 0 \end{cases} \end{aligned}$$

ifadelerini yazmak mümkündür. O halde denklem (4.2)

$$\begin{aligned} q_i(t) &= \sum_{j=1}^{n_i} \left[\int_0^t \left(1 - \dot{\delta}_{i,j}^{rf}(\nu)\right) r_{i,j}(\nu - \tau_{i,j}(\nu)) d\nu \right] - \int_0^t c_i(\nu) d\nu + q_i(0) \\ &+ \sum_{j=1, j \neq i}^n \int_0^t \left[\left(1 - \dot{\delta}_{j,i}^{\rho f}(\nu)\right) \rho_{j,i}(\nu - \phi_{j,i}(\nu)) - \rho_{i,j}(\nu - \phi_{i,j}^b(\nu)) \right] d\nu \end{aligned}$$

olarak ifade edilebilir.

$$\begin{aligned} q_{o,i}(t) &= \sum_{j=1}^{n_i} \int_0^t r_{i,j}(\nu - h_{i,j}^r) d\nu - \int_0^t c_i(\nu) d\nu + q_i(0) \\ &+ \sum_{j=1, j \neq i}^n \int_0^t \left[\rho_{j,i}(\nu - h_{j,i}^{\rho}) - \rho_{i,j}(\nu - h_{i,j}^{\rho b}) \right] d\nu \end{aligned}$$

olarak tanımlansın. $\delta_{q_i}(t) := q_i(t) - q_{o,i}(t)$ olsun. O halde

$$\begin{aligned} \delta_{q_i}(t) &= \sum_{j=1}^{n_i} \int_0^t \left[\left(1 - \dot{\delta}_{i,j}^{rf}(\nu)\right) r_{i,j}(\nu - \tau_{i,j}(\nu)) - r_{i,j}(\nu - h_{i,j}^r) \right] d\nu \\ &+ \sum_{j=1, j \neq i}^n \int_0^t \left[\left(1 - \dot{\delta}_{j,i}^{\rho f}(\nu)\right) \rho_{j,i}(\nu - \phi_{j,i}(\nu)) - \rho_{j,i}(\nu - h_{j,i}^{\rho}) \right] d\nu \\ &- \sum_{j=1, j \neq i}^n \int_0^t \left[\rho_{i,j}(\nu - \phi_{i,j}^b(\nu)) - \rho_{i,j}(\nu - h_{i,j}^{\rho b}) \right] d\nu \end{aligned} \quad (4.4)$$

şeklinde ifade edilebilir. Şimdi

$$\begin{aligned} \lambda_{i,j}^r &= \nu - h_{i,j}^r - \delta_{i,j}^r(\nu) =: f_{i,j}^r(\nu), \\ \lambda_{i,j}^{\rho b} &= \nu - h_{i,j}^{\rho b} - \delta_{i,j}^{\rho b}(\nu) =: f_{i,j}^{\rho b}(\nu), \\ \lambda_{j,i}^{\rho} &= \nu - h_{j,i}^{\rho} - \delta_{j,i}^{\rho}(\nu) =: f_{j,i}^{\rho}(\nu) \end{aligned}$$

olarak tanımlanırsa

$$\begin{aligned}\frac{d\lambda_{i,j}^r}{d\nu} &= 1 - \frac{d\delta_{i,j}^r(\nu)}{d\nu} = 1 - g_{i,j}^r(\lambda_{i,j}^r), \\ \frac{d\lambda_{i,j}^{\rho b}}{d\nu} &= 1 - \frac{d\delta_{i,j}^{\rho b}(\nu)}{d\nu} = 1 - g_{i,j}^{\rho b}(\lambda_{i,j}^{\rho b}), \\ \frac{d\lambda_{j,i}^\rho}{d\nu} &= 1 - \frac{d\delta_{j,i}^\rho(\nu)}{d\nu} = 1 - g_{j,i}^\rho(\lambda_{j,i}^\rho)\end{aligned}\quad (4.5)$$

ifadeleri yazılabilir. Burada

$$\begin{aligned}g_{i,j}^r(\lambda_{i,j}^r) &= \left. \frac{d\delta_{i,j}^r(\nu)}{d\nu} \right|_{\nu=(f_{i,j}^r(\lambda_{i,j}^r))^{-1}}, \\ g_{i,j}^{\rho b}(\lambda_{i,j}^{\rho b}) &= \left. \frac{d\delta_{i,j}^{\rho b}(\nu)}{d\nu} \right|_{\nu=(f_{i,j}^{\rho b}(\lambda_{i,j}^{\rho b}))^{-1}}, \\ g_{j,i}^\rho(\lambda_{j,i}^\rho) &= \left. \frac{d\delta_{j,i}^\rho(\nu)}{d\nu} \right|_{\nu=(f_{j,i}^\rho(\lambda_{j,i}^\rho))^{-1}}\end{aligned}$$

olarak tanımlanmıştır. $f_{i,j}^r(\lambda_{i,j}^r)$, $f_{i,j}^{\rho b}(\lambda_{i,j}^{\rho b})$ ve $f_{j,i}^\rho(\lambda_{j,i}^\rho)$ 'nin ters fonksiyonlarının var olduğu kabul edilmiştir, zira böyle olmazsa kaynaktan hedefe veri göndermeden önce gelmiş olacaktır oysa bu gerçek sistemlere aykırıdır. Bu durumda

$$\frac{d\delta_{i,j}^r(\nu)}{d\nu} > 0, \quad \frac{d\delta_{i,j}^{\rho b}(\nu)}{d\nu} > 0 \quad \text{ve} \quad \frac{d\delta_{j,i}^\rho(\nu)}{d\nu} > 0$$

sağlanmalıdır. O halde

$$\begin{aligned}\left| g_{i,j}^r(\lambda_{i,j}^r) \right| &< \beta_{i,j}^r, \quad \forall \lambda_{i,j}^r \geq -h_{i,j}^r, \quad 0 < \beta_{i,j}^{rf} < 1 \\ \left| g_{i,j}^{\rho b}(\lambda_{i,j}^{\rho b}) \right| &< \beta_{i,j}^{\rho b}, \quad \forall \lambda_{i,j}^{\rho b} \geq -h_{i,j}^{\rho b}, \quad 0 < \beta_{i,j}^{\rho b} < 1 \\ \left| g_{j,i}^\rho(\lambda_{j,i}^\rho) \right| &< \beta_{j,i}^\rho, \quad \forall \lambda_{j,i}^\rho \geq -h_{j,i}^\rho, \quad 0 < \beta_{j,i}^{\rho f} < 1\end{aligned}$$

eşitsizliklerinin geçerli olduğu varsayılacaktır. Benzer bir şekilde ileri gecikmesine ait belirsizliklerin sınırının tanımlanması mümkündür:

$$\begin{aligned}\left| \delta_{i,j}^{rf} \right| &< \beta_{i,j}^{rf} < \beta_{i,j}^r < 1 \\ \left| \delta_{i,j}^{\rho f} \right| &< \beta_{i,j}^{\rho f} < \beta_{i,j}^{\rho b} < 1.\end{aligned}$$

(4.5)'teki eşitlikten

$$\begin{aligned}d\nu &= \frac{d\lambda_{i,j}^r}{1 - g_{i,j}^r(\lambda_{i,j}^r)} \quad \text{veya} \\ d\nu &= \frac{d\lambda_{i,j}^{\rho b}}{1 - g_{i,j}^{\rho b}(\lambda_{i,j}^{\rho b})} \quad \text{veya} \\ d\nu &= \frac{d\lambda_{j,i}^\rho}{1 - g_{j,i}^\rho(\lambda_{j,i}^\rho)}\end{aligned}$$

eşitlikleri yazılabilir. $\delta_{i,j}^r(0) = \delta_{i,j}^{\rho b}(0) = \delta_{j,i}^{\rho}(0) = 0$ olsun. Bu durumda (4.4)'teki eşitliği

$$\begin{aligned}
\delta_{q_i}(t) &= \sum_{j=1}^{n_i} \left[\int_0^t (1 - \delta_{i,j}^{rf}(\nu)) r_{i,j}(\nu - \tau_{i,j}(\nu)) d\nu - \int_{-h_{i,j}^r}^{t-h_{i,j}^r} r_{i,j}(\sigma) d\sigma \right] \\
&+ \sum_{j=1, j \neq i}^n \left[\int_0^t (1 - \delta_{j,i}^{\rho f}(\nu)) \rho_{j,i}(\nu - \phi_{j,i}(\nu)) d\nu - \int_{-h_{j,i}^{\rho}}^{t-h_{j,i}^{\rho}} \rho_{j,i}(\sigma) d\sigma \right] \\
&+ \sum_{j=1, j \neq i}^n \left[- \int_0^t \rho_{i,j}(\nu - \phi_{i,j}^b(\nu)) d\nu + \int_{-h_{i,j}^{\rho b}}^{t-h_{i,j}^{\rho b}} \rho_{i,j}(\sigma) d\sigma \right] \\
&= \sum_{j=1}^{n_i} \left[\int_0^t (1 - \delta_{i,j}^{rf}(\nu)) r_{i,j}(\nu - \tau_{i,j}(\nu)) d\nu - \int_{-h_{i,j}^r}^{t-h_{i,j}^r} r_{i,j}(\sigma) d\sigma \right. \\
&\quad \left. + \int_{-h_{i,j}^r}^{t-h_{i,j}^r - \delta_{i,j}^r(t)} r_{i,j}(\sigma) d\sigma - \int_{-h_{i,j}^r}^{t-h_{i,j}^r - \delta_{i,j}^r(t)} r_{i,j}(\lambda_{i,j}^r) d\lambda_{i,j}^r \right] \\
&+ \sum_{j=1, j \neq i}^n \left[\int_0^t (1 - \delta_{j,i}^{\rho f}(\nu)) \rho_{j,i}(\nu - \phi_{j,i}(\nu)) d\nu - \int_{-h_{j,i}^{\rho}}^{t-h_{j,i}^{\rho}} \rho_{j,i}(\sigma) d\sigma \right. \\
&\quad \left. + \int_{-h_{j,i}^{\rho}}^{t-h_{j,i}^{\rho} - \delta_{j,i}^{\rho}(t)} \rho_{j,i}(\sigma) d\sigma - \int_{-h_{j,i}^{\rho}}^{t-h_{j,i}^{\rho} - \delta_{j,i}^{\rho}(t)} \rho_{j,i}(\lambda_{i,j}^{\rho}) d\lambda_{i,j}^{\rho} \right] \\
&\quad + \sum_{j=1, j \neq i}^n \left[- \int_0^t \rho_{i,j}(\nu - \phi_{i,j}^b(\nu)) d\nu + \int_{-h_{i,j}^{\rho b}}^{t-h_{i,j}^{\rho b}} \rho_{i,j}(\sigma) d\sigma \right. \\
&\quad \left. - \int_{-h_{i,j}^{\rho b}}^{t-h_{i,j}^{\rho b} - \delta_{i,j}^{\rho b}(t)} \rho_{i,j}(\sigma) d\sigma + \int_{-h_{i,j}^{\rho b}}^{t-h_{i,j}^{\rho b} - \delta_{i,j}^{\rho b}(t)} \rho_{i,j}(\lambda_{i,j}^{\rho b}) d\lambda_{i,j}^{\rho b} \right] \\
\delta_{q_i}(t) &= \sum_{j=1}^{n_i} \left[\int_0^t (1 - \delta_{i,j}^{rf}(\nu)) r_{i,j}(\nu - \tau_{i,j}(\nu)) d\nu - \int_{t-h_{i,j}^r - \delta_{i,j}^r(t)}^{t-h_{i,j}^r} r_{i,j}(\nu) d\nu \right. \\
&\quad \left. - \int_0^t r_{i,j}(\nu - \tau_{i,j}(\nu)) [1 - g_{i,j}^r(\nu - \tau_{i,j}(\nu))] d\nu \right] \\
&+ \sum_{j=1, j \neq i}^n \left[\int_0^t (1 - \delta_{j,i}^{\rho f}(\nu)) \rho_{j,i}(\nu - \phi_{j,i}(\nu)) d\nu - \int_{t-h_{j,i}^{\rho} - \delta_{j,i}^{\rho}(t)}^{t-h_{j,i}^{\rho}} \rho_{j,i}(\nu) d\nu \right. \\
&\quad \left. - \int_0^t \rho_{j,i}(\nu - \phi_{j,i}^b(\nu)) [1 - g_{j,i}^{\rho}(\nu - \phi_{j,i}(\nu))] d\nu \right. \\
&\quad \left. + \sum_{j=1, j \neq i}^n \left[- \int_0^t \rho_{i,j}(\nu - \phi_{i,j}^b(\nu)) d\nu + \int_{t-h_{i,j}^{\rho b} - \delta_{i,j}^{\rho b}(t)}^{t-h_{i,j}^{\rho b}} \rho_{i,j}(\nu) d\nu \right. \right. \\
&\quad \left. \left. + \int_0^t \rho_{i,j}(\nu - \phi_{i,j}^b(\nu)) [1 - g_{i,j}^{\rho b}(\nu - \phi_{i,j}^b(\nu))] d\nu \right] \right]
\end{aligned}$$

$$\begin{aligned} \delta_{q_i}(t) = & \sum_{j=1}^{n_i} \left[\int_0^t \left(g_{i,j}^r(\nu - \tau_{i,j}(\nu)) - \delta_{i,j}^{rf}(\nu) \right) r_{i,j}(\nu - \tau_{i,j}(\nu)) d\nu \right. \\ & \left. - \int_{t-h_{i,j}^r}^{t-h_{i,j}^r-\delta_{i,j}^r(t)} r_{i,j}(\nu) d\nu \right] + \sum_{j=1, j \neq i}^n \left[\int_0^t \left(g_{j,i}^\rho(\nu - \phi_{j,i}(\nu)) - \delta_{j,i}^{\rho f}(\nu) \right) \right. \\ & \left. \cdot \rho_{j,i}(\nu - \phi_{j,i}(\nu)) d\nu - \int_{t-h_{j,i}^\rho}^{t-h_{j,i}^\rho-\delta_{j,i}^\rho(t)} \rho_{j,i}(\nu) d\nu \right. \\ & \left. + \int_0^t -g_{i,j}^{\rho b}(\nu - \phi_{i,j}^b(\nu)) \rho_{i,j}(\nu - \phi_{i,j}^b(\nu)) d\nu + \int_{t-h_{i,j}^{\rho b}}^{t-h_{i,j}^{\rho b}-\delta_{i,j}^{\rho b}(t)} \rho_{i,j}(\nu) d\nu \right] \end{aligned}$$

olarak düzenlenebilir. Bu durumda

$$\delta_{q_i}(t) = \sum_{j=1}^{n_i} \bar{\delta}_{q_i}^j(t) + \sum_{j=1, j \neq i}^n \hat{\delta}_{q_i}^j(t) + \sum_{j=1, j \neq i}^n \tilde{\delta}_{q_i}^j(t) \quad (4.6)$$

olarak yazılabilir. Burada

$$\begin{aligned} \bar{\delta}_{q_i}^j(t) = & \int_0^t \left(g_{i,j}^r(\nu - \tau_{i,j}(\nu)) - \delta_{i,j}^{rf}(\nu) \right) r_{i,j}(\nu - \tau_{i,j}(\nu)) d\nu \\ & - \int_{t-h_{i,j}^r}^{t-h_{i,j}^r-\delta_{i,j}^r(t)} r_{i,j}(\nu) d\nu \end{aligned}$$

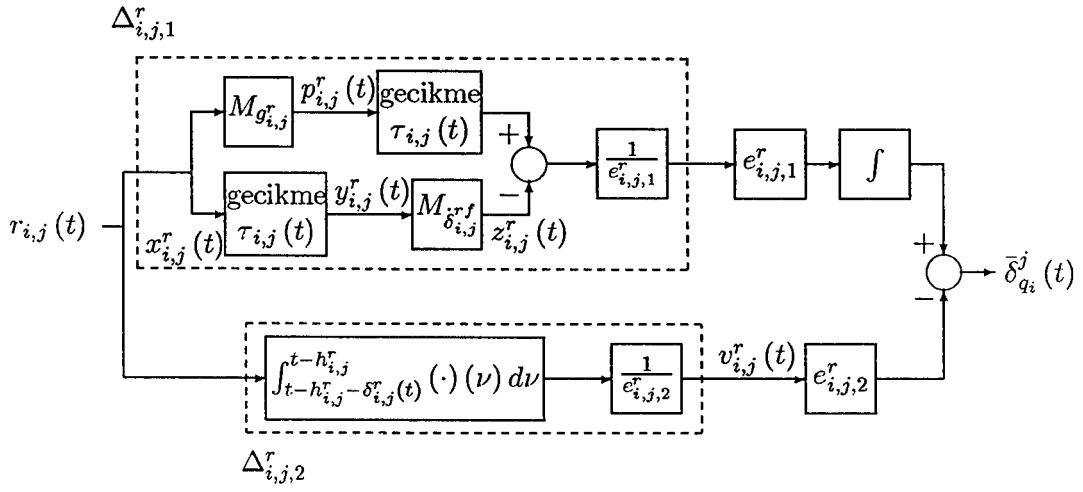
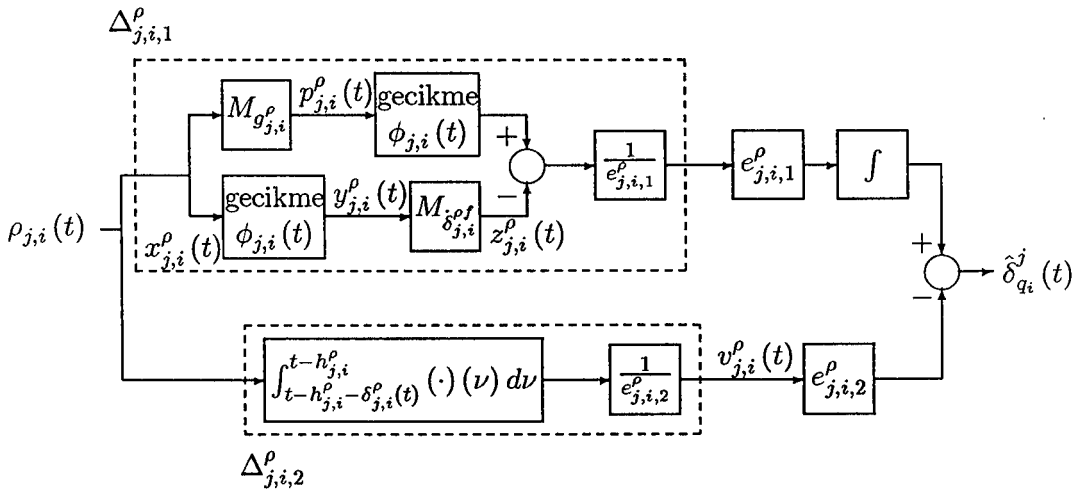
$$\begin{aligned} \hat{\delta}_{q_i}^j(t) = & \int_0^t \left(g_{j,i}^\rho(\nu - \phi_{j,i}(\nu)) - \delta_{j,i}^{\rho f}(\nu) \right) \rho_{j,i}(\nu - \phi_{j,i}(\nu)) d\nu \\ & - \int_{t-h_{j,i}^\rho}^{t-h_{j,i}^\rho-\delta_{j,i}^\rho(t)} \rho_{j,i}(\nu) d\nu \end{aligned}$$

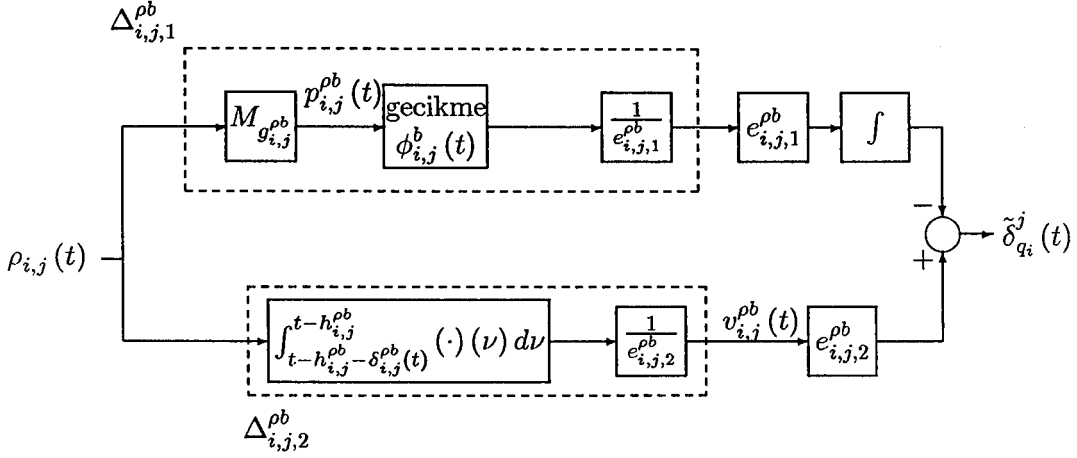
$$\tilde{\delta}_{q_i}^j(t) = - \int_0^t g_{i,j}^{\rho b}(\nu - \phi_{i,j}^b(\nu)) \rho_{i,j}(\nu - \phi_{i,j}^b(\nu)) d\nu + \int_{t-h_{i,j}^{\rho b}}^{t-h_{i,j}^{\rho b}-\delta_{i,j}^{\rho b}(t)} \rho_{i,j}(\nu) d\nu$$

olarak tanımlanmıştır. $\bar{\delta}_{q_i}^j(t)$ Şekil 4.2'de, $\hat{\delta}_{q_i}^j(t)$ ise Şekil 4.3'te ve $\tilde{\delta}_{q_i}^j(t)$ Şekil 4.4'te verilmiştir. Şekillerde $\Delta_{i,j,1}^r$, $\Delta_{i,j,2}^r$, $\Delta_{i,j,1}^{\rho b}$, $\Delta_{i,j,2}^{\rho b}$, $\Delta_{j,i,1}^\rho$ ve $\Delta_{j,i,2}^\rho$ ile doğrusal zamanla değişen sistemler gösterilmiştir. $M_{g_{i,j}^r}$, $M_{g_{i,j}^{\rho b}}$, $M_{g_{j,i}^\rho}$, $M_{\delta_{i,j}^{rf}}$, ve $M_{\delta_{j,i}^{\rho f}}$ ile sırasıyla $p_{i,j}^r(t) = g_{i,j}^r(t) r_{i,j}(t)$, $p_{i,j}^{\rho b}(t) = g_{i,j}^{\rho b}(t) \rho_{i,j}(t)$, $p_{j,i}^\rho(t) = g_{j,i}^\rho(t) \rho_{j,i}(t)$, $z_{i,j}^r(t) = \delta_{i,j}^{rf}(t) y_{i,j}^r(t)$, $z_{j,i}^\rho(t) = \delta_{j,i}^{\rho f}(t) y_{j,i}^\rho(t)$ ifadeleriyle tanımlanan zamana bağlı doğrusal sistemleri simgelemektedir. $e_{i,j,1}^r$, $e_{i,j,2}^r$, $e_{i,j,1}^{\rho b}$, $e_{i,j,2}^{\rho b}$, $e_{j,i,1}^\rho$ ve $e_{j,i,2}^\rho$ daha sonra belirlenecek sabitleri simgeler.

Eğer $t < 0$ değerler için $r_{i,j}(t) = 0$ olarak kabul edilirse

$$\begin{aligned} \int_0^\infty |y_{i,j}^r(t)|^2 dt &= \int_0^\infty |x_{i,j}^r(t - \tau_{i,j}(t))|^2 dt \\ &= \int_{-\tau_{i,j}(0)}^\infty |x_{i,j}^r(\lambda_{i,j}^r)|^2 \frac{d\lambda_{i,j}^r}{1 - g_{i,j}^r(\lambda_{i,j}^r)} \end{aligned}$$

Şekil 4.2: Sistemde belirsizlikler, $\delta_{q_i}^j(t)$ Şekil 4.3: Sistemde belirsizlikler, $\delta_{q_i}^j(t)$



Şekil 4.4: Sistemde belirsizlikler, $\tilde{\delta}_{q_i}^j(t)$

$$\begin{aligned} \int_0^\infty |y_{i,j}^r(t)|^2 dt &= \int_0^\infty |x_{i,j}^r(\lambda_{i,j}^r)|^2 \frac{d\lambda_{i,j}^r}{1-g_{i,j}^r(\lambda_{i,j}^r)} \\ &< \frac{1}{1-\beta_{i,j}^r} \int_0^\infty |x_{i,j}^r(\lambda_{i,j}^r)|^2 d\lambda_{i,j}^r \end{aligned}$$

ifadeleri yazılabilir.

Benzer olarak eğer $t < 0$ için $\rho_{j,i}(t) = 0$ olarak kabul edilirse

$$\begin{aligned} \int_0^\infty |y_{j,i}^\rho(t)|^2 dt &= \int_0^\infty |x_{j,i}^\rho(t - \phi_{j,i}(t))|^2 dt \\ &= \int_{-\phi_{j,i}(0)}^\infty |x_{j,i}^\rho(\lambda_{j,i}^\rho)|^2 \frac{d\lambda_{j,i}^\rho}{1-g_{j,i}^\rho(\lambda_{j,i}^\rho)} \\ &= \int_0^\infty |x_{j,i}^\rho(\lambda_{j,i}^\rho)|^2 \frac{d\lambda_{j,i}^\rho}{1-g_{j,i}^\rho(\lambda_{j,i}^\rho)} \\ &< \frac{1}{1-\beta_{j,i}^\rho} \int_0^\infty |x_{j,i}^\rho(\lambda_{j,i}^\rho)|^2 d\lambda_{j,i}^\rho \end{aligned}$$

ifadeler yazılabilir. Bu durumda $\Delta_{i,j,1}^r$ 'de ve $\Delta_{j,i,1}^\rho$ 'de bulunan gecikme bloklarının \mathcal{L}_2 endüklenmiş normu sırasıyla $\frac{1}{\sqrt{1-\beta_{i,j}^r}}$ ve $\frac{1}{\sqrt{1-\beta_{j,i}^\rho}}$ 'den daha küçüktür.

Bu durumda $\Delta_{i,j,1}^r$ ve $\Delta_{j,i,1}^\rho$ 'nin \mathcal{L}_2 endüklenmiş normu sırasıyla $\left(\frac{\beta_{i,j}^r + \beta_{i,j}^f}{\sqrt{1-\beta_{i,j}^r}}\right) \frac{1}{e_{i,j,1}^r}$ ve $\left(\frac{\beta_{j,i}^\rho + \beta_{j,i}^f}{\sqrt{1-\beta_{j,i}^\rho}}\right) \frac{1}{e_{j,i,1}^\rho}$ 'den küçüktür. O halde eğer $e_{i,j,1}^r = \frac{\sqrt{2}(\beta_{i,j}^r + \beta_{i,j}^f)}{\sqrt{1-\beta_{i,j}^r}}$ ve $e_{j,i,1}^\rho = \frac{\sqrt{2}(\beta_{j,i}^\rho + \beta_{j,i}^f)}{\sqrt{1-\beta_{j,i}^\rho}}$ olarak seçilirse $\Delta_{i,j,1}^r$ ve $\Delta_{j,i,1}^\rho$ bloklarının \mathcal{L}_2 endüklenmiş normu $\frac{1}{\sqrt{2}}$ 'den daha küçük olacaktır.

Diğer yandan $r_{i,j}(t) \geq 0$ ($t > 0$) ifadesi kullanılarak

$$\left\| \frac{1}{e_{i,j,2}^r} \int_{t-h_{i,j}^r - \delta_{i,j}^r(t)}^{t-h_{i,j}^r} r_{i,j}(\nu) d\nu \right\|_2 \leq \left\| \frac{1}{e_{i,j,2}^r} \int_{t-h_{i,j}^r - \delta_{i,j}^r(t)}^{t-h_{i,j}^r + \delta_{i,j}^r(t)} r_{i,j}(\nu) d\nu \right\|_2$$

ifadesini yazmak mümkündür, zira $|\delta_{i,j}^r(t)| < \delta_{i,j}^{r+}$. Bu durumda

$$\hat{v}_{i,j}^r(s) = \frac{1}{e_{i,j,2}^r} \left(\frac{e^{-(h_{i,j}^r - \delta_{i,j}^{r+})s} - e^{-(h_{i,j}^r + \delta_{i,j}^{r+})s}}{s} \right) r_{i,j}(s)$$

olarak tanımlandığında

$$\begin{aligned} \|v_{i,j}^r\|_2 &\leq \|\hat{v}_{i,j}^r\|_2 \leq \left\| \frac{1}{e_{i,j,2}^r} \left(\frac{e^{-(h_{i,j}^r - \delta_{i,j}^{r+})s} - e^{-(h_{i,j}^r + \delta_{i,j}^{r+})s}}{s} \right) \right\|_{\infty} \|r_{i,j}\|_2 \\ &= \left\| \frac{1}{e_{i,j,2}^r} \frac{1 - e^{-2\delta_{i,j}^{r+}s}}{s} e^{-(h_{i,j}^r - \delta_{i,j}^{r+})s} \right\|_{\infty} \|r_{i,j}\|_2 \\ &= \left\| \frac{2\delta_{i,j}^{r+}}{e_{i,j,2}^r} \frac{1 - e^{-2\delta_{i,j}^{r+}s}}{2\delta_{i,j}^{r+}s} \right\|_{\infty} \|r_{i,j}\|_2 < \frac{2\delta_{i,j}^{r+}}{e_{i,j,2}^r} \|r_{i,j}\|_2 \end{aligned}$$

eşitsizliği geçerlidir zira $\left\| \frac{1 - e^{-2\delta_{i,j}^{r+}s}}{2\delta_{i,j}^{r+}s} \right\|_{\infty} < 1$ (norm içindeki ifade (3.7)'deki ifadeye benzerdir). Bu yüzden eğer $e_{i,j,2}^r = 2\sqrt{2}\delta_{i,j}^{r+}$ olarak tanımlanırsa $\Delta_{i,j,2}^r$ doğrusal zamanla değişen sisteminin \mathcal{L}_2 endüklenmiş normu $\frac{1}{\sqrt{2}}$ 'den daha küçük olacaktır.

Benzer olarak $\rho_{j,i}(t) \geq 0$ ($t > 0$) kabul edilerek

$$\left\| \frac{1}{e_{j,i,2}^{\rho}} \int_{t-h_{j,i}^{\rho} - \delta_{j,i}^{\rho+}}^{t-h_{j,i}^{\rho}} \rho_{j,i}(\nu) d\nu \right\|_2 \leq \left\| \frac{1}{e_{j,i,2}^{\rho}} \int_{t-h_{j,i}^{\rho} - \delta_{j,i}^{\rho+}}^{t-h_{j,i}^{\rho} + \delta_{j,i}^{\rho+}} \rho_{j,i}(\nu) d\nu \right\|_2$$

ifadesinin yazılması mümkündür, zira $|\delta_{j,i}^{\rho}(t)| < \delta_{j,i}^{\rho+}$. Bu durumda

$$\hat{v}_{j,i}^{\rho}(s) = \frac{1}{e_{j,i,2}^{\rho}} \left(\frac{e^{-(h_{j,i}^{\rho} - \delta_{j,i}^{\rho+})s} - e^{-(h_{j,i}^{\rho} + \delta_{j,i}^{\rho+})s}}{s} \right) \rho_{j,i}(s)$$

olarak tanımlandığında

$$\begin{aligned} \|v_{j,i}^{\rho}\|_2 &\leq \|\hat{v}_{j,i}^{\rho}\|_2 \leq \left\| \frac{1}{e_{j,i,2}^{\rho}} \left(\frac{e^{-(h_{j,i}^{\rho} - \delta_{j,i}^{\rho+})s} - e^{-(h_{j,i}^{\rho} + \delta_{j,i}^{\rho+})s}}{s} \right) \right\|_{\infty} \|\rho_{j,i}\|_2 \\ &= \left\| \frac{2\delta_{j,i}^{\rho+}}{e_{j,i,2}^{\rho}} \frac{1 - e^{-2\delta_{j,i}^{\rho+}s}}{2\delta_{j,i}^{\rho+}s} \left(1 - e^{-(h_{j,i}^{\rho} - \delta_{j,i}^{\rho+})s} \right) \right\|_{\infty} \|\rho_{j,i}\|_2 < \frac{2\delta_{j,i}^{\rho+}}{e_{j,i,2}^{\rho}} \|\rho_{j,i}\|_2 \end{aligned}$$

eşitsizliği geçerlidir. Bu yüzden eğer $e_{j,i,2}^{\rho} = 2\sqrt{2}\delta_{j,i}^{\rho+}$ olarak tanımlanırsa $\Delta_{j,i,2}^{\rho}$ doğrusal zamanla değişen sistemin \mathcal{L}_2 endüklenmiş normu $\frac{1}{\sqrt{2}}$ 'den daha küçük olacaktır.

$\rho_{i,j}(t) \geq 0$ ($t \geq 0$) olduğu kabul edilerek

$$\begin{aligned}
& \int_0^\infty \left| g_{i,j}^{\rho b}(\nu - \phi_{i,j}^b(\nu)) \rho_{i,j}(\nu - \phi_{i,j}^b(\nu)) \right|^2 d\nu \\
&= \int_{-\phi_{i,j}^b(0)}^\infty \left| g_{i,j}^{\rho b}(\lambda_{i,j}^{\rho b}) \rho_{i,j}(\lambda_{i,j}^{\rho b}) \right|^2 \frac{d\lambda_{i,j}^{\rho b}}{1 - g_{i,j}^{\rho b}(\lambda_{i,j}^{\rho b})} \\
&< \frac{(\beta_{i,j}^{\rho b})^2}{1 - \beta_{i,j}^{\rho b}} \int_0^\infty \left| \rho_{i,j}(\lambda_{i,j}^{\rho b}) \right|^2 d\lambda_{i,j}^{\rho b}
\end{aligned}$$

eşitsizliğinin yazılması mümkündür. Bu durumda $e_{i,j,1}^{\rho b} = \frac{\sqrt{2}\beta_{i,j}^{\rho b}}{\sqrt{1-\beta_{i,j}^{\rho b}}}$ olarak seçilirse $\Delta_{i,j,1}^{\rho b}$ 'nin \mathcal{L}_2 endüklenmiş normu $\frac{1}{\sqrt{2}}$ 'den daha küçük olacaktır.

Ayrıca

$$\left\| \frac{1}{e_{i,j,2}^{\rho b}} \int_{t-h_{i,j}^{\rho b}-\delta_{i,j}^{\rho b}(t)}^{t-h_{i,j}^{\rho b}} \rho_{i,j}(\nu) d\nu \right\|_2 \leq \left\| \frac{1}{e_{i,j,2}^{\rho b}} \int_{t-h_{i,j}^{\rho b}-\delta_{i,j}^{\rho b+}}^{t-h_{i,j}^{\rho b}+\delta_{i,j}^{\rho b+}} \rho_{i,j}(\nu) d\nu \right\|_2$$

ifadesini yazmak mümkündür, zira $|\delta_{i,j}^{\rho b}(t)| < \delta_{i,j}^{\rho b+}$. Bu durumda

$$\hat{v}_{i,j}^{\rho b}(s) = \frac{1}{e_{i,j,2}^{\rho b}} \left(\frac{e^{-(h_{i,j}^{\rho b}-\delta_{i,j}^{\rho b+})s} - e^{-(h_{i,j}^{\rho b}+\delta_{i,j}^{\rho b+})s}}{s} \right) \rho_{i,j}(s)$$

olarak tanımlandığında

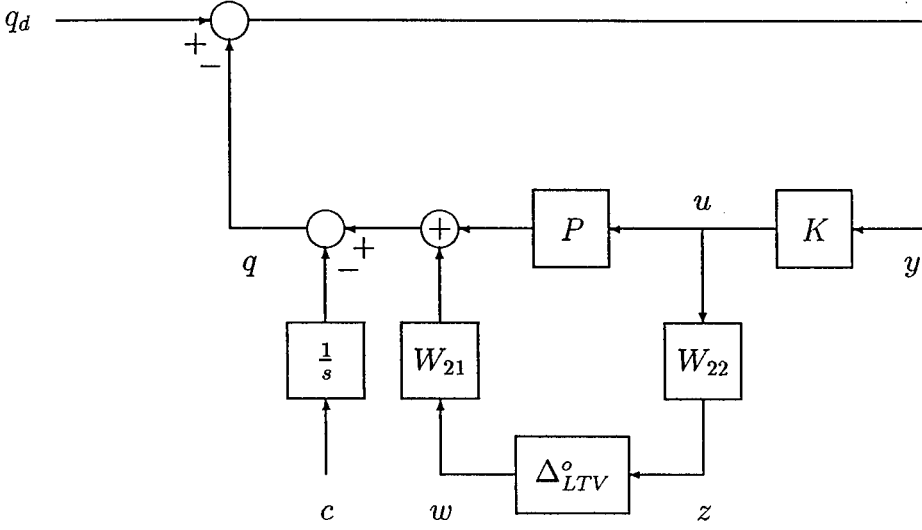
$$\begin{aligned}
\|v_{i,j}^{\rho b}\|_2 &\leq \|\hat{v}_{i,j}^{\rho b}\|_2 \leq \left\| \frac{1}{e_{i,j,2}^{\rho b}} \left(\frac{e^{-(h_{i,j}^{\rho b}-\delta_{i,j}^{\rho b+})s} - e^{-(h_{i,j}^{\rho b}+\delta_{i,j}^{\rho b+})s}}{s} \right) \right\|_\infty \|\rho_{i,j}\|_2 \\
&= \left\| \frac{2\delta_{i,j}^{\rho b+}}{e_{i,j,2}^{\rho b}} \frac{1}{2\delta_{i,j}^{\rho b+}} \left(\frac{1 - e^{-2\delta_{i,j}^{\rho b+}s}}{s} e^{-(h_{i,j}^{\rho b}-\delta_{i,j}^{\rho b+})s} \right) \right\|_\infty \|\rho_{i,j}\|_2 \\
&< \frac{2\delta_{i,j}^{\rho b+}}{e_{i,j,2}^{\rho b}} \|\rho_{i,j}\|_2
\end{aligned}$$

eşitsizliği geçerlidir. Bu yüzden eğer $e_{i,j,2}^{\rho b} = 2\sqrt{2}\delta_{i,j}^{\rho b+}$ olarak tanımlanırsa $\Delta_{i,j,2}^{\rho b}$ doğrusal zamanla değişen sisteminin \mathcal{L}_2 endüklenmiş normu $\frac{1}{\sqrt{2}}$ 'den daha küçük olacaktır.

İncelenmekte olan sistem Şekil 4.5'te verilmiştir. Şekilde

$$q := \begin{bmatrix} q_1 \\ \vdots \\ q_n \end{bmatrix}, \quad q_d := \begin{bmatrix} q_{d_1} \\ \vdots \\ q_{d_n} \end{bmatrix}, \quad c := \begin{bmatrix} c_1 \\ \vdots \\ c_n \end{bmatrix}, \quad u := \begin{bmatrix} r \\ \rho \end{bmatrix}$$

$$r := \begin{bmatrix} r_1 \\ \vdots \\ r_n \end{bmatrix}, \quad r_i := \begin{bmatrix} r_{i,1} \\ \vdots \\ r_{i,n_i} \end{bmatrix}, \quad \rho := \begin{bmatrix} \rho_1 \\ \vdots \\ \rho_n \end{bmatrix}, \quad \rho_i := \begin{bmatrix} \rho_{1,i} \\ \vdots \\ \rho_{i-1,i} \\ \rho_{i+1,i} \\ \vdots \\ \rho_{n,i} \end{bmatrix}$$



Şekil 4.5: Ağ: suni model

$$P(s) := \frac{1}{s} \bar{P} e^{-Hs} \hat{P}, \quad \mathbf{1}_i := [1 \ 1 \ \dots \ 1]_{1 \times n_i}, \quad \hat{P} := \begin{bmatrix} I_m & 0 \\ 0 & \frac{1}{\sqrt{2}} I_{n(n-1)} \\ 0 & -\frac{1}{\sqrt{2}} I_{n(n-1)} \end{bmatrix}$$

$$\bar{P}_r := \begin{bmatrix} \mathbf{1}_{n_1} & & 0 \\ & \ddots & \\ 0 & & \mathbf{1}_{n_n} \end{bmatrix}, \quad \bar{P}_\rho := I_n \otimes \mathbf{1}_{n-1} = \begin{bmatrix} \mathbf{1}_{n-1} & & 0 \\ & \ddots & \\ 0 & & \mathbf{1}_{n-1} \end{bmatrix}$$

$$J_i := [0_{1 \times (i-1)} \quad 1 \quad 0_{1 \times (n-i-1)}]$$

$$\bar{P}_{\rho_b} := \begin{bmatrix} 0 & J_1 & J_1 & J_1 & \dots & J_1 & J_1 \\ J_1 & 0 & J_2 & J_2 & \dots & J_2 & J_2 \\ J_2 & J_2 & 0 & J_3 & \dots & J_3 & J_3 \\ \vdots & \vdots & \vdots & \vdots & \ddots & \vdots & \vdots \\ J_{n-1} & J_{n-1} & J_{n-1} & J_{n-1} & \dots & J_{n-1} & 0 \end{bmatrix}$$

tanımları altında

$$\bar{P} := [\bar{P}_r \quad \bar{P}_\rho \quad \bar{P}_{\rho_b}]$$

olarak tanımlanır. Burada “ \otimes ” Kronecker çarpım sembolüdür.

$$h_i^r := [h_{i,1}^r \ h_{i,2}^r \ \dots \ h_{i,n_i}^r], \quad h^r := [h_1^r \ h_2^r \ \dots \ h_n^r],$$

$$h_i^\rho := [h_{1,i}^\rho \ h_{2,i}^\rho \ \dots \ h_{i-1,i}^\rho \ h_{i+1,i}^\rho \ \dots \ h_{n,i}^\rho],$$

$$h^\rho := [h_1^\rho \ h_2^\rho \ \dots \ h_n^\rho],$$

$$h_i^{\rho_b} := [h_{1,i}^{\rho_b} \ h_{2,i}^{\rho_b} \ \dots \ h_{i-1,i}^{\rho_b} \ h_{i+1,i}^{\rho_b} \ \dots \ h_{n,i}^{\rho_b}],$$

$$h^{\rho_b} := [h_1^{\rho_b} \ h_2^{\rho_b} \ \dots \ h_n^{\rho_b}],$$

$$\bar{h} := [h^r \ h^\rho \ h^{\rho_b}] = [h_1 \ h_2 \ \dots \ h_m \ h_{m+1} \ \dots \ h_{\bar{m}}],$$

$$m := \sum_{i=1}^n n_i + n(n-1), \quad \bar{m} := m + n(n-1)$$

olarak tanımlansın. Bu durumda

$$H := \text{diag} \{ \bar{h} \} = \begin{bmatrix} h_1 & & 0 \\ & \ddots & \\ 0 & & h_{\bar{m}} \end{bmatrix},$$

$$H^r := \text{diag} (h^r), \quad H^\rho := \text{diag} (h^\rho), \quad H^{\rho b} := \text{diag} (h^{\rho b})$$

olarak tanımlanmıştır.

$$\Delta_i^r := \begin{bmatrix} \begin{bmatrix} \hat{\Delta}_{i,1,1}^r \\ \hat{\Delta}_{i,1,2}^r \end{bmatrix} & & 0 \\ & \ddots & \\ 0 & & \begin{bmatrix} \hat{\Delta}_{i,n_i,1}^r \\ \hat{\Delta}_{i,n_i,2}^r \end{bmatrix} \end{bmatrix}, \quad \Delta^r := \begin{bmatrix} \Delta_1^r & & 0 \\ & \ddots & \\ 0 & & \Delta_n^r \end{bmatrix},$$

$$\Delta_i^\rho := \begin{bmatrix} \begin{bmatrix} \hat{\Delta}_{1,i,1}^\rho \\ \hat{\Delta}_{1,i,2}^\rho \end{bmatrix} & & & & 0 \\ & \ddots & & & \\ & & \begin{bmatrix} \hat{\Delta}_{i-1,i,1}^\rho \\ \hat{\Delta}_{i-1,i,2}^\rho \end{bmatrix} & & \\ & & & \begin{bmatrix} \hat{\Delta}_{i+1,i,1}^\rho \\ \hat{\Delta}_{i+1,i,2}^\rho \end{bmatrix} & \\ & & & & \ddots \\ 0 & & & & \begin{bmatrix} \hat{\Delta}_{n,i,1}^\rho \\ \hat{\Delta}_{n,i,2}^\rho \end{bmatrix} \end{bmatrix},$$

$$\Delta_i^{\rho b} := \begin{bmatrix} \begin{bmatrix} \hat{\Delta}_{1,i,1}^{\rho b} \\ \hat{\Delta}_{1,i,2}^{\rho b} \end{bmatrix} & & & & 0 \\ & \ddots & & & \\ & & \begin{bmatrix} \hat{\Delta}_{i-1,i,1}^{\rho b} \\ \hat{\Delta}_{i-1,i,2}^{\rho b} \end{bmatrix} & & \\ & & & \begin{bmatrix} \hat{\Delta}_{i+1,i,1}^{\rho b} \\ \hat{\Delta}_{i+1,i,2}^{\rho b} \end{bmatrix} & \\ & & & & \ddots \\ 0 & & & & \begin{bmatrix} \hat{\Delta}_{n,i,1}^{\rho b} \\ \hat{\Delta}_{n,i,2}^{\rho b} \end{bmatrix} \end{bmatrix},$$

$$\Delta^\rho := \begin{bmatrix} \Delta_1^\rho & & 0 \\ & \ddots & \\ 0 & & \Delta_n^\rho \end{bmatrix}, \quad \Delta^{\rho b} := \begin{bmatrix} \Delta_1^{\rho b} & & 0 \\ & \ddots & \\ 0 & & \Delta_n^{\rho b} \end{bmatrix}$$

olarak tanımlansın.

$$\hat{J} := J_i \otimes \mathbf{1}_2, \quad L_r := \begin{bmatrix} \mathbf{1}_{2n_1} & & 0 \\ & \ddots & \\ 0 & & \mathbf{1}_{2n_n} \end{bmatrix}, \quad L_\rho := I_n \otimes \mathbf{1}_{2(n-1)}$$

$$L_{\rho b} := \begin{bmatrix} 0 & \hat{J}_1 & \hat{J}_1 & \hat{J}_1 & \cdots & \hat{J}_1 & \hat{J}_1 \\ \hat{J}_1 & 0 & \hat{J}_2 & \hat{J}_2 & \cdots & \hat{J}_2 & \hat{J}_2 \\ \hat{J}_2 & \hat{J}_2 & 0 & \hat{J}_3 & \cdots & \hat{J}_3 & \hat{J}_3 \\ \vdots & \vdots & \vdots & \vdots & \ddots & \vdots & \vdots \\ \hat{J}_{n-1} & \hat{J}_{n-1} & \hat{J}_{n-1} & \hat{J}_{n-1} & \cdots & \hat{J}_{n-1} & 0 \end{bmatrix}_{n \times n(n-1)},$$

$$L := [L_r \quad L_\rho \quad L_{\rho b}]$$

olarak tanımlansın.

$$U_{i,j}^r := [\frac{1}{s} e_{i,j,1}^r \quad e_{i,j,2}^r], \quad U_i^r := [U_{i,1}^r \quad U_{i,2}^r \quad \cdots \quad U_{i,n_i}^r];$$

$$U^r := [U_1^r \quad U_2^r \quad \cdots \quad U_n^r], \quad U_{i,j}^\rho := [\frac{1}{s} e_{i,j,1}^\rho \quad e_{i,j,2}^\rho],$$

$$U_i^\rho := [U_{1,i}^\rho \quad U_{2,i}^\rho \quad \cdots \quad U_{i-1,i}^\rho \quad U_{i+1,i}^\rho \quad \cdots \quad U_{n,i}^\rho],$$

$$U^\rho := [U_1^\rho \quad U_2^\rho \quad \cdots \quad U_n^\rho], \quad U_{i,j}^{\rho b} := [\frac{1}{s} e_{i,j,1}^{\rho b} \quad e_{i,j,2}^{\rho b}],$$

$$U_i^{\rho b} := [U_{1,i}^{\rho b} \quad U_{2,i}^{\rho b} \quad \cdots \quad U_{i-1,i}^{\rho b} \quad U_{i+1,i}^{\rho b} \quad \cdots \quad U_{n,i}^{\rho b}],$$

$$U^{\rho b} := [U_1^{\rho b} \quad U_2^{\rho b} \quad \cdots \quad U_n^{\rho b}], \quad U := [U^r \quad \sqrt{2}U^\rho \quad \sqrt{2}U^{\rho b}],$$

$$W_{21} := L \text{diag}(U), \quad W_{22} := \begin{bmatrix} I & 0 \\ 0 & \frac{1}{\sqrt{2}}I \\ 0 & -\frac{1}{\sqrt{2}}I \end{bmatrix}, \quad \Delta_{LTV}^\circ := \begin{bmatrix} \Delta^r & 0 & 0 \\ 0 & \Delta^\rho & 0 \\ 0 & 0 & \Delta^{\rho b} \end{bmatrix}$$

olarak tanımlanır. Burada $\hat{\Delta}$ 'lar \mathcal{L}_2 -endüklenmiş normu $\frac{1}{\sqrt{2}}$ 'den daha küçük olan keyfi doğrusal zamanla değişen sistemlerdir. Bu durumda Şekil 4.5'te gösterilmiş Δ_{LTV}° 'nın endüklenmiş \mathcal{L}_2 -normu

$$\|\Delta_{LTV}^\circ\|_\infty < 1$$

olarak ifade edilebilir.

Şimdi, Şekil 4.5'te verilen sistemin bütün $\|\Delta_{LTV}^\circ\|_\infty < 1$ için gürbüz kararlı olabilmesi için K P 'yi kararlılaştırmalı ve

$$\|W_{22}K(I + PK)^{-1}W_{21}\|_\infty \leq 1$$

koşullu sağlanmalıdır.

$$\begin{aligned} \|W_{22}K(I + PK)^{-1}W_{21}\|_\infty &= \|K(I + PK)^{-1}W_{21}\|_\infty \\ &= \|\hat{P}K(I + PK)^{-1}W_{21}\|_\infty \end{aligned}$$

$W_{22}^T W_{22} = \hat{P}^T \hat{P} = I$ olduğundan geçerlidir. Diğer yandan,

$$W_{21}(j\omega) [W_{21}(j\omega)]^* = \begin{bmatrix} d_1(\omega) & & 0 \\ & \ddots & \\ 0 & & d_n(\omega) \end{bmatrix}$$

öyle ki

$$d_i(j\omega) = \frac{1}{\omega^2} \left(\sum_{k=1}^{n_i} (e_{i,k,1}^r)^2 + 2 \sum_{k=1, k \neq i}^n (e_{k,i,1}^\rho)^2 + 2 \sum_{k=1, k \neq i}^n (e_{i,k,1}^{\rho b})^2 \right) \\ + \left(\sum_{k=1}^{n_i} (e_{i,k,2}^r)^2 + 2 \sum_{k=1, k \neq i}^n (e_{k,i,2}^\rho)^2 + 2 \sum_{k=1, k \neq i}^n (e_{i,k,2}^{\rho b})^2 \right)$$

bütün $i = 1, 2, \dots, n$ sağlanıyor.

$$f_i(s) := \frac{1}{s} \zeta_{i,1} + \zeta_{i,2}$$

olsun. Burada

$$\zeta_{i,1} := \sqrt{\sum_{k=1}^{n_i} (e_{i,k,1}^r)^2 + 2 \sum_{k=1, k \neq i}^n (e_{k,i,1}^\rho)^2 + 2 \sum_{k=1, k \neq i}^n (e_{i,k,1}^{\rho b})^2}, \\ \zeta_{i,2} := \sqrt{\sum_{k=1}^{n_i} (e_{i,k,2}^r)^2 + 2 \sum_{k=1, k \neq i}^n (e_{k,i,2}^\rho)^2 + 2 \sum_{k=1, k \neq i}^n (e_{i,k,2}^{\rho b})^2}.$$

olarak tanımlanmıştır. Bu durumda

$$\zeta_1 := \max_i (\zeta_{i,1}), \quad \zeta_2 := \max_i (\zeta_{i,2}), \quad f(s) := \frac{1}{s} \zeta_1 + \zeta_2.$$

olarak tanımlanırsa

$$\left\| \hat{P}K (I + PK)^{-1} W_{21} \right\|_\infty \leq \left\| f(s) \hat{P}K (I + PK)^{-1} \right\|_\infty.$$

ifadesi yazmak mümkündür. Bu durumda kararlılık kriteri (konservatif olarak)

$$\left\| f(s) \hat{P}K (I + PK)^{-1} \right\|_\infty \leq 1 \quad (4.7)$$

olarak yazılabilir.

4.2 \mathcal{H}_∞ Optimizasyon Problemi

Yatışkın ve geçici durum performansları iyileştirmek için [6] makalesinde alındığı gibi $W_1 := \frac{1}{s^2} I_n$ ağırlık matrisi için

$$\left\| W_1 (I + PK)^{-1} \right\|_\infty \quad (4.8)$$

normunun minimizasyonu istenebilir. (4.7) ve (4.8)'ten

$$\inf_{K \text{ kararlılaştırıyor}} \inf_P \left\| \begin{array}{c} W_1 (I + PK)^{-1} \\ f \hat{P} K (I + PK)^{-1} \end{array} \right\|_{\infty} \quad (4.9)$$

$$= \inf_{K \text{ kararlılaştırıyor}} \inf_P \left\| \begin{array}{c} W_1 \left(I + \frac{1}{s} \bar{P} e^{-Hs} \hat{P} K \right)^{-1} \\ f \hat{P} K \left(I + \frac{1}{s} \bar{P} e^{-Hs} \hat{P} K \right)^{-1} \end{array} \right\|_{\infty} = \gamma_{opt} \quad (4.10)$$

yazılabilir. \hat{P}^\dagger öyle bir matris olsun ki $\hat{P}^\dagger \hat{P} = I$. Örnek olarak (tek değil)

$$\hat{P}^\dagger = \begin{bmatrix} I & 0 & 0 \\ 0 & \sqrt{2}I & 0 \end{bmatrix} \text{ veya } \hat{P}^\dagger = \begin{bmatrix} I & 0 & 0 \\ 0 & \frac{1}{\sqrt{2}}I & -\frac{1}{\sqrt{2}}I \end{bmatrix}$$

olarak alınabilir. Bu durumda

$$\hat{K} := \hat{P}K, \quad \check{P} := \frac{1}{s} \bar{P} e^{-Hs},$$

olarak tanımlandığında optimizasyon problemi

$$\inf_{\hat{K} \text{ kararlılaştırıyor}} \inf_{\check{P}} \left\| \begin{array}{c} W_1 (I + \check{P} \hat{K})^{-1} \\ f \hat{K} (I + \check{P} \hat{K})^{-1} \end{array} \right\|_{\infty} = \gamma_{opt} \quad (4.11)$$

şeklinde yazılabilir.

$\hat{K} (I + \check{P} \hat{K})^{-1} =: Q$ olsun, o halde (4.11) optimizasyon problemi

$$\inf_{Q \in \mathcal{H}_{\infty}} \left\| \begin{array}{c} W_1 (I - \check{P} Q) \\ f Q \end{array} \right\|_{\infty} = \gamma_{opt} \quad (4.12)$$

olarak yazılabilir.

$$\begin{aligned} \check{P} &= \frac{1}{s} \begin{bmatrix} \bar{P}_r & \bar{P}_\rho & \bar{P}_{\rho b} \end{bmatrix} e^{-Hs} = \frac{1}{s} \begin{bmatrix} \bar{P}_r e^{-Hr s} & \bar{P}_\rho e^{-H\rho s} & \bar{P}_{\rho b} e^{-H\rho b s} \end{bmatrix} \\ &= \begin{bmatrix} P^r & P^\rho & P^{\rho b} \end{bmatrix}, \end{aligned}$$

$$P^r := \bar{P}_r e^{-Hr s}, \quad P^\rho := \bar{P}_\rho e^{-H\rho s}, \quad P^{\rho b} := \bar{P}_{\rho b} e^{-H\rho b s}$$

yazılabileceğinden

$$Q =: \begin{bmatrix} Q^r \\ Q^\rho \\ Q^{\rho b} \end{bmatrix}$$

\check{P} 'nin bölünmesine boyutları uyuyacak şekilde bölümsün. Bu durumda

$$\begin{aligned} &\inf_{Q \in \mathcal{H}_{\infty}} \left\| \begin{array}{c} W_1 (I - P^r Q^r - P^\rho Q^\rho - P^{\rho b} Q^{\rho b}) \\ f Q \end{array} \right\|_{\infty} \\ &\leq \inf_{Q^r \in \mathcal{H}_{\infty}} \left\| \frac{1}{3} W_1 (I - 3P^r Q^r) \right\|_{\infty} + \inf_{Q^\rho \in \mathcal{H}_{\infty}} \left\| \frac{1}{3} W_1 (I - 3P^\rho Q^\rho) \right\|_{\infty} \\ &\quad + \inf_{Q^{\rho b} \in \mathcal{H}_{\infty}} \left\| \frac{1}{3} W_1 (I - 3P^{\rho b} Q^{\rho b}) \right\|_{\infty} \quad (4.13) \end{aligned}$$

yazılabilir. Burada

$$fQ = f \begin{bmatrix} Q^r \\ 0 \\ 0 \end{bmatrix} + f \begin{bmatrix} 0 \\ Q^\rho \\ 0 \end{bmatrix} + f \begin{bmatrix} 0 \\ 0 \\ Q^{\rho b} \end{bmatrix}$$

eşitliği kullanılmıştır. Sıfır satırları optimizasyon problemini etkilemediği için kaldırılmıştır. P^r ve P^ρ blok köşegen yapısında olduklarından Q^r ve Q^ρ blok köşegen yapısında oldukları varsayımı altında, yani

$$P^r := \begin{bmatrix} P_1^r & & 0 \\ & \ddots & \\ 0 & & P_n^r \end{bmatrix}, \quad P^\rho := \begin{bmatrix} P_1^\rho & & 0 \\ & \ddots & \\ 0 & & P_n^\rho \end{bmatrix},$$

$$Q^r := \begin{bmatrix} Q_1^r & & 0 \\ & \ddots & \\ 0 & & Q_n^r \end{bmatrix}, \quad Q^\rho := \begin{bmatrix} Q_1^\rho & & 0 \\ & \ddots & \\ 0 & & Q_n^\rho \end{bmatrix},$$

$$P_i^r := \frac{1}{s} \mathbf{1}_{n_i}, \quad P_i^\rho := \frac{1}{s} \mathbf{1}_{n-1},$$

(4.13) optimizasyon probleminde

$$\begin{aligned} \inf_{Q^r \in \mathcal{H}_\infty} \left\| \begin{array}{c} \frac{1}{3} W_1 (I - 3P^r Q^r) \\ f Q^r \end{array} \right\|_\infty &= \max_i \inf_{Q_i^r \in \mathcal{H}_\infty} \left\| \begin{array}{c} \frac{1}{3} w_1 (1 - 3P_i^r Q_i^r) \\ f Q_i^r \end{array} \right\|_\infty \\ &= \max_i \gamma_{r,i}^{opt}, \quad \gamma_r^{opt} := \max_i \{ \gamma_{r,i}^{opt} \} \end{aligned}$$

$$\begin{aligned} \inf_{Q^\rho \in \mathcal{H}_\infty} \left\| \begin{array}{c} \frac{1}{3} W_1 (I - 3P^\rho Q^\rho) \\ f Q^\rho \end{array} \right\|_\infty &= \max_i \inf_{Q_i^\rho \in \mathcal{H}_\infty} \left\| \begin{array}{c} \frac{1}{3} w_1 (1 - 3P_i^\rho Q_i^\rho) \\ f Q_i^\rho \end{array} \right\|_\infty \\ &= \max_i \gamma_{\rho,i}^{opt}, \quad \gamma_\rho^{opt} := \max_i \{ \gamma_{\rho,i}^{opt} \} \end{aligned}$$

olarak yazılabilir. Burada $w_1 := \frac{1}{s^2}$ olarak tanımlanmıştır. Yukarıdaki optimizasyon problemleri (3.13) problemine denktir. Dolayısıyla bu problemlerin çözümü bir önceki bölümde ele alınan yöntemle yapılabilir.

Dikkat edilirse $P^{\rho b} = \hat{P}^{\rho b} T$ olarak yazılabilir, öyle ki $\hat{P}^{\rho b}$ blok köşegen yapısında. Burada T , $I_{n(n-1)}$ birim matrisinin sütunların permutasyonlardan oluşan matrisidir, dolayısıyla, $T^T T = T T^T = I$ ve T 'nin \mathcal{H}_∞ normuna etkisi yoktur. $\hat{Q}^{\rho b} := T Q^{\rho b}$ olsun. Bu durumda

$$\inf_{Q^{\rho b} \in \mathcal{H}_\infty} \left\| \begin{array}{c} \frac{1}{3} W_1 (I - 3P^{\rho b} Q^{\rho b}) \\ f Q^{\rho b} \end{array} \right\|_\infty = \inf_{\hat{Q}^{\rho b} \in \mathcal{H}_\infty} \left\| \begin{array}{c} \frac{1}{3} W_1 (I - 3\hat{P}^{\rho b} \hat{Q}^{\rho b}) \\ f \hat{Q}^{\rho b} \end{array} \right\|_\infty$$

olarak yazılabilir. $\hat{P}^{\rho b}$ blok köşegen yapısında olduğundan, yukarıda yapılan işlemlere benzer olarak

$$\hat{P}^{\rho b} := \begin{bmatrix} \hat{P}_1^{\rho b} & & 0 \\ & \ddots & \\ 0 & & \hat{P}_n^{\rho b} \end{bmatrix}, \quad \hat{Q}^{\rho b} := \begin{bmatrix} \hat{Q}_1^{\rho b} & & 0 \\ & \ddots & \\ 0 & & \hat{Q}_n^{\rho b} \end{bmatrix}$$

olarak tanımlanabilir ve

$$\begin{aligned}
& \inf_{\hat{Q}^{\rho b} \in \mathcal{H}_\infty} \left\| \begin{array}{c} \frac{1}{3} W_1 (I - 3\hat{P}^{\rho b} \hat{Q}^{\rho b}) \\ f \hat{Q}^{\rho b} \end{array} \right\|_\infty \\
&= \max_i \inf_{\hat{Q}_i^{\rho b} \in \mathcal{H}_\infty} \left\| \begin{array}{c} \frac{1}{3} w_1 (1 - 3\hat{P}_i^{\rho b} \hat{Q}_i^{\rho b}) \\ f \hat{Q}_i^{\rho b} \end{array} \right\|_\infty \\
&= \max_i \gamma_{\rho b, i}^{opt}, \quad \gamma_\rho^{opt} := \max_i \{ \gamma_{\rho, i}^{opt} \}
\end{aligned}$$

optimizasyon problemlerine dönüştürülebilir. Bu problemlerin çözüm yolu (3.13) problemdekine denktir.

$$\hat{K} = Q (I - \check{P}Q)^{-1} =: \begin{bmatrix} \hat{K}^r \\ \hat{K}^\rho \\ \hat{K}^{\rho b} \end{bmatrix}$$

olarak tanımlansın.

$$\check{P}Q = P^r Q^r + P^\rho Q^\rho + P^{\rho b} Q^{\rho b} = P^r Q^r + P^\rho Q^\rho + \hat{P}^{\rho b} \hat{Q}^{\rho b}$$

köşegen yapısındadır, dolayısıyla $I - \check{P}Q$ da köşegen yapısındadır. Bu yüzden \hat{K} 'nin yapısı Q 'nun yapısına denktir, yani

$$\hat{K}^r = \begin{bmatrix} \hat{K}_1^r & & 0 \\ & \ddots & \\ 0 & & \hat{K}_n^r \end{bmatrix}, \quad \hat{K}^\rho = \begin{bmatrix} \hat{K}_1^\rho & & 0 \\ & \ddots & \\ 0 & & \hat{K}_n^\rho \end{bmatrix}.$$

Burada \hat{K}_i^r , $n_i \times 1$ ve \hat{K}_i^ρ $(n-1) \times 1$ boyutlu vektörlerdir.

$$\hat{P}^\dagger = \begin{bmatrix} I_m & 0 & 0 \\ 0 & \sqrt{2}I_{n(n-1)} & 0 \end{bmatrix}$$

seçimi için

$$K = \hat{P}^\dagger \hat{K} = \begin{bmatrix} K^r \\ K^\rho \end{bmatrix}, \quad K^r = \begin{bmatrix} K_1^r & & 0 \\ & \ddots & \\ 0 & & K_n^r \end{bmatrix}, \quad K^\rho = \begin{bmatrix} K_1^\rho & & 0 \\ & \ddots & \\ 0 & & K_n^\rho \end{bmatrix}$$

yapısındadır, bu durumda

$$K^r = \hat{K}^r, \quad K^\rho = \sqrt{2} \hat{K}^\rho$$

olarak yazılabilir. Böyle bir denetleyici seçimi bütün gecikme belirsizliklere karşın plantı gürbüz kararlılaştırıyor ve blok köşegen yapısından dolayı Şekil 4.1'de gösterildiği gibi gerçekleştirilebilir. Denetleyici $r_{i,j}$ ve $\rho_{k,i}$ ($i = 1, 2, \dots, n$, $k = 1, 2, \dots, n$, $k \neq i$, $j = 1, 2, \dots, n_i$) hesaplanması için q_i bilgisine ihtiyaç duymaktadır. Şekil 4.1'de tanımlanan K_i , $K_i := \begin{bmatrix} K_i^r \\ K_i^\rho \end{bmatrix}$ olarak tanımlanır.

Bir önceki bölümde benzer hesaplamaları yapılırsa

$$Q = \Phi (I + Z (\bar{L} (\Lambda_\alpha - \Phi^T \Omega^T \Omega \Phi) e^{-Hs} - F_s))^{-1} Z \Phi^T \bar{P}^T L,$$

$$K = \hat{P}^\dagger \Phi [I + Z (\bar{L} (\Lambda_\alpha - \Phi^T \Omega^T \Omega \Phi) e^{-Hs} - \frac{1}{s} \Phi^T \bar{P}^T \bar{P} \Phi e^{-\Phi^T H \Phi s} - F_s)]^{-1} Z \Phi^T \bar{P}^T L$$

olarak bulunabilir. Burada

$$\Phi := \begin{bmatrix} I & 0 & 0 \\ 0 & I & 0 \\ 0 & 0 & T^T \end{bmatrix}, \quad \Omega := \begin{bmatrix} \bar{P}_r & 0 & 0 \\ 0 & \bar{P}_\rho & 0 \\ 0 & 0 & P_{\rho b} \end{bmatrix}, \quad \bar{L} := \frac{s + \varepsilon}{s^2} I_{\bar{m}}$$

$$Z := \begin{bmatrix} Z^r & 0 & 0 \\ 0 & Z^\rho & 0 \\ 0 & 0 & \hat{Z}^{\rho b} \end{bmatrix}, \quad Z^r := \begin{bmatrix} Z_1^r & & 0 \\ & \ddots & \\ 0 & & Z_n^r \end{bmatrix},$$

$$Z_i^r := \begin{bmatrix} Z_{i,1}^r & & 0 \\ & \ddots & \\ 0 & & Z_{i,n_i}^r \end{bmatrix}, \quad Z_{i,k}^r := \Psi_{i,12,k}^r (\Psi_{i,22,k}^r)^{-1},$$

$$\begin{bmatrix} \Psi_{i,11,k}^r & \Psi_{i,12,k}^r \\ \Psi_{i,21,k}^r & \Psi_{i,22,k}^r \end{bmatrix} := W_{i,r,k}^{-1}, \quad L := \frac{s + \varepsilon}{s}$$

ve $W_{i,r,k}$, (3.15) problemine benzer kurulacak J -spektral probleminin çözümüdür.

$$Z^\rho := \begin{bmatrix} Z_1^\rho & & 0 \\ & \ddots & \\ 0 & & Z_n^\rho \end{bmatrix}, \quad Z_i^\rho := \begin{bmatrix} Z_{i,1}^\rho & & 0 \\ & \ddots & \\ 0 & & Z_{i,n}^\rho \end{bmatrix},$$

$$Z_{i,k}^\rho := \Psi_{i,12,k}^\rho (\Psi_{i,22,k}^\rho)^{-1}, \quad \begin{bmatrix} \Psi_{i,11,k}^\rho & \Psi_{i,12,k}^\rho \\ \Psi_{i,21,k}^\rho & \Psi_{i,22,k}^\rho \end{bmatrix} := W_{i,\rho,k}^{-1}$$

ve $W_{i,\rho,k}$, (3.15) problemine benzer kurulacak J -spektral probleminin çözümüdür. Benzer olarak,

$$\hat{Z}^{\rho b} := \begin{bmatrix} \hat{Z}_1^{\rho b} & & 0 \\ & \ddots & \\ 0 & & \hat{Z}_n^{\rho b} \end{bmatrix}, \quad \hat{Z}_i^{\rho b} := \begin{bmatrix} \hat{Z}_{i,1}^{\rho b} & & 0 \\ & \ddots & \\ 0 & & \hat{Z}_{i,n}^{\rho b} \end{bmatrix},$$

$$\hat{Z}_{i,k}^{\rho b} := \Psi_{i,12,k}^{\rho b} (\Psi_{i,22,k}^{\rho b})^{-1}, \quad \begin{bmatrix} \Psi_{i,11,k}^{\rho b} & \Psi_{i,12,k}^{\rho b} \\ \Psi_{i,21,k}^{\rho b} & \Psi_{i,22,k}^{\rho b} \end{bmatrix} := W_{i,\rho b,k}^{-1}$$

ve $W_{i,\rho b,k}$, (3.15) problemine benzer kurulacak J -spektral probleminin çözümüdür.

$$F_s := \begin{bmatrix} F_s^r & 0 & 0 \\ 0 & F_s^\rho & 0 \\ 0 & 0 & \hat{F}_s^{\rho b} \end{bmatrix}, \quad F_s^r := \begin{bmatrix} F_{s,1}^r & & 0 \\ & \ddots & \\ 0 & & F_{s,n}^r \end{bmatrix},$$

$F_{s,k}^r$ ise k . kurulacak problemine ait birim darbe yanıtı sonlu olan transfer matrisidir ve (3.16) ifadesi ile tanımlanan gerçekleşmesine sahiptir. Benzer olarak F_s^ρ ve $\hat{F}_s^{\rho b}$ için de söylenebilir.

$$F_s^\rho := \begin{bmatrix} F_{s,1}^\rho & & 0 \\ & \ddots & \\ 0 & & F_{s,n}^\rho \end{bmatrix}, \quad \hat{F}_s^{\rho b} := \begin{bmatrix} \hat{F}_{s,1}^{\rho b} & & 0 \\ & \ddots & \\ 0 & & \hat{F}_{s,n}^{\rho b} \end{bmatrix}$$

ve burada $F_{s,k}^\rho$ ve $\hat{F}_{s,k}^{\rho b}$ kurulacak olan k . problemine ait birim darbe yanıtı sonlu olan transfer matrisidir ve (3.16) ifadesi ile tanımlanan gerçekleşmesine sahiptir.

$$\Lambda_\alpha := \begin{bmatrix} \Lambda_\alpha^r & 0 & 0 \\ 0 & \Lambda_\alpha^\rho & 0 \\ 0 & 0 & \hat{\Lambda}_\alpha^{\rho b} \end{bmatrix}, \quad \Lambda_\alpha^r := \begin{bmatrix} \alpha_1^r & & 0 \\ & \ddots & \\ 0 & & \alpha_n^r \end{bmatrix}$$

$$\alpha_i^r := \begin{bmatrix} \frac{1}{\alpha_{i,1}^r} & & 0 \\ & \ddots & \\ 0 & & \frac{1}{\alpha_{i,n_i}^r} \end{bmatrix}, \quad \Lambda_\alpha^\rho := \begin{bmatrix} \alpha_1^\rho & & 0 \\ & \ddots & \\ 0 & & \alpha_n^\rho \end{bmatrix}$$

$$\alpha_i^\rho := \begin{bmatrix} \frac{1}{\alpha_{i,1}^\rho} & & 0 \\ & \ddots & \\ 0 & & \frac{1}{\alpha_{i,n}^\rho} \end{bmatrix}, \quad \hat{\Lambda}_\alpha^{\rho b} := \begin{bmatrix} \hat{\alpha}_1^{\rho b} & & 0 \\ & \ddots & \\ 0 & & \hat{\alpha}_n^{\rho b} \end{bmatrix}$$

$$\hat{\alpha}_i^{\rho b} := \begin{bmatrix} \frac{1}{\hat{\alpha}_{i,1}^{\rho b}} & & 0 \\ & \ddots & \\ 0 & & \frac{1}{\hat{\alpha}_{i,n}^{\rho b}} \end{bmatrix}$$

olarak tanımlanır burada α ve $\hat{\alpha}$ 'lar öncelik (paylama) katsayılarıdır. Burada notasyonda “ $\hat{\ }^{\rho b}$ ” sembolü $\hat{Q}^{\rho b}$ 'ye ait olduğunu göstermek amacıyla kullanılmıştır.

5 SONUÇ

Bu çalışmada, yüksek hızlı veri iletişim ağının denetimi için, denetlenen değişken olarak kuyruk uzunluğu seçilmiştir. Bu seçimle veri iletim oranının denetimi de sağlanmaktadır. İlk alınan sistem ile matematiksel olarak gecikme içeren sistemlerde \mathcal{H}_∞ denetim teorisinin nasıl uygulanabileceği gösterilmektedir. Daha sonra tek tıklı düğümden (geçitten) oluşan ağ yapısı ele alınmıştır. Böyle bir yapı [6] makalesinde de yer almıştır. Burada 3. bölümde ele alınan problem J -spektral ayrıştırma tekniği kullanılarak çözülmüştür. Aynı problem, [6] makalesinde [36]'deki teknikler kullanılarak çözülmüştür.

Daha sonra çok tıklı geçit durumu ele alınmıştır. Bir çok çalışmada tek tıklı geçit içeren ağlar için tasarlanan denetleyicinin çok tıklı geçit olduğu durumlarda da kullanılabileceği söylenmektedir (örnek olarak [9, 24] çalışmaları verilebilir). Bu çalışmada, dışmerkezli denetim taban olarak alındığında, matematiksel olarak tek tıklı geçit olduğu durumdaki çözümden çok tıklı geçit durumlarına nasıl geçebileceği incelenmiştir. Tek tıklı geçit içeren ağ modeline benzer bir model kurulmuştur. Böyle bir model için \mathcal{H}_∞ denetim mekanizmalarının nasıl uygulanabileceği gösterilmiştir ve meydana gelen denetleyicinin ifadesi verilmiştir.

Bu çalışmada, her zaman kaynak-hedef çifti arasındaki yolun optimal yol olduğu kabul edilmiştir. Son bölümde çok tıklı geçit problemi, n (tıklı geçit sayısı) adet tek tıklı geçit içeren probleme dönüştürülmüştür. Böyle bir yapıyı elde etmek amacıyla \hat{P} kare olmayan matrisi, denetleyicinin bir parçası gibi işlemlere konulmuştur. \hat{P} 'nin sol tersi tek olmadığından, tersinin belli bir seçim için dışmerkezli denetleyici tasarlanmıştır.

Diğer yandan, çok tıklı geçit olması durumunda, her kanala ait ağırlık fonksiyonlarındaki parametrelerin nasıl seçilebileceği, dönüştürülmüş her problemin, 3.2.2 kısmındaki gibi nasıl parçalanacağı ve 3.2.1 kısmında ele alınan problem yapısına nasıl dönüştürüleceği de gösterilmiştir.

J -spektral tekniği kullanıldığında, tek gecikme (bütün girdiler eşit gecikmeye sahiptir) içeren sistemlere ait optimizasyon problemi, rasyonel transfer matrislere sahip olan probleme RMM teknikleri ile dönüştürebilmektedir. Ancak, bu teknik kullanıldığında sonlu darbe yanıtı olan F_s 'nin seçiminin birden fazla farklı gecikmeye sahip sistemlerde genel olarak nasıl yapılabileceği halen bilinmemektedir.

Burada verilen algoritma için denetleyici tasarlanırken anahtar sayısının bilinmesi gerekliliği bir dezavantajdır.

Bölüm 4'te tanımlanan çok tıklı geçit durumunda, veri iletişim ağının modeline ait gürbüz denetim araçları kullanılarak alt optimizasyon problemi, çözülebilen optimizasyon problemlerine dönüştürülerek çözülmüştür. Bu par-

çalama tekniđi Bölüm 3'te de yapılmıř ve iyi sonuçlar verdiđini simulasyon örnekleriyle göstermiřtir. Bölüm 4'te tasarlanan denetleyici için simulasyonlar yapılabilir. Ayrıca daha deđiřik protokol algoritmaları düzenlenerek ([9] makalesinde olduđu gibi) Bölüm 4'te tasarlanan denetleyicinin daha basit bir yapısı elde edilebilir. Optimal yolun nasıl seçileceđi ve bunun denetleyici tasarımında nasıl etkisi olabileceđi (optimizasyon probleminde hangi kriterler baz olarak alınmalıdır ki tasarlananan denetleyici hem mevcut belirsizliklere karřın gürbüz hem de optimal yol seçilmiř olsun) incelemeleri yapılabilir.

KAYNAKLAR

- [1] ALTMAN, E., AND BAŞAR, T. Multi-user rate-based flow control: Distributed game-theoretic algorithms. *Proc. of 36th Conference on Decision and Control, San Diego* (1997), 2916–2921.
- [2] ALTMAN, E., AND BAŞAR, T. Multi-user rate-based flow control. *Research report UILU-ENG-96-2227, DC-176, Univ. of Illinois at Urbana-Champaign* (Oct. 1996).
- [3] ALTMAN, E., BAŞAR, T., AND HOVAKIMYAN, N. Worst-case rate-based flow control with an ARMA model of the available bandwidth. *Analysis of Dynamic Games 6* (2000), 3–29.
- [4] ALTMAN, E., BAŞAR, T., AND SRIKANT, R. Congestion control as a stochastic control problem with action delays. *Automatica* (December 1999), 1937–1950.
- [5] ATAŞLAR, B., ÖZBAY, H., AND İFTAR, A. Comparison of \mathcal{H}^∞ and μ -synthesis based flow controllers for high-speed networks with multiple time delays. *to appear in 2001 American Control Conference* (2001).
- [6] ATAŞLAR, B., QUET, P.-F., İFTAR, A., ÖZBAY, H., KANG, T., AND KALYANARAMAN, S. Robust rate-based flow controllers for high-speed networks: The case of uncertain time-varying multiple time-delays. *Proc. of the American Control Conference, Chicago, IL* (June 2000), 2804–2808.
- [7] BALL, J. A., DAY, M. V., AND KACHROO, P. Robust feedback control of single server queueing system. *Mathematics of Control, Signal and Systems 12* (1999), 307–345.
- [8] BENMOHAMED, L., AND MEERKOV, S. Feedback control of congestion in store-and-forward datagram networks: The case of a single congested node. Tech. Rep. CGR-92-12, Systems Science and Engineering Division, Department of Electrical Engineering and Computer Science, The University of Michigan, August 1992.
- [9] BENMOHAMED, L., AND MEERKOV, S. Feedback control of congestion in packet switching networks: The case of multiple congestion nodes. *in Proceedings of the American Control Conference, Baltimore MD* (June 1994), 1104–1108.

- [10] BLIMAN, P. A. Extension of Popov absolute stability criterion to non-autonomous systems with delays. *International Journal of Control* 73 (2000), 1349–1361.
- [11] CALLIER, F. M., AND WINKIN, J. J. The spectral factorization problem for multivariable distributed parameter systems. *Journal of Integral Equations and Operator Theory* 34 (1999), 270–292.
- [12] CAVENDISH, D., MASCOLO, S., AND GERLA, M. Rate based congestion control for multicast ABR traffic. *Proceedings of Globecom96* (November 1996), 1114–1118. England.
- [13] CAVENDISH, D., MASCOLO, S., AND GERLA, M. SP-EPRCA: an ATM rate based congestion control scheme based on a Smith predictor. Tech. rep., UCLA, 1997.
- [14] CURTAIN, R. F., AND ZHOU, Y. A weighted mixed-sensitivity \mathcal{H}_∞ -control design for irrational transfer matrices. *IEEE Transactions on Automatic Control* 41, 9 (1996), 1312–1320.
- [15] DYM, H., GEORGIU, T., AND SMITH, M. Explicit formulas for optimally robust controllers for delay systems. *IEEE Trans. Aut. Control* 40 (1995), 656–669.
- [16] FERON, E., BALAKRISHNAN, V., AND BOYD, S. Design of stabilizing state feedback for delay systems via convex optimization. *Proceedings of 31st Conference on Decision and Control, Tucson, Arizona* (December 1992), 147–148.
- [17] FOIAS, C., ÖZBAY, H., AND TANNENBAUM, A. *Robust Control of Infinite Dimension Systems Frequency Domain Methods*. Springer-Verlag, 1996.
- [18] FRANCIS, B. *A Course in \mathcal{H}_∞ Control Theory*. Springer-Verlag, 1987.
- [19] HOLOHAN, A. M., AND MEINSMA, G. On inverse problems in 2-norm and infinity-norm controller synthesis. *Proceedings of the CDC99* (1999), 3627–3632.
- [20] İFTAR, A., AND DAVISON, E. A decentralized discrete-time controller for dynamic routing. *International Journal of Control, Vol 69. No. 5* (1998), 599–632.
- [21] JAIN, R. Congestion control and traffic management in ATM networks: Recent advances and survey. *Computer Networks and ISDN Systems* 28, 13 (October 1996), 1723–1738. <ftp://ftp.netlab.ohio-state.edu/pub/jain/papers/cnis.ps>.
- [22] KOJIMA, A., AND ISHIJIMA, S. Explicit formulas for operator Riccati equations arising in \mathcal{H}^∞ control with delays. *Proceedings of the 34th Conference on Decision and Control, New Orleans, LA* (December 1995), 4175–4181.

- [23] KWAKERNAAK, H. Robust control and \mathcal{H}_∞ -optimization — tutorial paper. *Automatica*, Vol. 29 No. 2, (1993), 255–273.
- [24] MASCOLO, S. Smith's principle for congestion control in high-speed data networks. *IEEE Transactions on Automatic Control* 45, 2 (February 2000), 358–346.
- [25] MEINSMA, G. *Frequency Domain Methods in \mathcal{H}_∞ Control*. PhD thesis, Department of Applied Mathematics, University of Twente, The Netherlands, 1993.
- [26] MEINSMA, G. J -spectral factorization and equalizing vectors—the extended remix. Tech. Rep. EE9404, Department of Electrical and Computer Engineering, The University of Newcastle, NSW 2308, Australia, 1994.
- [27] MEINSMA, G. Unstable and nonproper weights in \mathcal{H}_∞ control. *Automatica* 31, 11 (1995), 1655–1658.
- [28] MEINSMA, G., AND ZWART, H. On \mathcal{H}_∞ control for dead-time systems. *IEEE Trans. Aut. Control* 45 (2000), 272–285.
- [29] MIRKIN, L. On the extraction of dead-time controllers from delay-free parametrizations. in *Proc. LTDS'2000 (Ancona, Italy)*, 157–162.
- [30] MIRKIN, L., AND RASKIN, N. State-space parametrization of all stabilizing dead-time controllers. *Proceedings of the 38th Conference on Decision and Control, Phoenix, AZ* (1999), 221–226.
- [31] OUCHERIAH, S. Decentralized stabilization of large scale systems with multiple delays in the interconnections. *International Journal of Control* 73 (2000), 1213–1223.
- [32] RODRIGUES, A. A. \mathcal{H}^∞ sensitivity and mixed-sensitivity optimization for stable multivariable infinite-dimensional systems. *Proceedings of 34th Conference on Decision and Control, New Orleans, LA* (December 1995), 4169–4174.
- [33] ROHRS, C., AND BERRY, R. A linear control approach to explicit rate feedback in ATM networks. *INFOCOM'97. Sixteenth Annual Joint Conference of the IEEE Computer and Communications Societies. Driving the Information Revolution* (April, 1997), 277–282. Kobe, Japan.
- [34] TADMOR, G. The standard \mathcal{H}_∞ problem in system with a single input delay. *IEEE Transactions on Automatic Control* 45, 3 (2000), 382–397.
- [35] TOKER, O., AND ÖZBAY, H. Gap metric problem for MIMO delay systems: Parametrization of all suboptimal controllers. *Automatica* 31, 7 (1995), 931–940.

- [36] TOKER, O., AND ÖZBAY, H. \mathcal{H}_∞ optimal and suboptimal controllers for infinite dimensional SISO plants. *IEEE Transactions on Automatic Control* 40, 4 (1995), 751–755.
- [37] VARGA, A., AND KATAYAMA, T. Computation of J -inner-outer factorization of rational matrices. *International Journal of Robust and Nonlinear Control* 8 (1998), 245–263.
- [38] ZHOU, K., AND DOYLE, J. *Essentials of Robust Control*. Prentice Hall Inc., 1998.
- [39] ZHOU, K., J.C.DOYLE, AND GLOVER, K. *Robust and Optimal Control*. Prentice Hall Inc., 1995.

EKLER:

Ek-1: SISO ve Durum 1-11 İin Denetleyici Parametrelerini Hesaplayan Makro

Ek-2: Optimal γ 'yı Hesaplayan Makro

Ek-3: Hamiltonian Matrisini Hesaplayan Makro

Ek-4: Verilen Frekansta Transfer Fonksiyonunun Deęerini Hesaplayan Makro

Ek-5: LTI Sistemin Gereklenmesini Bulan Makro

Ek-1: SISO ve Durum 1-11 İçin Denetleyici Parametrelerini Hesaplayan Makro

```

function [Pr,Zhat,Fs,Lbir,LbarG,h] = misosim11,
% enter parameters,
choice = menu('Simulations','Case 1','Case 2','Case 3','Case 4','Case 5',...
'Case 6','Case 7','Case 8','Case 9','Case 10','Case 11',...
'Case SISO','Cancel');
switch choice
case 1
sun = {'h','eta','deltaplus','interval','frequency range','epsilon',...
'tolerans','add to gamma','Sampling time','fair'};
defval = {'[1 3]','[0.166 0.166]','[1 1]','[2,8]','logspace(-3,2,500)','1',...
'1e-14' '1e-4','min(h)/10','[1/2 1/2]'};
case 2
sun = {'h','eta','deltaplus','interval','frequency range','epsilon',...
'tolerans','add to gamma','Sampling time','fair'};
defval = {'[2 2]','[0.166 0.166]','[4 1]','[2,8]','logspace(-3,2,500)','1',...
'1e-14' '1e-4','min(h)/10','[1/3 2/3]'};
case 3
sun = {'h','eta','deltaplus','interval','frequency range','epsilon',...
'tolerans','add to gamma','Sampling time','fair'};
defval = {'[2 2]','[0.166 2.906]','[1 1]','[2,8]','logspace(-3,2,500)','1',...
'1e-14' '1e-4','min(h)/10','[1/2 1/2]'};
case 4
sun = {'h','beta','betaf','deltaplus','interval','frequency range','epsilon',...
'tolerans','add to gamma','Sampling time','fair'};
defval = {'[1 2]','[0.1 0.1]','[0.01 0.01]','[2 3]','[1,10]',...
'logspace(-3,2,500)','1','1e-14' '1e-4','min(h)/10','[1/3 2/3]'};
case 5
sun = {'h','beta','betaf','deltaplus','interval','frequency range','epsilon',...
'tolerans','add to gamma','Sampling time','fair'};
defval = {'[1 2]','[0.1 0.1]','[0.01 0.01]','[2 3]','[1,10]',...
'logspace(-3,2,500)','1','1e-14' '1e-4','min(h)/10','[1/3 2/3]'};
case 6
sun = {'h','beta','betaf','deltaplus','interval','frequency range','epsilon',...
'tolerans','add to gamma','Sampling time','fair'};
defval = {'[1 2]','[0.05 0.05]','[0.005 0.005]','[0.5 1]','[1,10]',...
'logspace(-3,2,500)','1','1e-14' '1e-4','min(h)/10','[1/3 2/3]'};
case 7
sun = {'h','beta','betaf','deltaplus','interval','frequency range','epsilon',...
'tolerans','add to gamma','Sampling time','fair'};
defval = {'[1 2]','[0.7 0.7]','[0.2 0.2]','[8 10]','[1,15]',...
'logspace(-3,2,500)','1','1e-14' '1e-4','min(h)/10','[1/3 2/3]'};

```

```

case 8
sun = {'h','beta','betaf','deltaplus','interval','frequency range','epsilon',...
'tolerans','add to gamma','Sampling time','fair'};
defval = {'[1 2]','[0.1 0.1]','[0.01 0.01]','[2 3]','[1,10]',...
'logspace(-3,2,500)','1','1e-14' '1e-4','min(h)/10','[1/3 2/3]'};
case 9
sun = {'h','beta','betaf','deltaplus','interval','frequency range','epsilon',...
'tolerans','add to gamma','Sampling time','fair'};
defval = {'[1 2]','[0.1 0.1]','[0.01 0.01]','[2 3]','[1,10]',...
'logspace(-3,2,500)','1','1e-14' '1e-4','min(h)/10','[1/3 2/3]'};
case 10
sun = {'h','beta','betaf','deltaplus','interval','frequency range','epsilon',...
'tolerans','add to gamma','Sampling time','fair'};
defval = {'[1.1 2.15 1.1 2.12 2.2]','[0.1 0.2 0.1 0.2 0.2]',...
'[0.01 0.02 0.01 0.02 0.02]','[2 3 2 3 3]','[1,10]',...
'logspace(-3,2,500)','1',...
'1e-14' '1e-4','min(h)/10','[0.2 0.1 0.4 0.2 0.1]'};
case 11
sun = {'h','beta','betaf','deltaplus','interval','frequency range','epsilon',...
'tolerans','add to gamma','Sampling time','fair'};
defval = {'[1.1 2.15 1.1 2.12 2.2]','[0.1 0.2 0.1 0.2 0.2]',...
'[0.01 0.02 0.01 0.02 0.02]','[2 3 2 3 3]','[1,10]',...
'logspace(-3,2,500)','1',...
'1e-14' '1e-4','min(h)/10','[0.2 0.1 0.4 0.2 0.1]'};
case 12
sun = {'h','eta','deltaplus','interval','frequency range','epsilon','tolerans',...
'add to gamma','Sampling time','fair'};
defval = {'1.5','0.166','1','[4,8]','logspace(-3,2,500)','1.2','1e-14',...
'1e-4','0.1','1'};
otherwise
break
end
mes = 'Enter the initial parameters';
quest = inputdlg(sun,mes,1,defval,'on');
% check << cancel >> preset
if isempty(quest),break,end
if or(choice == 1, or(choice == 2, or(choice == 3, choice == 12))),
% set values
h = eval(quest{1});
k = length(h);
eta = eval(quest{2});
deltaplus = eval(quest{3});
interval = eval(quest{4});
freqrang = eval(quest{5});
epsilon = eval(quest{6});
tol = eval(quest{7});
gadd = eval(quest{8});

```

```

Ts = eval(quest{9});
alpha = eval(quest{10});
% calculate weights ( for W2 )
e1 = eta;
e2 = 2*deltaplus;
else
% set values
h = eval(quest{1});
k = length(h);
beta = eval(quest{2});
betaf = eval(quest{3});
deltaplus = eval(quest{4});
interval = eval(quest{5});
freqrang = eval(quest{6});
epsilon = eval(quest{7});
tol = eval(quest{8});
gadd = eval(quest{9});
Ts = eval(quest{10});
alpha = eval(quest{11});
% calculate weights ( for W2 )
eta = (beta+betaf)./sqrt(1-beta);
e1 = eta;
e2 = 2*deltaplus;
end
% set weight
xi1 = sqrt(2*sum(e1));
xi2 = sqrt(2*sum(e2));
% set Jhat
Jhat = [1 0; 0 -1];
% realization of rational part of G_N
%
A = [ -epsilon, 0, 0;...
0, 0, 1;...
0, -epsilon^2, -2*epsilon ];
B = [ 1 0;...
0 0;...
0 1];
% initialize AF, BF1, BF2, CF, AZ, BZ, CZ, Dta
AF = []; BF1 = []; BF2 = []; CF = []; AZ = []; BZ = []; CZ = [];
Dta = [ ];
for n = 1:k,
C = [ 0 alpha(n) 0;...
xi1-epsilon*xi2, 0 0;...
1/alpha(n), -epsilon^2, -2*epsilon];
D = [ 0, 0;...
xi2, 0;...
0 1];

```

```

% calculate gamma
g = gsearch0(A,B,C,D,h(n),interval);
g = g+gadd; %set new gamma,
% calculate new hamiltonian matrix
[Hg,Ah,D11hat,D22hat,Ct,Bt,M,iM,B1hat,C2hat] =...
    hamilton0(A,B,C,D,g,h(n));

% calculate X
[X1,X2] = ric_schr(Hg);
X = X2/X1;
% calculate realization of  $W_r, i$ 
Aw = A;
Bw = [eye(3), zeros(3)]*Bt;
Dw = [sqrt(D11hat),0;...
0,sqrt(-D22hat)];
Cw = Jhat*inv(Dw.)*Ct*[eye(3);X];
% calculate realization of  $F_s, i$ 
%  $F_s = \exp(-h*s)*F1s - F2s$ ;
Af = Ah;
Bf1 = B1hat;
Bf2 = iM*B1hat;
Cf = inv(D22hat)*C2hat;
Df = 0;
AF = mdiag(AF,Af);
BF1 = mdiag(BF1,Bf1);
BF2 = mdiag(BF2,Bf2);
CF = mdiag(CF,Cf);
% calculate realization of inverse of  $W_r$ , let  $W_r^{-1} = iW_r$ 
Diw = inv(Dw);
Aiw = Aw - Bw*Diw*Cw;
Biw = -Bw*Diw;
Ciw = Diw*Cw;
% calculate partition of inverse of  $W_r$ 
Bliw = Biw(:,1);
B2iw = Biw(:,2);
Cliw = Ciw(1,:);
C2iw = Ciw(2,:);
D11iw = Diw(1,1);
% D12iw = 0;
% D21iw = 0;
D22iw = Diw(2,2);
% calculate realization of  $\Psi_{12}*\Psi_{22}^{-1}$ ,
% where  $iW_r = [\Psi_{11},\Psi_{12}; \Psi_{21},\Psi_{22}]$ 
% let  $Zibar = \Psi_{12}*\Psi_{22}^{-1}$ , then realization of  $Zibar$  is
Az = Aiwi - B2iw*inv(D22iw)*C2iw;
Bz = B2iw*inv(D22iw);
Cz = Cliw;
Dz = 0;

```

```

AZ = mdiag(AZ,Az);
BZ = mdiag(BZ,Bz);
CZ = mdiag(CZ,Cz);
Dta = mdiag(Dta,h(n)*eye(6));
end
DZ = zeros(k);
DF = zeros(k);
% set  $Gd1*Gd2^{-1} = (s+\epsilon)/s = 1+\epsilon/s$ ;
% let  $L = Gd1*Gd2^{-1}$ , then realizatin of L is
Al = 0;
Bl = 1;
Cl = epsilon;
Dl = 1;
%  $LL = (s+\epsilon)/s^2*I_k$ , Lbar
All = kron(eye(k),[0 1; 0 0]);
Bll = kron(eye(k),[0;1]);
Cll = kron(eye(k),[epsilon 1]);
Dll = zeros(k);
% set same LTI systems needs for simulation in Simulink
% set plant,  $P = 1/s*ones(1,k)$ , rational part
Ap = 0;
Dp = ones(1,k);
Cp = 1;
Bp = zeros(1,k);
% set
Lam = diag(1./alpha);
bir = ones(1,k);
% set variables for Simulink
Zhat = ss(AZ,BZ,CZ,DZ);
Pr = ss(Ap,Bp,Cp,Dp);
Lbir = bir'*ss(Al,Bl,Cl,Dl);
LbarG = ss(All,Bll,Cll,Dll)*(Lam-bir'*bir);
LbarG.inputdelay = h';
Fs1 = ss(AF,BF1,CF,DF);
Fs1.inputdelay = h';
Fs2 = ss(AF,BF2,CF,DF);
Fs = c2d(Fs1,Ts)-c2d(Fs2,Ts);
Fs = minreal(Fs);
if or(choice == 2, choice == 3)
Fs = minreal(Fs,1e-4);
end
if k == 5, Fs = minreal(Fs,1e-5);end
% initialize controller K
K = [ ];
% set frequency range,
% now we may be compute the frequency response of Controller,
%  $K = L*Khat*(1-Fs*Khat)^{-1}$ 

```

```

% Fs = exp(-h*s)*F1s - F2s;
for s = j*freqrang,
ZBAR = tfeval(AZ,BZ,CZ,zeros(k),s);
FS = tfeval(AF,expm(-s*Dta)*BF1-BF2,CF,zeros(k),s);
LL = tfeval(AI,BI,CI,DI,s);
LBAR = tfeval(AII,BII,CII,DII,s);
%L01 = tfeval(-epsilon,1,1,0,s);
K1 = inv(eye(k)+ZBAR*(LBAR*(Lam-bir'*bir)*expm(-s*diag(h))-FS...
        ))*ZBAR*bir'*LL;

K = [K, K1];
end
% plotting Bode of Controller
figure('name' , 'Controller K','numbertitle','off');
subplot(2,1,1);
semilogx(freqrang,20*log10(abs(K)))
title('Denetleyici Bode cizimi');
xlabel('\omega');
ylabel('K" nin genligi, dB');
grid on;
subplot(2,1,2);
semilogx(freqrang,phase(K)*180/pi)
xlabel('\omega');
ylabel('K" nin fazi, derece');
grid on;

```


Ek-2: Optimal γ 'yı Hesaplayan Makro

```

function g = gsearch0(A,B,C,D,h,interval),
lint = length(interval);
g_low = interval(1);
g_high = interval(lint);
telmax = 50;
button = 0;
while button ~= 3
subplot(1,1,1);
plot([g_low g_high],[0 0],'g');
title(' Mouse: button1 = zoom in, button2 = zoom out, button3 = exit');
hold on;
dataplot = zeros(1,telmax);
datax = zeros(1,telmax);
for tel = 1:telmax;
g = g_low+(tel-1)*(g_high-g_low)/(telmax-1);
[Hg,Ah,D11hat,D22hat,Ct,Bt,M,iM,B1hat,C2hat] =...
        hamilton0(A,B,C,D,g,h);
if max(eig(D22hat)) >= 0; % then D22 has wrong signature
plot(g,0,'rx');
dataplot(tel) = 0;
datax(tel) = g;
%pause;
else
epp = 1e-40;
[X1,X2,ricfail,reig_min] = ric_schr(Hg,epp);
if ricfail == 0
Cc = chol(X1'*X1+X2'*X2);
X1 = X1/Cc; % normalized
plot(g,min(svd(X1)),'g+');
dataplot(tel) = min(svd(X1));
datax(tel) = g;
else
plot(g,0,'r*');
dataplot(tel) = 0;
datax(tel) = g;
%pause;
end
end
end
plot(datax,dataplot);
[xx,yy,button] = ginput(1);
if button == 3 % then exit

```

Ek-3: Hamiltonian Matrisini Hesaplayan Makro

```

function [Hg,Ah,D11hat,D22hat,Ct,Bt,M,iM,B1hat,C2hat] =...
    hamilton0(A,B,C,D,g,h),
% set J_gamma or simple J
[nc,mc] = size(C);
J = eye(nc);
J(nc,nc) = -g^2;
% get the realization of rational part of G_N~*J*G_N
Ahat = [A zeros(3);...
-C.'*J*C, -A.'];
Bhat = [B;...
-C.'*J*D];
Chat = [D.'*J*C, B.'];
Dhat = D.'*J*D;
% set partition of Bhat, Chat and Dhat
B1hat = Bhat(:,1);
B2hat = Bhat(:,2);
C1hat = Chat(1,:);
C2hat = Chat(2,:);
D11hat = Dhat(1,1);
% D12hat = 0;
% D21hat = 0;
D22hat = Dhat(2,2);
% calculate Ah = Ahat-B2hat*inv(D22hat)*C2hat
Ah = Ahat - (B2hat/D22hat)*C2hat;
% find realization of Theta or simple Th
M = expm(h*Ah);
S = [zeros(3), -eye(3);...
eye(3), zeros(3)];
iM = -S*M.'*S;
At = Ahat;
Bt = [iM*B1hat, B2hat];
Ct = [C1hat*M; C2hat];
Dt = Dhat;
% calculate H_gamma or simple Hg
% Hg is "A matrix" of inverse of Theta
Hg = At - Bt*inv(Dt)*Ct;

```

Ek-4: Verilen Frekansta Transfer Fonksiyonunun Değerini Hesaplayan Makro

```
function y = tfeval(a,b,c,d,s),  
% y = C*inv(sI-A)*B+D  
% use  
% Y = tfeval(A,B,C,D,s) or Y = tfeval(SYS,s);  
if nargin == 2,  
[A,B,C,D] = ss2abcd(a);  
s = b;  
else  
A = a; B = b; C = c; D = d; s = s;  
end  
n = length(A);  
birm = eye(n);  
y = C*inv(s*birm-A)*B+D;
```

Ek-5: LTI Sistemin Gerçeklenmesini Bulan Makro

```
function [a,b,c,d]=ss2abcd(sys),  
%find A,B,C and D matrices from ss form  
% use  
% [A,B,C,D]=ss2abcd(SYS)  
% Enis, 9.1.2001  
sys=ss(sys,'min');  
a=sys.a;  
b=sys.b;  
c=sys.c;  
d=sys.d;
```